

---

**REPORT ANNUALE DESCRITTIVO DELLE ATTIVITÀ DI MONITORAGGIO  
ON-SHORE E OFF-SHORE**

**Periodo di riferimento: Novembre 2020 ÷ Ottobre 2021**

## **Allegato O**

**Rilievi con sonda multiparametrica e rilievi correntometrici  
(novembre 2020 ÷ ottobre 2021)**

**Allegato O1 - Rilievi con sonda multiparametrica e correntometrici – Novembre 2020**

**Allegato O2 - Rilievi con sonda multiparametrica e correntometrici – Dicembre 2020**

**Allegato O3 - Rilievi con sonda multiparametrica e correntometrici – Gennaio 2021**

**Allegato O4 - Rilievi con sonda multiparametrica e correntometrici – Febbraio 2021**

**Allegato O5 - Rilievi con sonda multiparametrica e correntometrici – Marzo 2021**

**Allegato O6 - Rilievi con sonda multiparametrica e correntometrici – Aprile 2021**

**Allegato O7 - Rilievi con sonda multiparametrica e correntometrici – Maggio 2021**

**Allegato O8 - Rilievi con sonda multiparametrica e correntometrici – Giugno 2021**

**Allegato O9 - Rilievi con sonda multiparametrica e correntometrici – Luglio 2021**

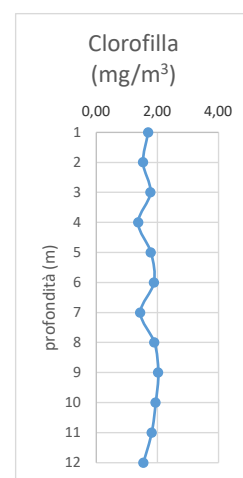
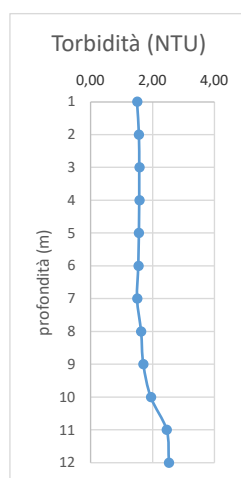
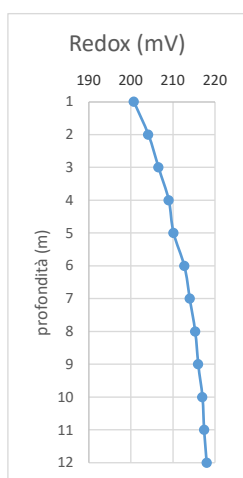
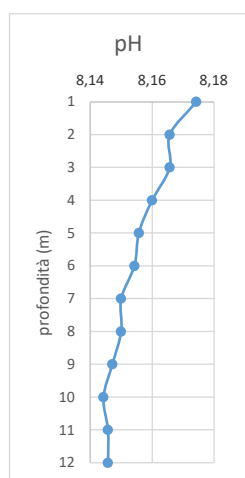
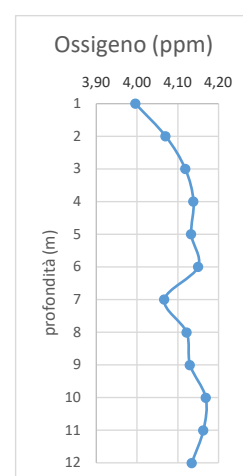
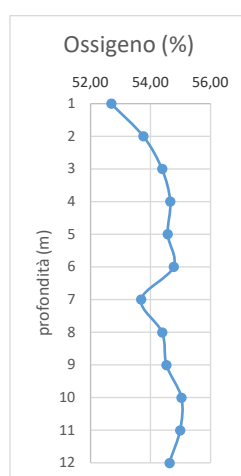
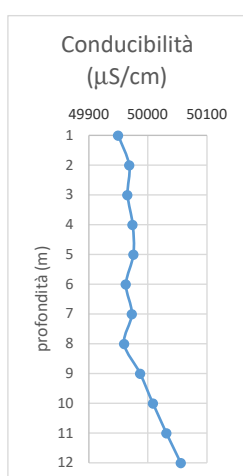
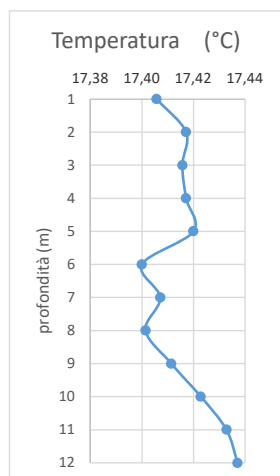
**Allegato O10 - Rilievi con sonda multiparametrica e correntometrici – Agosto 2021**

**Allegato O11 - Rilievi con sonda multiparametrica e correntometrici – Settembre 2021**

**Allegato O12 - Rilievi con sonda multiparametrica e correntometrici – Ottobre 2021**

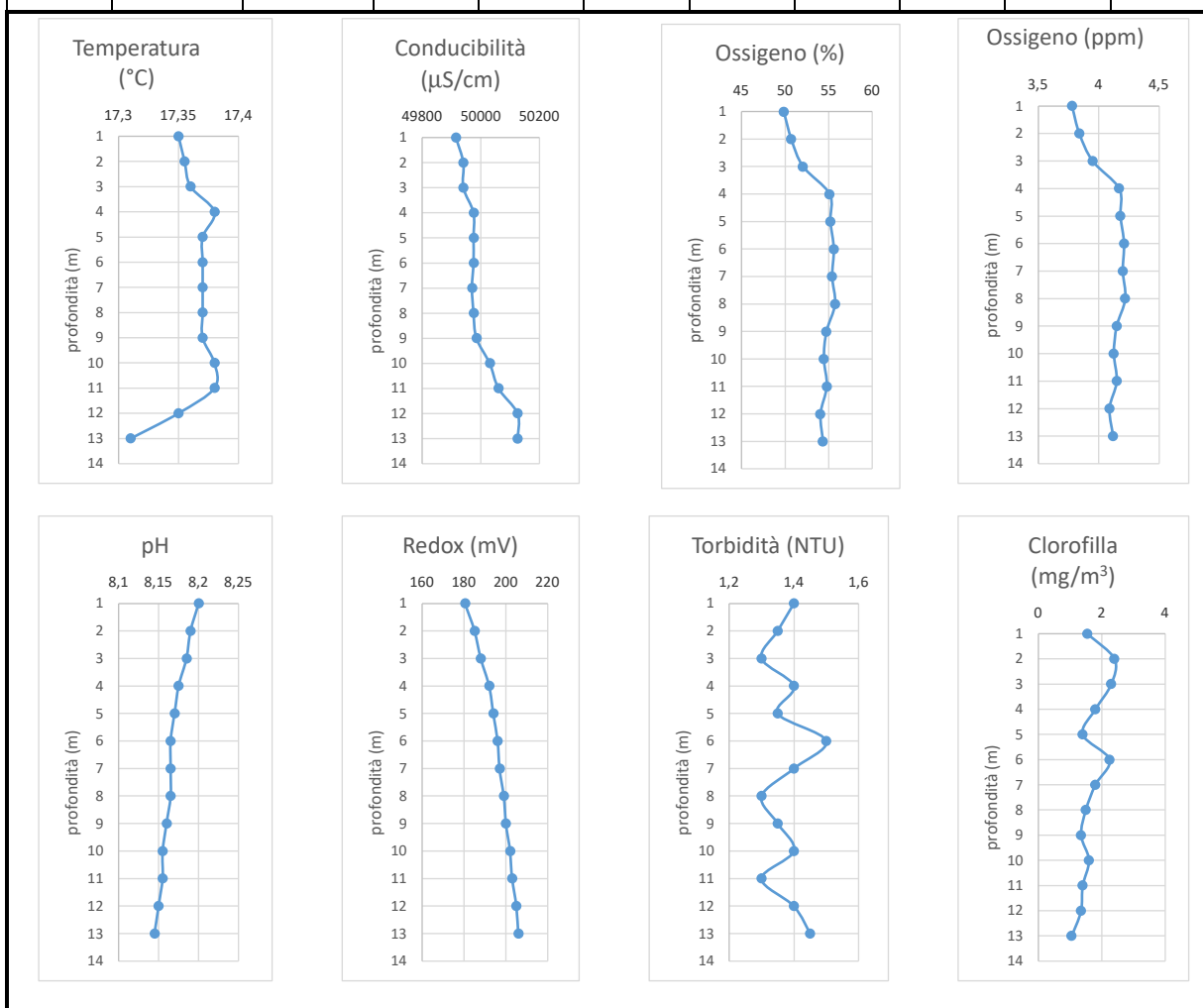
**ST05 - 16/11/2020 09:30**

| Profondità | Temperatura | Conducibilità | Ossigeno | Ossigeno | pH   | Potenziale Red-ox | Torbidità | Clorofilla 'a'    | direzione corrente | velocità corrente |
|------------|-------------|---------------|----------|----------|------|-------------------|-----------|-------------------|--------------------|-------------------|
| m          | °C          | µS/cm         | %        | ppm      | -    | mV                | NTU       | mg/m <sup>3</sup> | -                  | m/s               |
| 1          | 17,41       | 49950         | 52,69    | 4,00     | 8,17 | 200,7             | 1,50      | 1,70              | NW                 | 0,1               |
| 2          | 17,42       | 49969         | 53,76    | 4,07     | 8,17 | 204,1             | 1,56      | 1,53              |                    |                   |
| 3          | 17,42       | 49966         | 54,39    | 4,12     | 8,17 | 206,6             | 1,57      | 1,77              |                    |                   |
| 4          | 17,42       | 49974         | 54,66    | 4,14     | 8,16 | 209,0             | 1,57      | 1,37              |                    |                   |
| 5          | 17,42       | 49976         | 54,57    | 4,13     | 8,16 | 210,1             | 1,56      | 1,79              |                    |                   |
| 6          | 17,40       | 49963         | 54,77    | 4,15     | 8,15 | 212,7             | 1,54      | 1,89              |                    |                   |
| 7          | 17,41       | 49973         | 53,69    | 4,07     | 8,15 | 214,0             | 1,50      | 1,44              |                    |                   |
| 8          | 17,40       | 49960         | 54,39    | 4,12     | 8,15 | 215,3             | 1,63      | 1,90              |                    |                   |
| 9          | 17,41       | 49987         | 54,53    | 4,13     | 8,15 | 216,0             | 1,70      | 2,03              |                    |                   |
| 10         | 17,42       | 50009         | 55,03    | 4,17     | 8,14 | 217,0             | 1,94      | 1,94              |                    |                   |
| 11         | 17,43       | 50031         | 54,99    | 4,16     | 8,15 | 217,4             | 2,46      | 1,81              |                    |                   |
| 12         | 17,44       | 50056         | 54,63    | 4,13     | 8,15 | 218,0             | 2,53      | 1,54              |                    |                   |

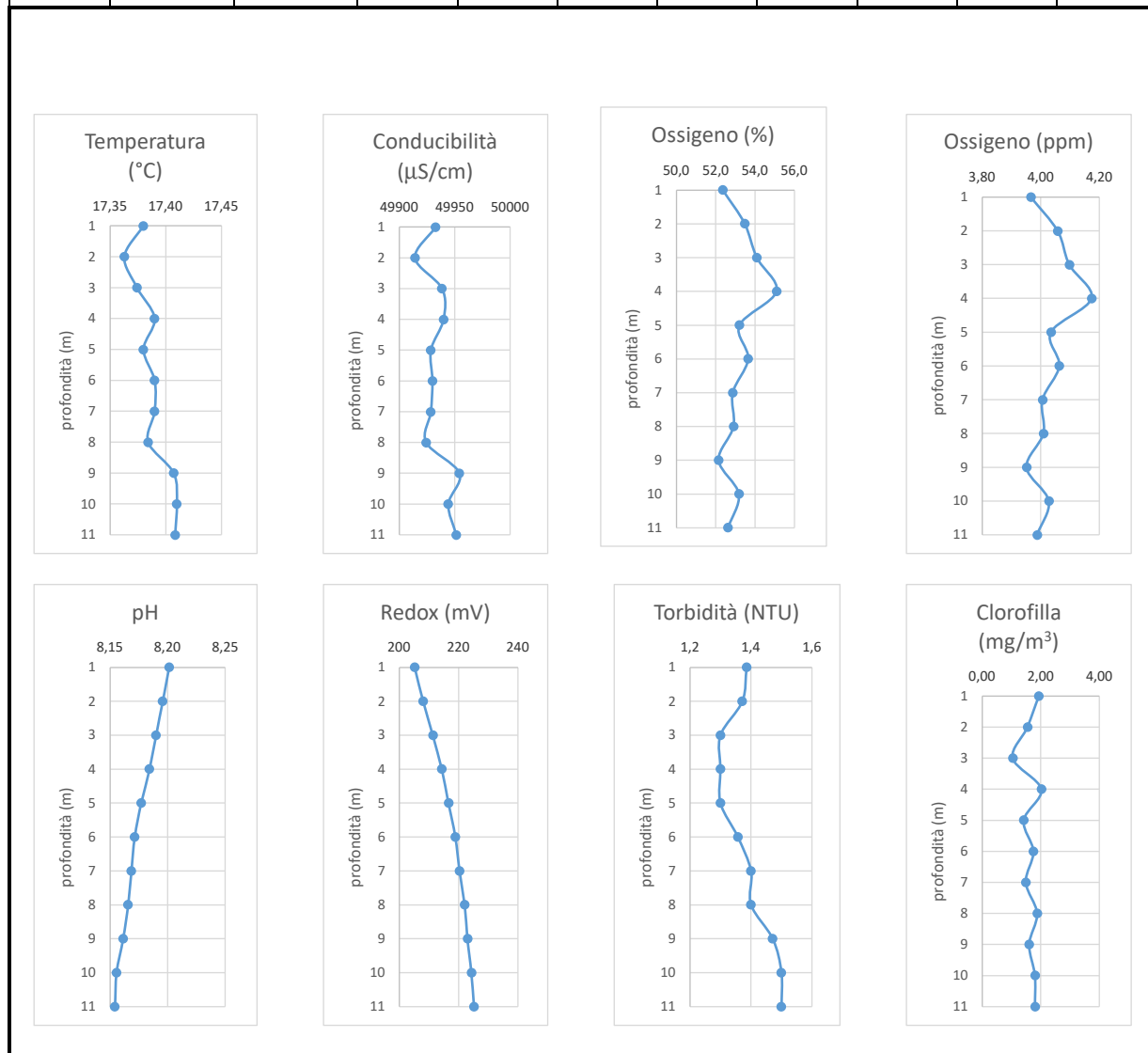


**ST06 - 16/11/2020 10:00**

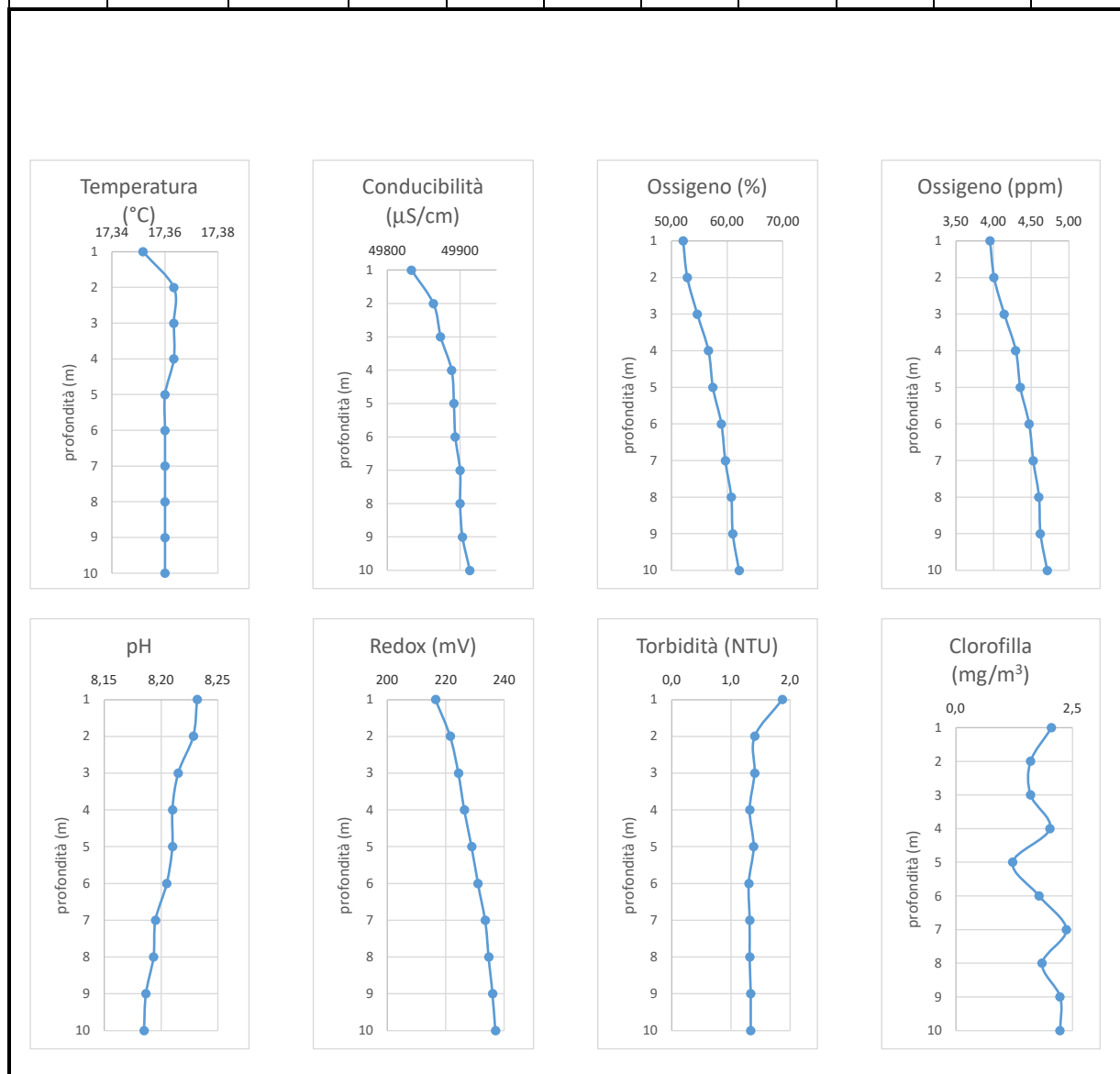
| Profondità | Temperatura | Conducibilità | Ossigeno | Ossigeno | pH    | Potenziale Red-ox | Torbidità | Clorofilla 'a'    | direzione corrente | velocità corrente |
|------------|-------------|---------------|----------|----------|-------|-------------------|-----------|-------------------|--------------------|-------------------|
| m          | °C          | µS/cm         | %        | ppm      | -     | mV                | NTU       | mg/m <sup>3</sup> | -                  | m/s               |
| 1          | 17,35       | 49915         | 49,85    | 3,78     | 8,2   | 180,5             | 1,4       | 1,55              | NW                 | 0,1               |
| 2          | 17,355      | 49940         | 50,7     | 3,84     | 8,19  | 185               | 1,35      | 2,4               |                    |                   |
| 3          | 17,36       | 49940         | 52,05    | 3,95     | 8,185 | 188               | 1,3       | 2,3               |                    |                   |
| 4          | 17,38       | 49975         | 55,1     | 4,17     | 8,175 | 192               | 1,4       | 1,8               |                    |                   |
| 5          | 17,37       | 49975         | 55,2     | 4,18     | 8,17  | 194               | 1,35      | 1,4               |                    |                   |
| 6          | 17,37       | 49975         | 55,6     | 4,21     | 8,165 | 196               | 1,5       | 2,25              |                    |                   |
| 7          | 17,37       | 49970         | 55,4     | 4,2      | 8,165 | 197               | 1,4       | 1,8               |                    |                   |
| 8          | 17,37       | 49975         | 55,75    | 4,22     | 8,165 | 199               | 1,3       | 1,5               |                    |                   |
| 9          | 17,37       | 49985         | 54,75    | 4,15     | 8,16  | 200               | 1,35      | 1,35              |                    |                   |
| 10         | 17,38       | 50030         | 54,45    | 4,125    | 8,155 | 202               | 1,4       | 1,6               |                    |                   |
| 11         | 17,38       | 50060         | 54,8     | 4,15     | 8,155 | 203               | 1,3       | 1,4               |                    |                   |
| 12         | 17,35       | 50125         | 54,05    | 4,09     | 8,15  | 205               | 1,4       | 1,35              |                    |                   |
| 13         | 17,31       | 50125         | 54,35    | 4,12     | 8,145 | 206               | 1,45      | 1,05              |                    |                   |



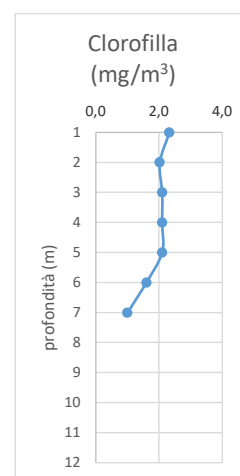
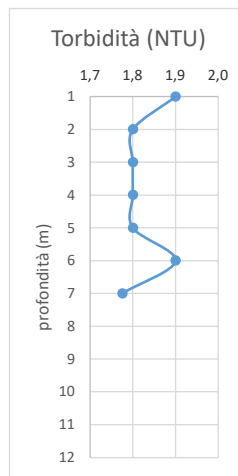
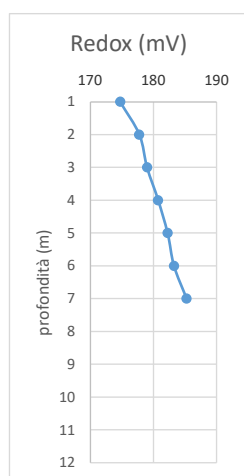
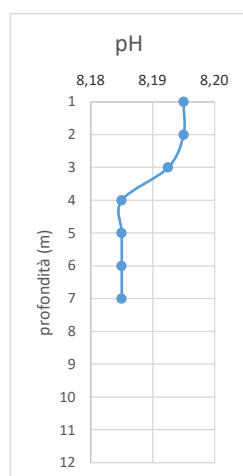
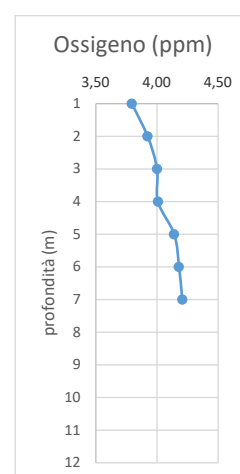
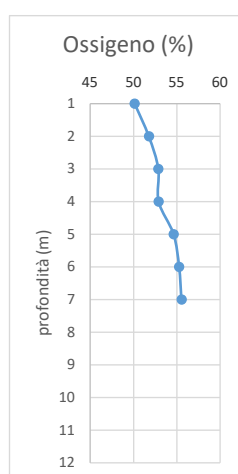
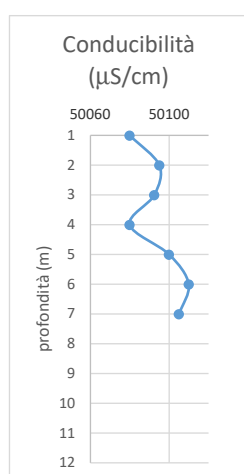
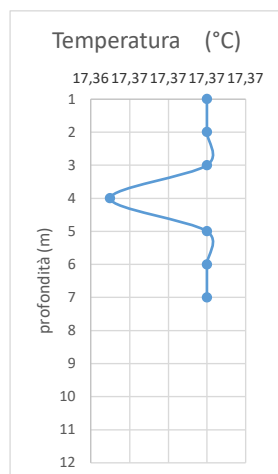
| ST07 – 16/11/2020 10:30 |             |               |          |          |      |                   |           |                   |                    |                   |
|-------------------------|-------------|---------------|----------|----------|------|-------------------|-----------|-------------------|--------------------|-------------------|
| Profondità              | Temperatura | Conducibilità | Ossigeno | Ossigeno | pH   | Potenziale Red-ox | Torbidità | Clorofilla 'a'    | direzione corrente | velocità corrente |
| m                       | °C          | µS/cm         | %        | ppm      | -    | mV                | NTU       | mg/m <sup>3</sup> | -                  | m/s               |
| 1                       | 17,38       | 49933         | 52,36    | 3,97     | 8,20 | 205               | 1,4       | 1,9               | NW                 | 0,1               |
| 2                       | 17,36       | 49914         | 53,47    | 4,06     | 8,20 | 208               | 1,4       | 1,5               |                    |                   |
| 3                       | 17,37       | 49939         | 54,09    | 4,10     | 8,19 | 211               | 1,3       | 1,0               |                    |                   |
| 4                       | 17,39       | 49940         | 55,09    | 4,17     | 8,18 | 214               | 1,3       | 2,0               |                    |                   |
| 5                       | 17,38       | 49929         | 53,20    | 4,03     | 8,18 | 217               | 1,3       | 1,4               |                    |                   |
| 6                       | 17,39       | 49930         | 53,64    | 4,06     | 8,17 | 219               | 1,4       | 1,7               |                    |                   |
| 7                       | 17,39       | 49929         | 52,86    | 4,01     | 8,17 | 220               | 1,4       | 1,5               |                    |                   |
| 8                       | 17,38       | 49924         | 52,90    | 4,01     | 8,17 | 222               | 1,4       | 1,9               |                    |                   |
| 9                       | 17,41       | 49954         | 52,14    | 3,95     | 8,16 | 223               | 1,5       | 1,6               |                    |                   |
| 10                      | 17,41       | 49944         | 53,17    | 4,03     | 8,16 | 224               | 1,5       | 1,8               |                    |                   |
| 11                      | 17,41       | 49951         | 52,61    | 3,99     | 8,15 | 225               | 1,5       | 1,8               |                    |                   |



| ST08 – 16/11/2020 11:00 |             |               |          |          |      |                   |           |                   |                    |                   |
|-------------------------|-------------|---------------|----------|----------|------|-------------------|-----------|-------------------|--------------------|-------------------|
| Profondità              | Temperatura | Conducibilità | Ossigeno | Ossigeno | pH   | Potenziale Red-ox | Torbidità | Clorofilla 'a'    | direzione corrente | velocità corrente |
| m                       | °C          | µS/cm         | %        | ppm      | -    | mV                | NTU       | mg/m <sup>3</sup> | -                  | m/s               |
| 1                       | 17,35       | 49833         | 52,10    | 3,96     | 8,23 | 217               | 1,9       | 2,1               | NW                 | 0,1               |
| 2                       | 17,36       | 49863         | 52,83    | 4,01     | 8,23 | 222               | 1,4       | 1,6               |                    |                   |
| 3                       | 17,36       | 49873         | 54,63    | 4,14     | 8,22 | 224               | 1,4       | 1,6               |                    |                   |
| 4                       | 17,36       | 49888         | 56,63    | 4,30     | 8,21 | 226               | 1,3       | 2,0               |                    |                   |
| 5                       | 17,36       | 49892         | 57,43    | 4,36     | 8,21 | 229               | 1,4       | 1,2               |                    |                   |
| 6                       | 17,36       | 49893         | 58,95    | 4,47     | 8,21 | 231               | 1,3       | 1,8               |                    |                   |
| 7                       | 17,36       | 49900         | 59,67    | 4,53     | 8,20 | 234               | 1,3       | 2,4               |                    |                   |
| 8                       | 17,36       | 49900         | 60,73    | 4,60     | 8,19 | 235               | 1,3       | 1,9               |                    |                   |
| 9                       | 17,36       | 49903         | 61,00    | 4,62     | 8,19 | 236               | 1,3       | 2,2               |                    |                   |
| 10                      | 17,36       | 49913         | 62,13    | 4,71     | 8,19 | 237               | 1,3       | 2,2               |                    |                   |

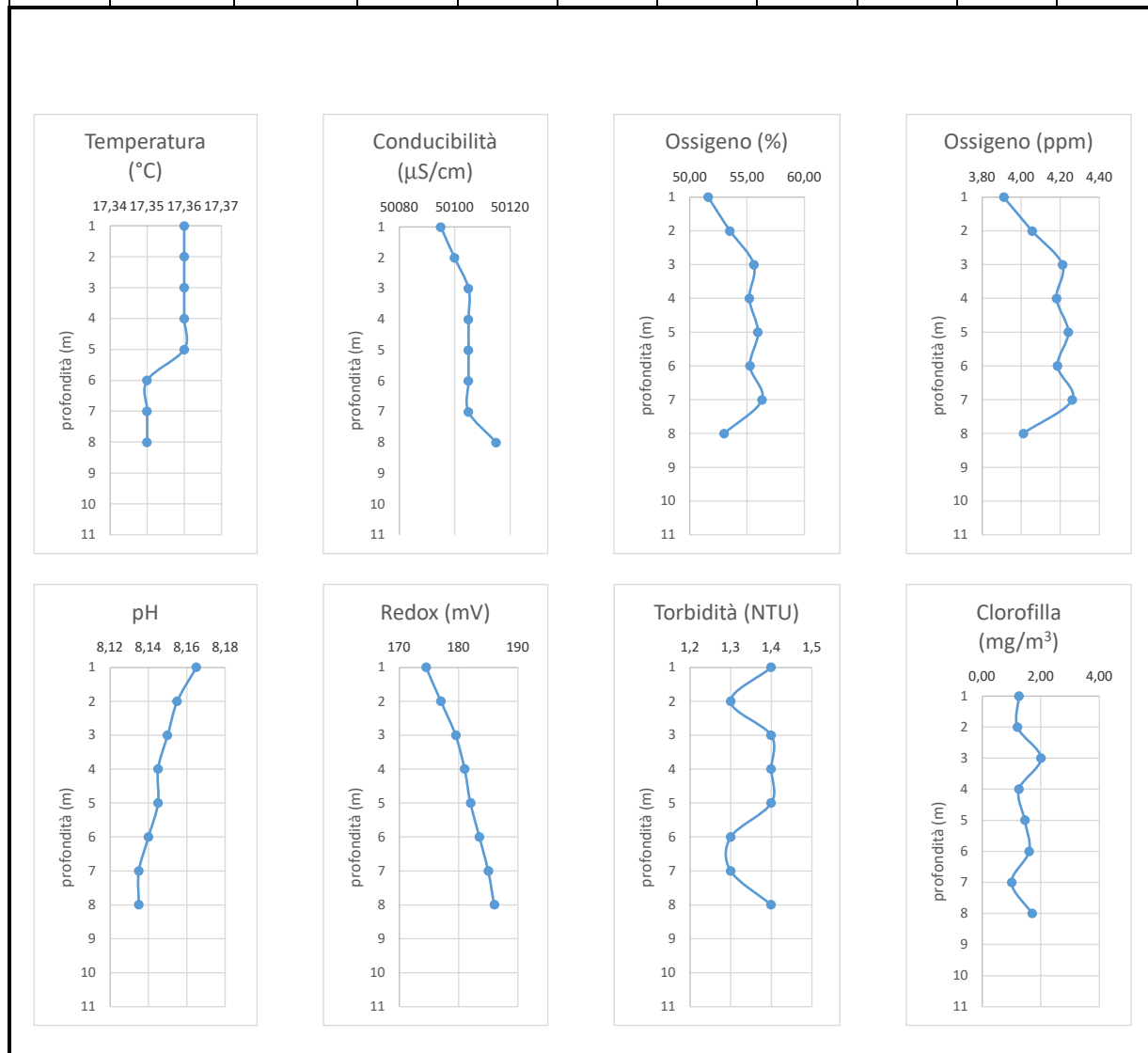


| ST01 - 18/11/2020 09:30 |             |               |          |          |      |                   |           |                   |                    |                   |
|-------------------------|-------------|---------------|----------|----------|------|-------------------|-----------|-------------------|--------------------|-------------------|
| Profondità              | Temperatura | Conducibilità | Ossigeno | Ossigeno | pH   | Potenziale Red-ox | Torbidità | Clorofilla 'a'    | direzione corrente | velocità corrente |
| m                       | °C          | µS/cm         | %        | ppm      | -    | mV                | NTU       | mg/m <sup>3</sup> | -                  | m/s               |
| 1                       | 17,37       | 50080         | 50,13    | 3,80     | 8,20 | 175               | 1,9       | 2,3               | NW                 | 0,2               |
| 2                       | 17,37       | 50095         | 51,78    | 3,92     | 8,20 | 178               | 1,8       | 2,0               |                    |                   |
| 3                       | 17,37       | 50093         | 52,85    | 4,00     | 8,19 | 179               | 1,8       | 2,1               |                    |                   |
| 4                       | 17,37       | 50080         | 52,90    | 4,01     | 8,19 | 181               | 1,8       | 2,1               |                    |                   |
| 5                       | 17,37       | 50100         | 54,63    | 4,14     | 8,19 | 182               | 1,8       | 2,1               |                    |                   |
| 6                       | 17,37       | 50110         | 55,25    | 4,18     | 8,19 | 183               | 1,9       | 1,6               |                    |                   |
| 7                       | 17,37       | 50105         | 55,53    | 4,21     | 8,19 | 185               | 1,8       | 1,0               |                    |                   |
|                         |             |               |          |          |      |                   |           |                   |                    |                   |
|                         |             |               |          |          |      |                   |           |                   |                    |                   |
|                         |             |               |          |          |      |                   |           |                   |                    |                   |
|                         |             |               |          |          |      |                   |           |                   |                    |                   |
|                         |             |               |          |          |      |                   |           |                   |                    |                   |
|                         |             |               |          |          |      |                   |           |                   |                    |                   |



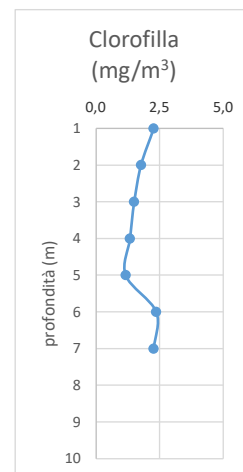
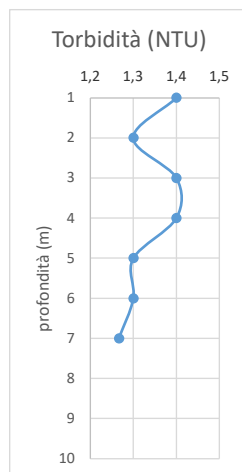
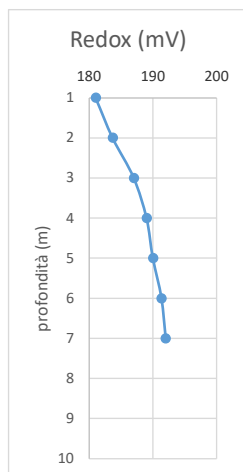
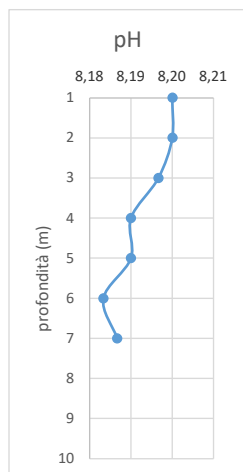
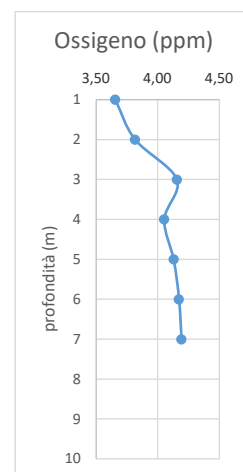
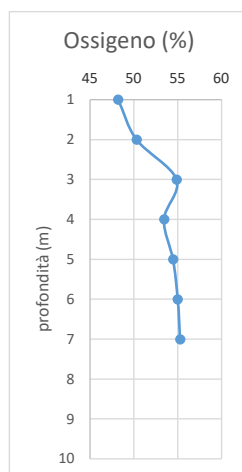
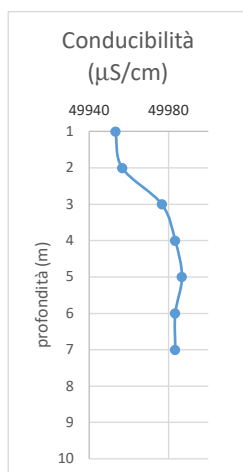
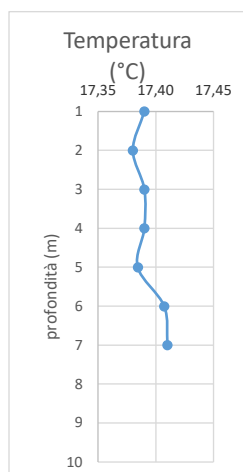


| ST03 – 18/11/2020 11:00 |             |               |          |          |      |                   |           |                   |                    |                   |
|-------------------------|-------------|---------------|----------|----------|------|-------------------|-----------|-------------------|--------------------|-------------------|
| Profondità              | Temperatura | Conducibilità | Ossigeno | Ossigeno | pH   | Potenziale Red-ox | Torbidità | Clorofilla 'a'    | direzione corrente | velocità corrente |
| m                       | °C          | µS/cm         | %        | ppm      | -    | mV                | NTU       | mg/m <sup>3</sup> | -                  | m/s               |
| 1                       | 17,36       | 50095         | 51,60    | 3,91     | 8,17 | 174,5             | 1,4       | 1,3               | NW                 | 0,2               |
| 2                       | 17,36       | 50100         | 53,50    | 4,06     | 8,16 | 177               | 1,3       | 1,2               |                    |                   |
| 3                       | 17,36       | 50105         | 55,60    | 4,21     | 8,15 | 179,5             | 1,4       | 2,0               |                    |                   |
| 4                       | 17,36       | 50105         | 55,20    | 4,18     | 8,15 | 181               | 1,4       | 1,3               |                    |                   |
| 5                       | 17,36       | 50105         | 55,95    | 4,24     | 8,15 | 182               | 1,4       | 1,5               |                    |                   |
| 6                       | 17,35       | 50105         | 55,25    | 4,19     | 8,14 | 183,5             | 1,3       | 1,6               |                    |                   |
| 7                       | 17,35       | 50105         | 56,30    | 4,26     | 8,14 | 185               | 1,3       | 1,0               |                    |                   |
| 8                       | 17,35       | 50115         | 53,00    | 4,01     | 8,14 | 186               | 1,4       | 1,7               |                    |                   |
|                         |             |               |          |          |      |                   |           |                   |                    |                   |
|                         |             |               |          |          |      |                   |           |                   |                    |                   |
|                         |             |               |          |          |      |                   |           |                   |                    |                   |



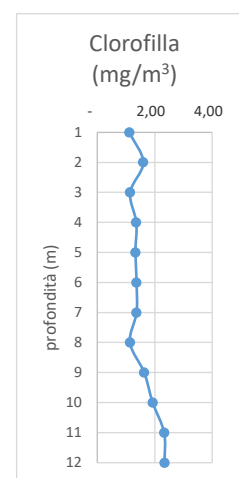
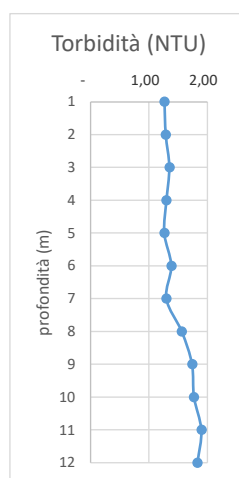
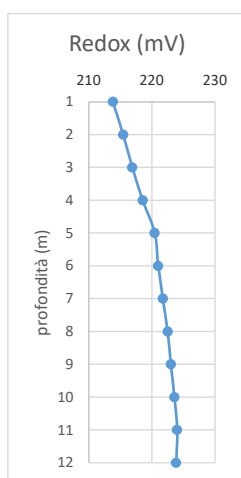
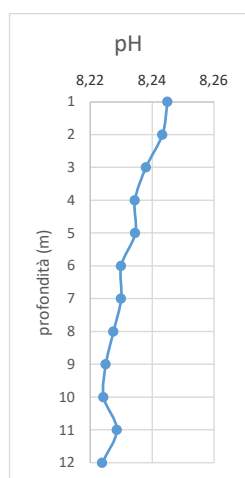
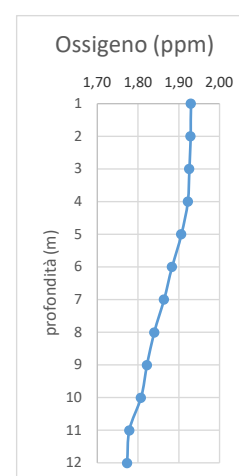
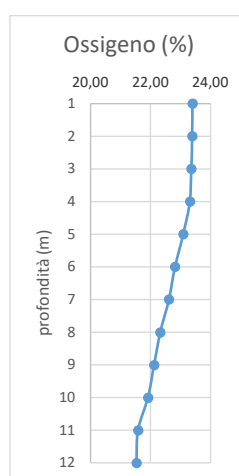
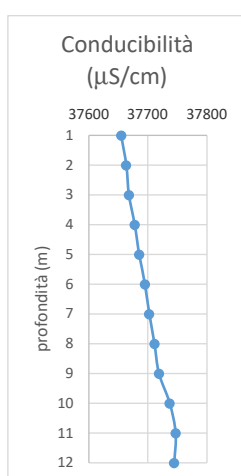
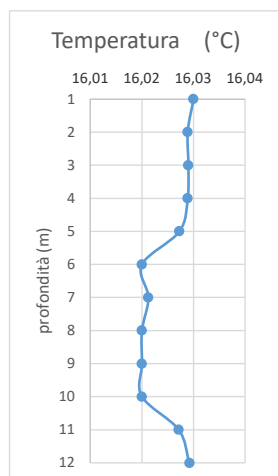


| ST04 – 18/11/2020 11:50 |             |               |          |          |      |                   |           |                   |                    |                   |
|-------------------------|-------------|---------------|----------|----------|------|-------------------|-----------|-------------------|--------------------|-------------------|
| Profondità              | Temperatura | Conducibilità | Ossigeno | Ossigeno | pH   | Potenziale Red-ox | Torbidità | Clorofilla 'a'    | direzione corrente | velocità corrente |
| m                       | °C          | μS/cm         | %        | ppm      | -    | mV                | NTU       | mg/m <sup>3</sup> | -                  | m/s               |
| 1                       | 17,32       | 49953         | 48,20    | 3,66     | 8,20 | 181               | 1,4       | 2,3               | NW                 | 0,2               |
| 2                       | 17,33       | 49957         | 50,30    | 3,82     | 8,20 | 184               | 1,3       | 1,8               |                    |                   |
| 3                       | 17,34       | 49977         | 54,87    | 4,16     | 8,20 | 187               | 1,4       | 1,5               |                    |                   |
| 4                       | 17,34       | 49983         | 53,43    | 4,05     | 8,19 | 189               | 1,4       | 1,3               |                    |                   |
| 5                       | 17,34       | 49987         | 54,47    | 4,13     | 8,19 | 190               | 1,3       | 1,2               |                    |                   |
| 6                       | 17,34       | 49983         | 55,00    | 4,17     | 8,18 | 191               | 1,3       | 2,4               |                    |                   |
| 7                       | 17,33       | 49983         | 55,27    | 4,19     | 8,19 | 192               | 1,3       | 2,3               |                    |                   |
|                         |             |               |          |          |      |                   |           |                   |                    |                   |
|                         |             |               |          |          |      |                   |           |                   |                    |                   |
|                         |             |               |          |          |      |                   |           |                   |                    |                   |



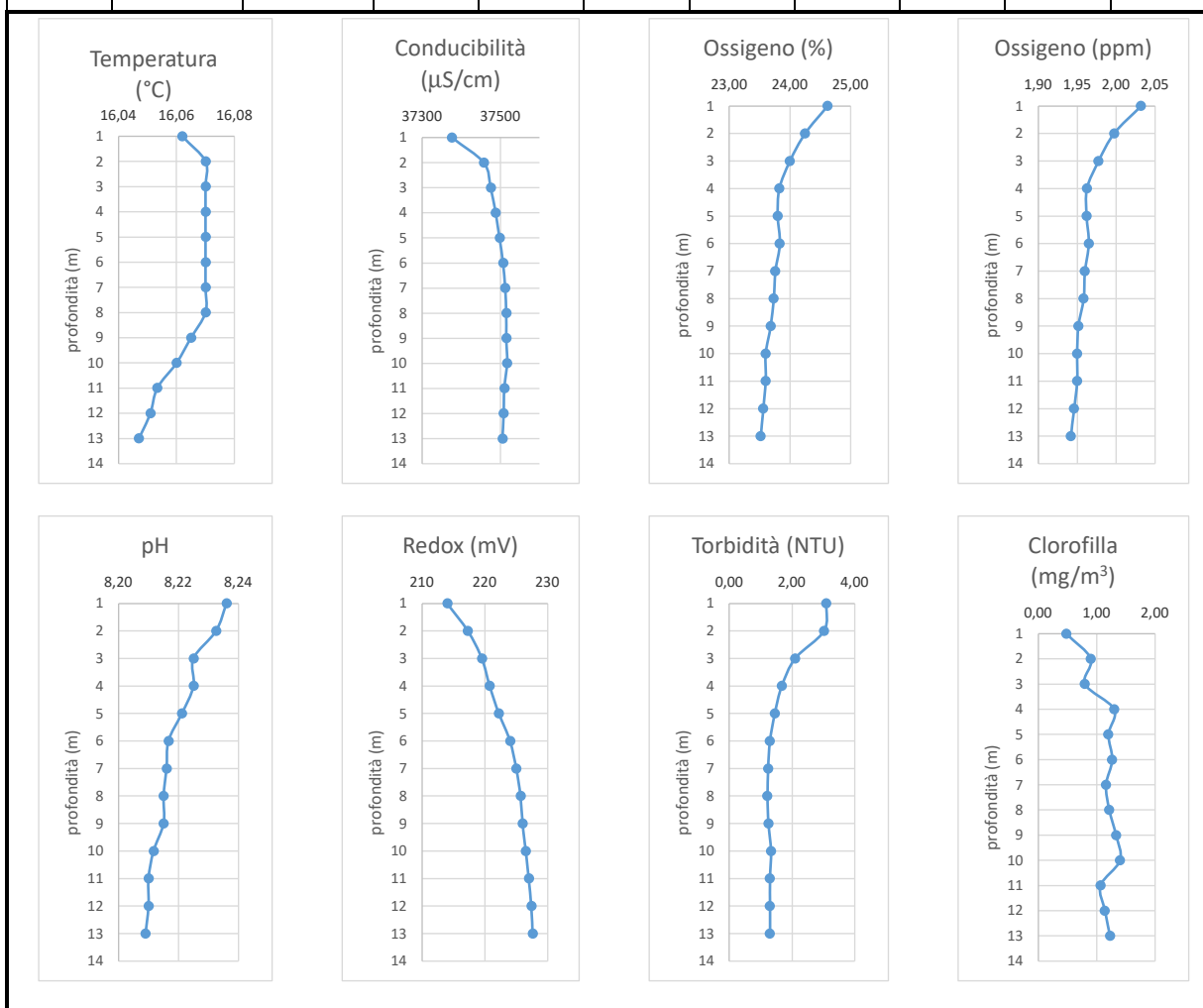
**ST05 - 21/12/2020 10:30**

| Profondità | Temperatura | Conducibilità | Ossigeno | Ossigeno | pH   | Potenziale Red-ox | Torbidità | Clorofilla 'a'    | direzione corrente | velocità corrente |
|------------|-------------|---------------|----------|----------|------|-------------------|-----------|-------------------|--------------------|-------------------|
| m          | °C          | μS/cm         | %        | ppm      | -    | mV                | NTU       | mg/m <sup>3</sup> | -                  | m/s               |
| 1          | 16,03       | 37655         | 23,40    | 1,93     | 8,25 | 214               | 1,27      | 1,12              | N                  | 0,1               |
| 2          | 16,03       | 37663         | 23,39    | 1,93     | 8,24 | 215               | 1,29      | 1,60              |                    |                   |
| 3          | 16,03       | 37668         | 23,36    | 1,93     | 8,24 | 217               | 1,35      | 1,14              |                    |                   |
| 4          | 16,03       | 37678         | 23,31    | 1,92     | 8,23 | 219               | 1,30      | 1,36              |                    |                   |
| 5          | 16,03       | 37685         | 23,09    | 1,91     | 8,23 | 220               | 1,26      | 1,33              |                    |                   |
| 6          | 16,02       | 37695         | 22,82    | 1,88     | 8,23 | 221               | 1,38      | 1,37              |                    |                   |
| 7          | 16,02       | 37703         | 22,61    | 1,86     | 8,23 | 222               | 1,30      | 1,36              |                    |                   |
| 8          | 16,02       | 37711         | 22,33    | 1,84     | 8,23 | 223               | 1,56      | 1,14              |                    |                   |
| 9          | 16,02       | 37719         | 22,12    | 1,82     | 8,23 | 223               | 1,74      | 1,63              |                    |                   |
| 10         | 16,02       | 37737         | 21,91    | 1,81     | 8,22 | 224               | 1,77      | 1,93              |                    |                   |
| 11         | 16,03       | 37747         | 21,59    | 1,78     | 8,23 | 224               | 1,90      | 2,33              |                    |                   |
| 12         | 16,03       | 37745         | 21,53    | 1,77     | 8,22 | 224               | 1,83      | 2,34              |                    |                   |

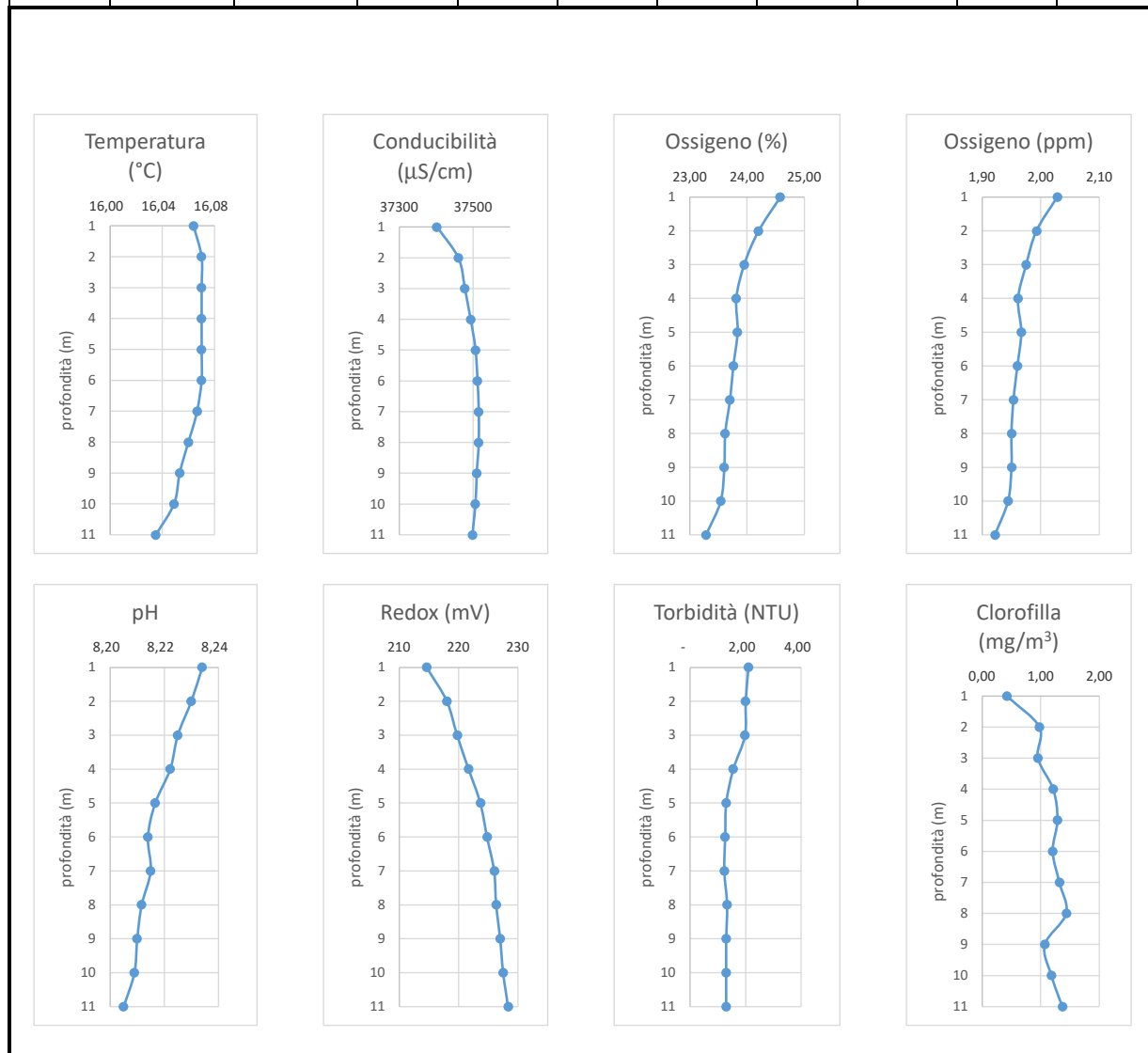


**ST06 - 21/12/2020 10:00**

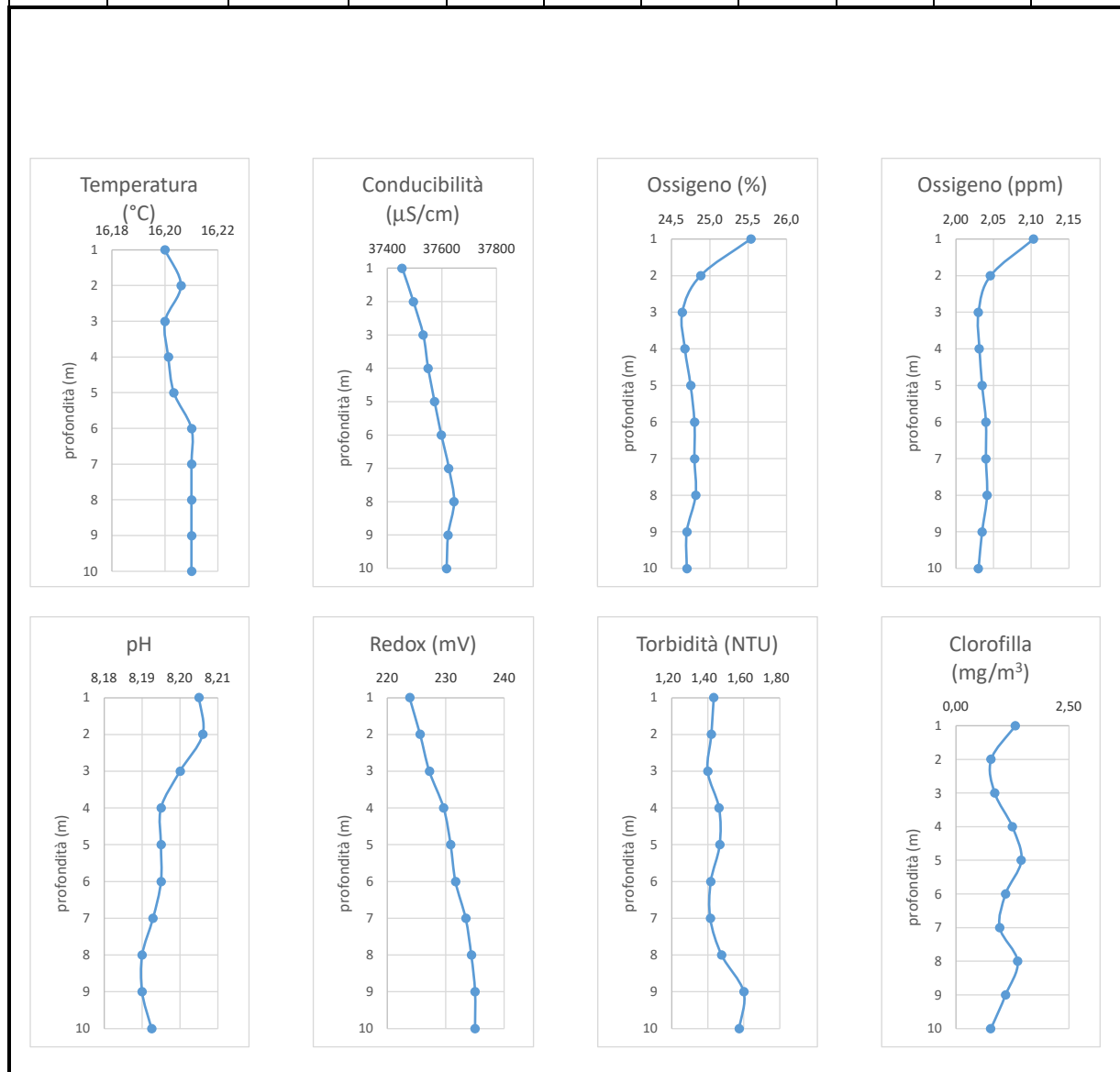
| Profondità | Temperatura | Conducibilità | Ossigeno | Ossigeno | pH   | Potenziale Red-ox | Torbidità | Clorofilla 'a'    | direzione corrente | velocità corrente |
|------------|-------------|---------------|----------|----------|------|-------------------|-----------|-------------------|--------------------|-------------------|
| m          | °C          | µS/cm         | %        | ppm      | -    | mV                | NTU       | mg/m <sup>3</sup> | -                  | m/s               |
| 1          | 16,06       | 37376         | 24,62    | 2,03     | 8,24 | 214               | 3,10      | 0,48              | N                  | 0,1               |
| 2          | 16,07       | 37458         | 24,25    | 2,00     | 8,23 | 217               | 3,03      | 0,90              |                    |                   |
| 3          | 16,07       | 37475         | 24,00    | 1,98     | 8,23 | 220               | 2,10      | 0,80              |                    |                   |
| 4          | 16,07       | 37488         | 23,83    | 1,96     | 8,23 | 221               | 1,68      | 1,30              |                    |                   |
| 5          | 16,07       | 37498         | 23,80    | 1,96     | 8,22 | 222               | 1,46      | 1,20              |                    |                   |
| 6          | 16,07       | 37507         | 23,83    | 1,97     | 8,22 | 224               | 1,30      | 1,27              |                    |                   |
| 7          | 16,07       | 37512         | 23,76    | 1,96     | 8,22 | 225               | 1,24      | 1,16              |                    |                   |
| 8          | 16,07       | 37515         | 23,73    | 1,96     | 8,22 | 226               | 1,22      | 1,22              |                    |                   |
| 9          | 16,07       | 37515         | 23,68    | 1,95     | 8,22 | 226               | 1,25      | 1,33              |                    |                   |
| 10         | 16,06       | 37517         | 23,60    | 1,95     | 8,21 | 227               | 1,33      | 1,40              |                    |                   |
| 11         | 16,05       | 37510         | 23,60    | 1,95     | 8,21 | 227               | 1,30      | 1,07              |                    |                   |
| 12         | 16,05       | 37508         | 23,56    | 1,95     | 8,21 | 227               | 1,30      | 1,14              |                    |                   |
| 13         | 16,05       | 37505         | 23,52    | 1,94     | 8,21 | 228               | 1,30      | 1,23              |                    |                   |



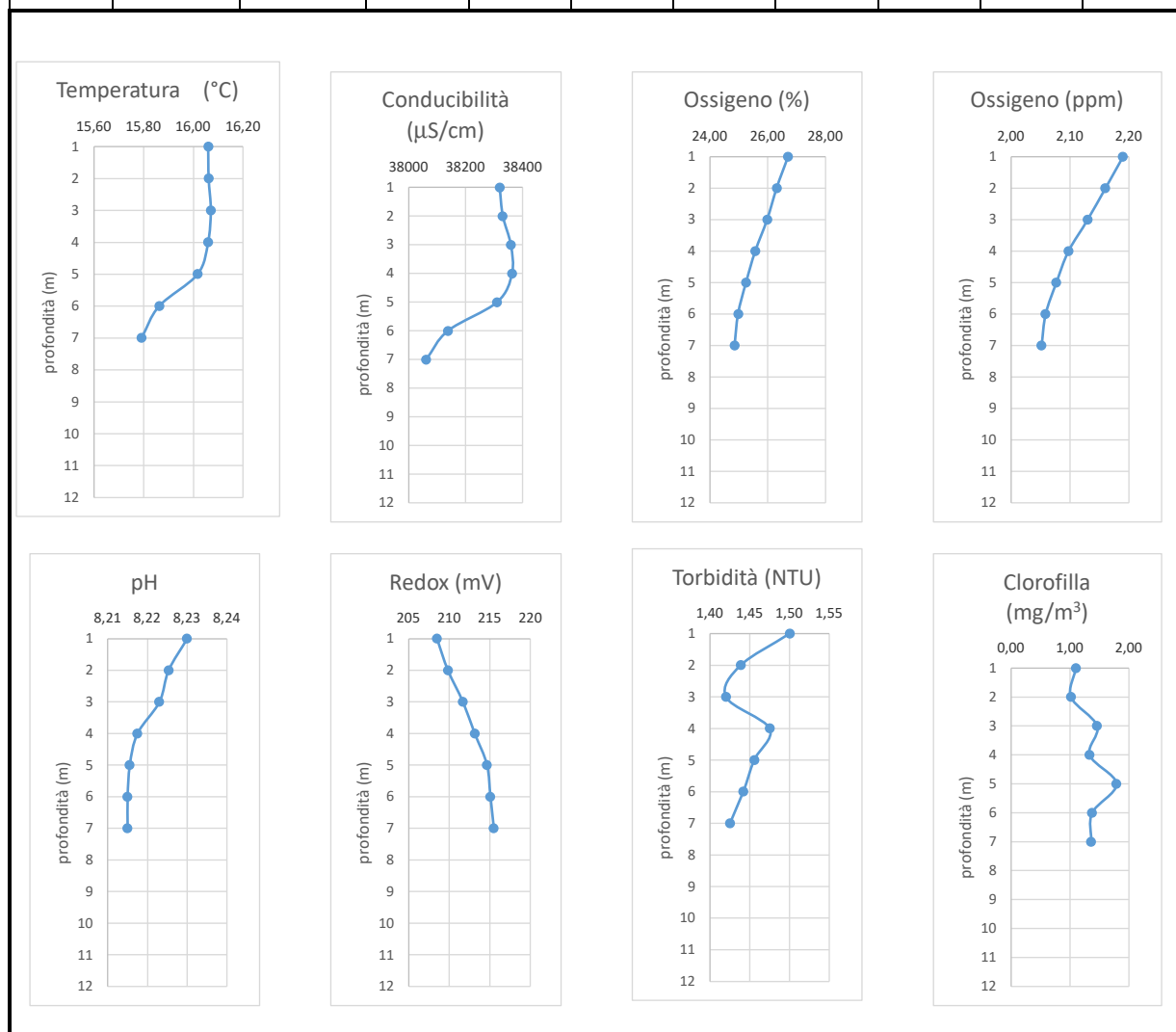
| ST07 – 21/12/2020 09:30 |             |               |          |          |      |                   |           |                   |                    |                   |
|-------------------------|-------------|---------------|----------|----------|------|-------------------|-----------|-------------------|--------------------|-------------------|
| Profondità              | Temperatura | Conducibilità | Ossigeno | Ossigeno | pH   | Potenziale Red-ox | Torbidità | Clorofilla 'a'    | direzione corrente | velocità corrente |
| m                       | °C          | μS/cm         | %        | ppm      | -    | mV                | NTU       | mg/m <sup>3</sup> | -                  | m/s               |
| 1                       | 16,06       | 37402         | 24,58    | 2,03     | 8,23 | 215               | 2,10      | 0,42              | N                  | 0,1               |
| 2                       | 16,07       | 37460         | 24,20    | 1,99     | 8,23 | 218               | 2,00      | 0,98              |                    |                   |
| 3                       | 16,07       | 37478         | 23,95    | 1,98     | 8,23 | 220               | 1,98      | 0,95              |                    |                   |
| 4                       | 16,07       | 37493         | 23,81    | 1,96     | 8,22 | 222               | 1,56      | 1,21              |                    |                   |
| 5                       | 16,07       | 37507         | 23,83    | 1,97     | 8,22 | 224               | 1,30      | 1,28              |                    |                   |
| 6                       | 16,07       | 37512         | 23,76    | 1,96     | 8,21 | 225               | 1,26      | 1,20              |                    |                   |
| 7                       | 16,07       | 37515         | 23,70    | 1,95     | 8,22 | 226               | 1,23      | 1,32              |                    |                   |
| 8                       | 16,06       | 37515         | 23,62    | 1,95     | 8,21 | 226               | 1,33      | 1,43              |                    |                   |
| 9                       | 16,05       | 37510         | 23,60    | 1,95     | 8,21 | 227               | 1,30      | 1,07              |                    |                   |
| 10                      | 16,05       | 37506         | 23,54    | 1,94     | 8,21 | 228               | 1,30      | 1,18              |                    |                   |
| 11                      | 16,04       | 37498         | 23,28    | 1,92     | 8,21 | 228               | 1,30      | 1,37              |                    |                   |



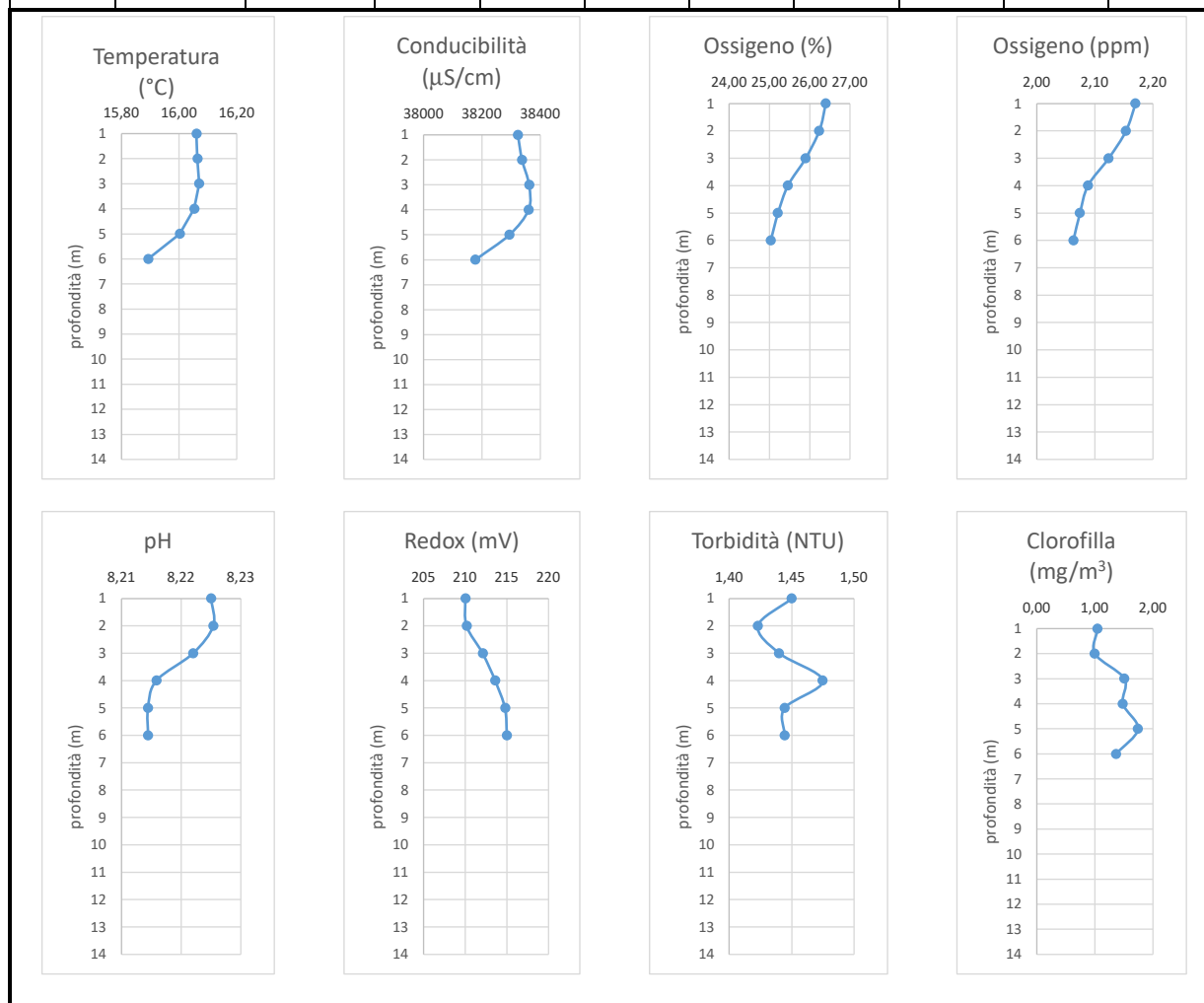
| ST08 – 21/12/2020 09:00 |             |               |          |          |      |                   |           |                   |                    |                   |
|-------------------------|-------------|---------------|----------|----------|------|-------------------|-----------|-------------------|--------------------|-------------------|
| Profondità              | Temperatura | Conducibilità | Ossigeno | Ossigeno | pH   | Potenziale Red-ox | Torbidità | Clorofilla 'a'    | direzione corrente | velocità corrente |
| m                       | °C          | μS/cm         | %        | ppm      | -    | mV                | NTU       | mg/m <sup>3</sup> | -                  | m/s               |
| 1                       | 16,20       | 37455         | 25,53    | 2,10     | 8,21 | 224               | 1,43      | 1,32              | N                  | 0,1               |
| 2                       | 16,21       | 37496         | 24,88    | 2,05     | 8,21 | 226               | 1,42      | 0,78              |                    |                   |
| 3                       | 16,20       | 37532         | 24,64    | 2,03     | 8,20 | 227               | 1,40      | 0,86              |                    |                   |
| 4                       | 16,20       | 37550         | 24,68    | 2,03     | 8,20 | 230               | 1,46      | 1,25              |                    |                   |
| 5                       | 16,20       | 37573         | 24,75    | 2,04     | 8,20 | 231               | 1,47      | 1,45              |                    |                   |
| 6                       | 16,21       | 37598         | 24,80    | 2,04     | 8,20 | 232               | 1,42      | 1,10              |                    |                   |
| 7                       | 16,21       | 37626         | 24,80    | 2,04     | 8,19 | 233               | 1,41      | 0,97              |                    |                   |
| 8                       | 16,21       | 37645         | 24,82    | 2,04     | 8,19 | 234               | 1,48      | 1,37              |                    |                   |
| 9                       | 16,21       | 37623         | 24,70    | 2,04     | 8,19 | 235               | 1,60      | 1,10              |                    |                   |
| 10                      | 16,21       | 37618         | 24,70    | 2,03     | 8,19 | 235               | 1,58      | 0,78              |                    |                   |



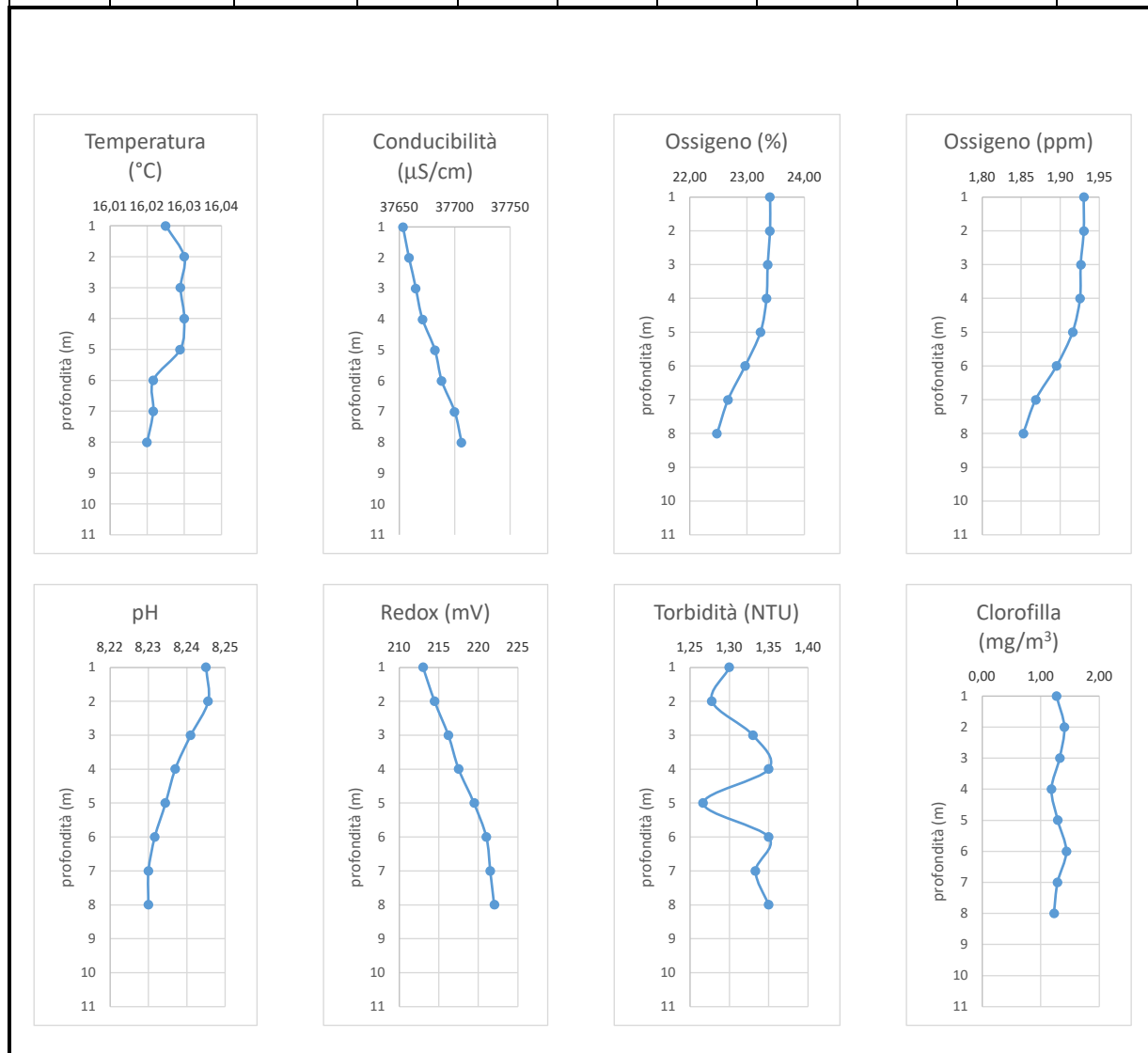
| ST01 - 22/12/2020 10:30 |             |               |          |          |      |                   |           |                   |                    |                   |
|-------------------------|-------------|---------------|----------|----------|------|-------------------|-----------|-------------------|--------------------|-------------------|
| Profondità              | Temperatura | Conducibilità | Ossigeno | Ossigeno | pH   | Potenziale Red-ox | Torbidità | Clorofilla 'a'    | direzione corrente | velocità corrente |
| m                       | °C          | μS/cm         | %        | ppm      | -    | mV                | NTU       | mg/m <sup>3</sup> | -                  | m/s               |
| 1                       | 16,06       | 38320         | 26,70    | 2,19     | 8,23 | 209               | 1,50      | 1,10              | N                  | 0,1               |
| 2                       | 16,06       | 38331         | 26,31    | 2,16     | 8,23 | 210               | 1,44      | 1,02              |                    |                   |
| 3                       | 16,07       | 38359         | 25,98    | 2,13     | 8,22 | 212               | 1,42      | 1,46              |                    |                   |
| 4                       | 16,06       | 38363         | 25,57    | 2,10     | 8,22 | 213               | 1,48      | 1,33              |                    |                   |
| 5                       | 16,02       | 38311         | 25,24    | 2,08     | 8,22 | 215               | 1,46      | 1,79              |                    |                   |
| 6                       | 15,86       | 38138         | 24,98    | 2,06     | 8,22 | 215               | 1,44      | 1,38              |                    |                   |
| 7                       | 15,79       | 38062         | 24,85    | 2,05     | 8,22 | 216               | 1,43      | 1,36              |                    |                   |
|                         |             |               |          |          |      |                   |           |                   |                    |                   |
|                         |             |               |          |          |      |                   |           |                   |                    |                   |
|                         |             |               |          |          |      |                   |           |                   |                    |                   |
|                         |             |               |          |          |      |                   |           |                   |                    |                   |
|                         |             |               |          |          |      |                   |           |                   |                    |                   |
|                         |             |               |          |          |      |                   |           |                   |                    |                   |



| ST02 - 22/12/2020 10:00 |             |               |          |          |      |                   |           |                   |                    |                   |
|-------------------------|-------------|---------------|----------|----------|------|-------------------|-----------|-------------------|--------------------|-------------------|
| Profondità              | Temperatura | Conducibilità | Ossigeno | Ossigeno | pH   | Potenziale Red-ox | Torbidità | Clorofilla 'a'    | direzione corrente | velocità corrente |
| m                       | °C          | µS/cm         | %        | ppm      | -    | mV                | NTU       | mg/m <sup>3</sup> | -                  | m/s               |
| 1                       | 16,06       | 38323         | 26,40    | 2,17     | 8,23 | 210               | 1,45      | 1,05              | N                  | 0,1               |
| 2                       | 16,06       | 38337         | 26,24    | 2,15     | 8,23 | 210               | 1,42      | 1,00              |                    |                   |
| 3                       | 16,07       | 38361         | 25,90    | 2,12     | 8,22 | 212               | 1,44      | 1,51              |                    |                   |
| 4                       | 16,05       | 38359         | 25,46    | 2,09     | 8,22 | 214               | 1,48      | 1,48              |                    |                   |
| 5                       | 16,00       | 38293         | 25,21    | 2,07     | 8,21 | 215               | 1,44      | 1,74              |                    |                   |
| 6                       | 15,89       | 38177         | 25,03    | 2,06     | 8,21 | 215               | 1,44      | 1,37              |                    |                   |
|                         |             |               |          |          |      |                   |           |                   |                    |                   |
|                         |             |               |          |          |      |                   |           |                   |                    |                   |
|                         |             |               |          |          |      |                   |           |                   |                    |                   |
|                         |             |               |          |          |      |                   |           |                   |                    |                   |
|                         |             |               |          |          |      |                   |           |                   |                    |                   |
|                         |             |               |          |          |      |                   |           |                   |                    |                   |
|                         |             |               |          |          |      |                   |           |                   |                    |                   |
|                         |             |               |          |          |      |                   |           |                   |                    |                   |
|                         |             |               |          |          |      |                   |           |                   |                    |                   |
|                         |             |               |          |          |      |                   |           |                   |                    |                   |
|                         |             |               |          |          |      |                   |           |                   |                    |                   |
|                         |             |               |          |          |      |                   |           |                   |                    |                   |
|                         |             |               |          |          |      |                   |           |                   |                    |                   |
|                         |             |               |          |          |      |                   |           |                   |                    |                   |
|                         |             |               |          |          |      |                   |           |                   |                    |                   |
|                         |             |               |          |          |      |                   |           |                   |                    |                   |
|                         |             |               |          |          |      |                   |           |                   |                    |                   |
|                         |             |               |          |          |      |                   |           |                   |                    |                   |

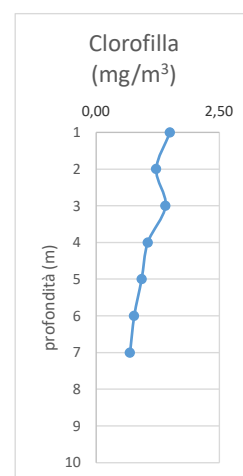
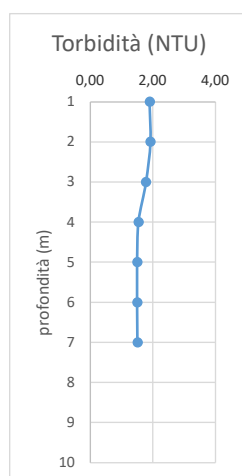
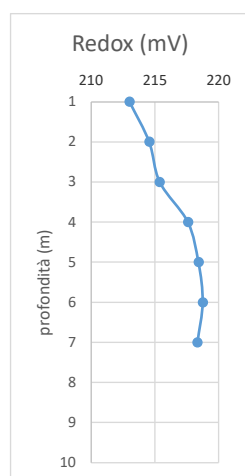
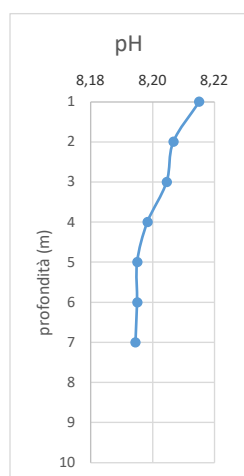
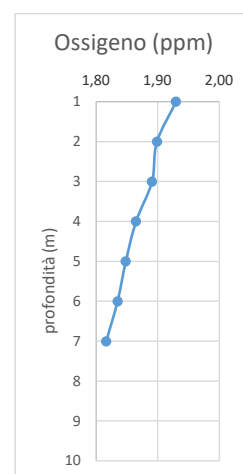
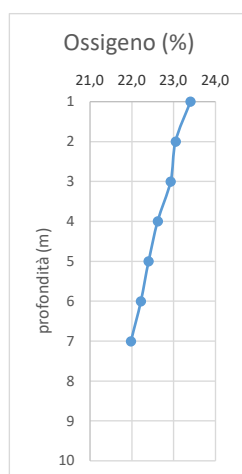
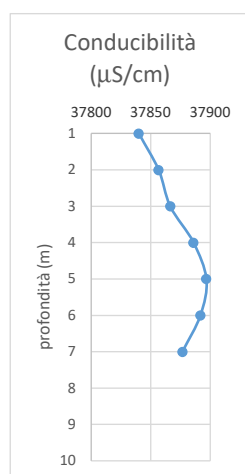
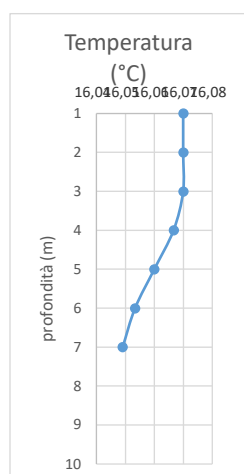


| ST03 – 22/12/2020 09:30 |             |               |          |          |      |                   |           |                   |                    |                   |
|-------------------------|-------------|---------------|----------|----------|------|-------------------|-----------|-------------------|--------------------|-------------------|
| Profondità              | Temperatura | Conducibilità | Ossigeno | Ossigeno | pH   | Potenziale Red-ox | Torbidità | Clorofilla 'a'    | direzione corrente | velocità corrente |
| m                       | °C          | µS/cm         | %        | ppm      | -    | mV                | NTU       | mg/m <sup>3</sup> | -                  | m/s               |
| 1                       | 16,03       | 37653         | 23,40    | 1,93     | 8,25 | 213               | 1,30      | 1,27              | N                  | 0,1               |
| 2                       | 16,03       | 37659         | 23,40    | 1,93     | 8,25 | 214               | 1,28      | 1,40              |                    |                   |
| 3                       | 16,03       | 37665         | 23,36    | 1,93     | 8,24 | 216               | 1,33      | 1,32              |                    |                   |
| 4                       | 16,03       | 37671         | 23,34    | 1,93     | 8,24 | 218               | 1,35      | 1,18              |                    |                   |
| 5                       | 16,03       | 37682         | 23,23    | 1,92     | 8,23 | 219               | 1,27      | 1,29              |                    |                   |
| 6                       | 16,02       | 37688         | 22,97    | 1,90     | 8,23 | 221               | 1,35      | 1,43              |                    |                   |
| 7                       | 16,02       | 37700         | 22,67    | 1,87     | 8,23 | 222               | 1,33      | 1,28              |                    |                   |
| 8                       | 16,02       | 37706         | 22,48    | 1,85     | 8,23 | 222               | 1,35      | 1,23              |                    |                   |
|                         |             |               |          |          |      |                   |           |                   |                    |                   |
|                         |             |               |          |          |      |                   |           |                   |                    |                   |
|                         |             |               |          |          |      |                   |           |                   |                    |                   |



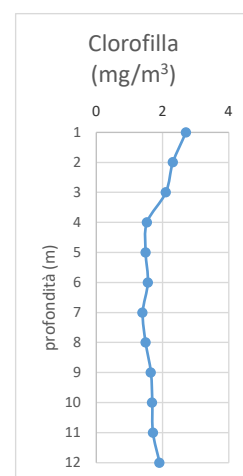
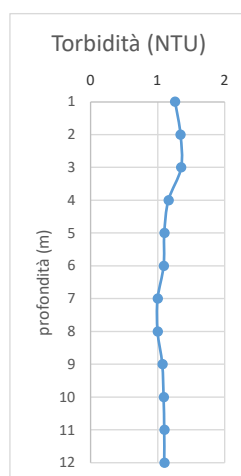
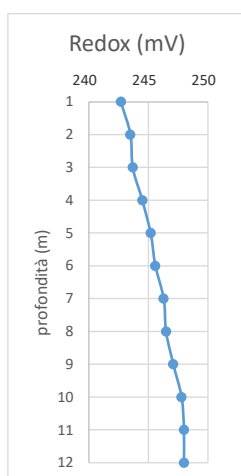
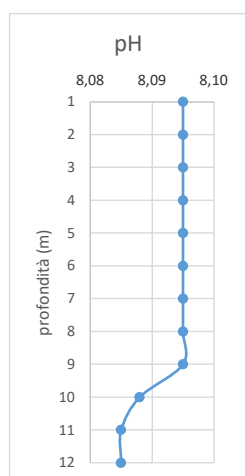
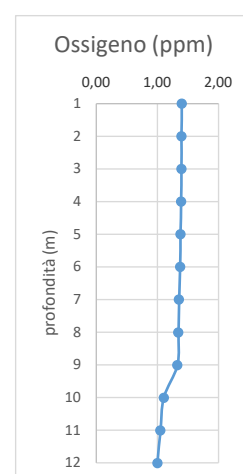
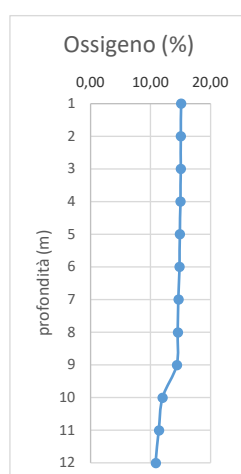
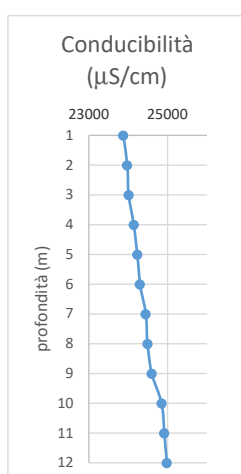
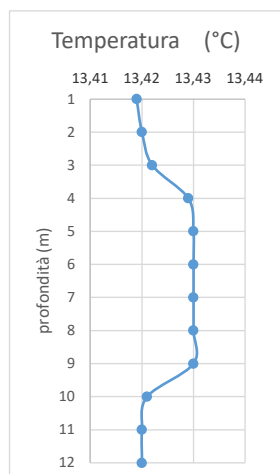


| ST04 – 22/12/2020 09:00 |             |               |          |          |      |                   |           |                   |                    |                   |
|-------------------------|-------------|---------------|----------|----------|------|-------------------|-----------|-------------------|--------------------|-------------------|
| Profondità              | Temperatura | Conducibilità | Ossigeno | Ossigeno | pH   | Potenziale Red-ox | Torbidità | Clorofilla 'a'    | direzione corrente | velocità corrente |
| m                       | °C          | µS/cm         | %        | ppm      | -    | mV                | NTU       | mg/m <sup>3</sup> | -                  | m/s               |
| 1                       | 15,92       | 37840         | 23,40    | 1,93     | 8,22 | 213               | 1,90      | 1,50              | N                  | 0,1               |
| 2                       | 15,93       | 37857         | 23,04    | 1,90     | 8,21 | 215               | 1,92      | 1,22              |                    |                   |
| 3                       | 15,93       | 37866         | 22,93    | 1,89     | 8,20 | 215               | 1,78      | 1,41              |                    |                   |
| 4                       | 15,93       | 37886         | 22,62    | 1,87     | 8,20 | 218               | 1,54      | 1,05              |                    |                   |
| 5                       | 15,93       | 37897         | 22,40    | 1,85     | 8,20 | 218               | 1,50      | 0,93              |                    |                   |
| 6                       | 15,92       | 37892         | 22,22    | 1,84     | 8,20 | 219               | 1,50      | 0,78              |                    |                   |
| 7                       | 15,89       | 37877         | 21,98    | 1,82     | 8,19 | 218               | 1,51      | 0,69              |                    |                   |
|                         |             |               |          |          |      |                   |           |                   |                    |                   |
|                         |             |               |          |          |      |                   |           |                   |                    |                   |
|                         |             |               |          |          |      |                   |           |                   |                    |                   |



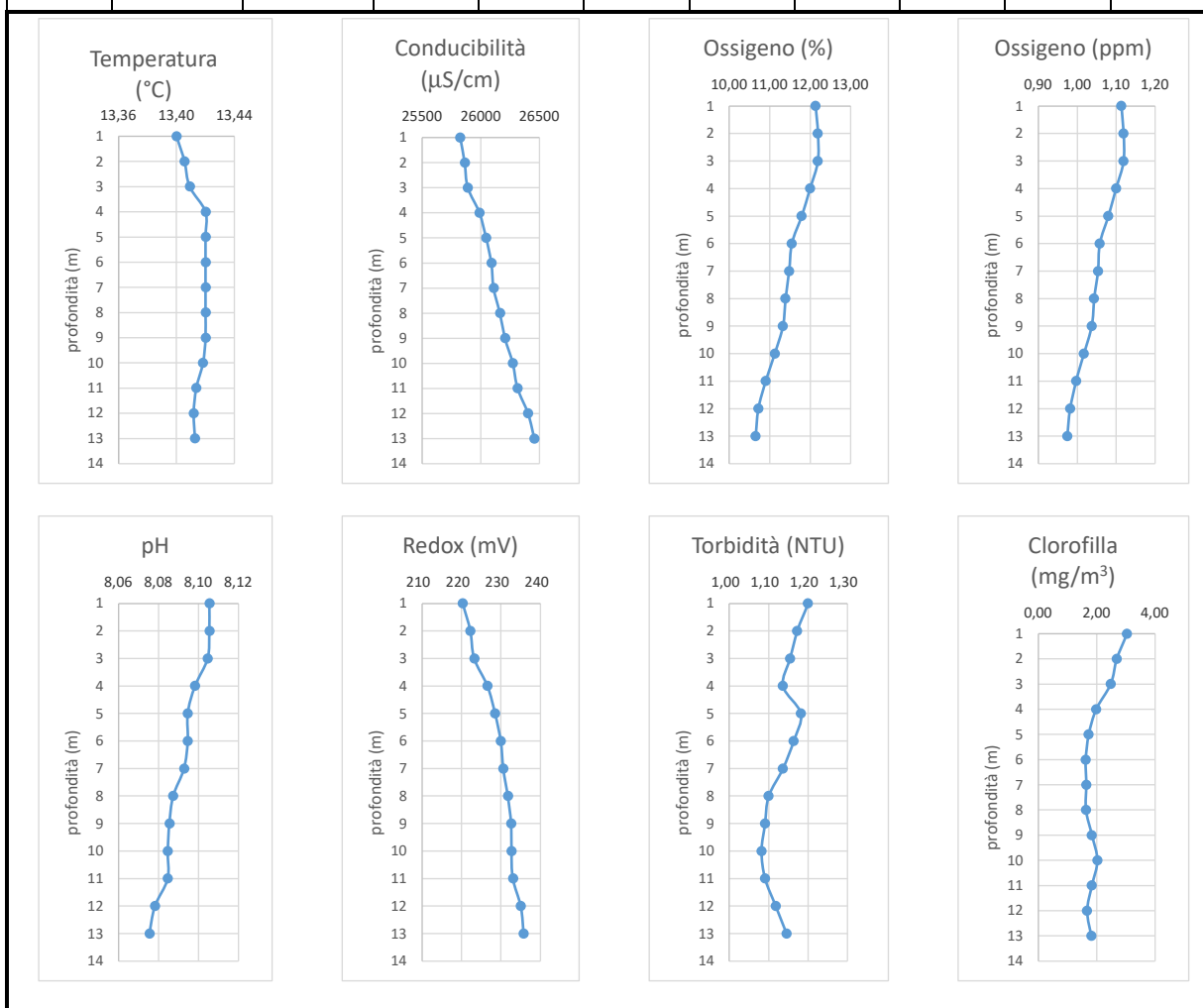
**ST05 - 27/01/2021 10:30**

| Profondità | Temperatura | Conducibilità | Ossigeno | Ossigeno | pH   | Potenziale Red-ox | Torbidità | Clorofilla 'a'    | direzione corrente | velocità corrente |
|------------|-------------|---------------|----------|----------|------|-------------------|-----------|-------------------|--------------------|-------------------|
| m          | °C          | μS/cm         | %        | ppm      | -    | mV                | NTU       | mg/m <sup>3</sup> | -                  | m/s               |
| 1          | 13,42       | 23878         | 15,10    | 1,40     | 8,10 | 243               | 1,26      | 2,71              | NW                 | 0,1               |
| 2          | 13,42       | 23977         | 15,04    | 1,39     | 8,10 | 244               | 1,34      | 2,31              |                    |                   |
| 3          | 13,42       | 24013         | 15,04    | 1,39     | 8,10 | 244               | 1,35      | 2,1               |                    |                   |
| 4          | 13,43       | 24142         | 14,99    | 1,39     | 8,10 | 245               | 1,16      | 1,53              |                    |                   |
| 5          | 13,43       | 24234         | 14,88    | 1,38     | 8,10 | 245               | 1,1       | 1,49              |                    |                   |
| 6          | 13,43       | 24303         | 14,82    | 1,37     | 8,10 | 246               | 1,09      | 1,56              |                    |                   |
| 7          | 13,43       | 24447         | 14,65    | 1,36     | 8,10 | 246               | 1         | 1,4               |                    |                   |
| 8          | 13,43       | 24494         | 14,54    | 1,34     | 8,10 | 247               | 1         | 1,49              |                    |                   |
| 9          | 13,43       | 24598         | 14,39    | 1,33     | 8,10 | 247               | 1,07      | 1,65              |                    |                   |
| 10         | 13,42       | 24851         | 12,00    | 1,11     | 8,09 | 248               | 1,09      | 1,69              |                    |                   |
| 11         | 13,42       | 24917         | 11,38    | 1,05     | 8,09 | 248               | 1,1       | 1,71              |                    |                   |
| 12         | 13,42       | 24984         | 10,84    | 1,00     | 8,09 | 248               | 1,1       | 1,91              |                    |                   |

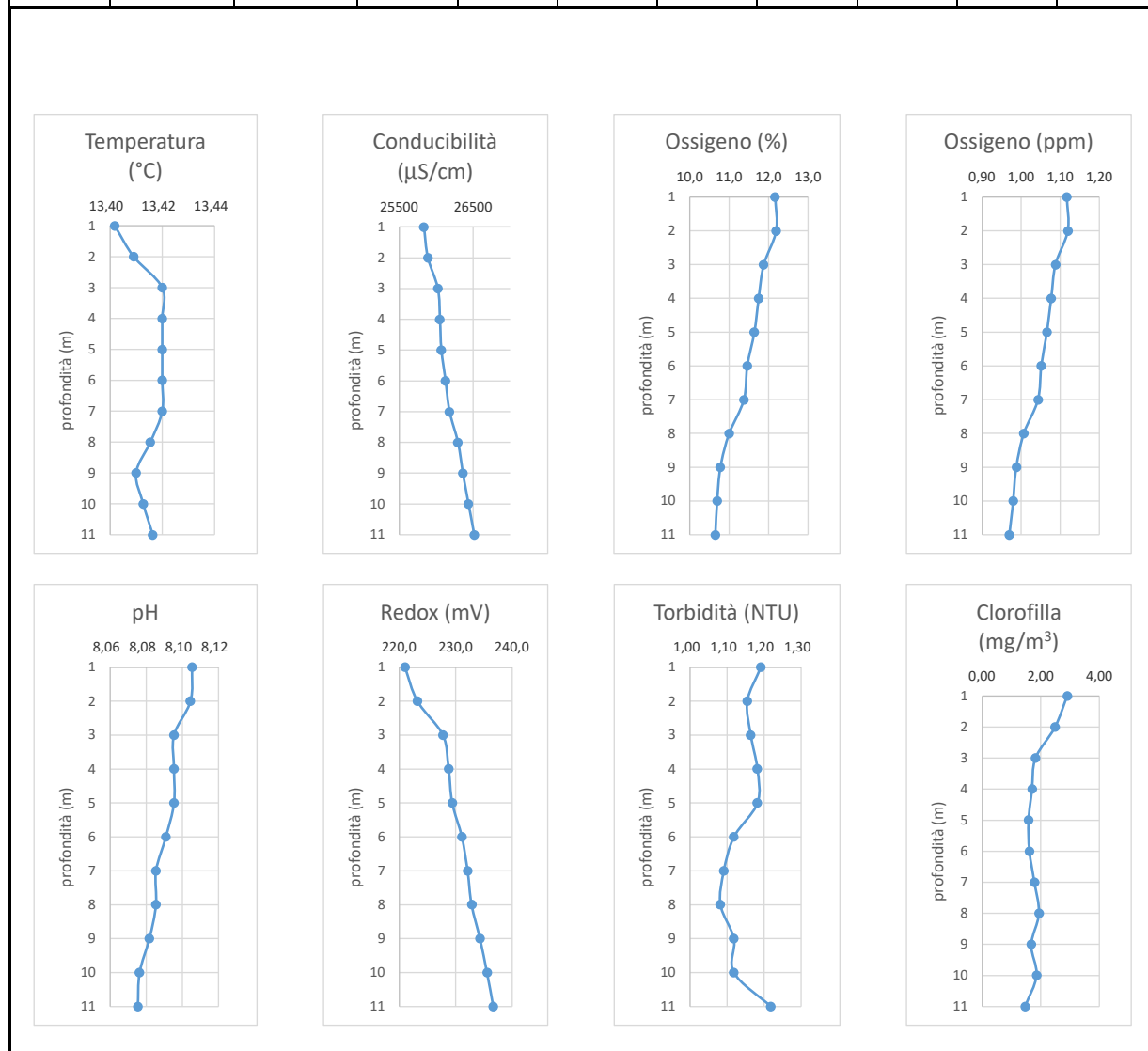


**ST06 - 27/01/2021 10:00**

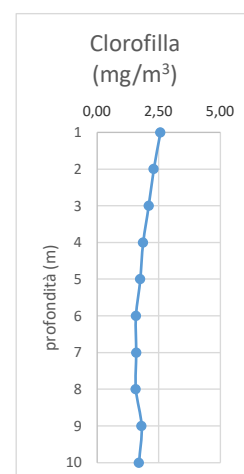
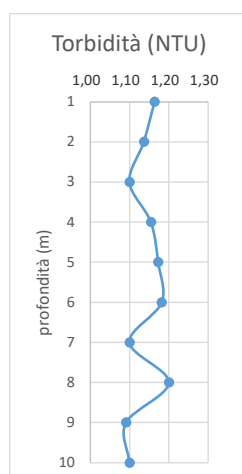
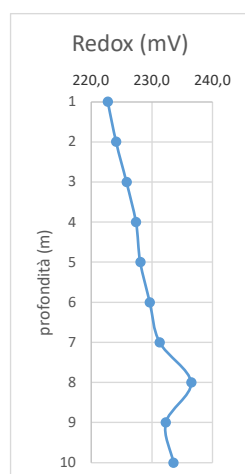
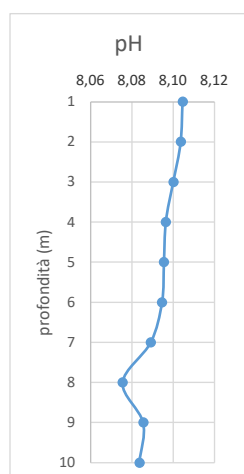
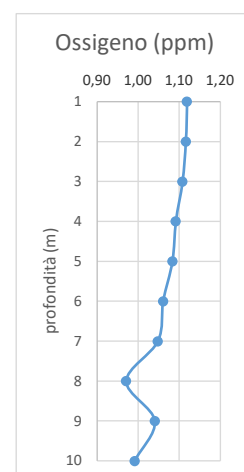
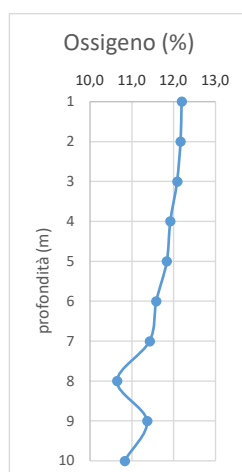
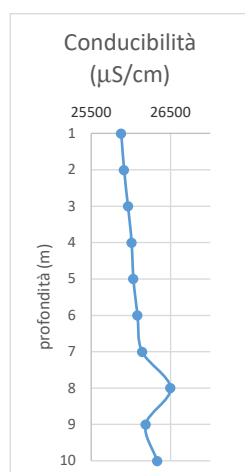
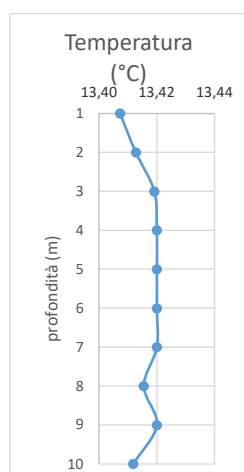
| Profondità | Temperatura | Conducibilità | Ossigeno | Ossigeno | pH   | Potenziale Red-ox | Torbidità | Clorofilla 'a' | direzione corrente | velocità corrente |
|------------|-------------|---------------|----------|----------|------|-------------------|-----------|----------------|--------------------|-------------------|
| m          | °C          | µS/cm         | %        | ppm      | -    | mV                | NTU       | mg/m³          | -                  | m/s               |
| 1          | 13,40       | 25824         | 12,14    | 1,11     | 8,11 | 220               | 1,20      | 3,04           | NW                 | 0,1               |
| 2          | 13,41       | 25862         | 12,19    | 1,12     | 8,11 | 222               | 1,17      | 2,69           |                    |                   |
| 3          | 13,41       | 25888         | 12,19    | 1,12     | 8,10 | 223               | 1,15      | 2,48           |                    |                   |
| 4          | 13,42       | 25987         | 12,00    | 1,10     | 8,10 | 227               | 1,14      | 1,98           |                    |                   |
| 5          | 13,42       | 26045         | 11,79    | 1,08     | 8,09 | 228               | 1,18      | 1,73           |                    |                   |
| 6          | 13,42       | 26089         | 11,55    | 1,06     | 8,09 | 230               | 1,16      | 1,63           |                    |                   |
| 7          | 13,42       | 26108         | 11,48    | 1,05     | 8,09 | 231               | 1,14      | 1,65           |                    |                   |
| 8          | 13,42       | 26162         | 11,39    | 1,04     | 8,09 | 232               | 1,10      | 1,64           |                    |                   |
| 9          | 13,42       | 26205         | 11,33    | 1,04     | 8,09 | 233               | 1,09      | 1,84           |                    |                   |
| 10         | 13,42       | 26271         | 11,13    | 1,02     | 8,08 | 233               | 1,08      | 2,03           |                    |                   |
| 11         | 13,41       | 26312         | 10,90    | 1,00     | 8,08 | 233               | 1,09      | 1,84           |                    |                   |
| 12         | 13,41       | 26401         | 10,72    | 0,98     | 8,08 | 235               | 1,12      | 1,67           |                    |                   |
| 13         | 13,41       | 26455         | 10,65    | 0,97     | 8,08 | 236               | 1,15      | 1,82           |                    |                   |



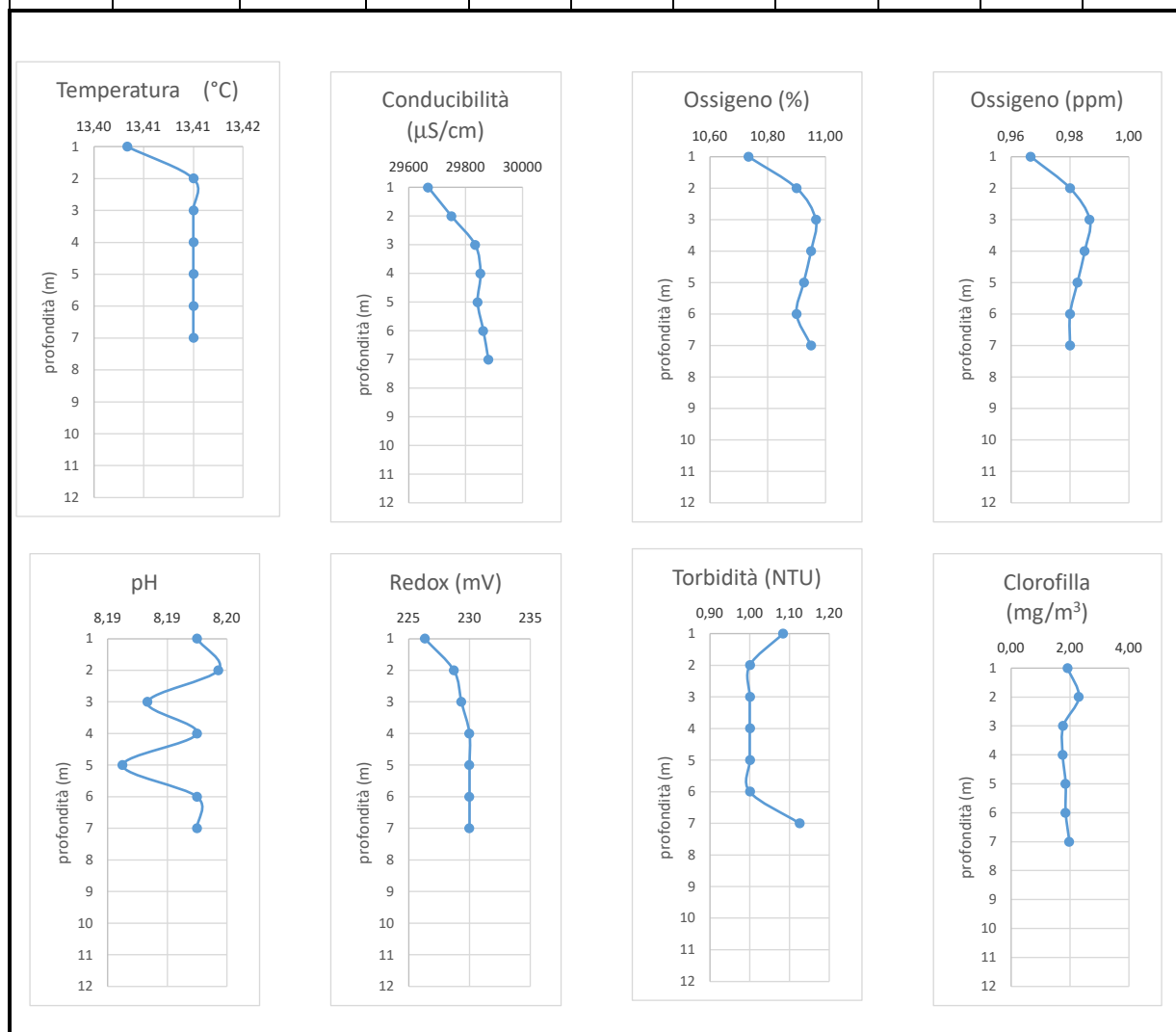
| ST07 – 27/01/2021 09:30 |             |               |          |          |      |                   |           |                   |                    |                   |
|-------------------------|-------------|---------------|----------|----------|------|-------------------|-----------|-------------------|--------------------|-------------------|
| Profondità              | Temperatura | Conducibilità | Ossigeno | Ossigeno | pH   | Potenziale Red-ox | Torbidità | Clorofilla 'a'    | direzione corrente | velocità corrente |
| m                       | °C          | µS/cm         | %        | ppm      | -    | mV                | NTU       | mg/m <sup>3</sup> | -                  | m/s               |
| 1                       | 13,40       | 25835         | 12,16    | 1,12     | 8,11 | 221,0             | 1,19      | 2,90              | NW                 | 0,1               |
| 2                       | 13,41       | 25888         | 12,19    | 1,12     | 8,10 | 223,2             | 1,15      | 2,48              |                    |                   |
| 3                       | 13,42       | 26025         | 11,87    | 1,09     | 8,10 | 227,7             | 1,16      | 1,82              |                    |                   |
| 4                       | 13,42       | 26051         | 11,75    | 1,08     | 8,10 | 228,7             | 1,18      | 1,70              |                    |                   |
| 5                       | 13,42       | 26070         | 11,64    | 1,07     | 8,10 | 229,4             | 1,18      | 1,58              |                    |                   |
| 6                       | 13,42       | 26128         | 11,45    | 1,05     | 8,09 | 231,1             | 1,12      | 1,61              |                    |                   |
| 7                       | 13,42       | 26181         | 11,37    | 1,04     | 8,09 | 232,1             | 1,09      | 1,78              |                    |                   |
| 8                       | 13,42       | 26294         | 11,00    | 1,01     | 8,09 | 232,8             | 1,08      | 1,94              |                    |                   |
| 9                       | 13,41       | 26363         | 10,77    | 0,99     | 8,08 | 234,3             | 1,12      | 1,67              |                    |                   |
| 10                      | 13,41       | 26437         | 10,69    | 0,98     | 8,08 | 235,5             | 1,12      | 1,85              |                    |                   |
| 11                      | 13,42       | 26516         | 10,65    | 0,97     | 8,08 | 236,6             | 1,22      | 1,46              |                    |                   |



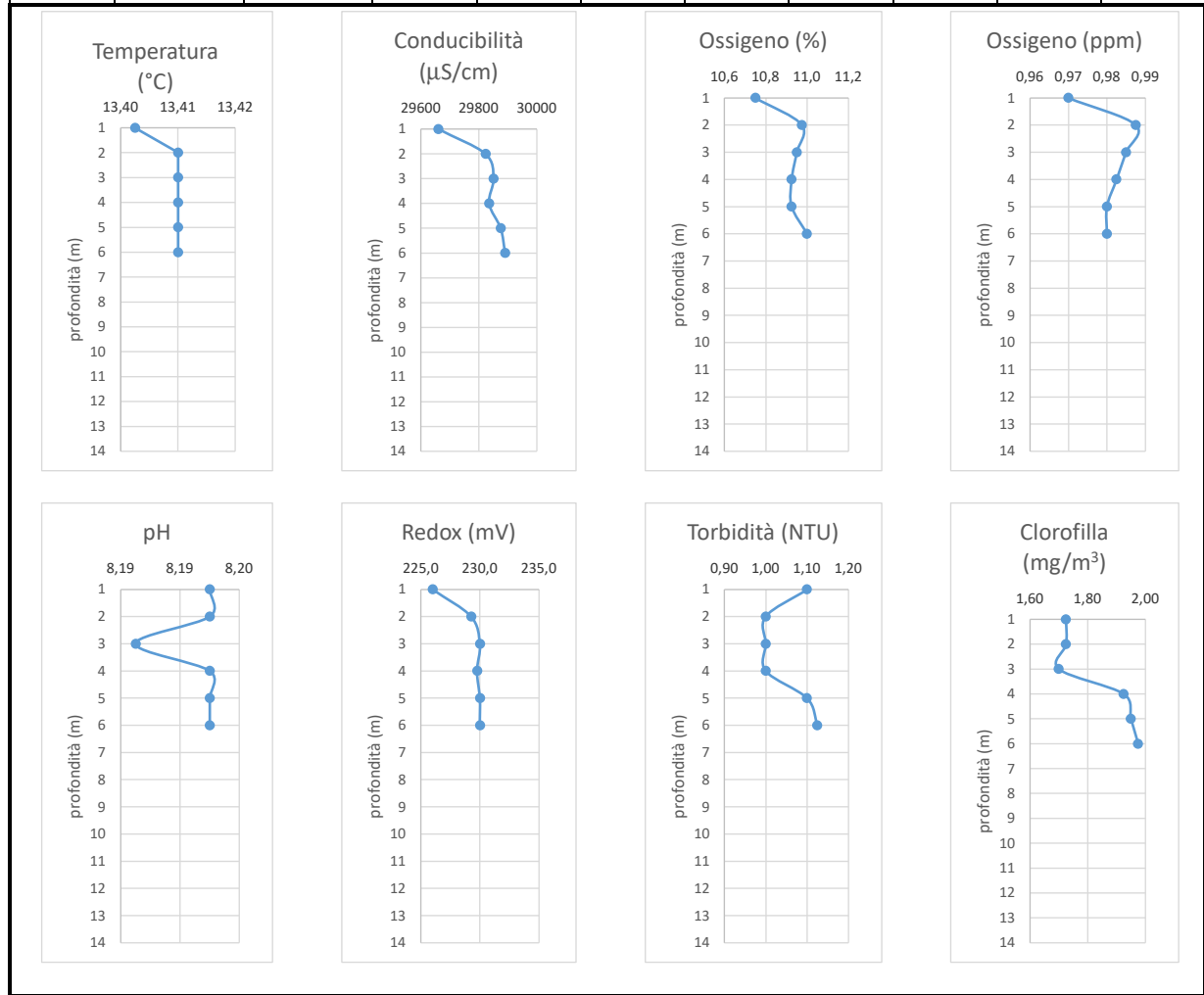
| ST08 – 27/01/2021 09:00 |             |               |          |          |      |                   |           |                   |                    |                   |
|-------------------------|-------------|---------------|----------|----------|------|-------------------|-----------|-------------------|--------------------|-------------------|
| Profondità              | Temperatura | Conducibilità | Ossigeno | Ossigeno | pH   | Potenziale Red-ox | Torbidità | Clorofilla 'a'    | direzione corrente | velocità corrente |
| m                       | °C          | µS/cm         | %        | ppm      | -    | mV                | NTU       | mg/m <sup>3</sup> | -                  | m/s               |
| 1                       | 13,41       | 25879         | 12,19    | 1,12     | 8,10 | 222,7             | 1,16      | 2,57              | NW                 | 0,1               |
| 2                       | 13,41       | 25915         | 12,16    | 1,12     | 8,10 | 224,1             | 1,14      | 2,30              |                    |                   |
| 3                       | 13,42       | 25965         | 12,08    | 1,11     | 8,10 | 225,8             | 1,10      | 2,10              |                    |                   |
| 4                       | 13,42       | 26010         | 11,92    | 1,09     | 8,10 | 227,4             | 1,15      | 1,87              |                    |                   |
| 5                       | 13,42       | 26031         | 11,84    | 1,08     | 8,10 | 228,1             | 1,17      | 1,75              |                    |                   |
| 6                       | 13,42       | 26084         | 11,58    | 1,06     | 8,09 | 229,6             | 1,18      | 1,58              |                    |                   |
| 7                       | 13,42       | 26142         | 11,43    | 1,05     | 8,09 | 231,3             | 1,10      | 1,59              |                    |                   |
| 8                       | 13,42       | 26498         | 10,65    | 0,97     | 8,08 | 236,5             | 1,20      | 1,57              |                    |                   |
| 9                       | 13,42       | 26186         | 11,36    | 1,04     | 8,09 | 232,3             | 1,09      | 1,81              |                    |                   |
| 10                      | 13,41       | 26331         | 10,83    | 0,99     | 8,08 | 233,5             | 1,10      | 1,70              |                    |                   |



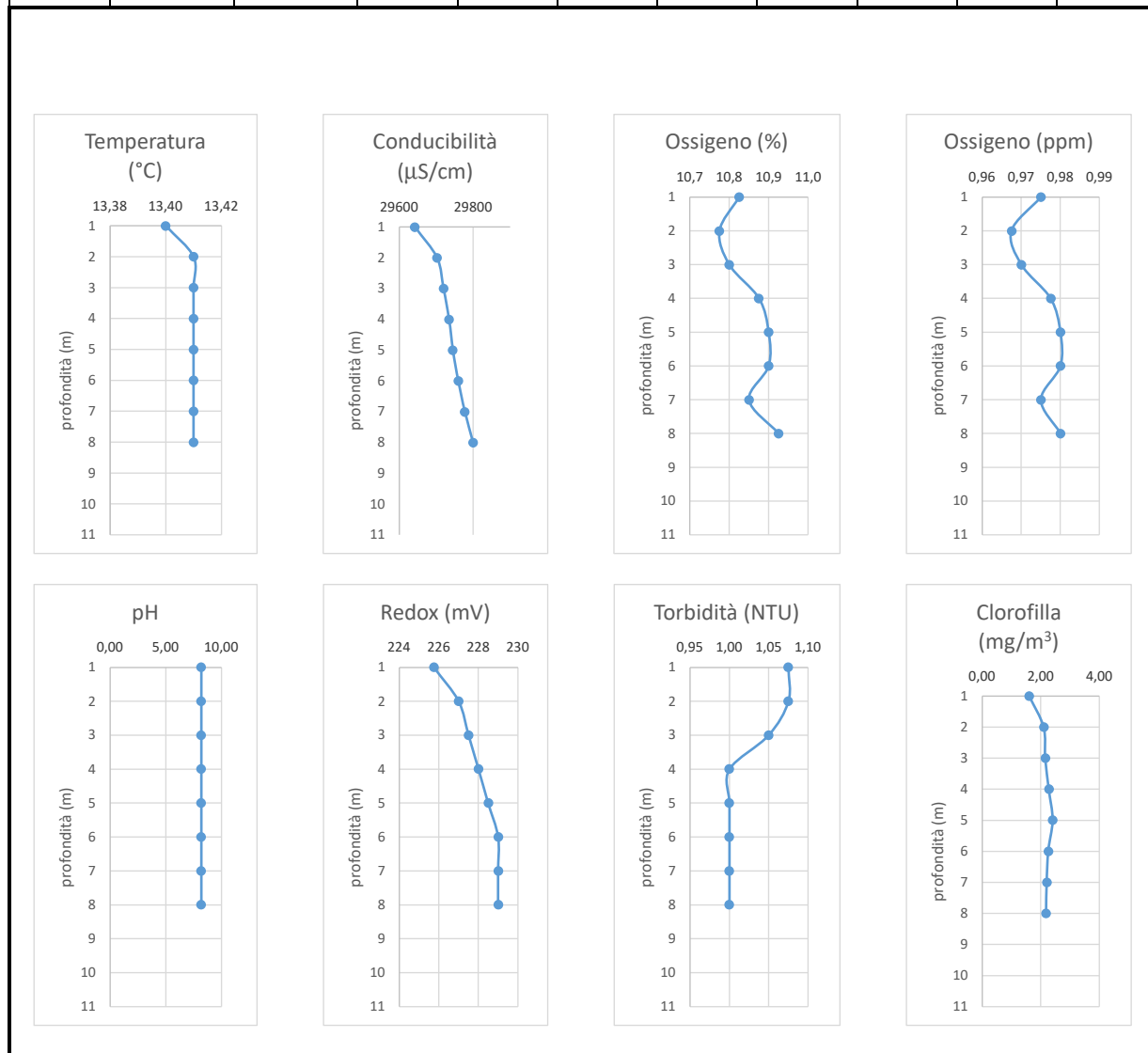
| ST01 - 28/01/2021 10:30 |             |               |          |          |      |                   |           |                   |                    |                   |
|-------------------------|-------------|---------------|----------|----------|------|-------------------|-----------|-------------------|--------------------|-------------------|
| Profondità              | Temperatura | Conducibilità | Ossigeno | Ossigeno | pH   | Potenziale Red-ox | Torbidità | Clorofilla 'a'    | direzione corrente | velocità corrente |
| m                       | °C          | µS/cm         | %        | ppm      | -    | mV                | NTU       | mg/m <sup>3</sup> | -                  | m/s               |
| 1                       | 13,40       | 29668         | 10,73    | 0,97     | 8,20 | 226               | 1,08      | 1,92              | SW                 | 0,2               |
| 2                       | 13,41       | 29750         | 10,90    | 0,98     | 8,20 | 229               | 1,00      | 2,30              |                    |                   |
| 3                       | 13,41       | 29833         | 10,97    | 0,99     | 8,19 | 229               | 1,00      | 1,77              |                    |                   |
| 4                       | 13,41       | 29853         | 10,95    | 0,99     | 8,20 | 230               | 1,00      | 1,75              |                    |                   |
| 5                       | 13,41       | 29843         | 10,93    | 0,98     | 8,19 | 230               | 1,00      | 1,85              |                    |                   |
| 6                       | 13,41       | 29863         | 10,90    | 0,98     | 8,20 | 230               | 1,00      | 1,85              |                    |                   |
| 7                       | 13,41       | 29880         | 10,95    | 0,98     | 8,20 | 230               | 1,13      | 1,98              |                    |                   |
|                         |             |               |          |          |      |                   |           |                   |                    |                   |
|                         |             |               |          |          |      |                   |           |                   |                    |                   |
|                         |             |               |          |          |      |                   |           |                   |                    |                   |
|                         |             |               |          |          |      |                   |           |                   |                    |                   |
|                         |             |               |          |          |      |                   |           |                   |                    |                   |
|                         |             |               |          |          |      |                   |           |                   |                    |                   |



| ST02 - 28/01/2021 10:00 |             |               |          |          |      |                   |           |                |                    |                   |
|-------------------------|-------------|---------------|----------|----------|------|-------------------|-----------|----------------|--------------------|-------------------|
| Profondità              | Temperatura | Conducibilità | Ossigeno | Ossigeno | pH   | Potenziale Red-ox | Torbidità | Clorofilla 'a' | direzione corrente | velocità corrente |
| m                       | °C          | µS/cm         | %        | ppm      | -    | mV                | NTU       | mg/m³          | -                  | m/s               |
| 1                       | 13,40       | 29660         | 10,75    | 0,97     | 8,20 | 226               | 1,10      | 1,73           | SW                 | 0,2               |
| 2                       | 13,41       | 29823         | 10,98    | 0,99     | 8,20 | 229               | 1,00      | 1,73           |                    |                   |
| 3                       | 13,41       | 29850         | 10,95    | 0,99     | 8,19 | 230               | 1,00      | 1,70           |                    |                   |
| 4                       | 13,41       | 29835         | 10,93    | 0,98     | 8,20 | 230               | 1,00      | 1,93           |                    |                   |
| 5                       | 13,41       | 29875         | 10,93    | 0,98     | 8,20 | 230               | 1,10      | 1,95           |                    |                   |
| 6                       | 13,41       | 29890         | 11,00    | 0,98     | 8,20 | 230               | 1,13      | 1,98           |                    |                   |
|                         |             |               |          |          |      |                   |           |                |                    |                   |
|                         |             |               |          |          |      |                   |           |                |                    |                   |
|                         |             |               |          |          |      |                   |           |                |                    |                   |
|                         |             |               |          |          |      |                   |           |                |                    |                   |
|                         |             |               |          |          |      |                   |           |                |                    |                   |
|                         |             |               |          |          |      |                   |           |                |                    |                   |
|                         |             |               |          |          |      |                   |           |                |                    |                   |
|                         |             |               |          |          |      |                   |           |                |                    |                   |
|                         |             |               |          |          |      |                   |           |                |                    |                   |
|                         |             |               |          |          |      |                   |           |                |                    |                   |
|                         |             |               |          |          |      |                   |           |                |                    |                   |
|                         |             |               |          |          |      |                   |           |                |                    |                   |
|                         |             |               |          |          |      |                   |           |                |                    |                   |
|                         |             |               |          |          |      |                   |           |                |                    |                   |
|                         |             |               |          |          |      |                   |           |                |                    |                   |
|                         |             |               |          |          |      |                   |           |                |                    |                   |
|                         |             |               |          |          |      |                   |           |                |                    |                   |

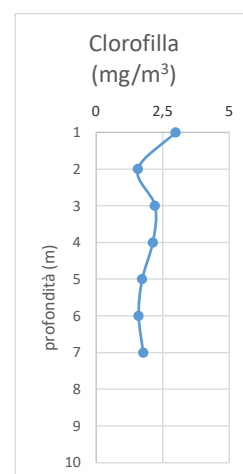
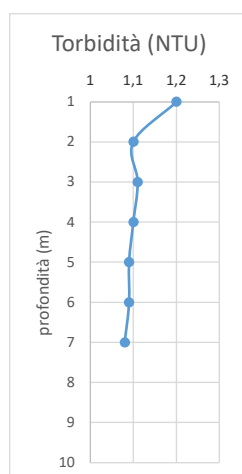
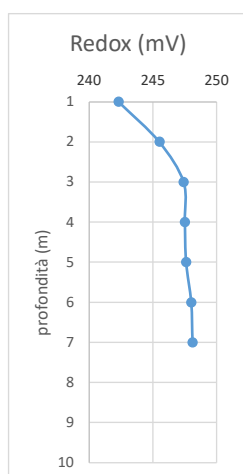
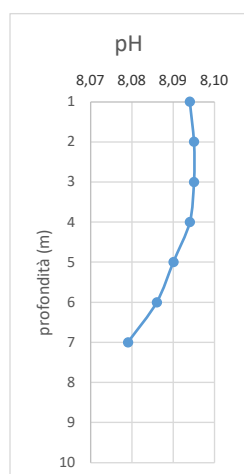
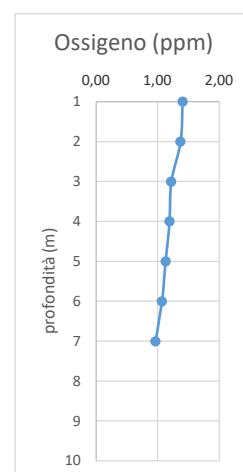
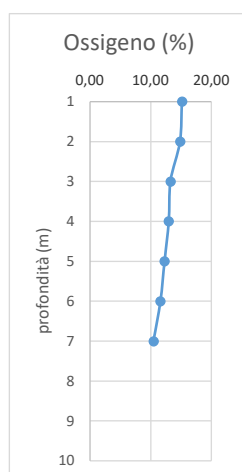
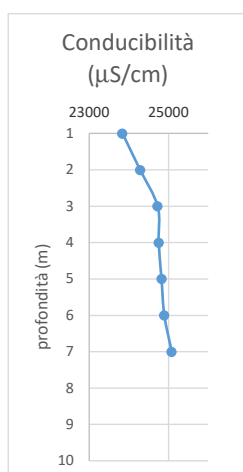
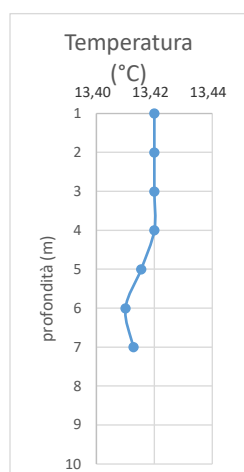


| ST03 – 28/01/2021 09:30 |             |               |          |          |      |                   |           |                   |                    |                   |
|-------------------------|-------------|---------------|----------|----------|------|-------------------|-----------|-------------------|--------------------|-------------------|
| Profondità              | Temperatura | Conducibilità | Ossigeno | Ossigeno | pH   | Potenziale Red-ox | Torbidità | Clorofilla 'a'    | direzione corrente | velocità corrente |
| m                       | °C          | µS/cm         | %        | ppm      | -    | mV                | NTU       | mg/m <sup>3</sup> | -                  | m/s               |
| 1                       | 13,40       | 29643         | 10,83    | 0,98     | 8,20 | 225,8             | 1,08      | 1,60              | SW                 | 0,2               |
| 2                       | 13,41       | 29703         | 10,78    | 0,97     | 8,20 | 227,0             | 1,08      | 2,10              |                    |                   |
| 3                       | 13,41       | 29720         | 10,80    | 0,97     | 8,20 | 227,5             | 1,05      | 2,15              |                    |                   |
| 4                       | 13,41       | 29735         | 10,88    | 0,98     | 8,20 | 228,0             | 1,00      | 2,28              |                    |                   |
| 5                       | 13,41       | 29745         | 10,90    | 0,98     | 8,20 | 228,5             | 1,00      | 2,40              |                    |                   |
| 6                       | 13,41       | 29760         | 10,90    | 0,98     | 8,20 | 229,00            | 1,00      | 2,25              |                    |                   |
| 7                       | 13,41       | 29778         | 10,85    | 0,98     | 8,20 | 229,00            | 1,00      | 2,20              |                    |                   |
| 8                       | 13,41       | 29800         | 10,93    | 0,98     | 8,20 | 229,00            | 1,00      | 2,18              |                    |                   |
|                         |             |               |          |          |      |                   |           |                   |                    |                   |
|                         |             |               |          |          |      |                   |           |                   |                    |                   |
|                         |             |               |          |          |      |                   |           |                   |                    |                   |



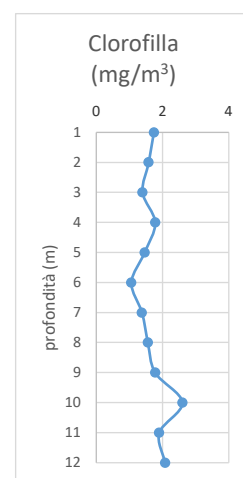
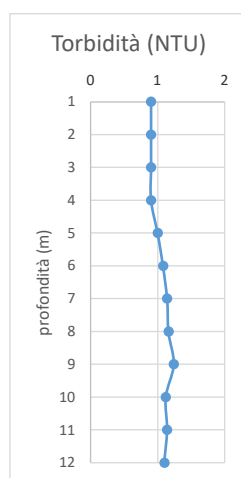
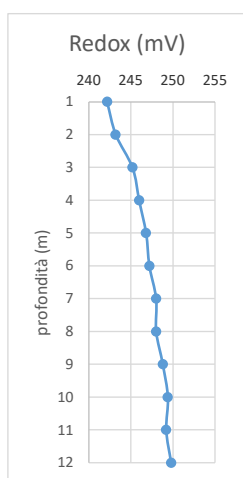
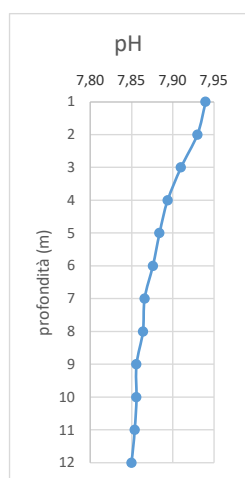
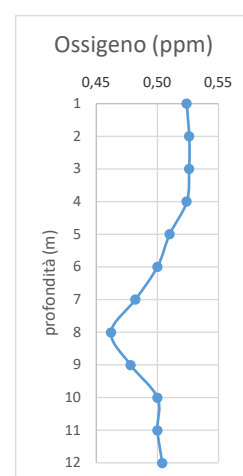
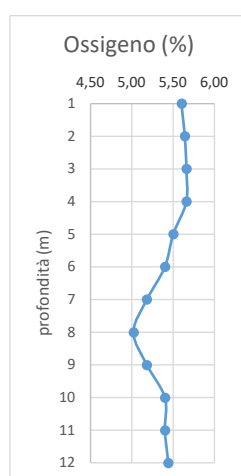
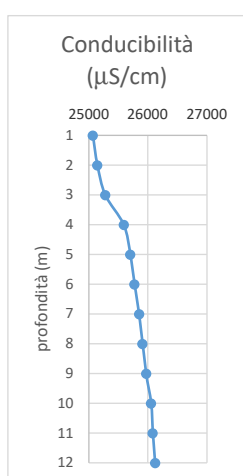
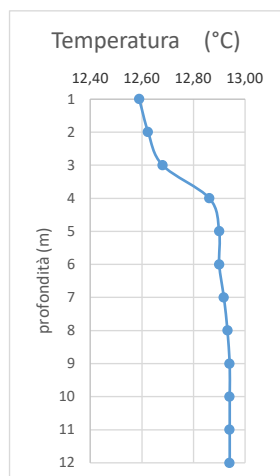


| ST04 – 28/01/2021 09:00 |             |               |          |          |      |                   |           |                   |                    |                   |
|-------------------------|-------------|---------------|----------|----------|------|-------------------|-----------|-------------------|--------------------|-------------------|
| Profondità              | Temperatura | Conducibilità | Ossigeno | Ossigeno | pH   | Potenziale Red-ox | Torbidità | Clorofilla 'a'    | direzione corrente | velocità corrente |
| m                       | °C          | μS/cm         | %        | ppm      | -    | mV                | NTU       | mg/m <sup>3</sup> | -                  | m/s               |
| 1                       | 13,42       | 23836         | 15,15    | 1,41     | 8,09 | 242,3             | 1,2       | 2,98              | SW                 | 0,2               |
| 2                       | 13,43       | 24286         | 14,83    | 1,37     | 8,10 | 245,5             | 1,1       | 1,57              |                    |                   |
| 3                       | 13,43       | 24725         | 13,26    | 1,22     | 8,10 | 247,4             | 1,11      | 2,21              |                    |                   |
| 4                       | 13,43       | 24753         | 12,96    | 1,19     | 8,09 | 247,5             | 1,1       | 2,13              |                    |                   |
| 5                       | 13,42       | 24824         | 12,27    | 1,13     | 8,09 | 247,6             | 1,09      | 1,73              |                    |                   |
| 6                       | 13,42       | 24891         | 11,60    | 1,07     | 8,09 | 248               | 1,09      | 1,6               |                    |                   |
| 7                       | 13,42       | 25079         | 10,46    | 0,97     | 8,08 | 248,1             | 1,08      | 1,77              |                    |                   |
|                         |             |               |          |          |      |                   |           |                   |                    |                   |
|                         |             |               |          |          |      |                   |           |                   |                    |                   |
|                         |             |               |          |          |      |                   |           |                   |                    |                   |



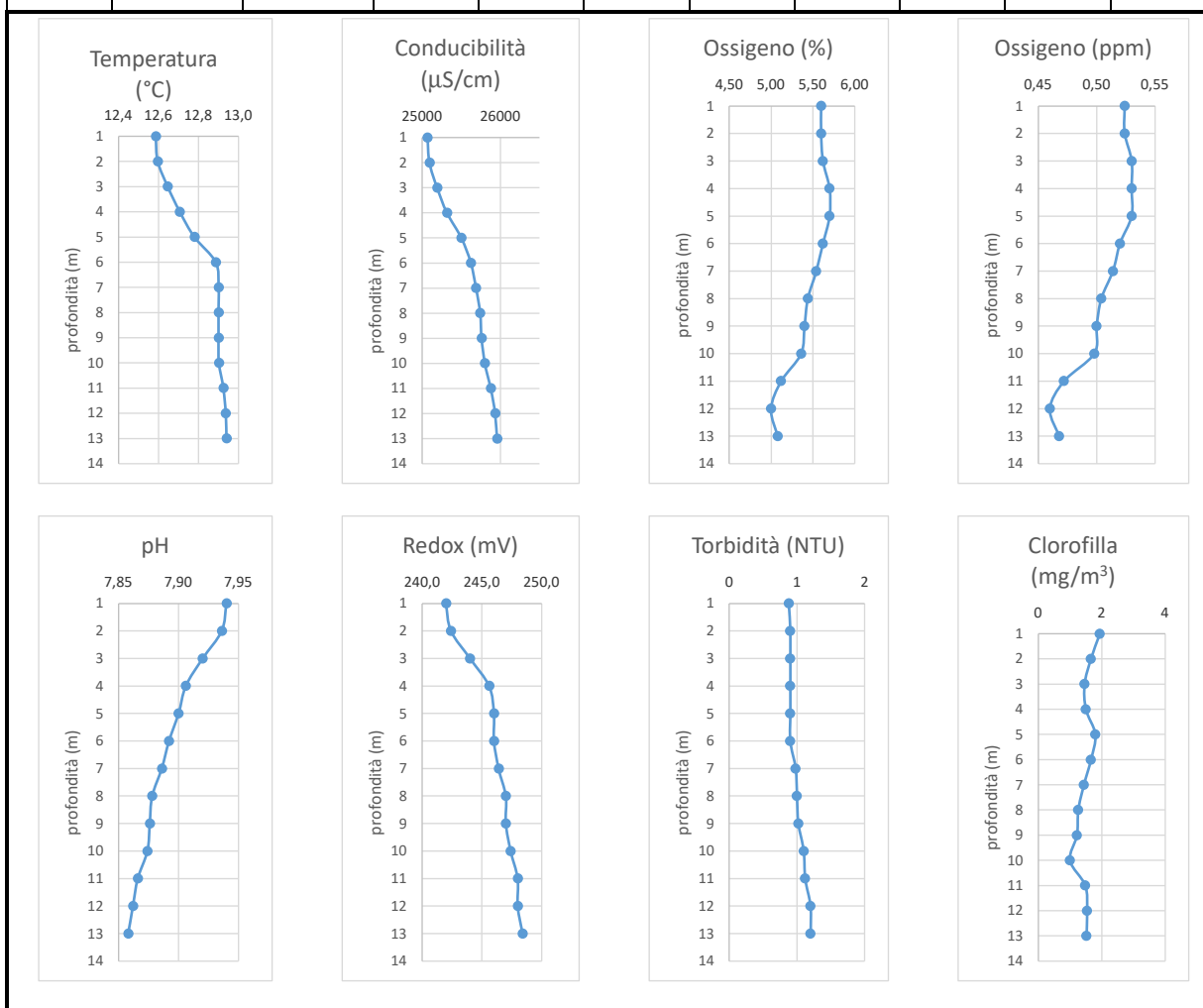
**ST05 - 15/02/2021 10:30**

| Profondità | Temperatura | Conducibilità | Ossigeno | Ossigeno | pH   | Potenziale Red-ox | Torbidità | Clorofilla 'a'    | direzione corrente | velocità corrente |
|------------|-------------|---------------|----------|----------|------|-------------------|-----------|-------------------|--------------------|-------------------|
| m          | °C          | μS/cm         | %        | ppm      | -    | mV                | NTU       | mg/m <sup>3</sup> | -                  | m/s               |
| 1          | 12,59       | 25072         | 5,60     | 0,52     | 7,94 | 242,2             | 0,9       | 1,74              | NW                 | 0,2               |
| 2          | 12,62       | 25146         | 5,64     | 0,53     | 7,93 | 243,2             | 0,9       | 1,58              |                    |                   |
| 3          | 12,68       | 25280         | 5,66     | 0,53     | 7,91 | 245,2             | 0,9       | 1,4               |                    |                   |
| 4          | 12,86       | 25594         | 5,66     | 0,52     | 7,89 | 246               | 0,9       | 1,78              |                    |                   |
| 5          | 12,90       | 25704         | 5,50     | 0,51     | 7,88 | 246,8             | 1         | 1,46              |                    |                   |
| 6          | 12,90       | 25776         | 5,40     | 0,50     | 7,88 | 247,2             | 1,08      | 1,06              |                    |                   |
| 7          | 12,92       | 25854         | 5,18     | 0,48     | 7,87 | 248               | 1,14      | 1,38              |                    |                   |
| 8          | 12,93       | 25912         | 5,02     | 0,46     | 7,86 | 248               | 1,16      | 1,56              |                    |                   |
| 9          | 12,94       | 25972         | 5,18     | 0,48     | 7,86 | 248,8             | 1,24      | 1,78              |                    |                   |
| 10         | 12,94       | 26056         | 5,40     | 0,50     | 7,86 | 249,4             | 1,12      | 2,6               |                    |                   |
| 11         | 12,94       | 26084         | 5,40     | 0,50     | 7,85 | 249,2             | 1,14      | 1,9               |                    |                   |
| 12         | 12,94       | 26124         | 5,44     | 0,50     | 7,85 | 249,8             | 1,1       | 2,08              |                    |                   |

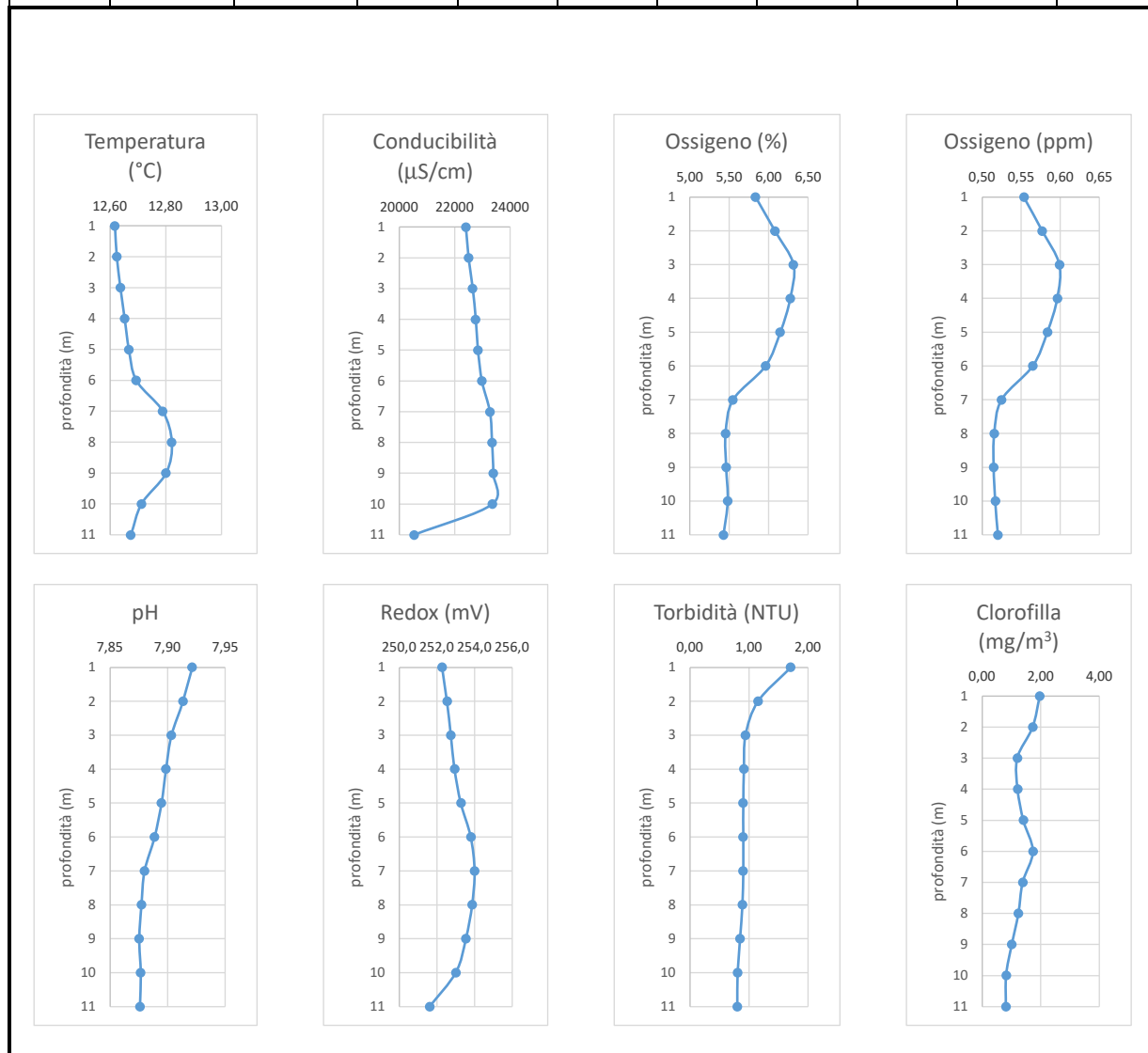


**ST06 - 15/02/2021 10:00**

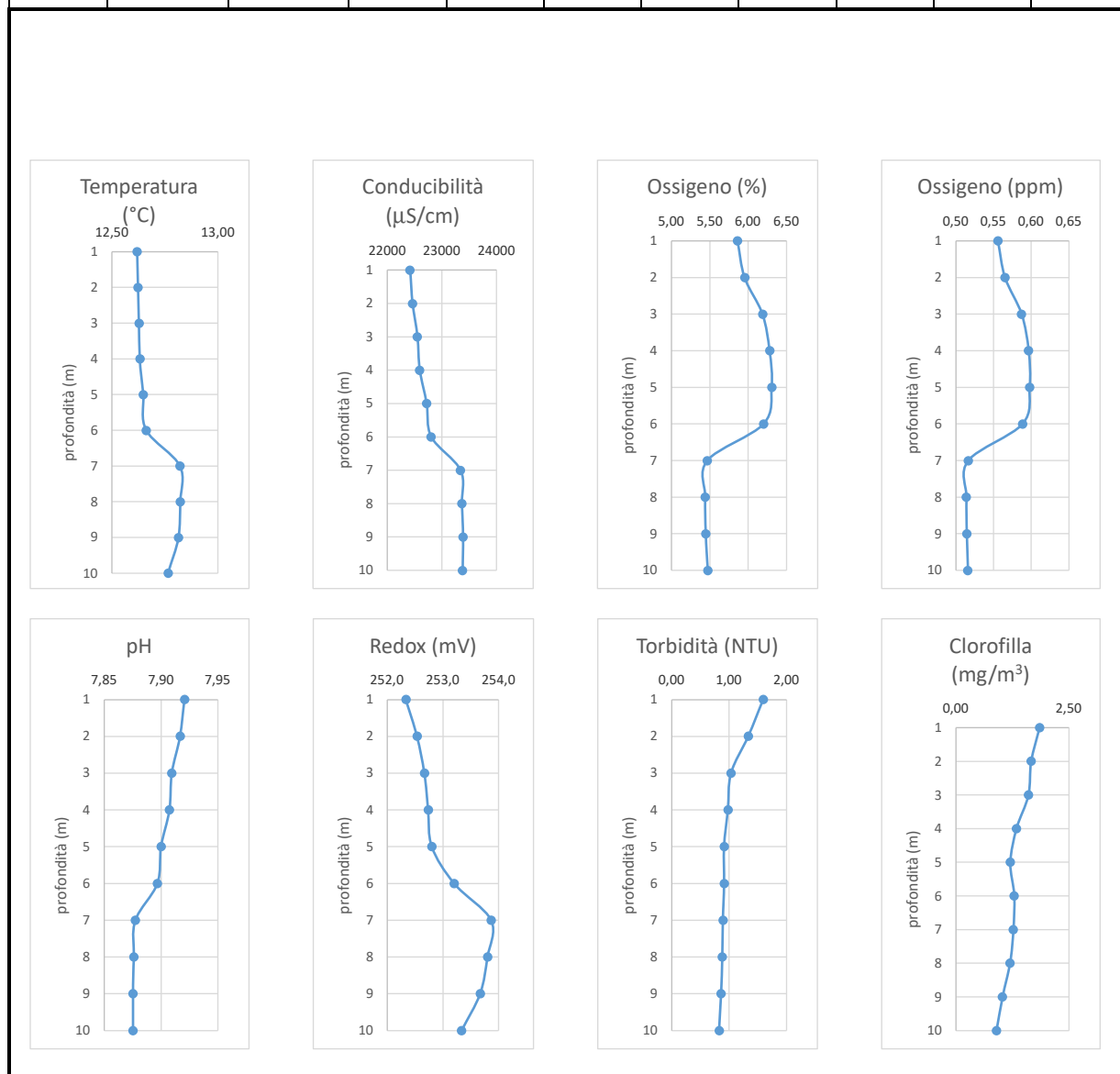
| Profondità | Temperatura | Conducibilità | Ossigeno | Ossigeno | pH   | Potenziale Red-ox | Torbidità | Clorofilla 'a'    | direzione corrente | velocità corrente |
|------------|-------------|---------------|----------|----------|------|-------------------|-----------|-------------------|--------------------|-------------------|
| m          | °C          | μS/cm         | %        | ppm      | -    | mV                | NTU       | mg/m <sup>3</sup> | -                  | m/s               |
| 1          | 12,59       | 25068         | 5,60     | 0,52     | 7,94 | 242,0             | 0,88      | 1,94              | NW                 | 0,2               |
| 2          | 12,60       | 25094         | 5,60     | 0,52     | 7,94 | 242,4             | 0,9       | 1,66              |                    |                   |
| 3          | 12,65       | 25192         | 5,62     | 0,53     | 7,92 | 244,0             | 0,9       | 1,46              |                    |                   |
| 4          | 12,71       | 25316         | 5,70     | 0,53     | 7,91 | 245,6             | 0,9       | 1,5               |                    |                   |
| 5          | 12,78       | 25500         | 5,70     | 0,53     | 7,90 | 246,0             | 0,9       | 1,8               |                    |                   |
| 6          | 12,89       | 25622         | 5,62     | 0,52     | 7,89 | 246,0             | 0,9       | 1,66              |                    |                   |
| 7          | 12,90       | 25688         | 5,54     | 0,51     | 7,89 | 246,4             | 0,98      | 1,44              |                    |                   |
| 8          | 12,90       | 25740         | 5,44     | 0,50     | 7,88 | 247,0             | 1         | 1,26              |                    |                   |
| 9          | 12,90       | 25758         | 5,40     | 0,50     | 7,88 | 247,0             | 1,02      | 1,22              |                    |                   |
| 10         | 12,90       | 25800         | 5,36     | 0,50     | 7,87 | 247,4             | 1,1       | 1                 |                    |                   |
| 11         | 12,92       | 25876         | 5,12     | 0,47     | 7,87 | 248,0             | 1,12      | 1,48              |                    |                   |
| 12         | 12,94       | 25932         | 5,00     | 0,46     | 7,86 | 248,0             | 1,2       | 1,54              |                    |                   |
| 13         | 12,94       | 25956         | 5,08     | 0,47     | 7,86 | 248,4             | 1,2       | 1,52              |                    |                   |



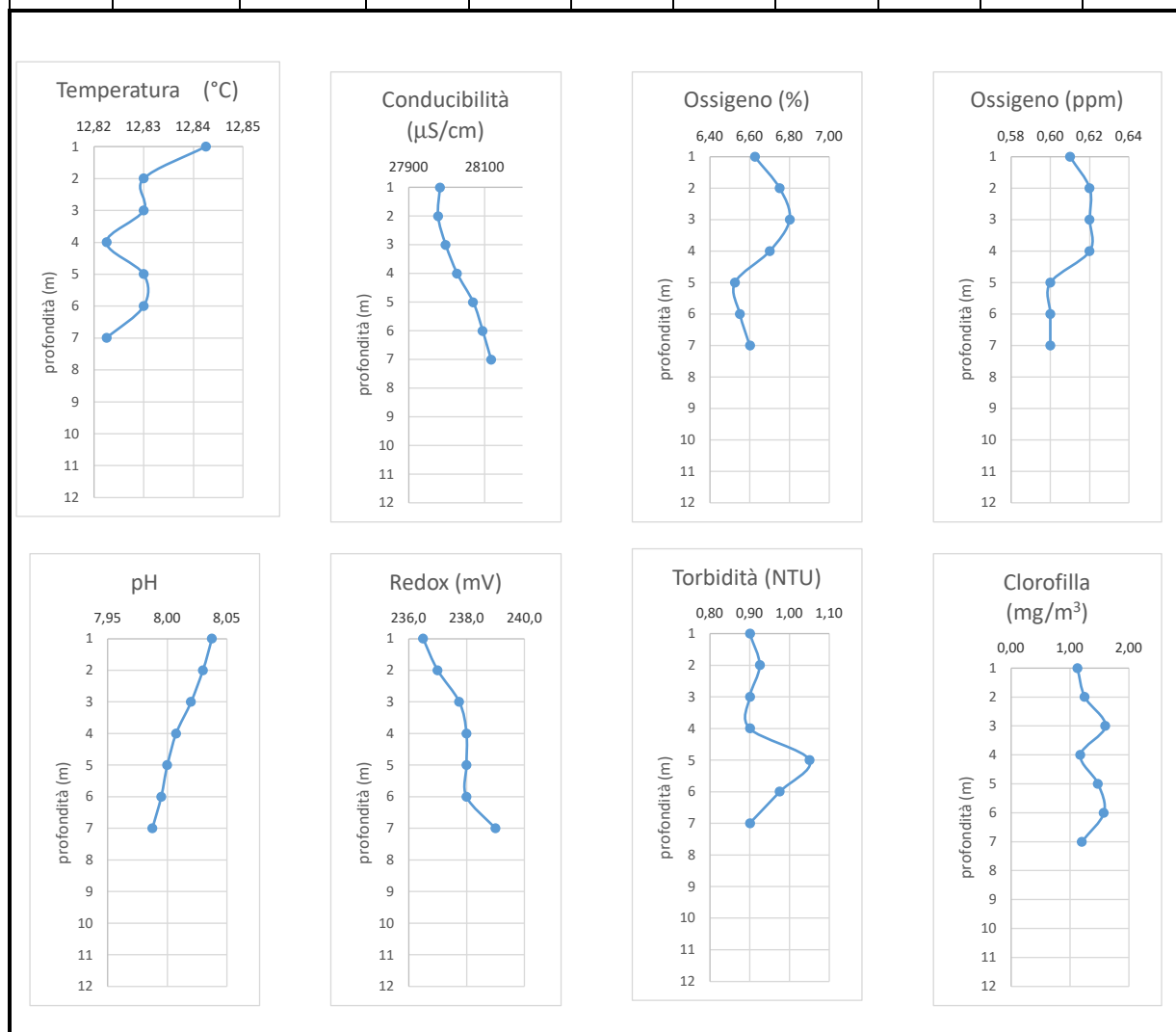
| ST07 – 15/02/2021 09:30 |             |               |          |          |      |                   |           |                   |                    |                   |
|-------------------------|-------------|---------------|----------|----------|------|-------------------|-----------|-------------------|--------------------|-------------------|
| Profondità              | Temperatura | Conducibilità | Ossigeno | Ossigeno | pH   | Potenziale Red-ox | Torbidità | Clorofilla 'a'    | direzione corrente | velocità corrente |
| m                       | °C          | µS/cm         | %        | ppm      | -    | mV                | NTU       | mg/m <sup>3</sup> | -                  | m/s               |
| 1                       | 12,62       | 22408,0       | 5,83     | 0,55     | 7,92 | 252,3             | 1,71      | 1,96              | NW                 | 0,2               |
| 2                       | 12,62       | 22504,7       | 6,08     | 0,58     | 7,91 | 252,5             | 1,15      | 1,72              |                    |                   |
| 3                       | 12,64       | 22652,0       | 6,31     | 0,60     | 7,90 | 252,7             | 0,94      | 1,19              |                    |                   |
| 4                       | 12,65       | 22758,0       | 6,27     | 0,60     | 7,90 | 252,9             | 0,91      | 1,21              |                    |                   |
| 5                       | 12,67       | 22843,3       | 6,15     | 0,58     | 7,89 | 253,3             | 0,90      | 1,40              |                    |                   |
| 6                       | 12,69       | 22982,0       | 5,96     | 0,56     | 7,89 | 253,8             | 0,90      | 1,73              |                    |                   |
| 7                       | 12,79       | 23274,0       | 5,55     | 0,52     | 7,88 | 254,0             | 0,90      | 1,38              |                    |                   |
| 8                       | 12,82       | 23352,0       | 5,45     | 0,52     | 7,88 | 253,9             | 0,89      | 1,23              |                    |                   |
| 9                       | 12,80       | 23395,3       | 5,46     | 0,51     | 7,88 | 253,5             | 0,85      | 1,01              |                    |                   |
| 10                      | 12,71       | 23360,7       | 5,48     | 0,52     | 7,88 | 253,0             | 0,81      | 0,81              |                    |                   |
| 11                      | 12,67       | 20539,7       | 5,43     | 0,52     | 7,88 | 251,6             | 0,80      | 0,81              |                    |                   |



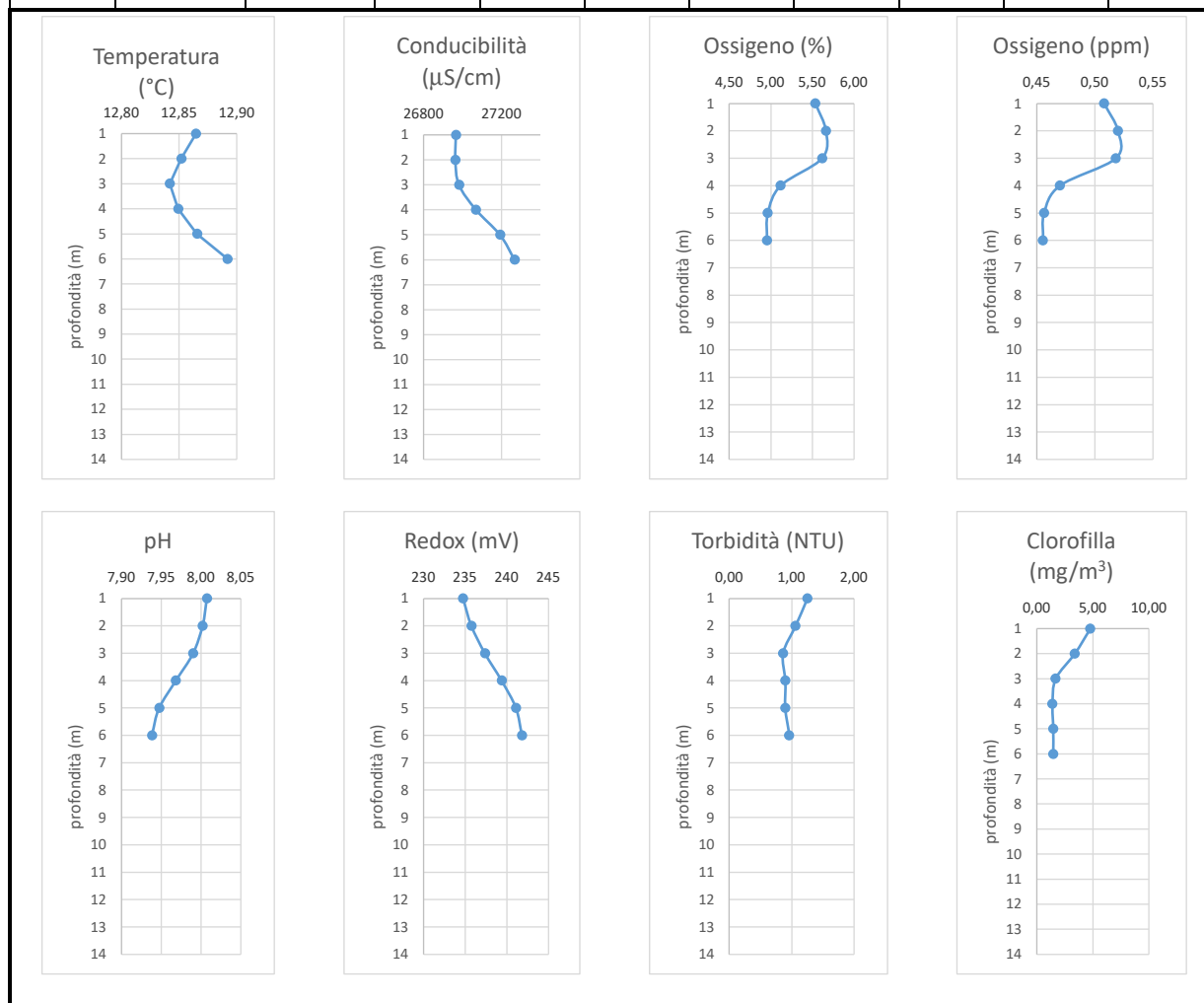
| ST08 – 15/02/2021 09:00 |             |               |          |          |      |                   |           |                   |                    |                   |
|-------------------------|-------------|---------------|----------|----------|------|-------------------|-----------|-------------------|--------------------|-------------------|
| Profondità              | Temperatura | Conducibilità | Ossigeno | Ossigeno | pH   | Potenziale Red-ox | Torbidità | Clorofilla 'a'    | direzione corrente | velocità corrente |
| m                       | °C          | μS/cm         | %        | ppm      | -    | mV                | NTU       | mg/m <sup>3</sup> | -                  | m/s               |
| 1                       | 12,62       | 22418,7       | 5,86     | 0,56     | 7,92 | 252,3             | 1,59      | 1,85              | NW                 | 0,2               |
| 2                       | 12,62       | 22465,3       | 5,95     | 0,57     | 7,92 | 252,5             | 1,33      | 1,67              |                    |                   |
| 3                       | 12,63       | 22553,3       | 6,19     | 0,59     | 7,91 | 252,7             | 1,03      | 1,61              |                    |                   |
| 4                       | 12,63       | 22596,0       | 6,28     | 0,60     | 7,91 | 252,7             | 0,98      | 1,34              |                    |                   |
| 5                       | 12,65       | 22722,7       | 6,31     | 0,60     | 7,90 | 252,8             | 0,91      | 1,21              |                    |                   |
| 6                       | 12,66       | 22806,0       | 6,20     | 0,59     | 7,90 | 253,2             | 0,91      | 1,29              |                    |                   |
| 7                       | 12,82       | 23342,0       | 5,47     | 0,52     | 7,88 | 253,9             | 0,89      | 1,27              |                    |                   |
| 8                       | 12,82       | 23365,3       | 5,44     | 0,51     | 7,88 | 253,8             | 0,88      | 1,20              |                    |                   |
| 9                       | 12,81       | 23388,7       | 5,45     | 0,51     | 7,88 | 253,7             | 0,86      | 1,03              |                    |                   |
| 10                      | 12,76       | 23380,0       | 5,47     | 0,52     | 7,88 | 253,3             | 0,83      | 0,90              |                    |                   |



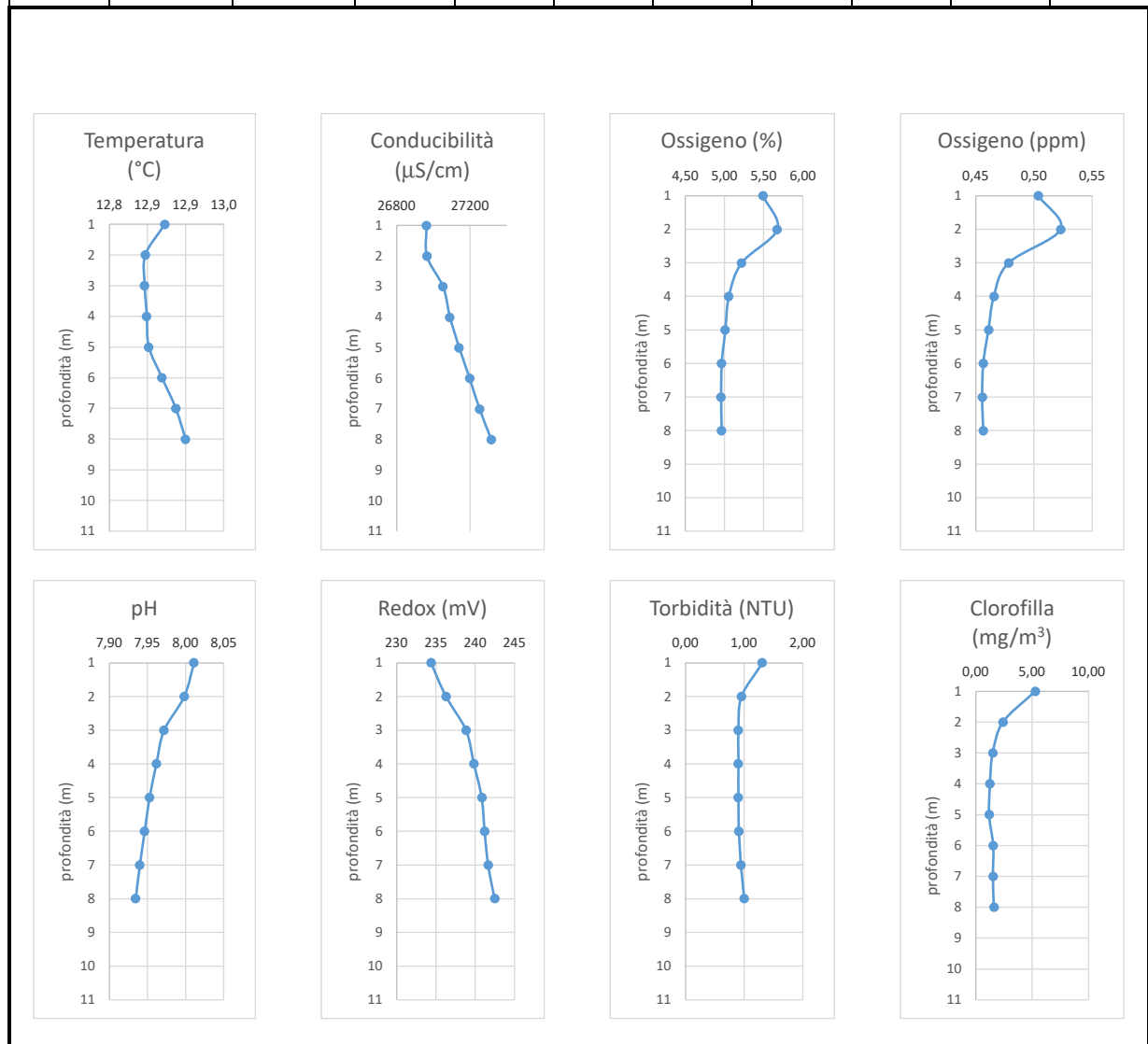
| ST01 - 16/02/2021 10:30 |             |               |          |          |      |                   |           |                   |                    |                   |
|-------------------------|-------------|---------------|----------|----------|------|-------------------|-----------|-------------------|--------------------|-------------------|
| Profondità              | Temperatura | Conducibilità | Ossigeno | Ossigeno | pH   | Potenziale Red-ox | Torbidità | Clorofilla 'a'    | direzione corrente | velocità corrente |
| m                       | °C          | μS/cm         | %        | ppm      | -    | mV                | NTU       | mg/m <sup>3</sup> | -                  | m/s               |
| 1                       | 12,84       | 27983         | 6,63     | 0,61     | 8,04 | 236,5             | 0,90      | 1,13              | W                  | 0,2               |
| 2                       | 12,83       | 27978         | 6,75     | 0,62     | 8,03 | 237,0             | 0,93      | 1,25              |                    |                   |
| 3                       | 12,83       | 27998         | 6,80     | 0,62     | 8,02 | 237,8             | 0,90      | 1,60              |                    |                   |
| 4                       | 12,82       | 28028         | 6,70     | 0,62     | 8,01 | 238,0             | 0,90      | 1,18              |                    |                   |
| 5                       | 12,83       | 28070         | 6,53     | 0,60     | 8,00 | 238,0             | 1,05      | 1,48              |                    |                   |
| 6                       | 12,83       | 28095         | 6,55     | 0,60     | 8,00 | 238,0             | 0,98      | 1,58              |                    |                   |
| 7                       | 12,82       | 28118         | 6,60     | 0,60     | 7,99 | 239,0             | 0,90      | 1,20              |                    |                   |
|                         |             |               |          |          |      |                   |           |                   |                    |                   |
|                         |             |               |          |          |      |                   |           |                   |                    |                   |
|                         |             |               |          |          |      |                   |           |                   |                    |                   |
|                         |             |               |          |          |      |                   |           |                   |                    |                   |
|                         |             |               |          |          |      |                   |           |                   |                    |                   |



| ST02 - 16/02/2021 10:00 |             |               |          |          |      |                   |           |                   |                    |                   |
|-------------------------|-------------|---------------|----------|----------|------|-------------------|-----------|-------------------|--------------------|-------------------|
| Profondità              | Temperatura | Conducibilità | Ossigeno | Ossigeno | pH   | Potenziale Red-ox | Torbidità | Clorofilla 'a'    | direzione corrente | velocità corrente |
| m                       | °C          | μS/cm         | %        | ppm      | -    | mV                | NTU       | mg/m <sup>3</sup> | -                  | m/s               |
| 1                       | 12,86       | 26965         | 5,54     | 0,51     | 8,01 | 234,7             | 1,25      | 4,78              | W                  | 0,2               |
| 2                       | 12,85       | 26963         | 5,66     | 0,52     | 8,00 | 235,7             | 1,06      | 3,40              |                    |                   |
| 3                       | 12,84       | 26982         | 5,62     | 0,52     | 7,99 | 237,4             | 0,86      | 1,69              |                    |                   |
| 4                       | 12,85       | 27068         | 5,12     | 0,47     | 7,97 | 239,4             | 0,90      | 1,41              |                    |                   |
| 5                       | 12,87       | 27193         | 4,96     | 0,46     | 7,95 | 241,1             | 0,90      | 1,48              |                    |                   |
| 6                       | 12,89       | 27267         | 4,95     | 0,46     | 7,94 | 241,8             | 0,96      | 1,47              |                    |                   |
|                         |             |               |          |          |      |                   |           |                   |                    |                   |
|                         |             |               |          |          |      |                   |           |                   |                    |                   |
|                         |             |               |          |          |      |                   |           |                   |                    |                   |
|                         |             |               |          |          |      |                   |           |                   |                    |                   |
|                         |             |               |          |          |      |                   |           |                   |                    |                   |
|                         |             |               |          |          |      |                   |           |                   |                    |                   |
|                         |             |               |          |          |      |                   |           |                   |                    |                   |
|                         |             |               |          |          |      |                   |           |                   |                    |                   |
|                         |             |               |          |          |      |                   |           |                   |                    |                   |
|                         |             |               |          |          |      |                   |           |                   |                    |                   |
|                         |             |               |          |          |      |                   |           |                   |                    |                   |
|                         |             |               |          |          |      |                   |           |                   |                    |                   |
|                         |             |               |          |          |      |                   |           |                   |                    |                   |
|                         |             |               |          |          |      |                   |           |                   |                    |                   |
|                         |             |               |          |          |      |                   |           |                   |                    |                   |
|                         |             |               |          |          |      |                   |           |                   |                    |                   |

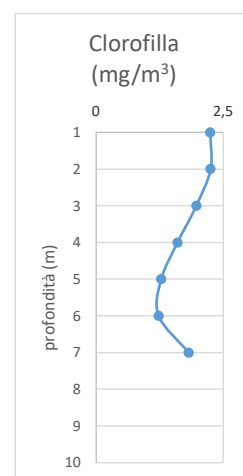
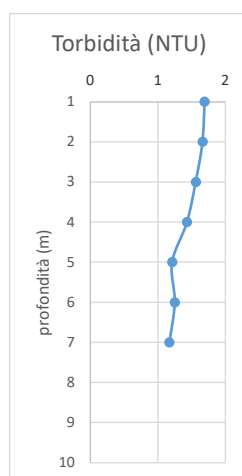
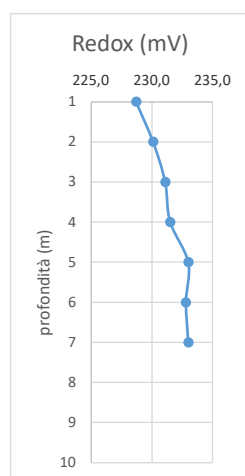
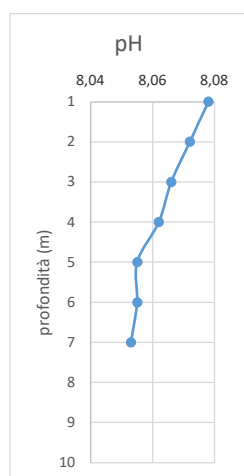
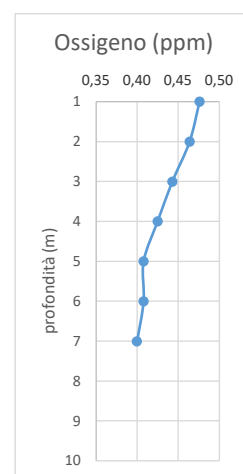
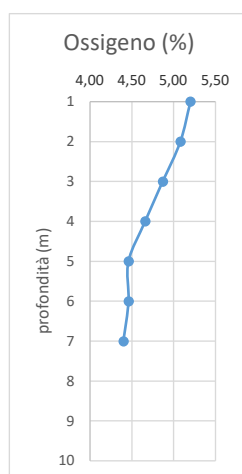
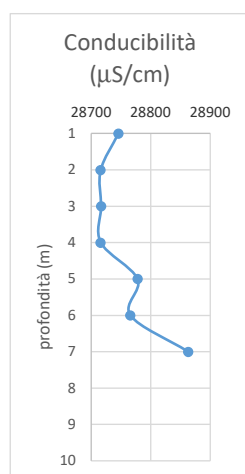
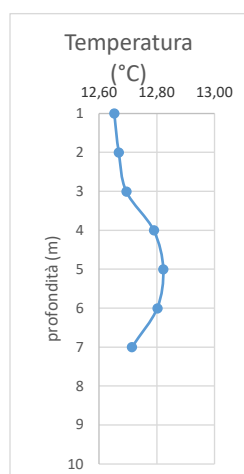


| ST03 – 16/02/2021 09:30 |             |               |          |          |      |                   |           |                   |                    |                   |
|-------------------------|-------------|---------------|----------|----------|------|-------------------|-----------|-------------------|--------------------|-------------------|
| Profondità              | Temperatura | Conducibilità | Ossigeno | Ossigeno | pH   | Potenziale Red-ox | Torbidità | Clorofilla 'a'    | direzione corrente | velocità corrente |
| m                       | °C          | μS/cm         | %        | ppm      | -    | mV                | NTU       | mg/m <sup>3</sup> | -                  | m/s               |
| 1                       | 12,87       | 26963         | 5,49     | 0,50     | 8,01 | 234,4             | 1,31      | 5,26              | W                  | 0,2               |
| 2                       | 12,85       | 26965         | 5,67     | 0,52     | 8,00 | 236,3             | 0,95      | 2,40              |                    |                   |
| 3                       | 12,85       | 27053         | 5,22     | 0,48     | 7,97 | 238,8             | 0,90      | 1,50              |                    |                   |
| 4                       | 12,85       | 27090         | 5,05     | 0,47     | 7,96 | 239,8             | 0,90      | 1,25              |                    |                   |
| 5                       | 12,85       | 27141         | 5,01     | 0,46     | 7,95 | 240,8             | 0,90      | 1,18              |                    |                   |
| 6                       | 12,87       | 27198         | 4,96     | 0,46     | 7,95 | 241,2             | 0,91      | 1,54              |                    |                   |
| 7                       | 12,89       | 27252         | 4,95     | 0,46     | 7,94 | 241,6             | 0,95      | 1,52              |                    |                   |
| 8                       | 12,90       | 27315         | 4,96     | 0,46     | 7,93 | 242,5             | 1,00      | 1,61              |                    |                   |
|                         |             |               |          |          |      |                   |           |                   |                    |                   |
|                         |             |               |          |          |      |                   |           |                   |                    |                   |
|                         |             |               |          |          |      |                   |           |                   |                    |                   |



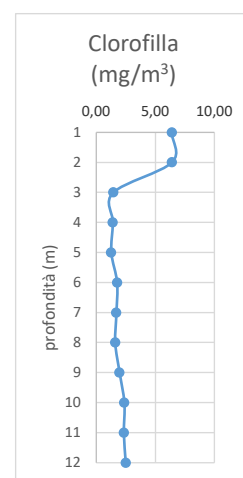
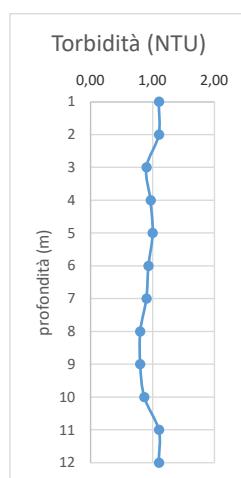
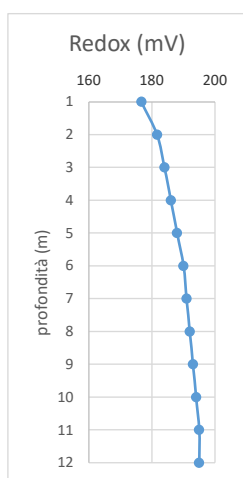
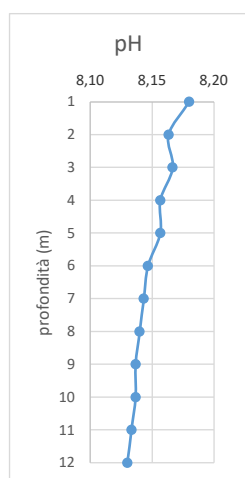
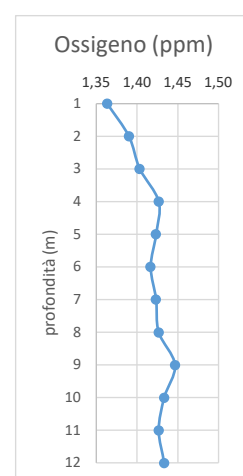
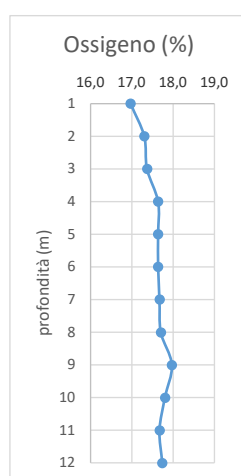
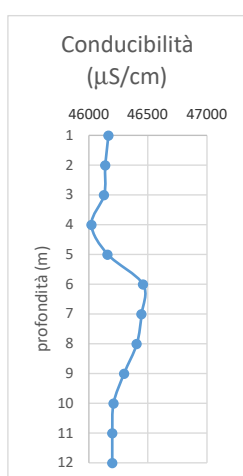
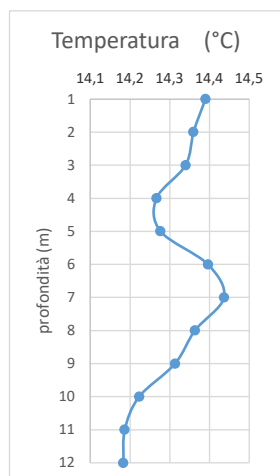


| ST04 – 16/02/2022 09:00 |             |               |          |          |      |                   |           |                   |                    |                   |
|-------------------------|-------------|---------------|----------|----------|------|-------------------|-----------|-------------------|--------------------|-------------------|
| Profondità              | Temperatura | Conducibilità | Ossigeno | Ossigeno | pH   | Potenziale Red-ox | Torbidità | Clorofilla 'a'    | direzione corrente | velocità corrente |
| m                       | °C          | μS/cm         | %        | ppm      | -    | mV                | NTU       | mg/m <sup>3</sup> | -                  | m/s               |
| 1                       | 12,92       | 28746         | 5,20     | 0,48     | 8,08 | 228,7             | 1,69      | 2,24              | W                  | 0,2               |
| 2                       | 12,86       | 28716         | 5,08     | 0,46     | 8,07 | 230,1             | 1,66      | 2,25              |                    |                   |
| 3                       | 12,83       | 28717         | 4,87     | 0,44     | 8,07 | 231,1             | 1,56      | 1,97              |                    |                   |
| 4                       | 12,81       | 28716         | 4,66     | 0,43     | 8,06 | 231,5             | 1,43      | 1,6               |                    |                   |
| 5                       | 12,82       | 28778         | 4,46     | 0,41     | 8,06 | 233,0             | 1,21      | 1,28              |                    |                   |
| 6                       | 12,81       | 28766         | 4,46     | 0,41     | 8,06 | 232,8             | 1,25      | 1,23              |                    |                   |
| 7                       | 12,85       | 28863         | 4,40     | 0,40     | 8,05 | 233,0             | 1,17      | 1,82              |                    |                   |
|                         |             |               |          |          |      |                   |           |                   |                    |                   |
|                         |             |               |          |          |      |                   |           |                   |                    |                   |
|                         |             |               |          |          |      |                   |           |                   |                    |                   |



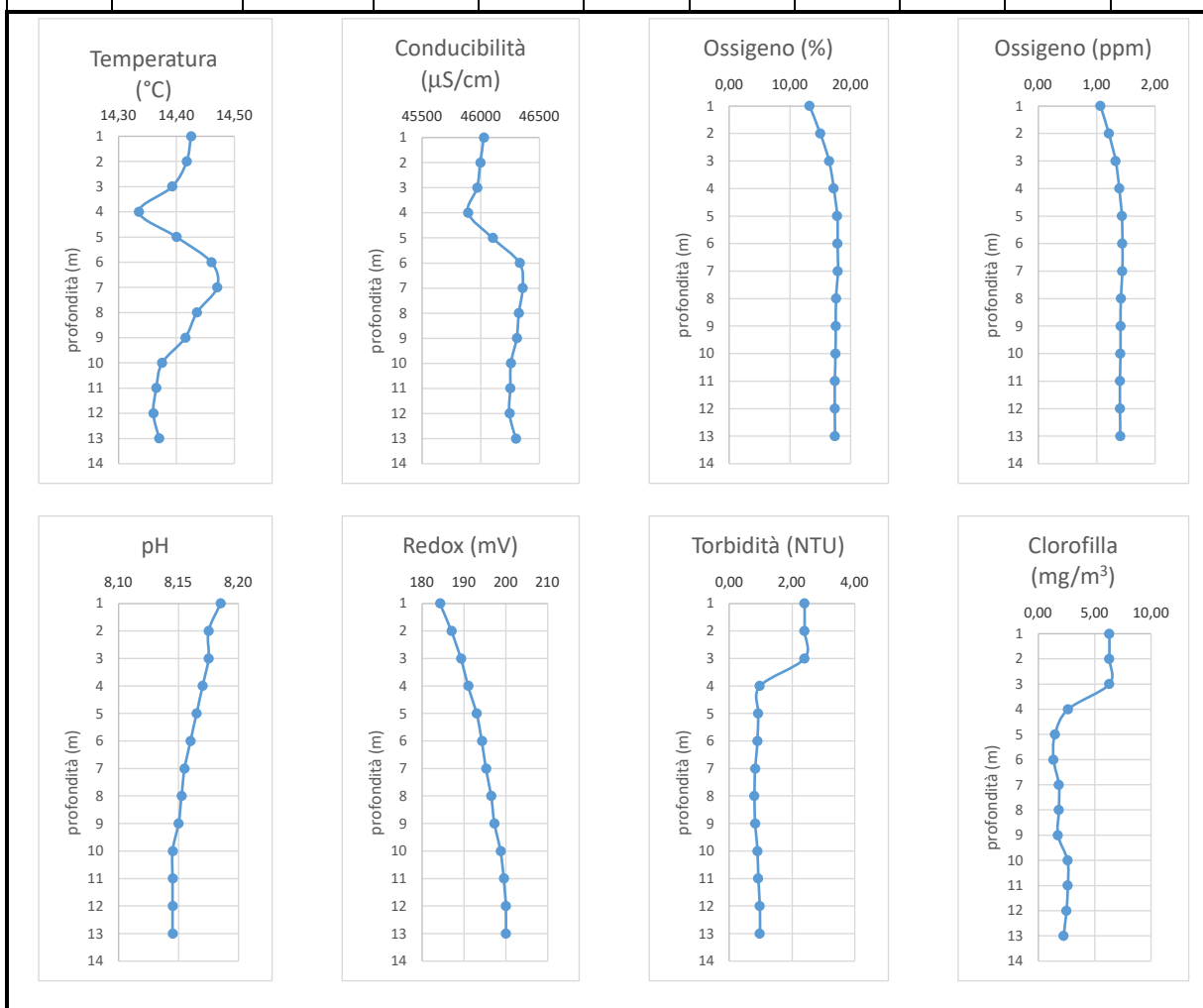
**ST05 - 16/03/2021 11:15**

| Profondità | Temperatura | Conducibilità | Ossigeno | Ossigeno | pH   | Potenziale Red-ox | Torbidità | Clorofilla 'a'    | direzione corrente | velocità corrente |
|------------|-------------|---------------|----------|----------|------|-------------------|-----------|-------------------|--------------------|-------------------|
| m          | °C          | μS/cm         | %        | ppm      | -    | mV                | NTU       | mg/m <sup>3</sup> | -                  | m/s               |
| 1          | 14,39       | 46167         | 16,97    | 1,36     | 8,18 | 177               | 1,10      | 6,40              | NW                 | 0,2               |
| 2          | 14,36       | 46140         | 17,30    | 1,39     | 8,16 | 182               | 1,10      | 6,40              |                    |                   |
| 3          | 14,34       | 46130         | 17,37    | 1,40     | 8,17 | 184               | 0,90      | 1,43              |                    |                   |
| 4          | 14,27       | 46023         | 17,63    | 1,43     | 8,16 | 186               | 0,97      | 1,40              |                    |                   |
| 5          | 14,28       | 46160         | 17,63    | 1,42     | 8,16 | 188               | 1,00      | 1,27              |                    |                   |
| 6          | 14,40       | 46460         | 17,63    | 1,42     | 8,15 | 190               | 0,93      | 1,77              |                    |                   |
| 7          | 14,44       | 46447         | 17,67    | 1,42     | 8,14 | 191               | 0,90      | 1,70              |                    |                   |
| 8          | 14,36       | 46407         | 17,70    | 1,43     | 8,14 | 192               | 0,80      | 1,60              |                    |                   |
| 9          | 14,31       | 46300         | 17,97    | 1,45     | 8,14 | 193               | 0,80      | 1,97              |                    |                   |
| 10         | 14,22       | 46210         | 17,80    | 1,43     | 8,14 | 194               | 0,87      | 2,37              |                    |                   |
| 11         | 14,19       | 46200         | 17,67    | 1,43     | 8,13 | 195               | 1,10      | 2,33              |                    |                   |
| 12         | 14,18       | 46200         | 17,73    | 1,43     | 8,13 | 195               | 1,10      | 2,50              |                    |                   |

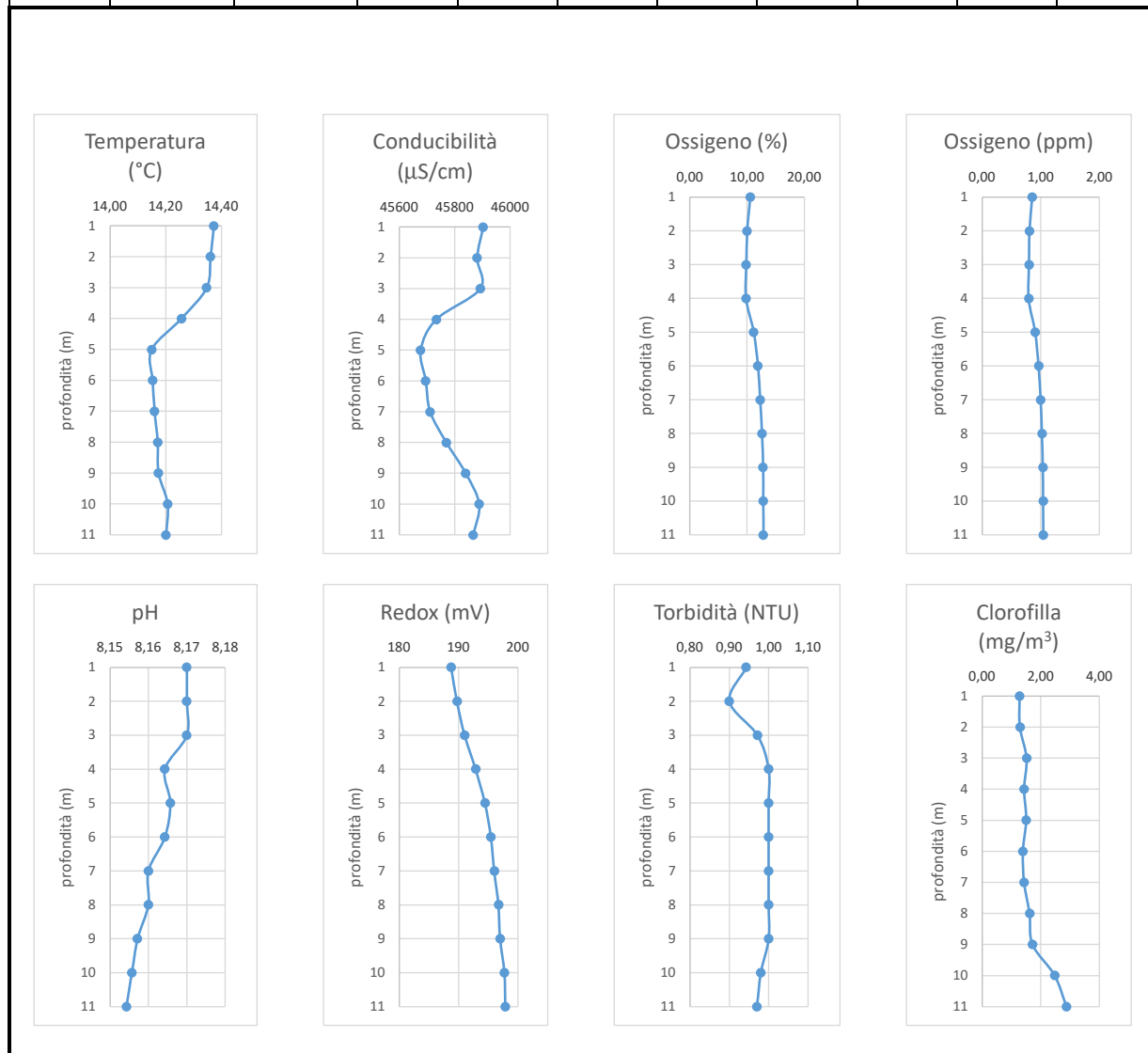


**ST06 - 16/03/2021 10:45**

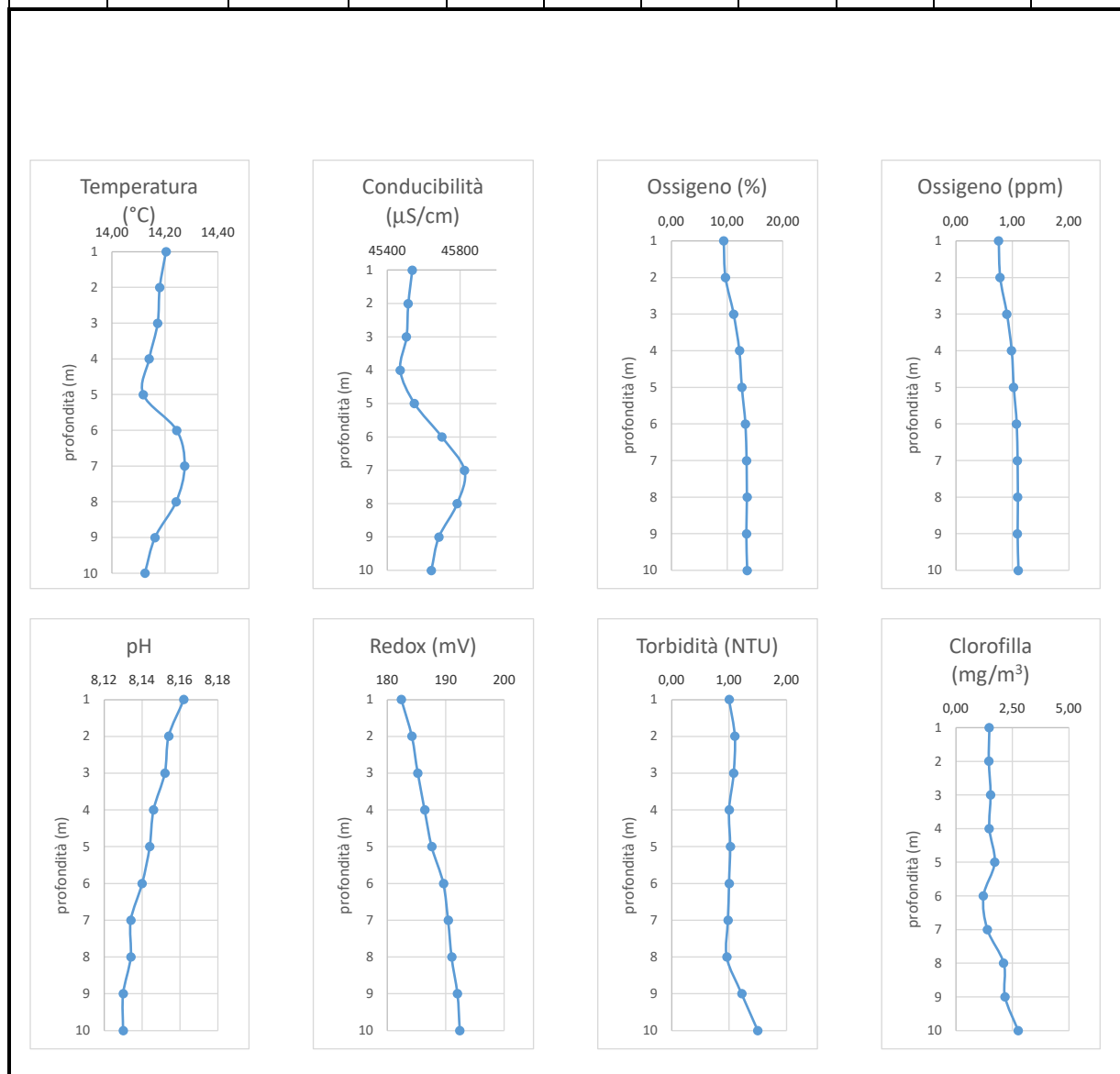
| Profondità | Temperatura | Conducibilità | Ossigeno | Ossigeno | pH   | Potenziale Red-ox | Torbidità | Clorofilla 'a'    | direzione corrente | velocità corrente |
|------------|-------------|---------------|----------|----------|------|-------------------|-----------|-------------------|--------------------|-------------------|
| m          | °C          | µS/cm         | %        | ppm      | -    | mV                | NTU       | mg/m <sup>3</sup> | -                  | m/s               |
| 1          | 14,43       | 46025         | 13,25    | 1,07     | 8,19 | 184               | 2,40      | 6,30              | NW                 | 0,2               |
| 2          | 14,42       | 45995         | 15,00    | 1,21     | 8,18 | 187               | 2,40      | 6,30              |                    |                   |
| 3          | 14,39       | 45968         | 16,45    | 1,33     | 8,18 | 189               | 2,40      | 6,30              |                    |                   |
| 4          | 14,34       | 45890         | 17,23    | 1,39     | 8,17 | 191               | 0,98      | 2,65              |                    |                   |
| 5          | 14,40       | 46100         | 17,80    | 1,43     | 8,17 | 193               | 0,93      | 1,48              |                    |                   |
| 6          | 14,46       | 46330         | 17,85    | 1,44     | 8,16 | 194               | 0,90      | 1,35              |                    |                   |
| 7          | 14,47       | 46355         | 17,90    | 1,44     | 8,16 | 195               | 0,83      | 1,83              |                    |                   |
| 8          | 14,44       | 46323         | 17,60    | 1,42     | 8,15 | 197               | 0,80      | 1,83              |                    |                   |
| 9          | 14,42       | 46305         | 17,55    | 1,41     | 8,15 | 197               | 0,83      | 1,75              |                    |                   |
| 10         | 14,38       | 46255         | 17,50    | 1,41     | 8,15 | 199               | 0,90      | 2,60              |                    |                   |
| 11         | 14,37       | 46250         | 17,40    | 1,40     | 8,15 | 200               | 0,93      | 2,63              |                    |                   |
| 12         | 14,36       | 46243         | 17,40    | 1,40     | 8,15 | 200               | 0,98      | 2,50              |                    |                   |
| 13         | 14,37       | 46298         | 17,43    | 1,41     | 8,15 | 200               | 0,98      | 2,25              |                    |                   |



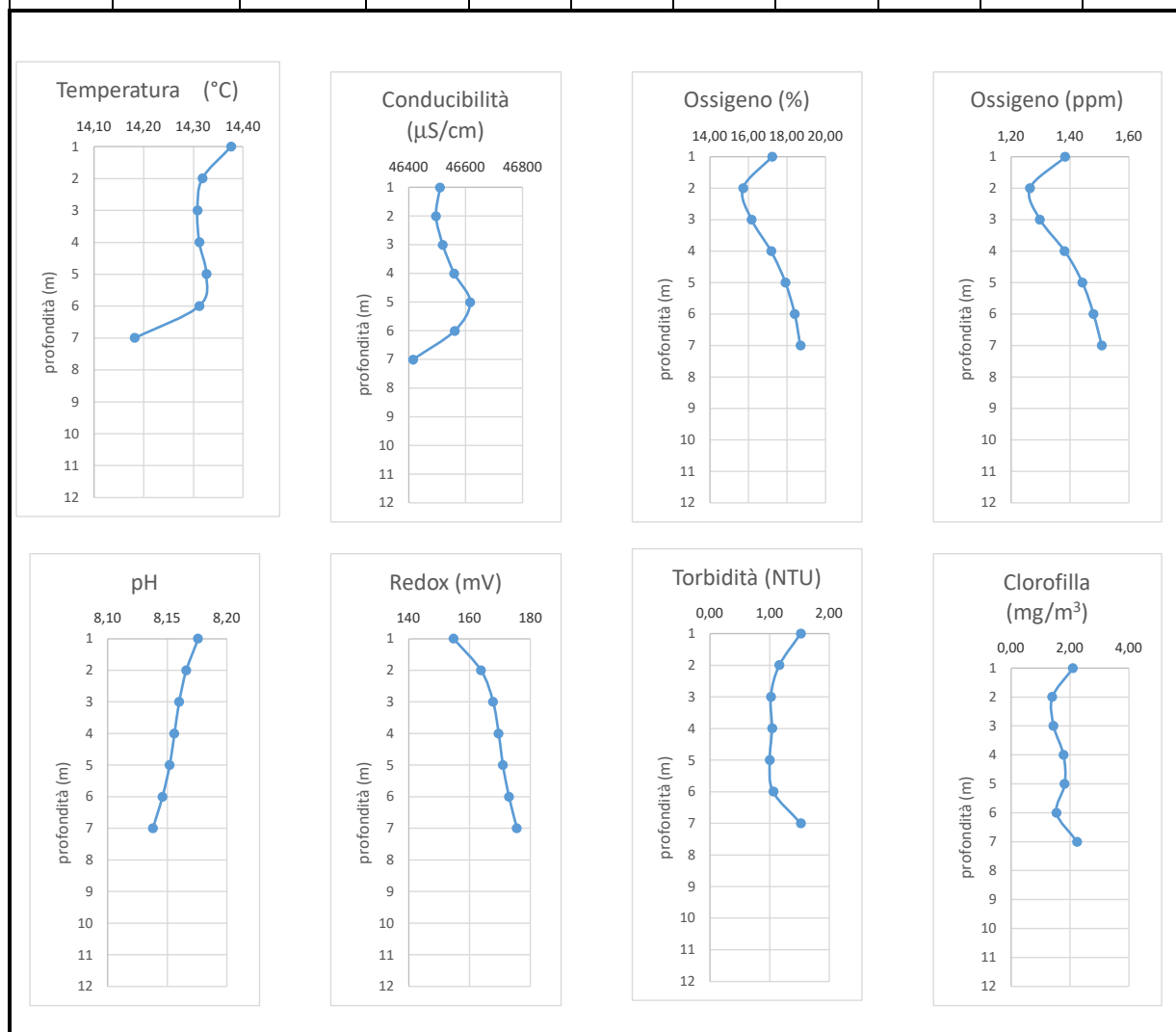
| ST07 – 16/03/2021 10:10 |             |               |          |          |      |                   |           |                   |                    |                   |
|-------------------------|-------------|---------------|----------|----------|------|-------------------|-----------|-------------------|--------------------|-------------------|
| Profondità              | Temperatura | Conducibilità | Ossigeno | Ossigeno | pH   | Potenziale Red-ox | Torbidità | Clorofilla 'a'    | direzione corrente | velocità corrente |
| m                       | °C          | μS/cm         | %        | ppm      | -    | mV                | NTU       | mg/m <sup>3</sup> | -                  | m/s               |
| 1                       | 14,37       | 45903         | 10,56    | 0,85     | 8,17 | 189               | 0,94      | 1,27              | NW                 | 0,2               |
| 2                       | 14,36       | 45881         | 10,01    | 0,81     | 8,17 | 190               | 0,90      | 1,29              |                    |                   |
| 3                       | 14,35       | 45893         | 9,86     | 0,80     | 8,17 | 191               | 0,97      | 1,51              |                    |                   |
| 4                       | 14,26       | 45734         | 9,81     | 0,79     | 8,16 | 193               | 1,00      | 1,43              |                    |                   |
| 5                       | 14,15       | 45677         | 11,17    | 0,90     | 8,17 | 194               | 1,00      | 1,50              |                    |                   |
| 6                       | 14,15       | 45696         | 11,90    | 0,96     | 8,16 | 195               | 1,00      | 1,39              |                    |                   |
| 7                       | 14,16       | 45711         | 12,29    | 1,00     | 8,16 | 196               | 1,00      | 1,43              |                    |                   |
| 8                       | 14,17       | 45770         | 12,61    | 1,02     | 8,16 | 197               | 1,00      | 1,61              |                    |                   |
| 9                       | 14,17       | 45840         | 12,80    | 1,03     | 8,16 | 197               | 1,00      | 1,71              |                    |                   |
| 10                      | 14,21       | 45889         | 12,83    | 1,04     | 8,16 | 198               | 0,98      | 2,47              |                    |                   |
| 11                      | 14,20       | 45867         | 12,84    | 1,04     | 8,15 | 198               | 0,97      | 2,87              |                    |                   |



| ST08 – 16/03/2021 09:40 |             |               |          |          |      |                   |           |                   |                    |                   |
|-------------------------|-------------|---------------|----------|----------|------|-------------------|-----------|-------------------|--------------------|-------------------|
| Profondità              | Temperatura | Conducibilità | Ossigeno | Ossigeno | pH   | Potenziale Red-ox | Torbidità | Clorofilla 'a'    | direzione corrente | velocità corrente |
| m                       | °C          | μS/cm         | %        | ppm      | -    | mV                | NTU       | mg/m <sup>3</sup> | -                  | m/s               |
| 1                       | 14,20       | 45538         | 9,38     | 0,76     | 8,16 | 182,4             | 1,00      | 1,48              | NW                 | 0,2               |
| 2                       | 14,18       | 45516         | 9,70     | 0,78     | 8,15 | 184,2             | 1,10      | 1,46              |                    |                   |
| 3                       | 14,17       | 45506         | 11,16    | 0,90     | 8,15 | 185,2             | 1,08      | 1,54              |                    |                   |
| 4                       | 14,14       | 45472         | 12,20    | 0,99     | 8,15 | 186,4             | 1,00      | 1,48              |                    |                   |
| 5                       | 14,12       | 45550         | 12,64    | 1,02     | 8,14 | 187,6             | 1,02      | 1,72              |                    |                   |
| 6                       | 14,24       | 45700         | 13,28    | 1,08     | 8,14 | 189,6             | 1,00      | 1,22              |                    |                   |
| 7                       | 14,27       | 45824         | 13,48    | 1,09     | 8,13 | 190,4             | 0,98      | 1,40              |                    |                   |
| 8                       | 14,24       | 45784         | 13,56    | 1,10     | 8,13 | 191               | 0,96      | 2,12              |                    |                   |
| 9                       | 14,16       | 45684         | 13,46    | 1,09     | 8,13 | 192               | 1,22      | 2,18              |                    |                   |
| 10                      | 14,12       | 45642         | 13,60    | 1,11     | 8,13 | 192,4             | 1,50      | 2,76              |                    |                   |

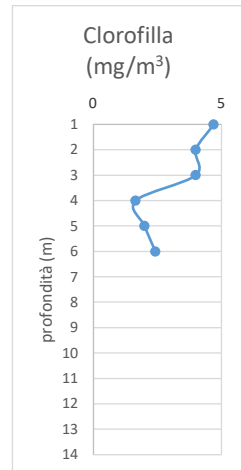
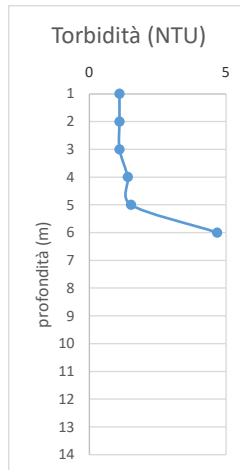
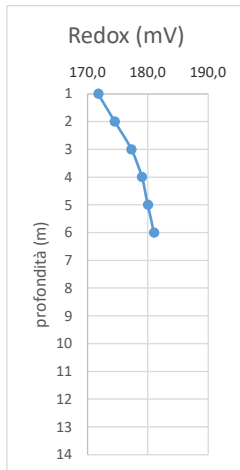
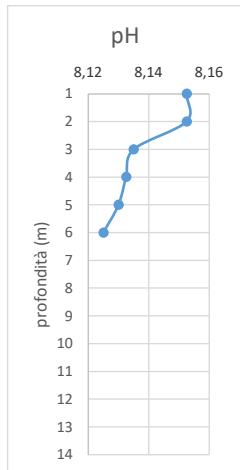
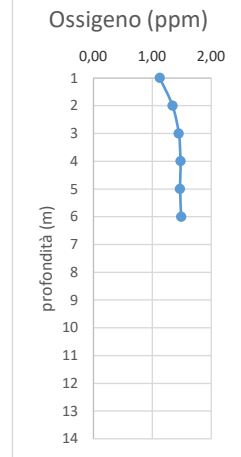
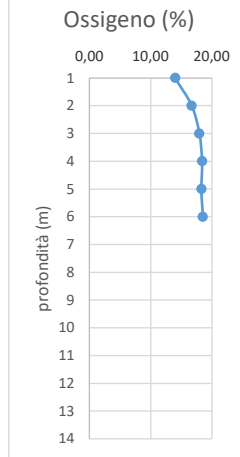
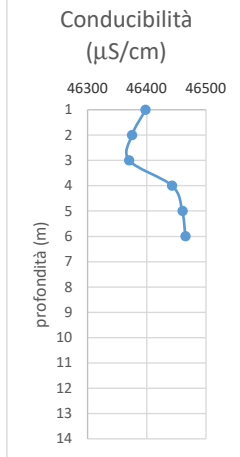
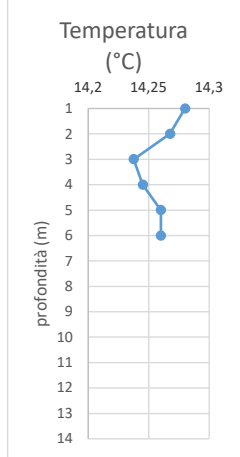


| ST01 - 18/03/2021 09:30 |             |               |          |          |      |                   |           |                   |                    |                   |
|-------------------------|-------------|---------------|----------|----------|------|-------------------|-----------|-------------------|--------------------|-------------------|
| Profondità              | Temperatura | Conducibilità | Ossigeno | Ossigeno | pH   | Potenziale Red-ox | Torbidità | Clorofilla 'a'    | direzione corrente | velocità corrente |
| m                       | °C          | µS/cm         | %        | ppm      | -    | mV                | NTU       | mg/m <sup>3</sup> | -                  | m/s               |
| 1                       | 14,38       | 46510         | 17,22    | 1,38     | 8,18 | 154,8             | 1,52      | 2,10              | SW                 | 0,2               |
| 2                       | 14,32       | 46496         | 15,72    | 1,26     | 8,17 | 163,8             | 1,16      | 1,40              |                    |                   |
| 3                       | 14,31       | 46520         | 16,16    | 1,30     | 8,16 | 167,8             | 1,02      | 1,44              |                    |                   |
| 4                       | 14,31       | 46560         | 17,18    | 1,38     | 8,16 | 169,6             | 1,04      | 1,78              |                    |                   |
| 5                       | 14,33       | 46616         | 17,92    | 1,44     | 8,15 | 171               | 1,00      | 1,82              |                    |                   |
| 6                       | 14,31       | 46562         | 18,40    | 1,48     | 8,15 | 173               | 1,06      | 1,54              |                    |                   |
| 7                       | 14,18       | 46416         | 18,70    | 1,51     | 8,14 | 175,6             | 1,52      | 2,24              |                    |                   |
|                         |             |               |          |          |      |                   |           |                   |                    |                   |
|                         |             |               |          |          |      |                   |           |                   |                    |                   |
|                         |             |               |          |          |      |                   |           |                   |                    |                   |
|                         |             |               |          |          |      |                   |           |                   |                    |                   |
|                         |             |               |          |          |      |                   |           |                   |                    |                   |
|                         |             |               |          |          |      |                   |           |                   |                    |                   |

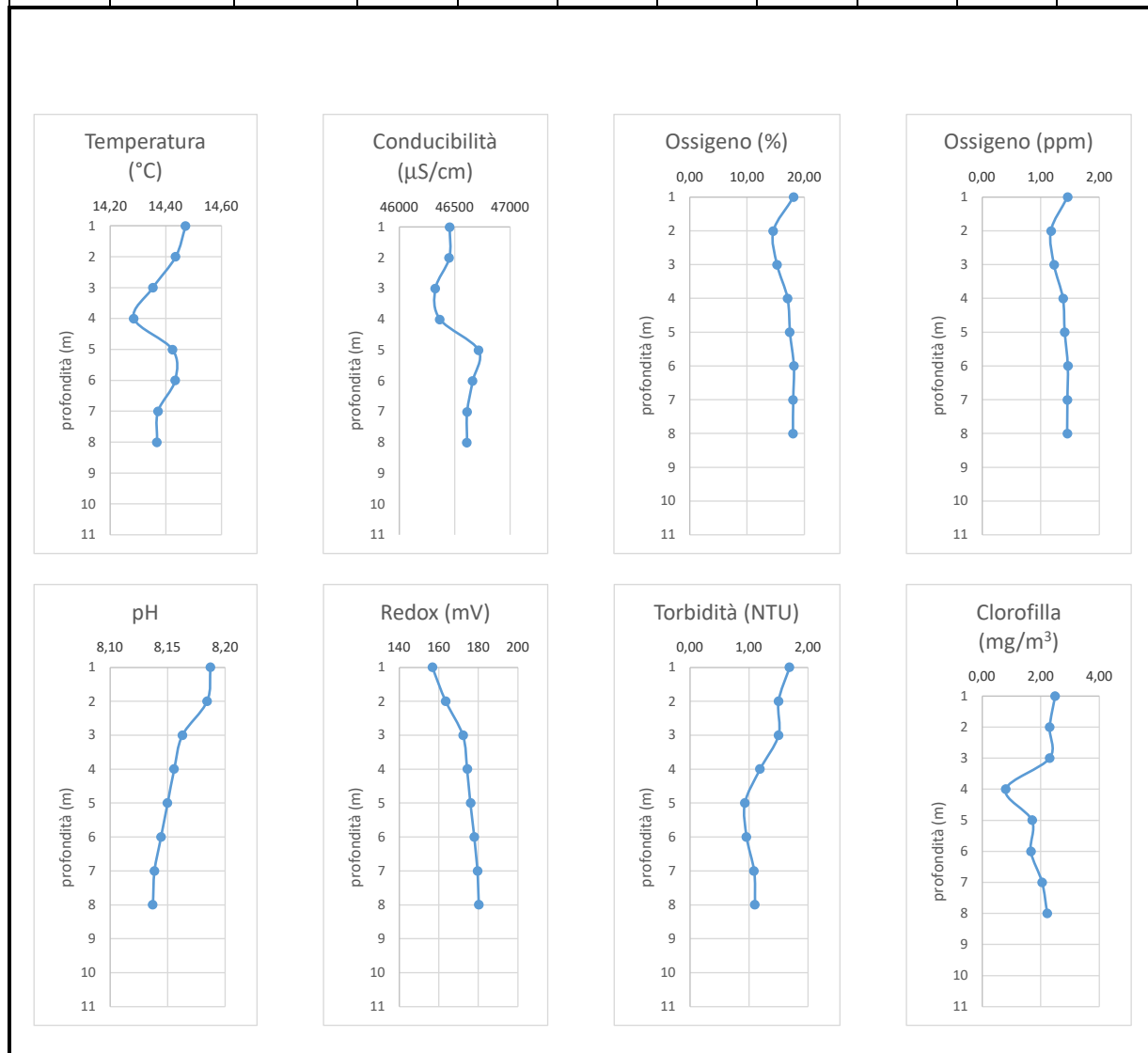


ST02 - 18/03/2021 10:00

| Profondità | Temperatura | Conducibilità | Ossigeno | Ossigeno | pH   | Potenziale Red-ox | Torbidità | Clorofilla 'a'    | direzione corrente | velocità corrente |
|------------|-------------|---------------|----------|----------|------|-------------------|-----------|-------------------|--------------------|-------------------|
| m          | °C          | µS/cm         | %        | ppm      | -    | mV                | NTU       | mg/m <sup>3</sup> | -                  | m/s               |
| 1          | 14,28       | 46398         | 14,00    | 1,13     | 8,15 | 171,8             | 1,1       | 4,7               | SW                 | 0,2               |
| 2          | 14,27       | 46375         | 16,70    | 1,35     | 8,15 | 174,5             | 1,1       | 4                 |                    |                   |
| 3          | 14,24       | 46370         | 17,95    | 1,45     | 8,14 | 177,3             | 1,1       | 4                 |                    |                   |
| 4          | 14,25       | 46443         | 18,40    | 1,48     | 8,13 | 179               | 1,4       | 1,65              |                    |                   |
| 5          | 14,26       | 46460         | 18,28    | 1,47     | 8,13 | 180               | 1,525     | 2                 |                    |                   |
| 6          | 14,26       | 46465         | 18,53    | 1,49     | 8,13 | 181               | 4,675     | 2,425             |                    |                   |
|            |             |               |          |          |      |                   |           |                   |                    |                   |
|            |             |               |          |          |      |                   |           |                   |                    |                   |
|            |             |               |          |          |      |                   |           |                   |                    |                   |
|            |             |               |          |          |      |                   |           |                   |                    |                   |
|            |             |               |          |          |      |                   |           |                   |                    |                   |
|            |             |               |          |          |      |                   |           |                   |                    |                   |
|            |             |               |          |          |      |                   |           |                   |                    |                   |
|            |             |               |          |          |      |                   |           |                   |                    |                   |
|            |             |               |          |          |      |                   |           |                   |                    |                   |
|            |             |               |          |          |      |                   |           |                   |                    |                   |
|            |             |               |          |          |      |                   |           |                   |                    |                   |
|            |             |               |          |          |      |                   |           |                   |                    |                   |
|            |             |               |          |          |      |                   |           |                   |                    |                   |

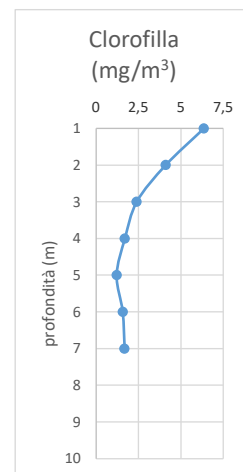
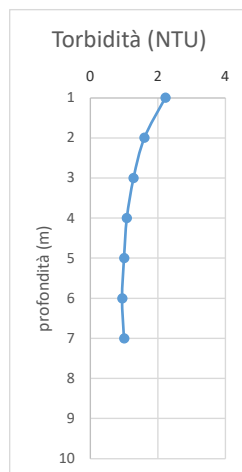
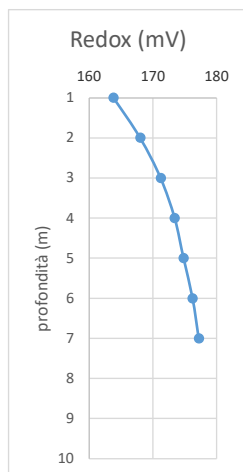
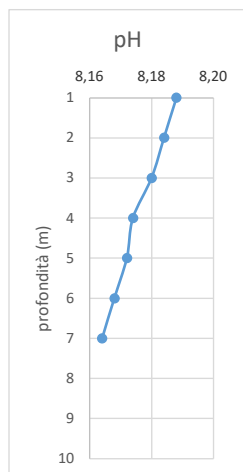
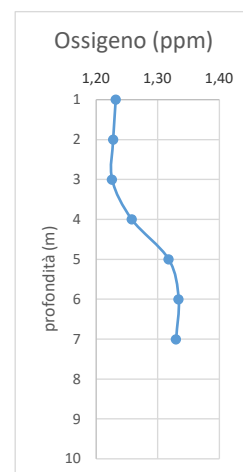
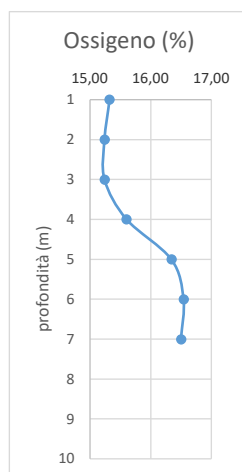
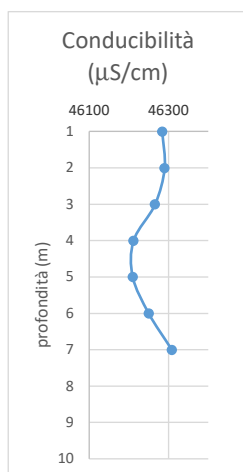
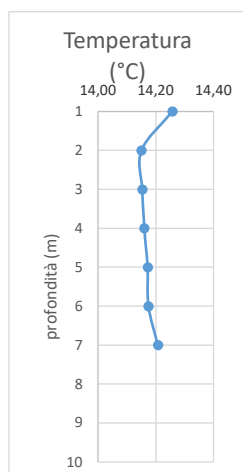


| ST03 – 18/03/2021 10:30 |             |               |          |          |      |                   |           |                   |                    |                   |
|-------------------------|-------------|---------------|----------|----------|------|-------------------|-----------|-------------------|--------------------|-------------------|
| Profondità              | Temperatura | Conducibilità | Ossigeno | Ossigeno | pH   | Potenziale Red-ox | Torbidità | Clorofilla 'a'    | direzione corrente | velocità corrente |
| m                       | °C          | µS/cm         | %        | ppm      | -    | mV                | NTU       | mg/m <sup>3</sup> | -                  | m/s               |
| 1                       | 14,47       | 46454         | 18,13    | 1,45     | 8,19 | 156,7             | 1,69      | 2,49              | SW                 | 0,2               |
| 2                       | 14,44       | 46451         | 14,59    | 1,17     | 8,18 | 163,4             | 1,50      | 2,30              |                    |                   |
| 3                       | 14,35       | 46326         | 15,24    | 1,22     | 8,16 | 172,1             | 1,50      | 2,30              |                    |                   |
| 4                       | 14,29       | 46367         | 17,09    | 1,38     | 8,16 | 174,3             | 1,19      | 0,80              |                    |                   |
| 5                       | 14,42       | 46716         | 17,49    | 1,41     | 8,15 | 176,0             | 0,93      | 1,70              |                    |                   |
| 6                       | 14,43       | 46663         | 18,17    | 1,46     | 8,14 | 177,9             | 0,96      | 1,66              |                    |                   |
| 7                       | 14,37       | 46613         | 18,06    | 1,45     | 8,14 | 179,6             | 1,09      | 2,04              |                    |                   |
| 8                       | 14,37       | 46611         | 18,03    | 1,45     | 8,14 | 180,1             | 1,10      | 2,21              |                    |                   |
|                         |             |               |          |          |      |                   |           |                   |                    |                   |
|                         |             |               |          |          |      |                   |           |                   |                    |                   |
|                         |             |               |          |          |      |                   |           |                   |                    |                   |



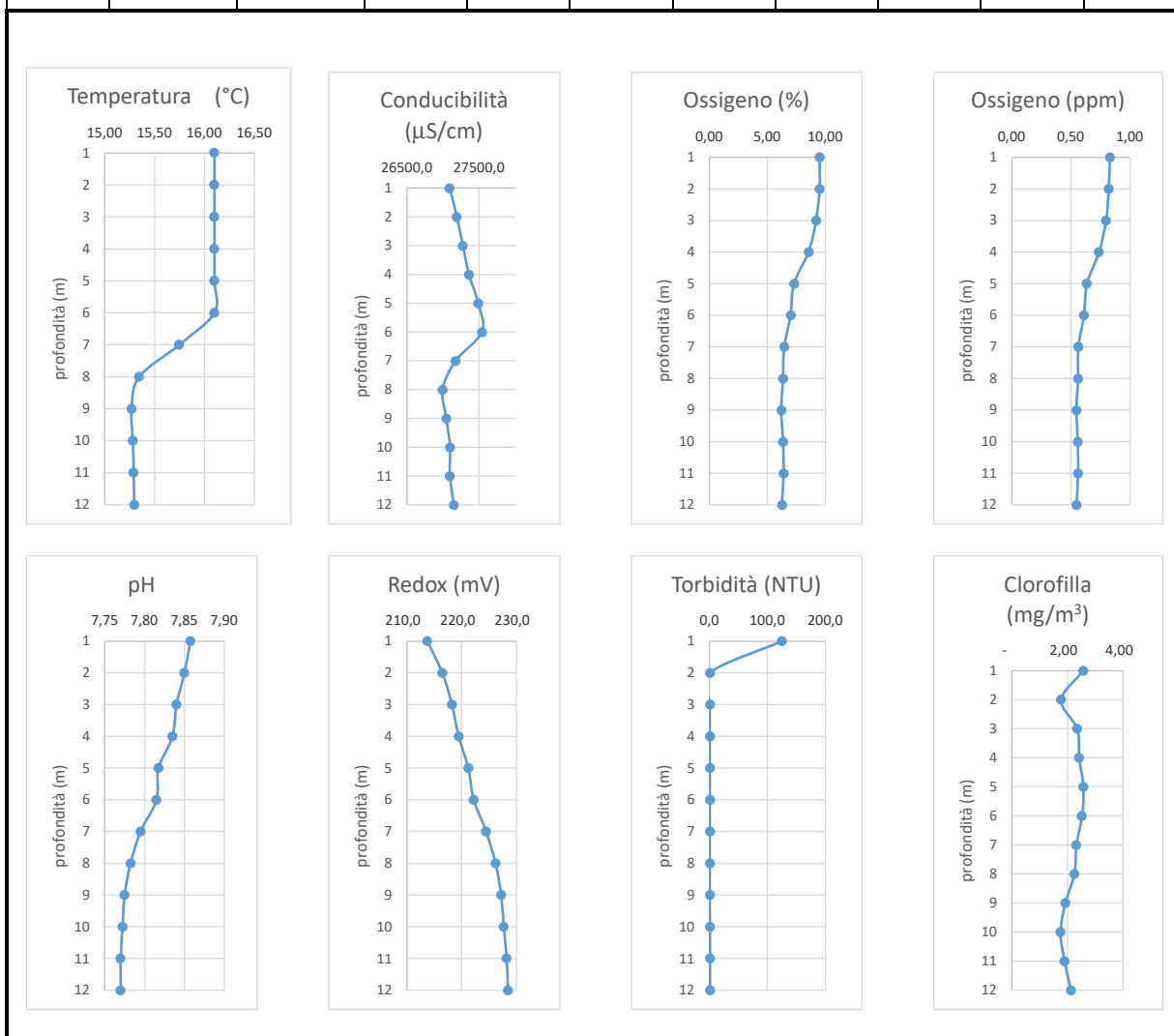


| ST04 – 18/03/2021 11:00 |             |               |          |          |      |                   |           |                   |                    |                   |
|-------------------------|-------------|---------------|----------|----------|------|-------------------|-----------|-------------------|--------------------|-------------------|
| Profondità              | Temperatura | Conducibilità | Ossigeno | Ossigeno | pH   | Potenziale Red-ox | Torbidità | Clorofilla 'a'    | direzione corrente | velocità corrente |
| m                       | °C          | μS/cm         | %        | ppm      | -    | mV                | NTU       | mg/m <sup>3</sup> | -                  | m/s               |
| 1                       | 14,34       | 46284         | 15,32    | 1,23     | 8,19 | 163,8             | 2,22      | 6,36              | SW                 | 0,2               |
| 2                       | 14,34       | 46290         | 15,24    | 1,23     | 8,18 | 168               | 1,6       | 4,1               |                    |                   |
| 3                       | 14,32       | 46266         | 15,24    | 1,23     | 8,18 | 171,2             | 1,28      | 2,4               |                    |                   |
| 4                       | 14,28       | 46212         | 15,60    | 1,26     | 8,17 | 173,4             | 1,08      | 1,7               |                    |                   |
| 5                       | 14,25       | 46210         | 16,34    | 1,32     | 8,17 | 174,8             | 1         | 1,22              |                    |                   |
| 6                       | 14,24       | 46250         | 16,54    | 1,33     | 8,17 | 176,2             | 0,94      | 1,58              |                    |                   |
| 7                       | 14,26       | 46308         | 16,50    | 1,33     | 8,16 | 177,2             | 1         | 1,68              |                    |                   |
|                         |             |               |          |          |      |                   |           |                   |                    |                   |
|                         |             |               |          |          |      |                   |           |                   |                    |                   |
|                         |             |               |          |          |      |                   |           |                   |                    |                   |



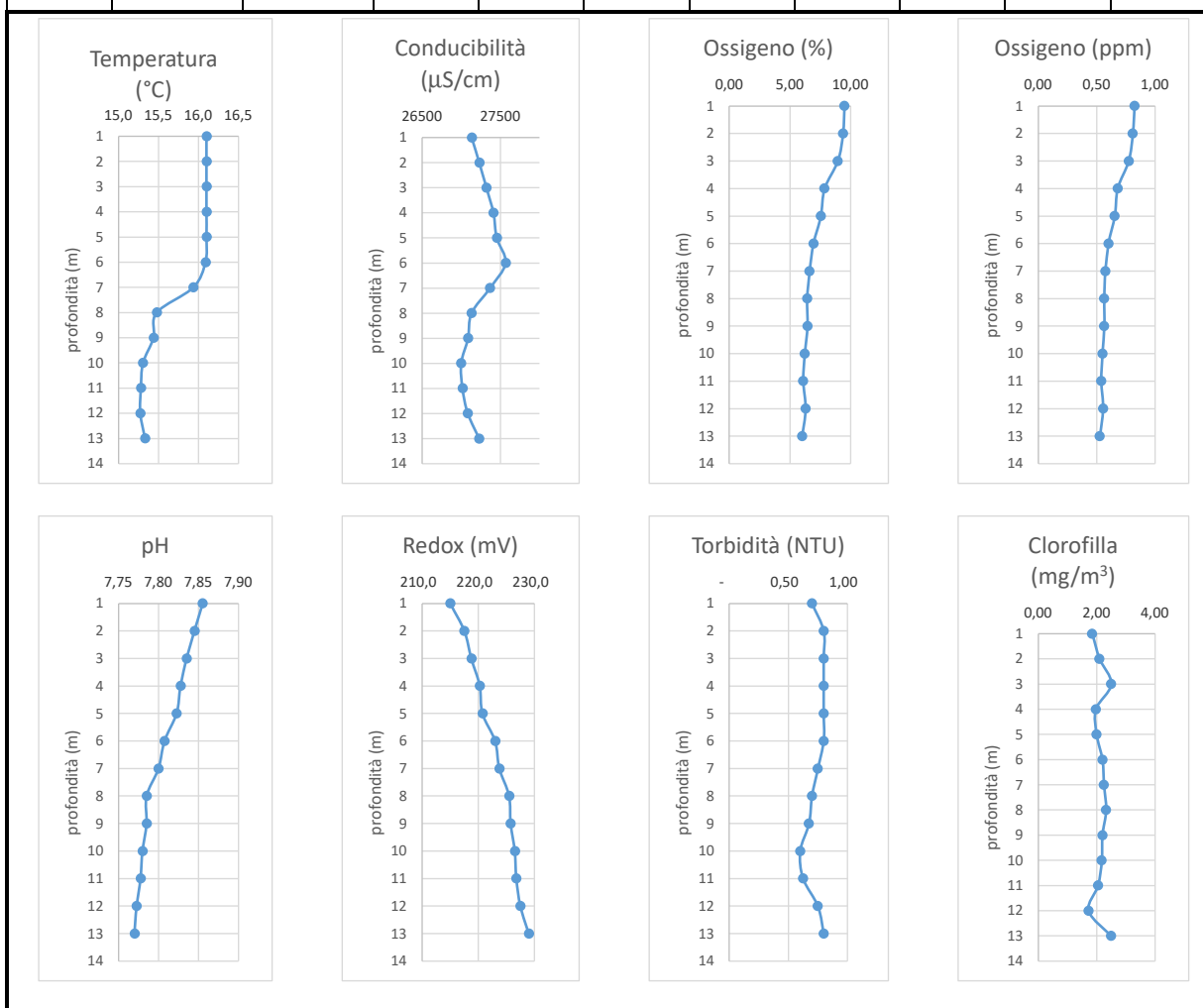
**ST05 - 20/04/2021 09:15**

| Profondità | Temperatura | Conducibilità | Ossigeno | Ossigeno | pH   | Potenziale Red-ox | Torbidità | Clorofilla 'a'    | direzione corrente | velocità corrente |
|------------|-------------|---------------|----------|----------|------|-------------------|-----------|-------------------|--------------------|-------------------|
| m          | °C          | μS/cm         | %        | ppm      | -    | mV                | NTU       | mg/m <sup>3</sup> | -                  | m/s               |
| 1          | 16,10       | 27092,5       | 9,50     | 0,83     | 7,86 | 213,8             | 124,55    | 2,58              | NW                 | 0,1               |
| 2          | 16,10       | 27190,0       | 9,50     | 0,82     | 7,85 | 216,5             | 0,80      | 1,78              |                    |                   |
| 3          | 16,10       | 27275,0       | 9,20     | 0,80     | 7,84 | 218,3             | 0,80      | 2,35              |                    |                   |
| 4          | 16,10       | 27360,0       | 8,55     | 0,74     | 7,84 | 219,5             | 0,80      | 2,43              |                    |                   |
| 5          | 16,10       | 27487,5       | 7,30     | 0,64     | 7,82 | 221,3             | 0,80      | 2,58              |                    |                   |
| 6          | 16,10       | 27540,0       | 7,00     | 0,61     | 7,82 | 222,3             | 0,80      | 2,53              |                    |                   |
| 7          | 15,75       | 27175,0       | 6,45     | 0,56     | 7,80 | 224,5             | 0,70      | 2,33              |                    |                   |
| 8          | 15,35       | 26995,0       | 6,35     | 0,56     | 7,78 | 226,3             | 0,63      | 2,25              |                    |                   |
| 9          | 15,27       | 27047,5       | 6,20     | 0,55     | 7,78 | 227,3             | 0,68      | 1,93              |                    |                   |
| 10         | 15,28       | 27097,5       | 6,35     | 0,56     | 7,77 | 227,8             | 0,83      | 1,75              |                    |                   |
| 11         | 15,29       | 27095,0       | 6,40     | 0,56     | 7,77 | 228,3             | 0,85      | 1,90              |                    |                   |
| 12         | 15,30       | 27150,0       | 6,25     | 0,55     | 7,77 | 228,5             | 0,85      | 2,13              |                    |                   |

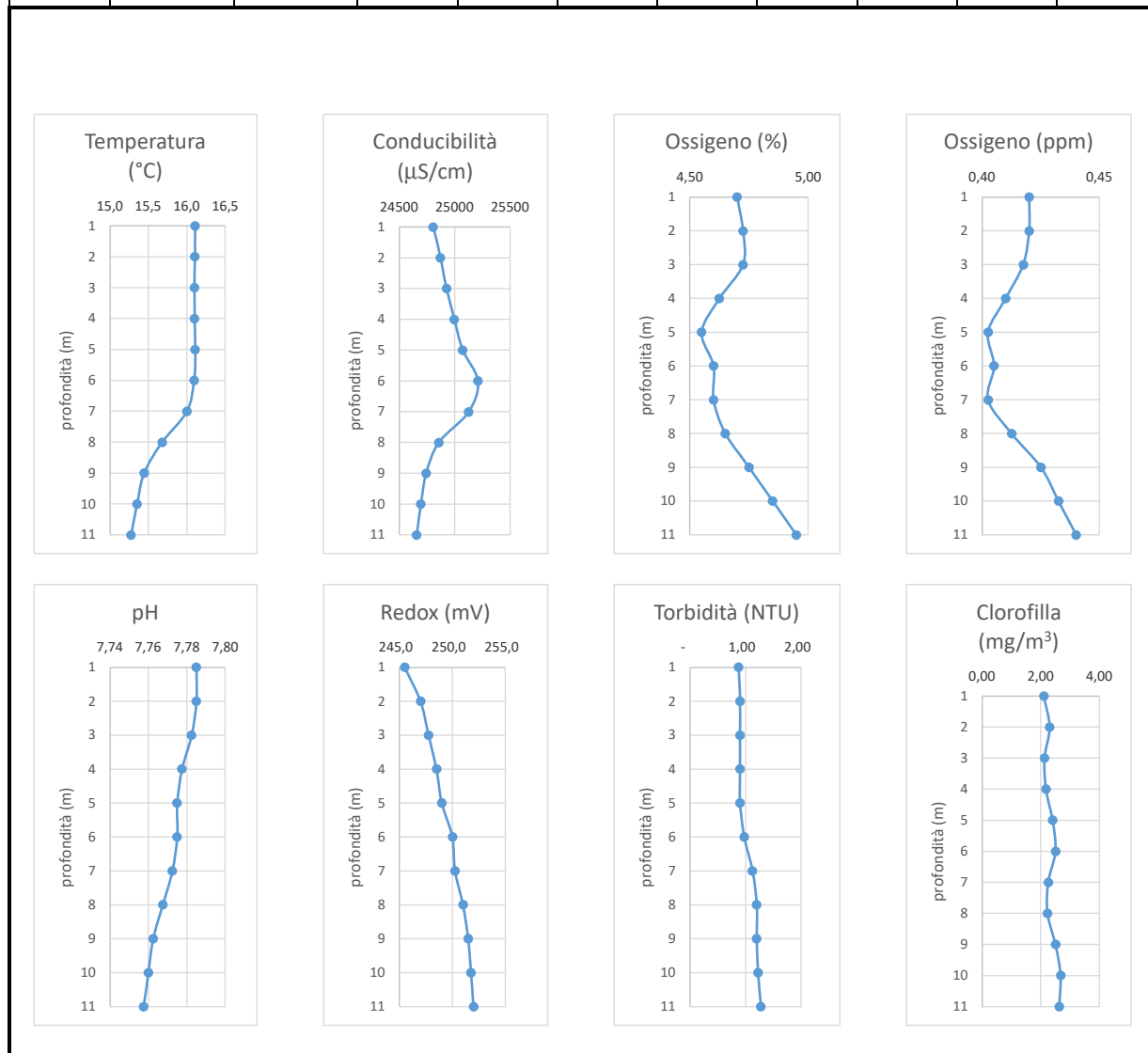


**ST06 - 20/04/2021 09:45**

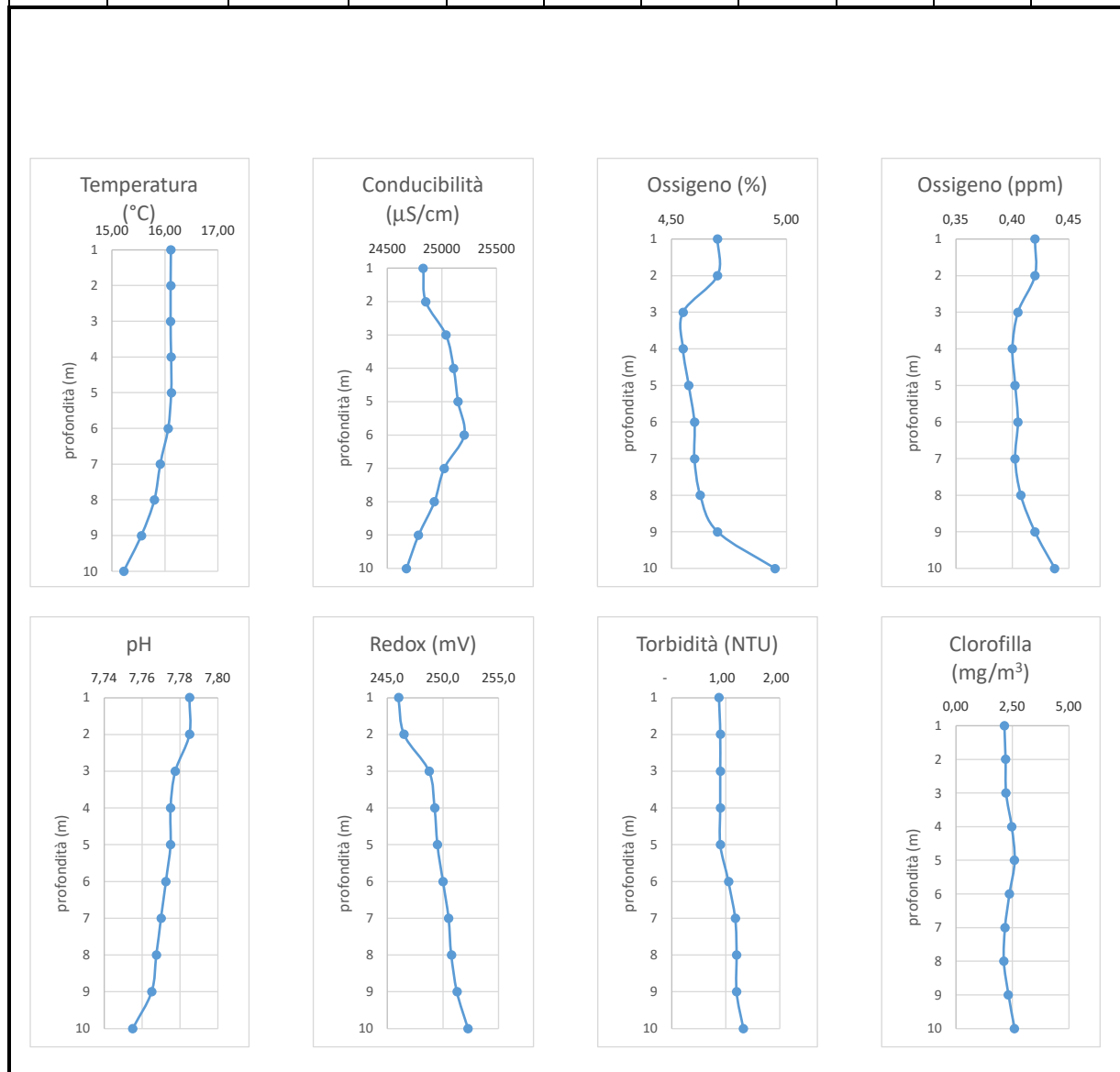
| Profondità | Temperatura | Conducibilità | Ossigeno | Ossigeno | pH   | Potenziale Red-ox | Torbidità | Clorofilla 'a' | direzione corrente | velocità corrente |
|------------|-------------|---------------|----------|----------|------|-------------------|-----------|----------------|--------------------|-------------------|
| m          | °C          | µS/cm         | %        | ppm      | -    | mV                | NTU       | mg/m³          | -                  | m/s               |
| 1          | 16,10       | 27132,5       | 9,50     | 0,83     | 7,86 | 215,0             | 0,70      | 1,85           | NW                 | 0,1               |
| 2          | 16,10       | 27230,0       | 9,38     | 0,81     | 7,85 | 217,5             | 0,80      | 2,10           |                    |                   |
| 3          | 16,10       | 27320,0       | 8,95     | 0,78     | 7,84 | 218,8             | 0,80      | 2,50           |                    |                   |
| 4          | 16,10       | 27410,0       | 7,85     | 0,68     | 7,83 | 220,3             | 0,80      | 1,98           |                    |                   |
| 5          | 16,10       | 27452,5       | 7,55     | 0,66     | 7,82 | 220,8             | 0,80      | 2,00           |                    |                   |
| 6          | 16,09       | 27565,0       | 6,95     | 0,60     | 7,81 | 223,0             | 0,80      | 2,20           |                    |                   |
| 7          | 15,94       | 27365,0       | 6,63     | 0,58     | 7,80 | 223,8             | 0,75      | 2,25           |                    |                   |
| 8          | 15,48       | 27130,0       | 6,43     | 0,57     | 7,79 | 225,5             | 0,70      | 2,33           |                    |                   |
| 9          | 15,44       | 27085,0       | 6,45     | 0,57     | 7,79 | 225,8             | 0,68      | 2,20           |                    |                   |
| 10         | 15,31       | 26997,5       | 6,23     | 0,55     | 7,78 | 226,5             | 0,60      | 2,18           |                    |                   |
| 11         | 15,28       | 27015,0       | 6,10     | 0,54     | 7,78 | 226,8             | 0,63      | 2,05           |                    |                   |
| 12         | 15,27       | 27082,5       | 6,30     | 0,56     | 7,77 | 227,5             | 0,75      | 1,73           |                    |                   |
| 13         | 15,33       | 27227,5       | 6,00     | 0,53     | 7,77 | 229,0             | 0,80      | 2,50           |                    |                   |



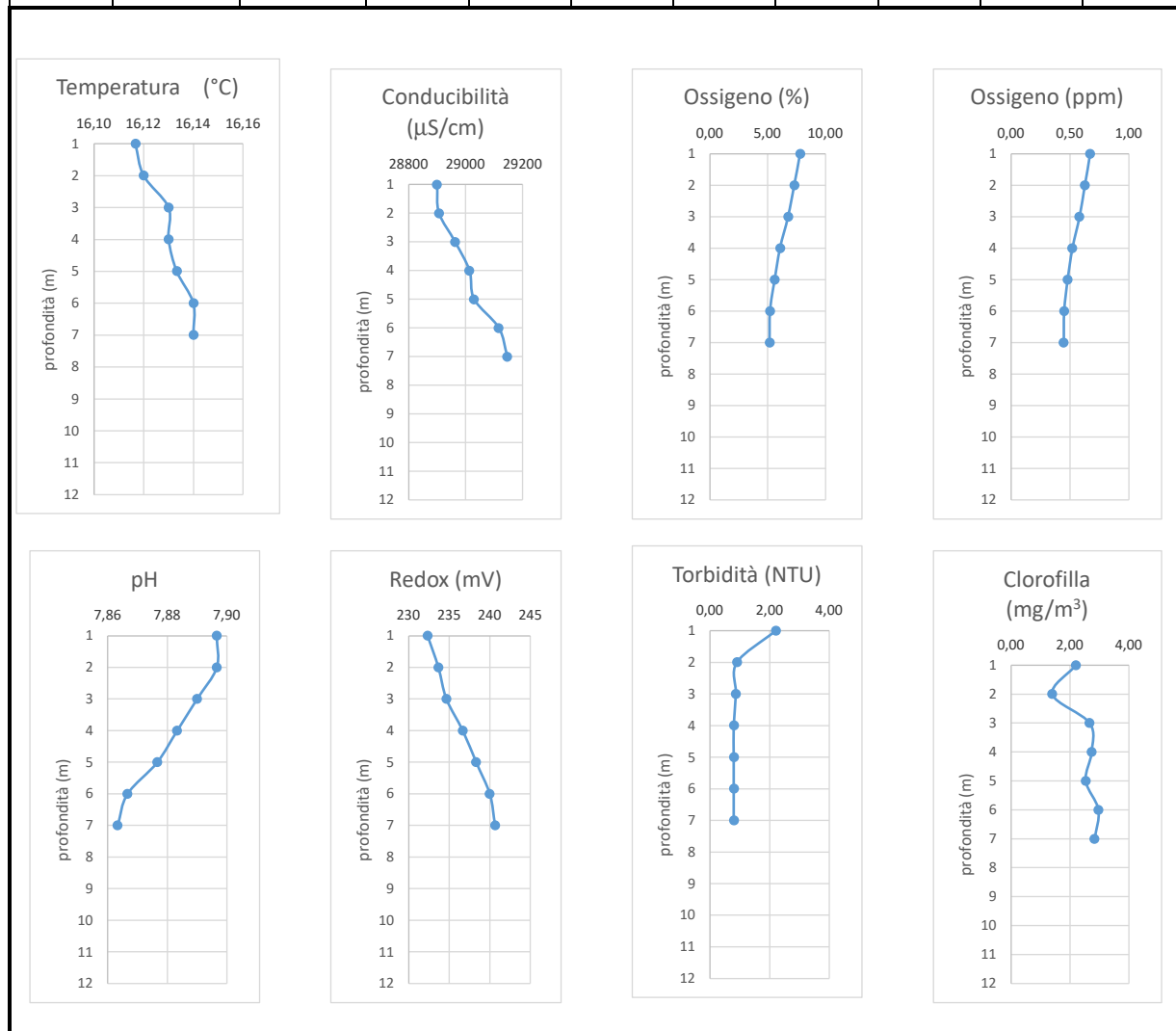
| ST07 – 20/04/2021 10:15 |             |               |          |          |      |                   |           |                   |                    |                   |
|-------------------------|-------------|---------------|----------|----------|------|-------------------|-----------|-------------------|--------------------|-------------------|
| Profondità              | Temperatura | Conducibilità | Ossigeno | Ossigeno | pH   | Potenziale Red-ox | Torbidità | Clorofilla 'a'    | direzione corrente | velocità corrente |
| m                       | °C          | µS/cm         | %        | ppm      | -    | mV                | NTU       | mg/m <sup>3</sup> | -                  | m/s               |
| 1                       | 16,11       | 24808         | 4,70     | 0,42     | 7,79 | 245,5             | 0,88      | 2,10              | NW                 | 0,1               |
| 2                       | 16,11       | 24873         | 4,73     | 0,42     | 7,79 | 247,0             | 0,90      | 2,30              |                    |                   |
| 3                       | 16,10       | 24928         | 4,73     | 0,42     | 7,78 | 247,8             | 0,90      | 2,13              |                    |                   |
| 4                       | 16,10       | 24998         | 4,63     | 0,41     | 7,78 | 248,5             | 0,90      | 2,18              |                    |                   |
| 5                       | 16,11       | 25073         | 4,55     | 0,40     | 7,78 | 249,0             | 0,90      | 2,40              |                    |                   |
| 6                       | 16,10       | 25210         | 4,60     | 0,41     | 7,78 | 250,0             | 0,98      | 2,50              |                    |                   |
| 7                       | 16,00       | 25128         | 4,60     | 0,40     | 7,77 | 250,3             | 1,13      | 2,25              |                    |                   |
| 8                       | 15,68       | 24858         | 4,65     | 0,41     | 7,77 | 251,0             | 1,20      | 2,23              |                    |                   |
| 9                       | 15,45       | 24743         | 4,75     | 0,43     | 7,76 | 251,5             | 1,20      | 2,50              |                    |                   |
| 10                      | 15,35       | 24695         | 4,85     | 0,43     | 7,76 | 251,8             | 1,23      | 2,68              |                    |                   |
| 11                      | 15,28       | 24658         | 4,95     | 0,44     | 7,76 | 252,0             | 1,28      | 2,63              |                    |                   |



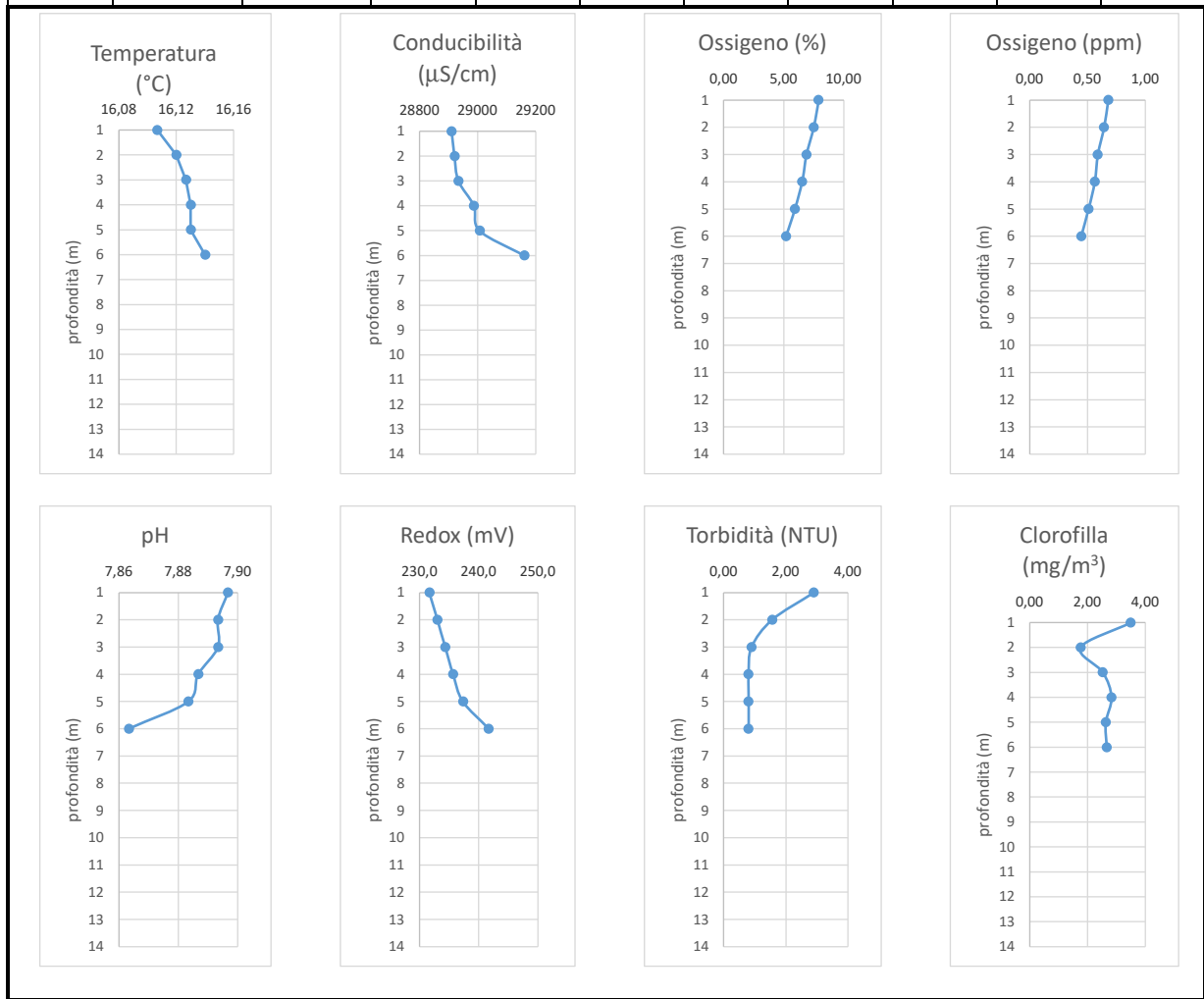
| ST08 – 20/04/2021 10:45 |             |               |          |          |      |                   |           |                   |                    |                   |
|-------------------------|-------------|---------------|----------|----------|------|-------------------|-----------|-------------------|--------------------|-------------------|
| Profondità              | Temperatura | Conducibilità | Ossigeno | Ossigeno | pH   | Potenziale Red-ox | Torbidità | Clorofilla 'a'    | direzione corrente | velocità corrente |
| m                       | °C          | μS/cm         | %        | ppm      | -    | mV                | NTU       | mg/m <sup>3</sup> | -                  | m/s               |
| 1                       | 16,11       | 24830         | 4,70     | 0,42     | 7,79 | 246,0             | 0,88      | 2,15              | NW                 | 0,1               |
| 2                       | 16,11       | 24853         | 4,70     | 0,42     | 7,79 | 246,5             | 0,90      | 2,20              |                    |                   |
| 3                       | 16,11       | 25038         | 4,55     | 0,41     | 7,78 | 248,8             | 0,90      | 2,23              |                    |                   |
| 4                       | 16,12       | 25108         | 4,55     | 0,40     | 7,78 | 249,3             | 0,90      | 2,48              |                    |                   |
| 5                       | 16,12       | 25148         | 4,58     | 0,40     | 7,78 | 249,5             | 0,90      | 2,60              |                    |                   |
| 6                       | 16,06       | 25205         | 4,60     | 0,41     | 7,77 | 250,0             | 1,05      | 2,38              |                    |                   |
| 7                       | 15,91       | 25023         | 4,60     | 0,40     | 7,77 | 250,5             | 1,18      | 2,18              |                    |                   |
| 8                       | 15,80       | 24933         | 4,63     | 0,41     | 7,77 | 250,8             | 1,20      | 2,13              |                    |                   |
| 9                       | 15,56       | 24788         | 4,70     | 0,42     | 7,77 | 251,3             | 1,20      | 2,33              |                    |                   |
| 10                      | 15,22       | 24678         | 4,95     | 0,44     | 7,76 | 252,3             | 1,33      | 2,60              |                    |                   |



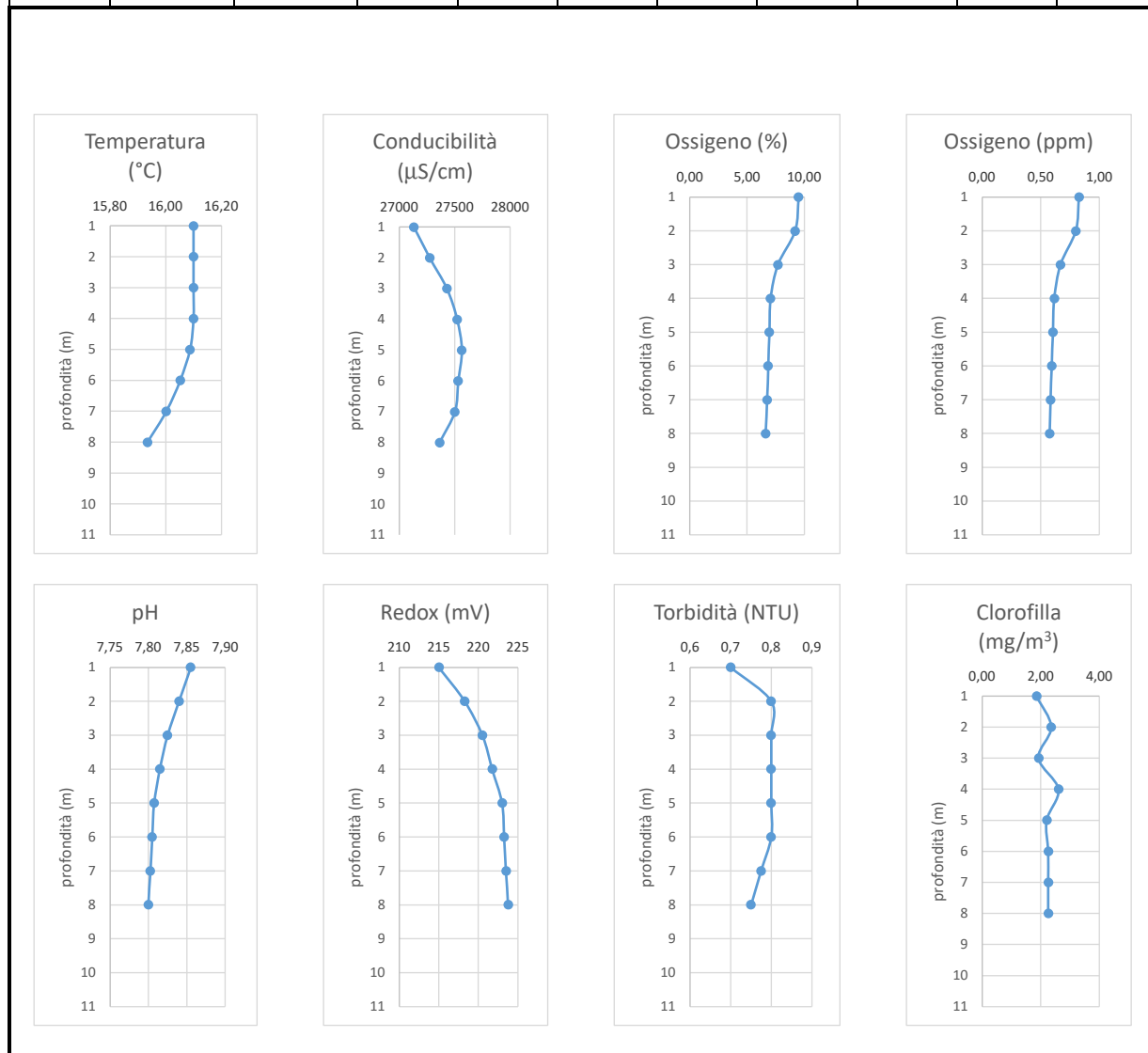
| ST01 - 22/04/2021 09:30 |             |               |          |          |      |                   |           |                   |                    |                   |
|-------------------------|-------------|---------------|----------|----------|------|-------------------|-----------|-------------------|--------------------|-------------------|
| Profondità              | Temperatura | Conducibilità | Ossigeno | Ossigeno | pH   | Potenziale Red-ox | Torbidità | Clorofilla 'a'    | direzione corrente | velocità corrente |
| m                       | °C          | µS/cm         | %        | ppm      | -    | mV                | NTU       | mg/m <sup>3</sup> | -                  | m/s               |
| 1                       | 16,12       | 28900         | 7,80     | 0,67     | 7,90 | 232,3             | 2,20      | 2,20              | SW                 | 0,1               |
| 2                       | 16,12       | 28907         | 7,30     | 0,63     | 7,90 | 233,7             | 0,90      | 1,40              |                    |                   |
| 3                       | 16,13       | 28963         | 6,77     | 0,58     | 7,89 | 234,7             | 0,87      | 2,67              |                    |                   |
| 4                       | 16,13       | 29013         | 6,07     | 0,52     | 7,88 | 236,7             | 0,80      | 2,73              |                    |                   |
| 5                       | 16,13       | 29030         | 5,60     | 0,48     | 7,88 | 238,3             | 0,80      | 2,53              |                    |                   |
| 6                       | 16,14       | 29117         | 5,20     | 0,45     | 7,87 | 240,0             | 0,80      | 2,97              |                    |                   |
| 7                       | 16,14       | 29147         | 5,17     | 0,45     | 7,86 | 240,7             | 0,80      | 2,83              |                    |                   |
|                         |             |               |          |          |      |                   |           |                   |                    |                   |
|                         |             |               |          |          |      |                   |           |                   |                    |                   |
|                         |             |               |          |          |      |                   |           |                   |                    |                   |
|                         |             |               |          |          |      |                   |           |                   |                    |                   |
|                         |             |               |          |          |      |                   |           |                   |                    |                   |
|                         |             |               |          |          |      |                   |           |                   |                    |                   |



| ST02 - 22/04/2021 10:00 |             |               |          |          |      |                   |           |                   |                    |                   |
|-------------------------|-------------|---------------|----------|----------|------|-------------------|-----------|-------------------|--------------------|-------------------|
| Profondità              | Temperatura | Conducibilità | Ossigeno | Ossigeno | pH   | Potenziale Red-ox | Torbidità | Clorofilla 'a'    | direzione corrente | velocità corrente |
| m                       | °C          | μS/cm         | %        | ppm      | -    | mV                | NTU       | mg/m <sup>3</sup> | -                  | m/s               |
| 1                       | 16,11       | 28910         | 7,90     | 0,68     | 7,90 | 231,7             | 2,90      | 3,50              | SW                 | 0,1               |
| 2                       | 16,12       | 28920         | 7,50     | 0,64     | 7,89 | 233,0             | 1,57      | 1,77              |                    |                   |
| 3                       | 16,13       | 28933         | 6,90     | 0,59     | 7,89 | 234,3             | 0,90      | 2,53              |                    |                   |
| 4                       | 16,13       | 28987         | 6,53     | 0,56     | 7,89 | 235,7             | 0,80      | 2,83              |                    |                   |
| 5                       | 16,13       | 29007         | 5,93     | 0,51     | 7,88 | 237,3             | 0,80      | 2,63              |                    |                   |
| 6                       | 16,14       | 29160         | 5,20     | 0,45     | 7,86 | 241,7             | 0,80      | 2,67              |                    |                   |
|                         |             |               |          |          |      |                   |           |                   |                    |                   |
|                         |             |               |          |          |      |                   |           |                   |                    |                   |
|                         |             |               |          |          |      |                   |           |                   |                    |                   |
|                         |             |               |          |          |      |                   |           |                   |                    |                   |
|                         |             |               |          |          |      |                   |           |                   |                    |                   |
|                         |             |               |          |          |      |                   |           |                   |                    |                   |
|                         |             |               |          |          |      |                   |           |                   |                    |                   |
|                         |             |               |          |          |      |                   |           |                   |                    |                   |
|                         |             |               |          |          |      |                   |           |                   |                    |                   |
|                         |             |               |          |          |      |                   |           |                   |                    |                   |
|                         |             |               |          |          |      |                   |           |                   |                    |                   |
|                         |             |               |          |          |      |                   |           |                   |                    |                   |
|                         |             |               |          |          |      |                   |           |                   |                    |                   |

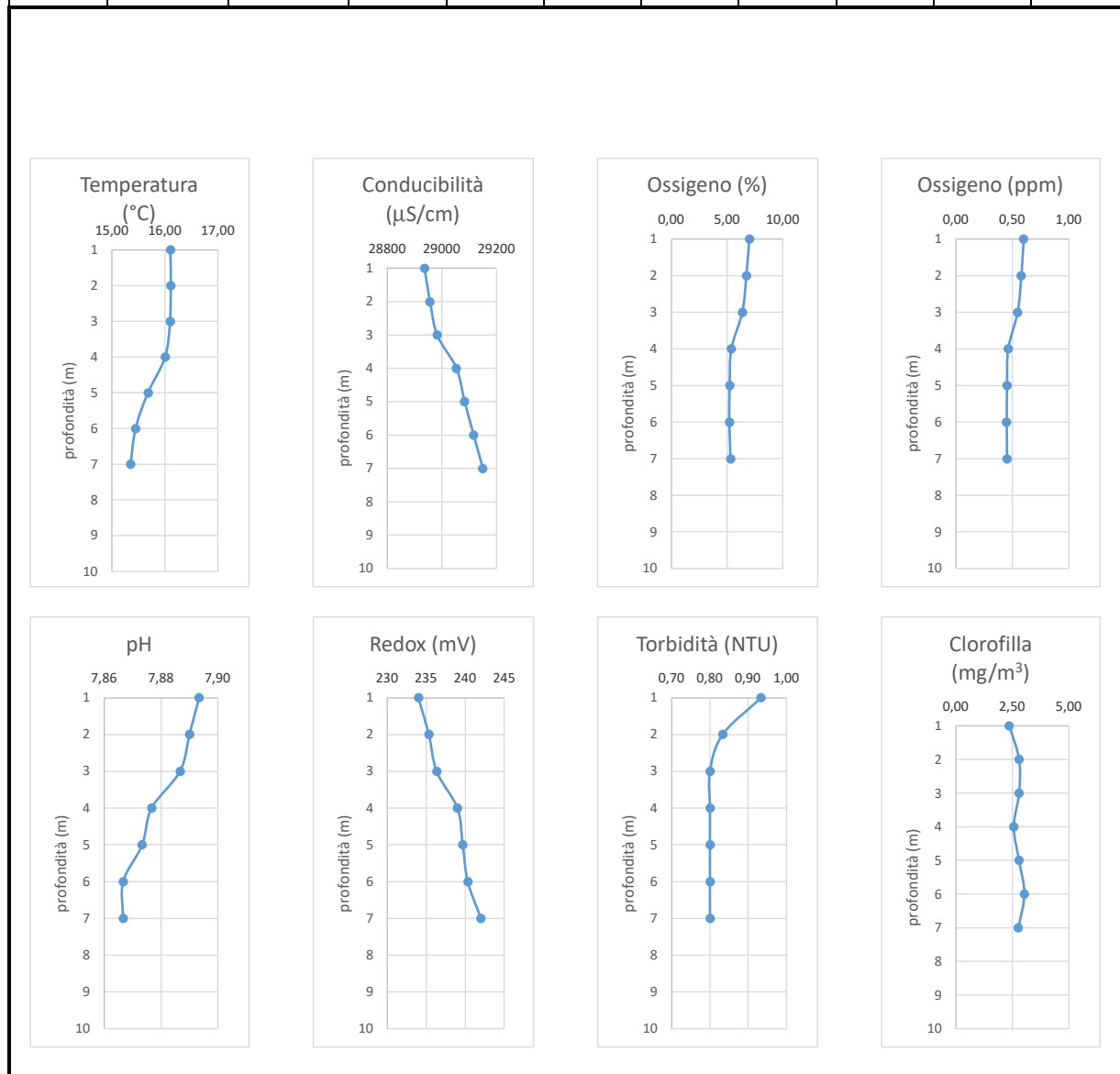


| ST03 – 22/04/2021 10:30 |             |               |          |          |      |                   |           |                   |                    |                   |
|-------------------------|-------------|---------------|----------|----------|------|-------------------|-----------|-------------------|--------------------|-------------------|
| Profondità              | Temperatura | Conducibilità | Ossigeno | Ossigeno | pH   | Potenziale Red-ox | Torbidità | Clorofilla 'a'    | direzione corrente | velocità corrente |
| m                       | °C          | μS/cm         | %        | ppm      | -    | mV                | NTU       | mg/m <sup>3</sup> | -                  | m/s               |
| 1                       | 16,10       | 27133         | 9,50     | 0,83     | 7,86 | 215               | 0,7       | 1,85              | SW                 | 0,1               |
| 2                       | 16,10       | 27275         | 9,20     | 0,80     | 7,84 | 218               | 0,8       | 2,35              |                    |                   |
| 3                       | 16,10       | 27430         | 7,70     | 0,67     | 7,83 | 221               | 0,8       | 1,925             |                    |                   |
| 4                       | 16,10       | 27523         | 7,05     | 0,62     | 7,82 | 222               | 0,8       | 2,6               |                    |                   |
| 5                       | 16,09       | 27565         | 6,95     | 0,60     | 7,81 | 223               | 0,8       | 2,2               |                    |                   |
| 6                       | 16,05       | 27533         | 6,85     | 0,59     | 7,81 | 223               | 0,8       | 2,25              |                    |                   |
| 7                       | 16,00       | 27503         | 6,75     | 0,58     | 7,80 | 224               | 0,775     | 2,25              |                    |                   |
| 8                       | 15,94       | 27365         | 6,63     | 0,58     | 7,80 | 224               | 0,75      | 2,25              |                    |                   |
|                         |             |               |          |          |      |                   |           |                   |                    |                   |
|                         |             |               |          |          |      |                   |           |                   |                    |                   |
|                         |             |               |          |          |      |                   |           |                   |                    |                   |



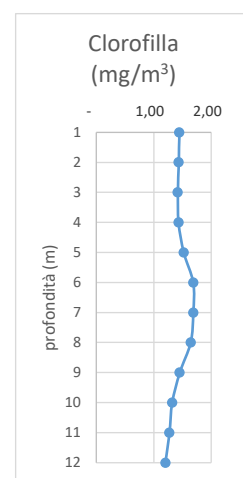
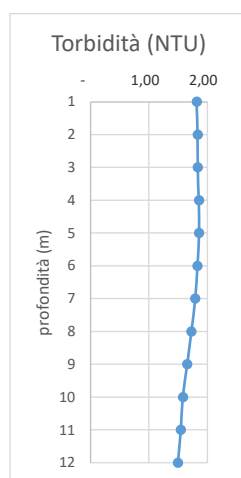
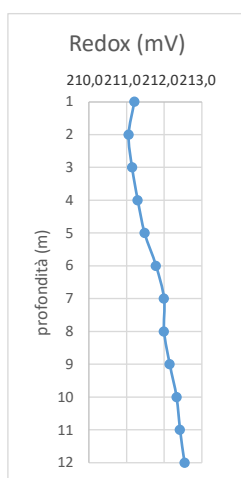
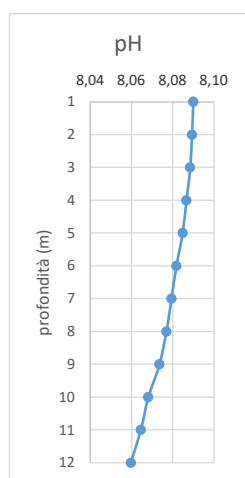
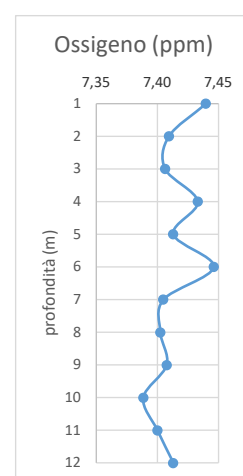
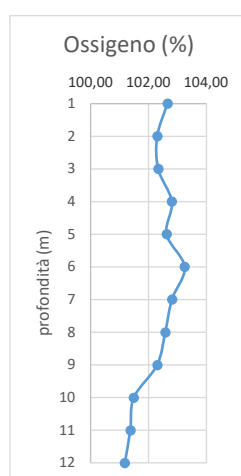
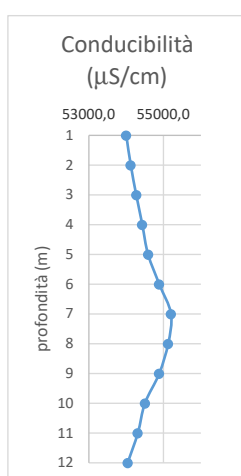
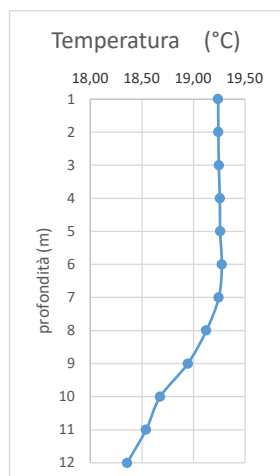


| ST04 – 22/04/2021 11:00 |             |               |          |          |      |                   |           |                   |                    |                   |
|-------------------------|-------------|---------------|----------|----------|------|-------------------|-----------|-------------------|--------------------|-------------------|
| Profondità              | Temperatura | Conducibilità | Ossigeno | Ossigeno | pH   | Potenziale Red-ox | Torbidità | Clorofilla 'a'    | direzione corrente | velocità corrente |
| m                       | °C          | μS/cm         | %        | ppm      | -    | mV                | NTU       | mg/m <sup>3</sup> | -                  | m/s               |
| 1                       | 16,12       | 28937         | 7,00     | 0,60     | 7,89 | 234               | 0,93      | 2,37              | SW                 | 0,1               |
| 2                       | 16,13       | 28957         | 6,73     | 0,58     | 7,89 | 235               | 0,83      | 2,80              |                    |                   |
| 3                       | 16,13       | 28983         | 6,37     | 0,55     | 7,89 | 236               | 0,80      | 2,80              |                    |                   |
| 4                       | 16,13       | 29053         | 5,37     | 0,46     | 7,88 | 239               | 0,80      | 2,57              |                    |                   |
| 5                       | 16,14       | 29083         | 5,23     | 0,45     | 7,87 | 240               | 0,80      | 2,80              |                    |                   |
| 6                       | 16,14       | 29117         | 5,20     | 0,45     | 7,87 | 240               | 0,80      | 3,03              |                    |                   |
| 7                       | 16,14       | 29150         | 5,30     | 0,45     | 7,87 | 242               | 0,80      | 2,77              |                    |                   |
|                         |             |               |          |          |      |                   |           |                   |                    |                   |
|                         |             |               |          |          |      |                   |           |                   |                    |                   |
|                         |             |               |          |          |      |                   |           |                   |                    |                   |



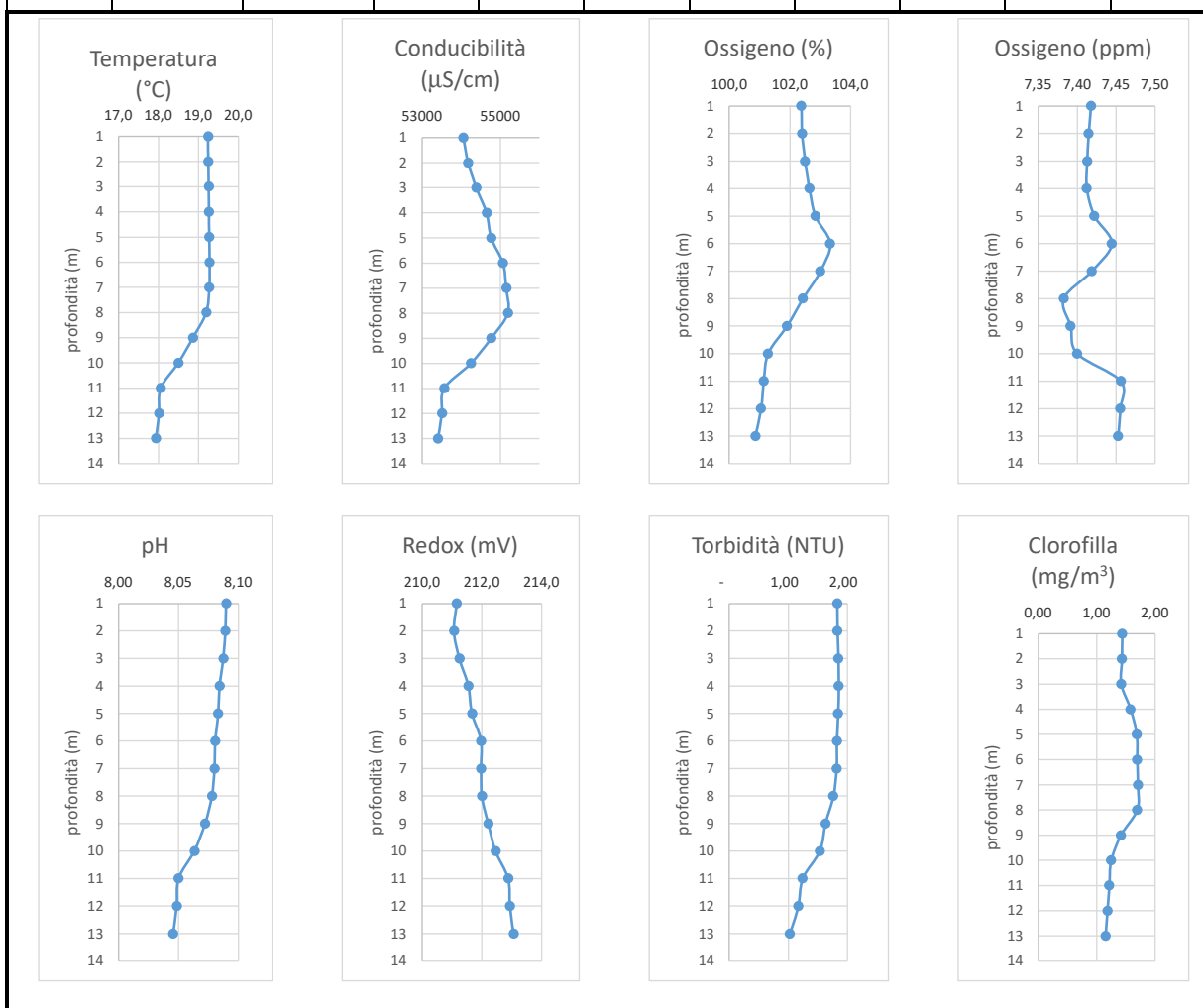
**ST05 - 18/05/2021 10:30**

| Profondità | Temperatura | Conducibilità | Ossigeno | Ossigeno | pH   | Potenziale Red-ox | Torbidità | Clorofilla 'a'    | direzione corrente | velocità corrente |
|------------|-------------|---------------|----------|----------|------|-------------------|-----------|-------------------|--------------------|-------------------|
| m          | °C          | µS/cm         | %        | ppm      | -    | mV                | NTU       | mg/m <sup>3</sup> | -                  | m/s               |
| 1          | 19,24       | 54003,9       | 102,65   | 7,44     | 8,09 | 211,2             | 1,82      | 1,45              | SE                 | 0,1               |
| 2          | 19,24       | 54123,9       | 102,30   | 7,41     | 8,09 | 211,1             | 1,83      | 1,43              |                    |                   |
| 3          | 19,25       | 54271,8       | 102,34   | 7,41     | 8,09 | 211,2             | 1,84      | 1,42              |                    |                   |
| 4          | 19,26       | 54432,7       | 102,81   | 7,43     | 8,09 | 211,3             | 1,85      | 1,43              |                    |                   |
| 5          | 19,26       | 54587,9       | 102,62   | 7,41     | 8,08 | 211,5             | 1,86      | 1,52              |                    |                   |
| 6          | 19,28       | 54885,2       | 103,25   | 7,45     | 8,08 | 211,8             | 1,83      | 1,69              |                    |                   |
| 7          | 19,25       | 55202,7       | 102,81   | 7,40     | 8,08 | 212,0             | 1,79      | 1,69              |                    |                   |
| 8          | 19,12       | 55123,9       | 102,58   | 7,40     | 8,08 | 212,0             | 1,73      | 1,64              |                    |                   |
| 9          | 18,95       | 54887,6       | 102,30   | 7,41     | 8,07 | 212,2             | 1,65      | 1,45              |                    |                   |
| 10         | 18,68       | 54503,9       | 101,49   | 7,39     | 8,07 | 212,3             | 1,58      | 1,32              |                    |                   |
| 11         | 18,54       | 54310,3       | 101,37   | 7,40     | 8,06 | 212,4             | 1,55      | 1,27              |                    |                   |
| 12         | 18,36       | 54040,0       | 101,18   | 7,41     | 8,06 | 212,5             | 1,50      | 1,20              |                    |                   |

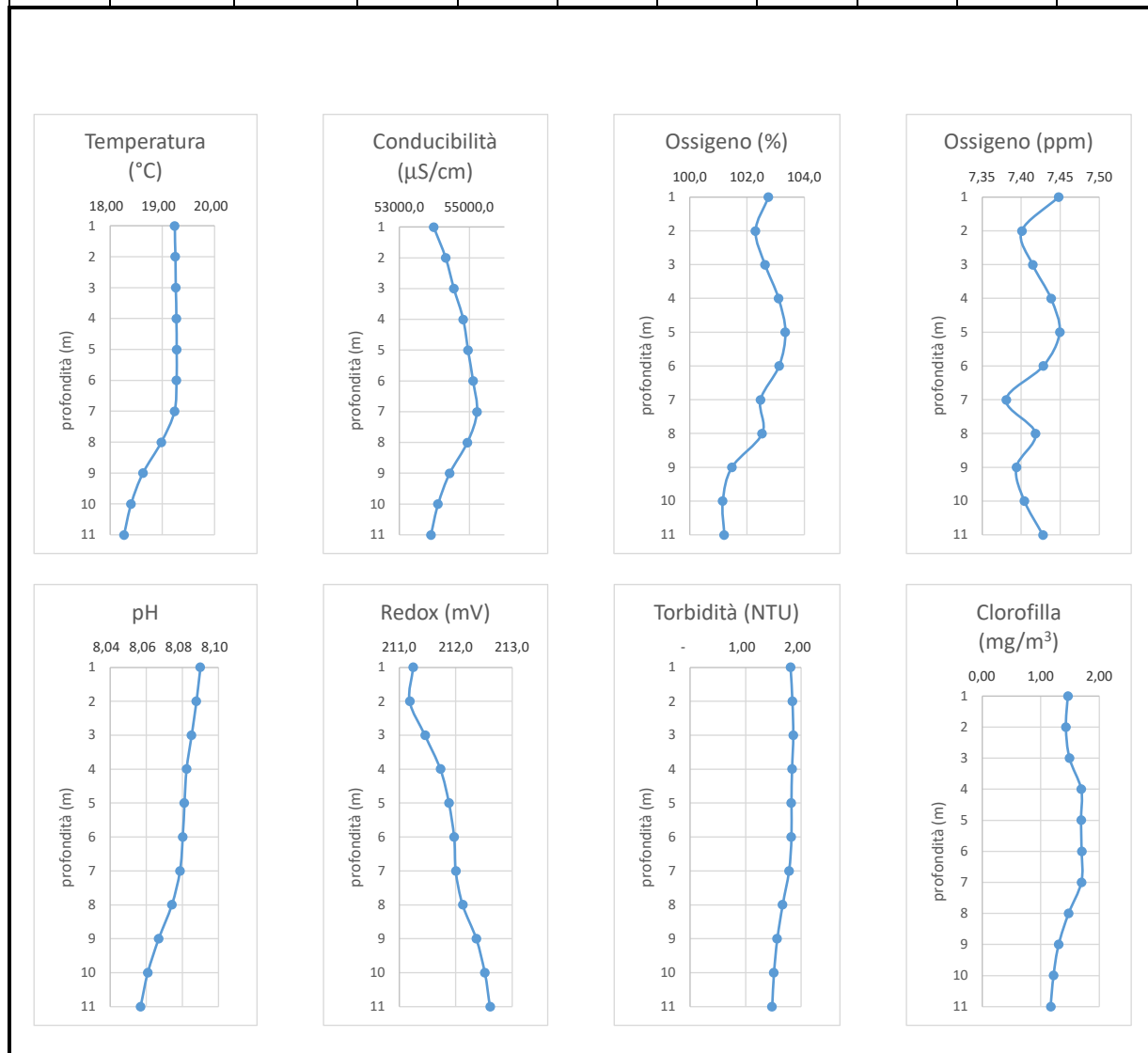


**ST06 - 18/05/2021 10:00**

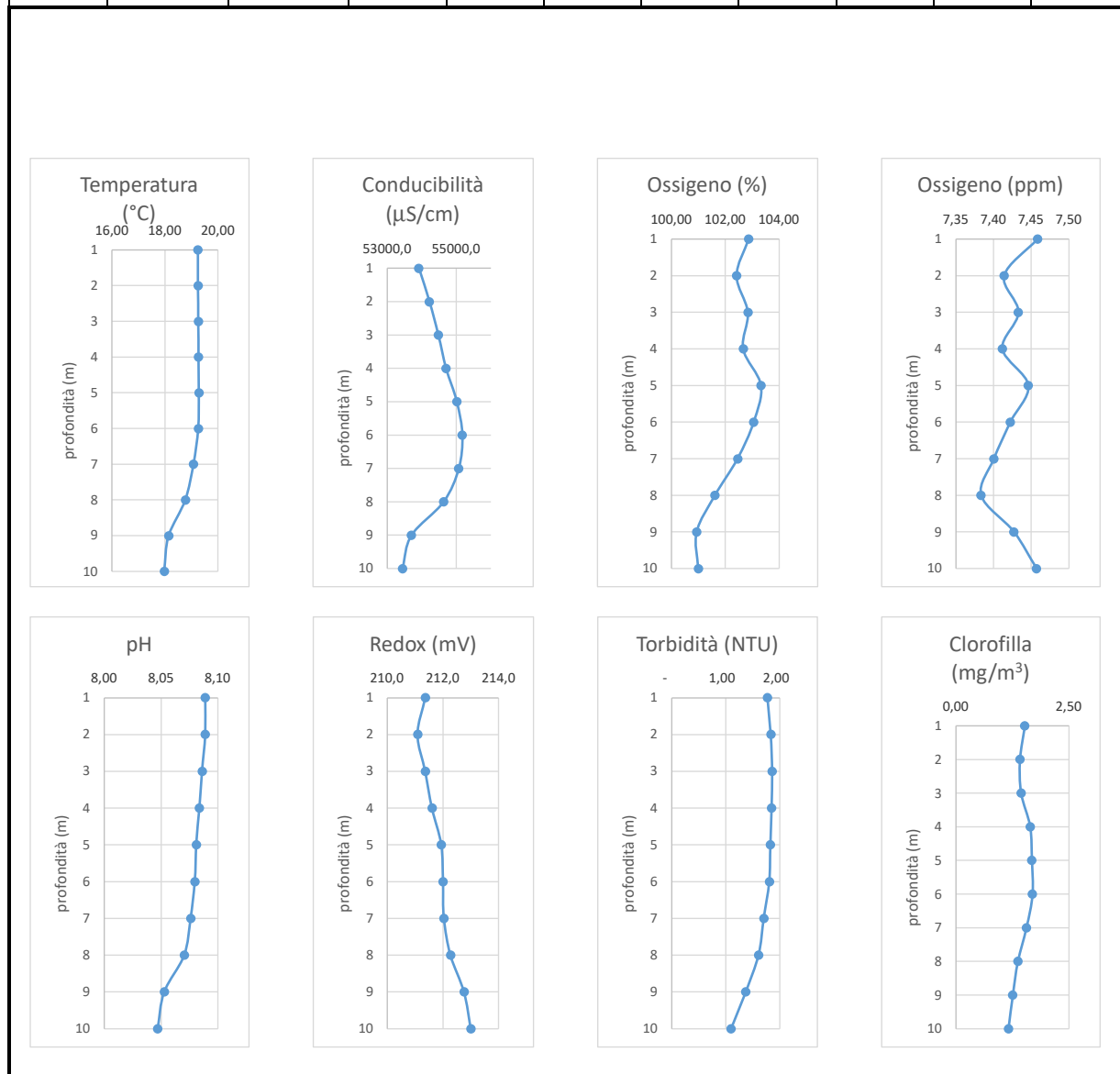
| Profondità | Temperatura | Conducibilità | Ossigeno | Ossigeno | pH   | Potenziale Red-ox | Torbidità | Clorofilla 'a'    | direzione corrente | velocità corrente |
|------------|-------------|---------------|----------|----------|------|-------------------|-----------|-------------------|--------------------|-------------------|
| m          | °C          | µS/cm         | %        | ppm      | -    | mV                | NTU       | mg/m <sup>3</sup> | -                  | m/s               |
| 1          | 19,24       | 54050,9       | 102,38   | 7,42     | 8,09 | 211,2             | 1,83      | 1,44              | SE                 | 0,1               |
| 2          | 19,24       | 54172,7       | 102,40   | 7,41     | 8,09 | 211,1             | 1,83      | 1,43              |                    |                   |
| 3          | 19,25       | 54381,5       | 102,50   | 7,41     | 8,09 | 211,2             | 1,85      | 1,42              |                    |                   |
| 4          | 19,26       | 54644,8       | 102,64   | 7,41     | 8,08 | 211,5             | 1,85      | 1,58              |                    |                   |
| 5          | 19,27       | 54763,6       | 102,84   | 7,42     | 8,08 | 211,7             | 1,84      | 1,69              |                    |                   |
| 6          | 19,28       | 55062,7       | 103,33   | 7,44     | 8,08 | 212,0             | 1,82      | 1,69              |                    |                   |
| 7          | 19,27       | 55146,7       | 103,01   | 7,42     | 8,08 | 212,0             | 1,82      | 1,71              |                    |                   |
| 8          | 19,19       | 55190,6       | 102,43   | 7,38     | 8,08 | 212,0             | 1,76      | 1,69              |                    |                   |
| 9          | 18,86       | 54762,1       | 101,91   | 7,39     | 8,07 | 212,2             | 1,63      | 1,42              |                    |                   |
| 10         | 18,49       | 54243,0       | 101,28   | 7,40     | 8,06 | 212,5             | 1,53      | 1,25              |                    |                   |
| 11         | 18,05       | 53559,4       | 101,14   | 7,46     | 8,05 | 212,9             | 1,24      | 1,22              |                    |                   |
| 12         | 18,01       | 53501,5       | 101,05   | 7,46     | 8,05 | 212,9             | 1,17      | 1,19              |                    |                   |
| 13         | 17,93       | 53403,9       | 100,87   | 7,45     | 8,05 | 213,1             | 1,03      | 1,15              |                    |                   |



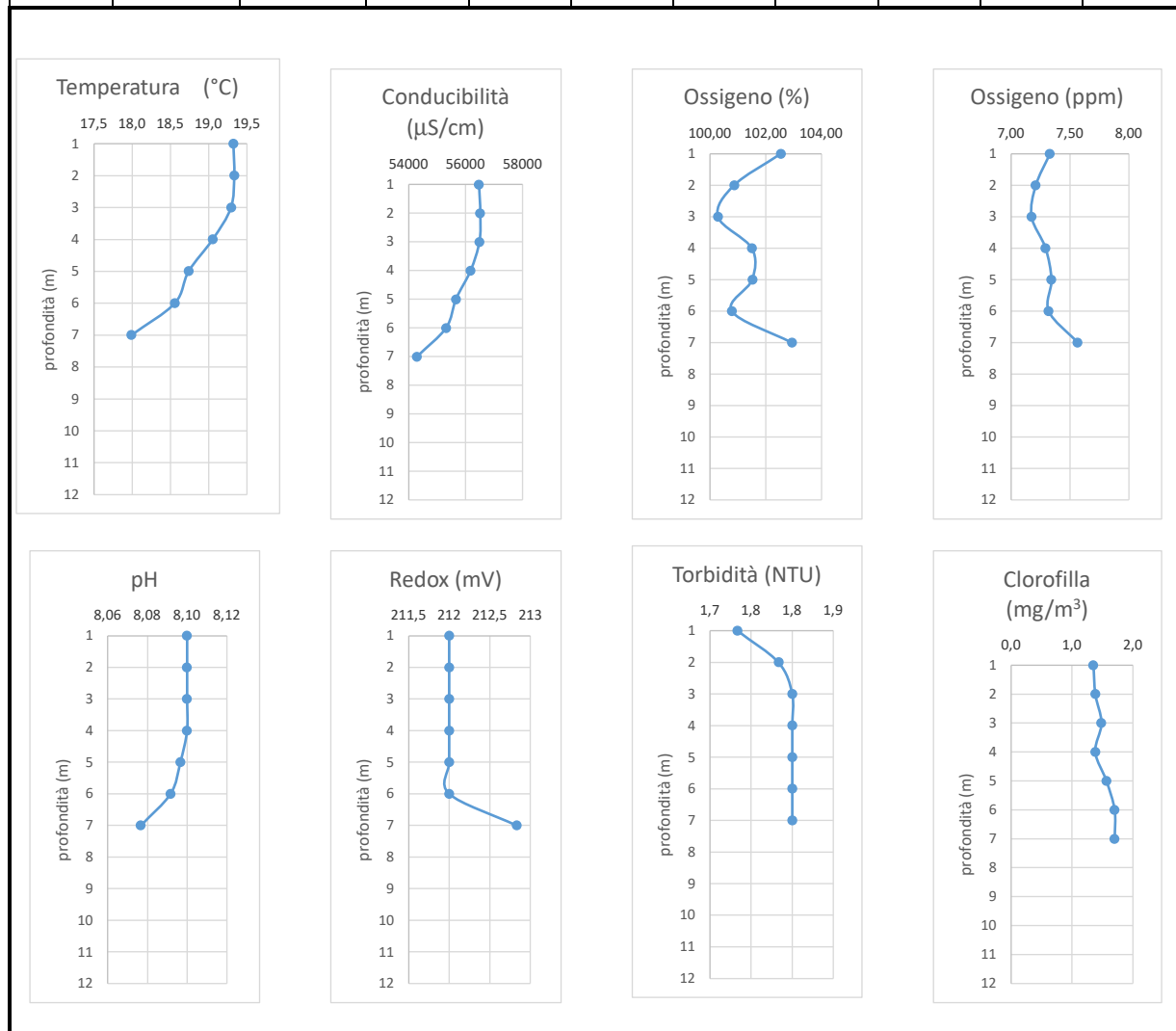
| ST07 – 18/05/2021 09:30 |             |               |          |          |      |                   |           |                   |                    |                   |
|-------------------------|-------------|---------------|----------|----------|------|-------------------|-----------|-------------------|--------------------|-------------------|
| Profondità              | Temperatura | Conducibilità | Ossigeno | Ossigeno | pH   | Potenziale Red-ox | Torbidità | Clorofilla 'a'    | direzione corrente | velocità corrente |
| m                       | °C          | µS/cm         | %        | ppm      | -    | mV                | NTU       | mg/m <sup>3</sup> | -                  | m/s               |
| 1                       | 19,24       | 53981,8       | 102,75   | 7,45     | 8,09 | 211,2             | 1,81      | 1,46              | SE                 | 0,1               |
| 2                       | 19,25       | 54327,6       | 102,29   | 7,40     | 8,09 | 211,2             | 1,84      | 1,43              |                    |                   |
| 3                       | 19,26       | 54559,4       | 102,63   | 7,41     | 8,09 | 211,5             | 1,86      | 1,49              |                    |                   |
| 4                       | 19,27       | 54826,7       | 103,10   | 7,44     | 8,08 | 211,7             | 1,84      | 1,69              |                    |                   |
| 5                       | 19,28       | 54962,7       | 103,34   | 7,45     | 8,08 | 211,9             | 1,82      | 1,68              |                    |                   |
| 6                       | 19,27       | 55109,1       | 103,12   | 7,43     | 8,08 | 212,0             | 1,82      | 1,70              |                    |                   |
| 7                       | 19,23       | 55220,0       | 102,47   | 7,38     | 8,08 | 212,0             | 1,78      | 1,69              |                    |                   |
| 8                       | 18,98       | 54947,6       | 102,53   | 7,42     | 8,07 | 212,1             | 1,67      | 1,47              |                    |                   |
| 9                       | 18,63       | 54440,6       | 101,47   | 7,39     | 8,07 | 212,4             | 1,57      | 1,30              |                    |                   |
| 10                      | 18,40       | 54107,3       | 101,15   | 7,40     | 8,06 | 212,5             | 1,51      | 1,22              |                    |                   |
| 11                      | 18,27       | 53908,5       | 101,20   | 7,43     | 8,06 | 212,6             | 1,48      | 1,17              |                    |                   |



| ST08 – 18/05/2021 09:00 |             |               |          |          |      |                   |           |                   |                    |                   |
|-------------------------|-------------|---------------|----------|----------|------|-------------------|-----------|-------------------|--------------------|-------------------|
| Profondità              | Temperatura | Conducibilità | Ossigeno | Ossigeno | pH   | Potenziale Red-ox | Torbidità | Clorofilla 'a'    | direzione corrente | velocità corrente |
| m                       | °C          | µS/cm         | %        | ppm      | -    | mV                | NTU       | mg/m <sup>3</sup> | -                  | m/s               |
| 1                       | 19,24       | 53918,2       | 102,87   | 7,46     | 8,09 | 211,4             | 1,77      | 1,53              | SE                 | 0,1               |
| 2                       | 19,24       | 54221,8       | 102,42   | 7,41     | 8,09 | 211,1             | 1,83      | 1,42              |                    |                   |
| 3                       | 19,26       | 54482,7       | 102,84   | 7,43     | 8,09 | 211,4             | 1,86      | 1,45              |                    |                   |
| 4                       | 19,26       | 54703,0       | 102,66   | 7,41     | 8,08 | 211,6             | 1,85      | 1,65              |                    |                   |
| 5                       | 19,28       | 55013,3       | 103,32   | 7,45     | 8,08 | 211,9             | 1,82      | 1,68              |                    |                   |
| 6                       | 19,26       | 55172,4       | 103,05   | 7,42     | 8,08 | 212,0             | 1,81      | 1,70              |                    |                   |
| 7                       | 19,07       | 55070,0       | 102,46   | 7,40     | 8,08 | 212,0             | 1,70      | 1,56              |                    |                   |
| 8                       | 18,77       | 54633,6       | 101,62   | 7,38     | 8,07 | 212,3             | 1,61      | 1,37              |                    |                   |
| 9                       | 18,14       | 53702,7       | 100,94   | 7,43     | 8,05 | 212,8             | 1,37      | 1,26              |                    |                   |
| 10                      | 17,97       | 53446,7       | 101,00   | 7,46     | 8,05 | 213,0             | 1,10      | 1,17              |                    |                   |

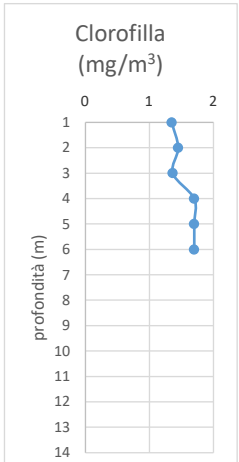
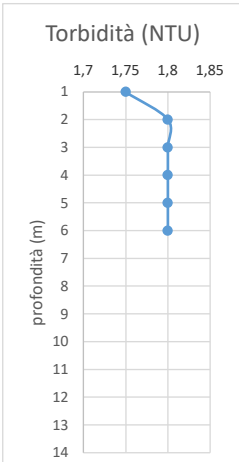
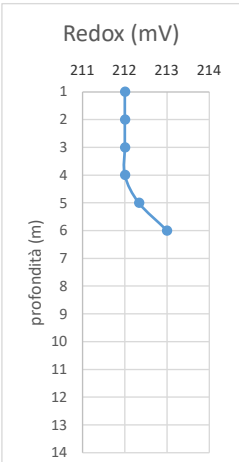
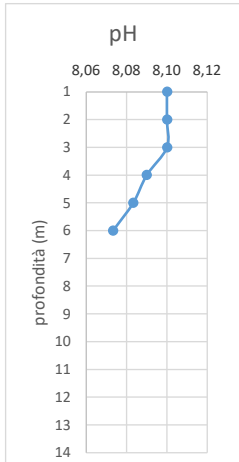
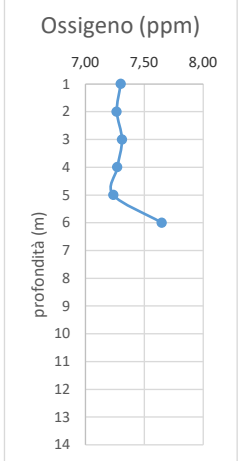
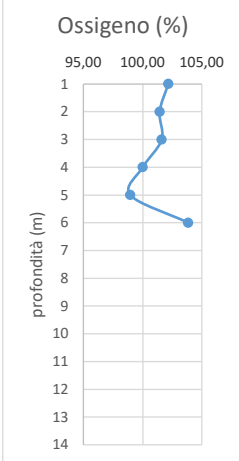
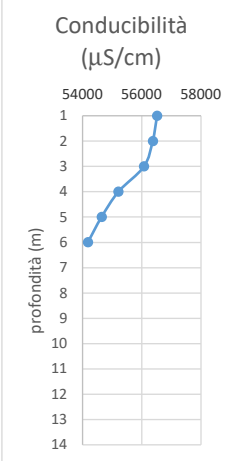
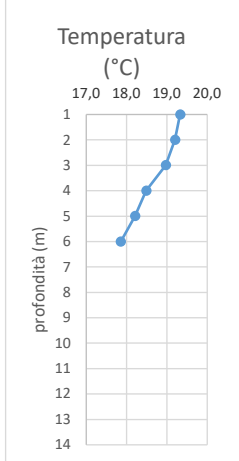


| ST01 - 20/05/2021 11:00 |             |               |          |          |      |                   |           |                   |                    |                   |
|-------------------------|-------------|---------------|----------|----------|------|-------------------|-----------|-------------------|--------------------|-------------------|
| Profondità              | Temperatura | Conducibilità | Ossigeno | Ossigeno | pH   | Potenziale Red-ox | Torbidità | Clorofilla 'a'    | direzione corrente | velocità corrente |
| m                       | °C          | µS/cm         | %        | ppm      | -    | mV                | NTU       | mg/m <sup>3</sup> | -                  | m/s               |
| 1                       | 19,32       | 56473,3       | 102,53   | 7,33     | 8,10 | 212               | 1,7       | 1,4               | NO                 | 0,1               |
| 2                       | 19,33       | 56516,7       | 100,87   | 7,21     | 8,10 | 212               | 1,8       | 1,4               |                    |                   |
| 3                       | 19,29       | 56490,0       | 100,28   | 7,17     | 8,10 | 212               | 1,8       | 1,5               |                    |                   |
| 4                       | 19,05       | 56178,3       | 101,50   | 7,29     | 8,10 | 212               | 1,8       | 1,4               |                    |                   |
| 5                       | 18,74       | 55663,3       | 101,52   | 7,34     | 8,10 | 212               | 1,8       | 1,6               |                    |                   |
| 6                       | 18,56       | 55315,0       | 100,78   | 7,32     | 8,09 | 212               | 1,8       | 1,7               |                    |                   |
| 7                       | 17,99       | 54295,0       | 102,93   | 7,57     | 8,08 | 213               | 1,8       | 1,7               |                    |                   |
|                         |             |               |          |          |      |                   |           |                   |                    |                   |
|                         |             |               |          |          |      |                   |           |                   |                    |                   |
|                         |             |               |          |          |      |                   |           |                   |                    |                   |
|                         |             |               |          |          |      |                   |           |                   |                    |                   |
|                         |             |               |          |          |      |                   |           |                   |                    |                   |
|                         |             |               |          |          |      |                   |           |                   |                    |                   |

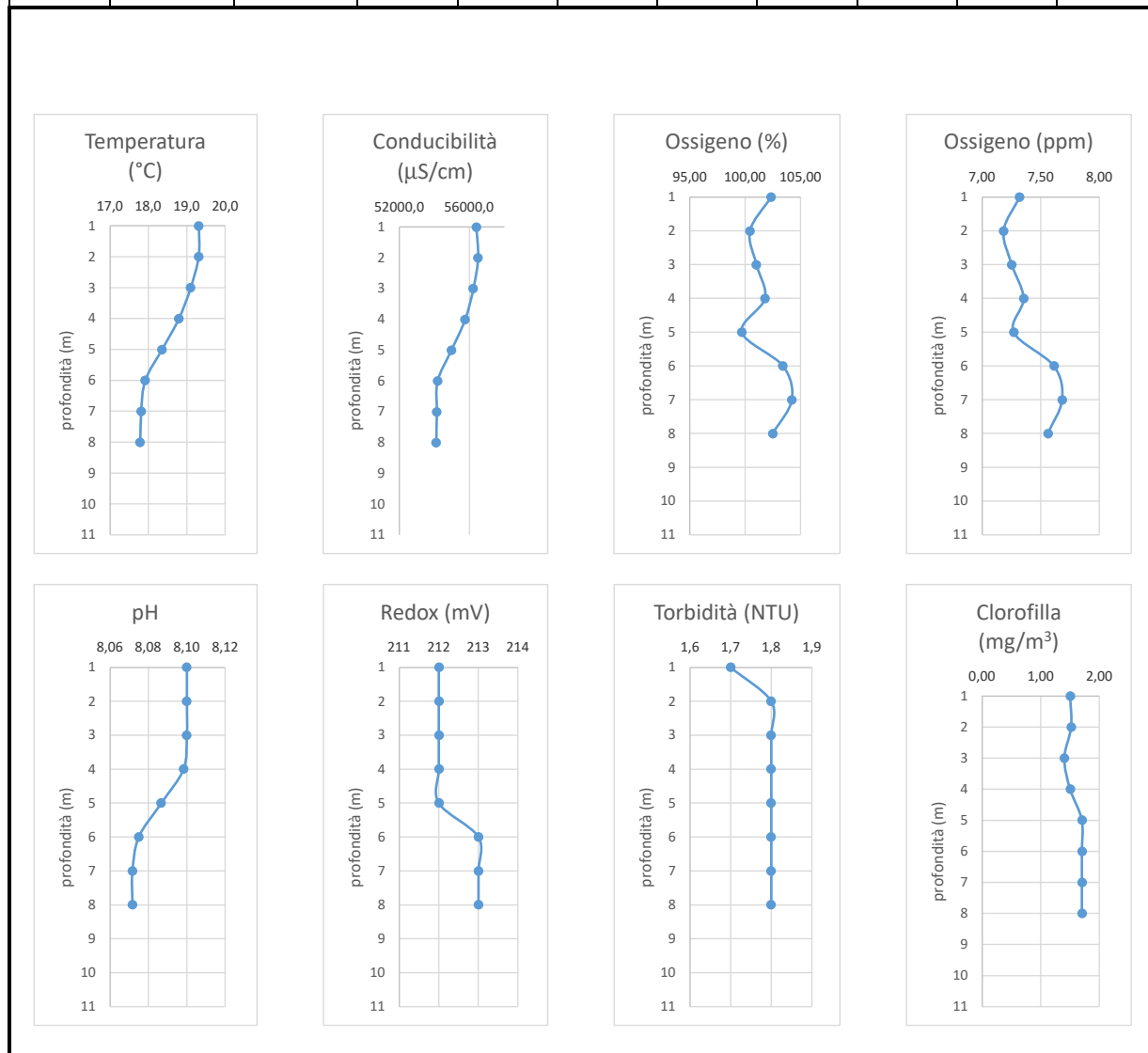


**ST02 - 20/05/2021 10:30**

| Profondità | Temperatura | Conducibilità | Ossigeno | Ossigeno | pH   | Potenziale Red-ox | Torbidità | Clorofilla 'a'    | direzione corrente | velocità corrente |
|------------|-------------|---------------|----------|----------|------|-------------------|-----------|-------------------|--------------------|-------------------|
| m          | °C          | μS/cm         | %        | ppm      | -    | mV                | NTU       | mg/m <sup>3</sup> | -                  | m/s               |
| 1          | 19,33       | 56511,7       | 102,17   | 7,30     | 8,10 | 212               | 1,75      | 1,35              | NO                 | 0,1               |
| 2          | 19,20       | 56366,7       | 101,43   | 7,27     | 8,10 | 212               | 1,8       | 1,45              |                    |                   |
| 3          | 18,97       | 56070,0       | 101,60   | 7,31     | 8,10 | 212               | 1,8       | 1,37              |                    |                   |
| 4          | 18,49       | 55205,0       | 100,00   | 7,27     | 8,09 | 212               | 1,8       | 1,7               |                    |                   |
| 5          | 18,21       | 54640,0       | 98,95    | 7,24     | 8,08 | 212               | 1,8       | 1,7               |                    |                   |
| 6          | 17,86       | 54173,3       | 103,83   | 7,65     | 8,07 | 213               | 1,8       | 1,7               |                    |                   |
|            |             |               |          |          |      |                   |           |                   |                    |                   |
|            |             |               |          |          |      |                   |           |                   |                    |                   |
|            |             |               |          |          |      |                   |           |                   |                    |                   |
|            |             |               |          |          |      |                   |           |                   |                    |                   |
|            |             |               |          |          |      |                   |           |                   |                    |                   |
|            |             |               |          |          |      |                   |           |                   |                    |                   |
|            |             |               |          |          |      |                   |           |                   |                    |                   |
|            |             |               |          |          |      |                   |           |                   |                    |                   |
|            |             |               |          |          |      |                   |           |                   |                    |                   |
|            |             |               |          |          |      |                   |           |                   |                    |                   |
|            |             |               |          |          |      |                   |           |                   |                    |                   |

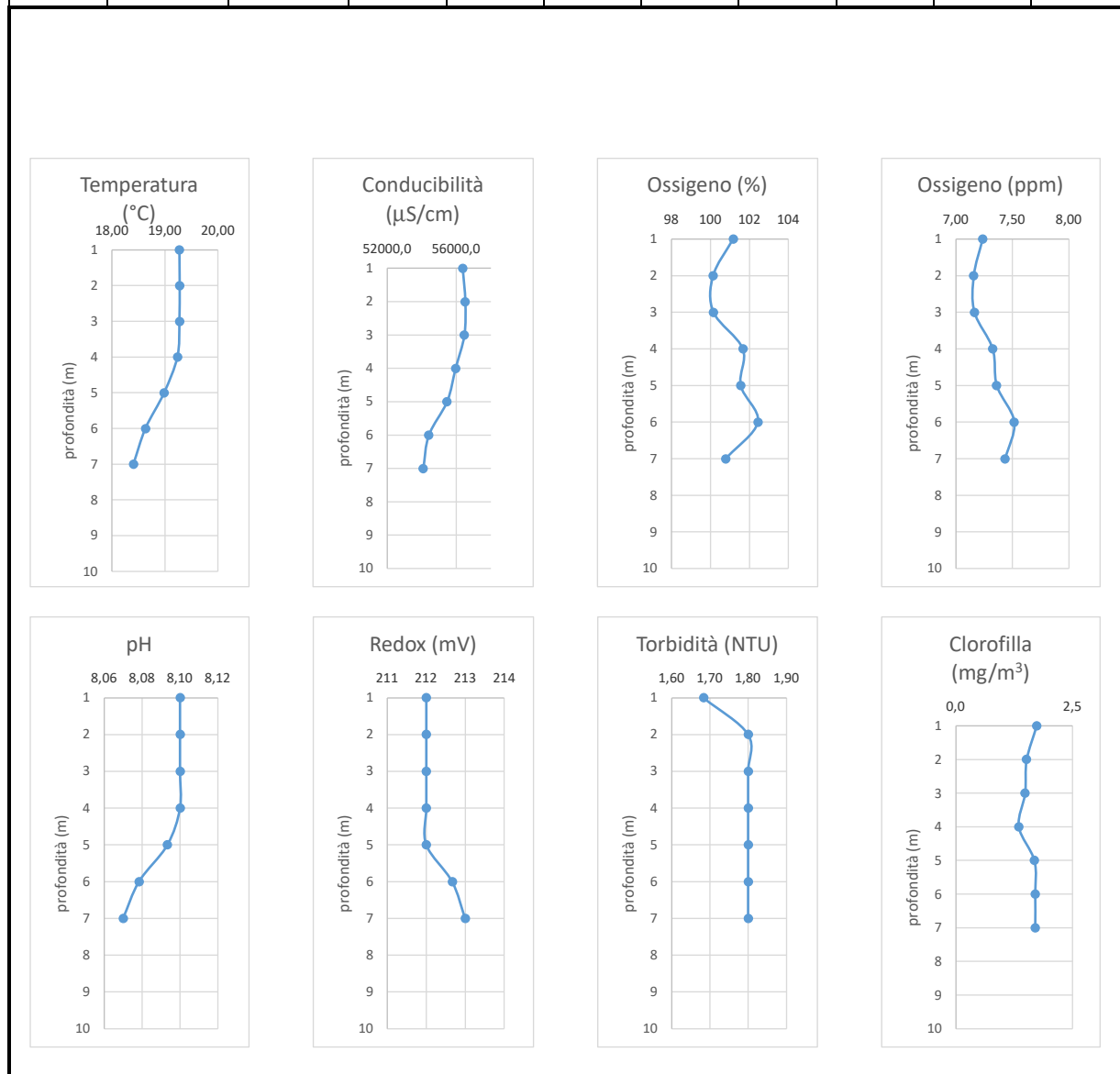


| ST03 – 20/05/2021 10:00 |             |               |          |          |      |                   |           |                   |                    |                   |
|-------------------------|-------------|---------------|----------|----------|------|-------------------|-----------|-------------------|--------------------|-------------------|
| Profondità              | Temperatura | Conducibilità | Ossigeno | Ossigeno | pH   | Potenziale Red-ox | Torbidità | Clorofilla 'a'    | direzione corrente | velocità corrente |
| m                       | °C          | μS/cm         | %        | ppm      | -    | mV                | NTU       | mg/m <sup>3</sup> | -                  | m/s               |
| 1                       | 19,31       | 56410,0       | 102,33   | 7,32     | 8,10 | 212               | 1,7       | 1,5               | NO                 | 0,1               |
| 2                       | 19,31       | 56501,7       | 100,43   | 7,18     | 8,10 | 212               | 1,8       | 1,5               |                    |                   |
| 3                       | 19,10       | 56230,0       | 101,02   | 7,25     | 8,10 | 212               | 1,8       | 1,4               |                    |                   |
| 4                       | 18,80       | 55765,0       | 101,80   | 7,35     | 8,10 | 212               | 1,8       | 1,5               |                    |                   |
| 5                       | 18,36       | 54981,7       | 99,70    | 7,27     | 8,09 | 212               | 1,8       | 1,7               |                    |                   |
| 6                       | 17,92       | 54193,3       | 103,42   | 7,61     | 8,08 | 213               | 1,8       | 1,7               |                    |                   |
| 7                       | 17,81       | 54145,0       | 104,22   | 7,68     | 8,07 | 213               | 1,8       | 1,7               |                    |                   |
| 8                       | 17,78       | 54115,0       | 102,50   | 7,56     | 8,07 | 213               | 1,8       | 1,7               |                    |                   |
|                         |             |               |          |          |      |                   |           |                   |                    |                   |
|                         |             |               |          |          |      |                   |           |                   |                    |                   |
|                         |             |               |          |          |      |                   |           |                   |                    |                   |



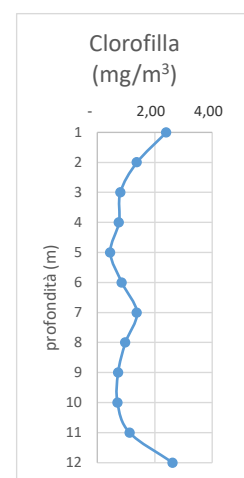
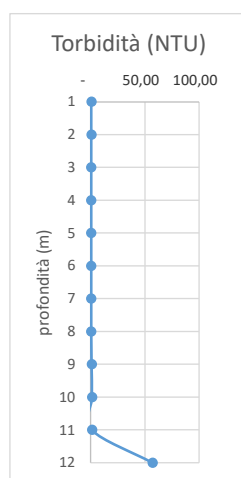
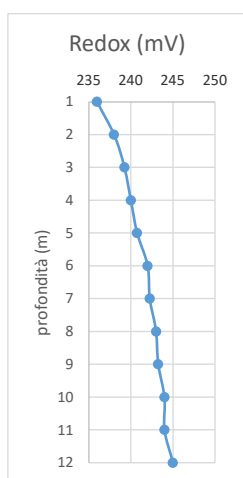
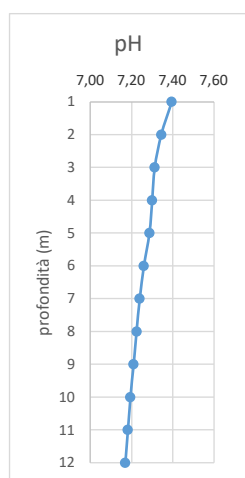
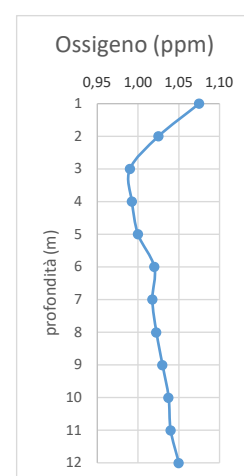
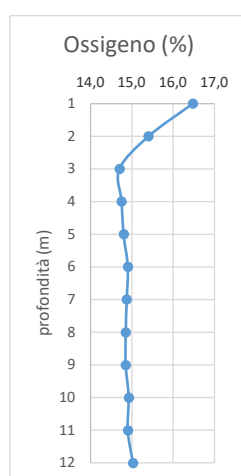
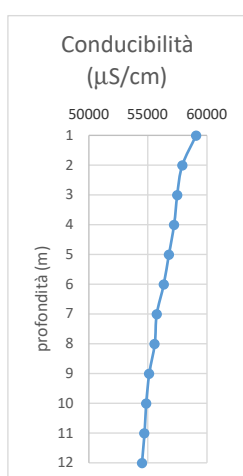
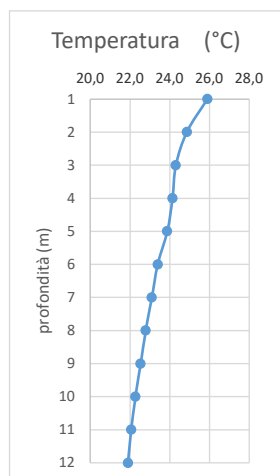


| ST04 – 20/05/2021 09:30 |             |               |          |          |      |                   |           |                   |                    |                   |
|-------------------------|-------------|---------------|----------|----------|------|-------------------|-----------|-------------------|--------------------|-------------------|
| Profondità              | Temperatura | Conducibilità | Ossigeno | Ossigeno | pH   | Potenziale Red-ox | Torbidità | Clorofilla 'a'    | direzione corrente | velocità corrente |
| m                       | °C          | µS/cm         | %        | ppm      | -    | mV                | NTU       | mg/m <sup>3</sup> | -                  | m/s               |
| 1                       | 19,31       | 56368,3       | 101,17   | 7,24     | 8,10 | 212               | 1,68      | 1,7               | NO                 | 0,1               |
| 2                       | 19,33       | 56516,7       | 100,13   | 7,16     | 8,10 | 212               | 1,80      | 1,5               |                    |                   |
| 3                       | 19,27       | 56466,7       | 100,15   | 7,17     | 8,10 | 212               | 1,80      | 1,5               |                    |                   |
| 4                       | 18,89       | 55958,3       | 101,67   | 7,33     | 8,10 | 212               | 1,80      | 1,4               |                    |                   |
| 5                       | 18,62       | 55461,7       | 101,55   | 7,36     | 8,09 | 212               | 1,80      | 1,7               |                    |                   |
| 6                       | 18,06       | 54406,7       | 102,43   | 7,52     | 8,08 | 213               | 1,80      | 1,7               |                    |                   |
| 7                       | 17,76       | 54088,3       | 100,78   | 7,44     | 8,07 | 213               | 1,80      | 1,7               |                    |                   |
|                         |             |               |          |          |      |                   |           |                   |                    |                   |
|                         |             |               |          |          |      |                   |           |                   |                    |                   |
|                         |             |               |          |          |      |                   |           |                   |                    |                   |



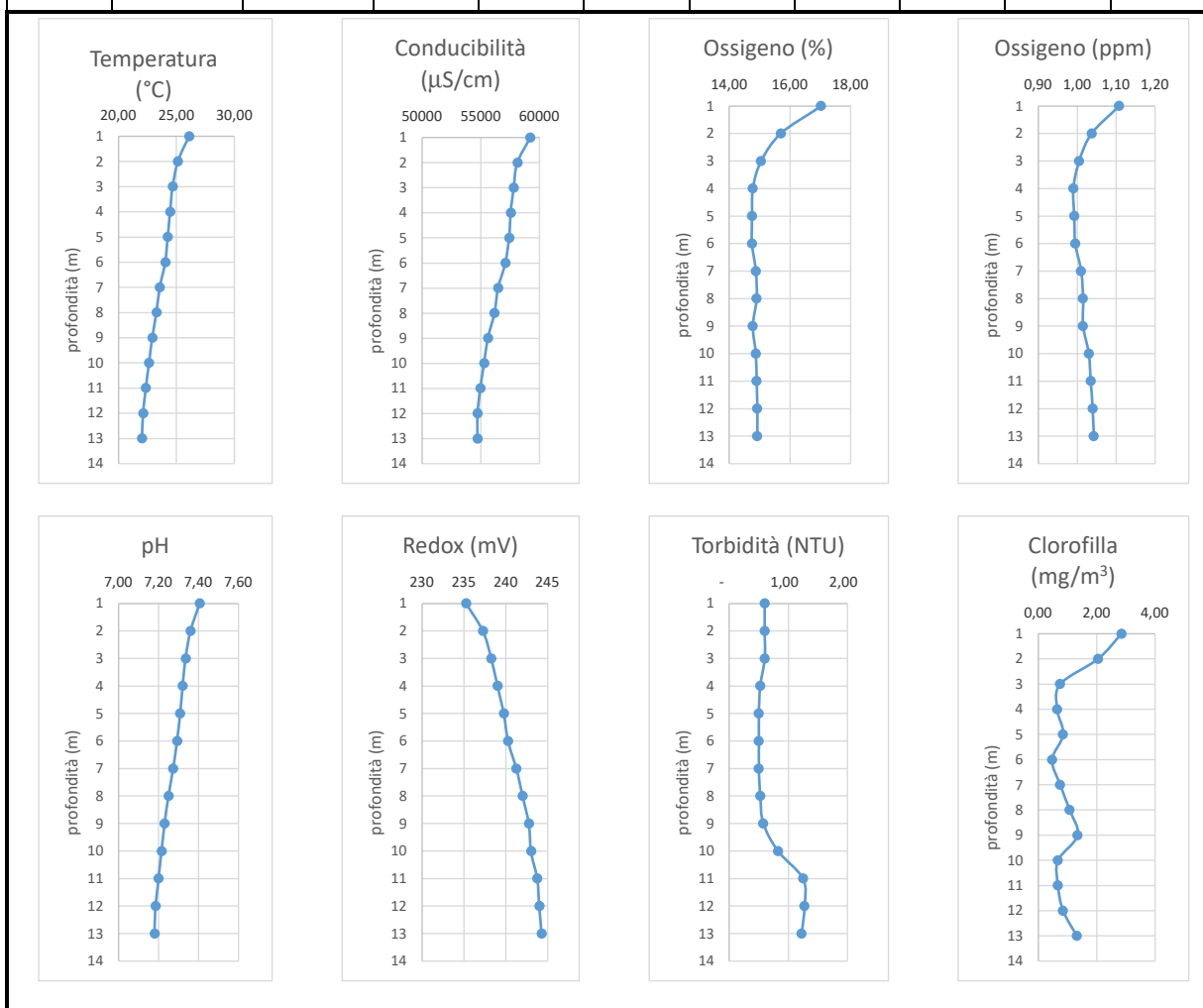
**ST05 - 17/06/2020 11:00**

| Profondità | Temperatura | Conducibilità | Ossigeno | Ossigeno | pH   | Potenziale Red-ox | Torbidità | Clorofilla 'a'    | direzione corrente | velocità corrente |
|------------|-------------|---------------|----------|----------|------|-------------------|-----------|-------------------|--------------------|-------------------|
| m          | °C          | µS/cm         | %        | ppm      | -    | mV                | NTU       | mg/m <sup>3</sup> | -                  | m/s               |
| 1          | 25,90       | 59090,0       | 16,48    | 1,08     | 7,40 | 236,0             | 0,60      | 2,40              | NW                 | 0,1               |
| 2          | 24,86       | 57927,5       | 15,40    | 1,03     | 7,35 | 238,0             | 0,63      | 1,38              |                    |                   |
| 3          | 24,31       | 57490,0       | 14,70    | 0,99     | 7,31 | 239,3             | 0,50      | 0,80              |                    |                   |
| 4          | 24,14       | 57225,0       | 14,75    | 0,99     | 7,30 | 240,0             | 0,50      | 0,75              |                    |                   |
| 5          | 23,88       | 56787,5       | 14,80    | 1,00     | 7,29 | 240,8             | 0,50      | 0,45              |                    |                   |
| 6          | 23,40       | 56352,5       | 14,90    | 1,02     | 7,26 | 242,0             | 0,50      | 0,85              |                    |                   |
| 7          | 23,10       | 55757,5       | 14,88    | 1,02     | 7,24 | 242,3             | 0,58      | 1,38              |                    |                   |
| 8          | 22,79       | 55587,5       | 14,85    | 1,02     | 7,23 | 243,0             | 0,58      | 0,98              |                    |                   |
| 9          | 22,54       | 55125,0       | 14,85    | 1,03     | 7,21 | 243,3             | 0,98      | 0,73              |                    |                   |
| 10         | 22,28       | 54870,0       | 14,93    | 1,04     | 7,20 | 244,0             | 1,30      | 0,70              |                    |                   |
| 11         | 22,06       | 54712,5       | 14,90    | 1,04     | 7,18 | 244,0             | 1,25      | 1,13              |                    |                   |
| 12         | 21,90       | 54517,5       | 15,03    | 1,05     | 7,17 | 245,0             | 57,00     | 2,63              |                    |                   |

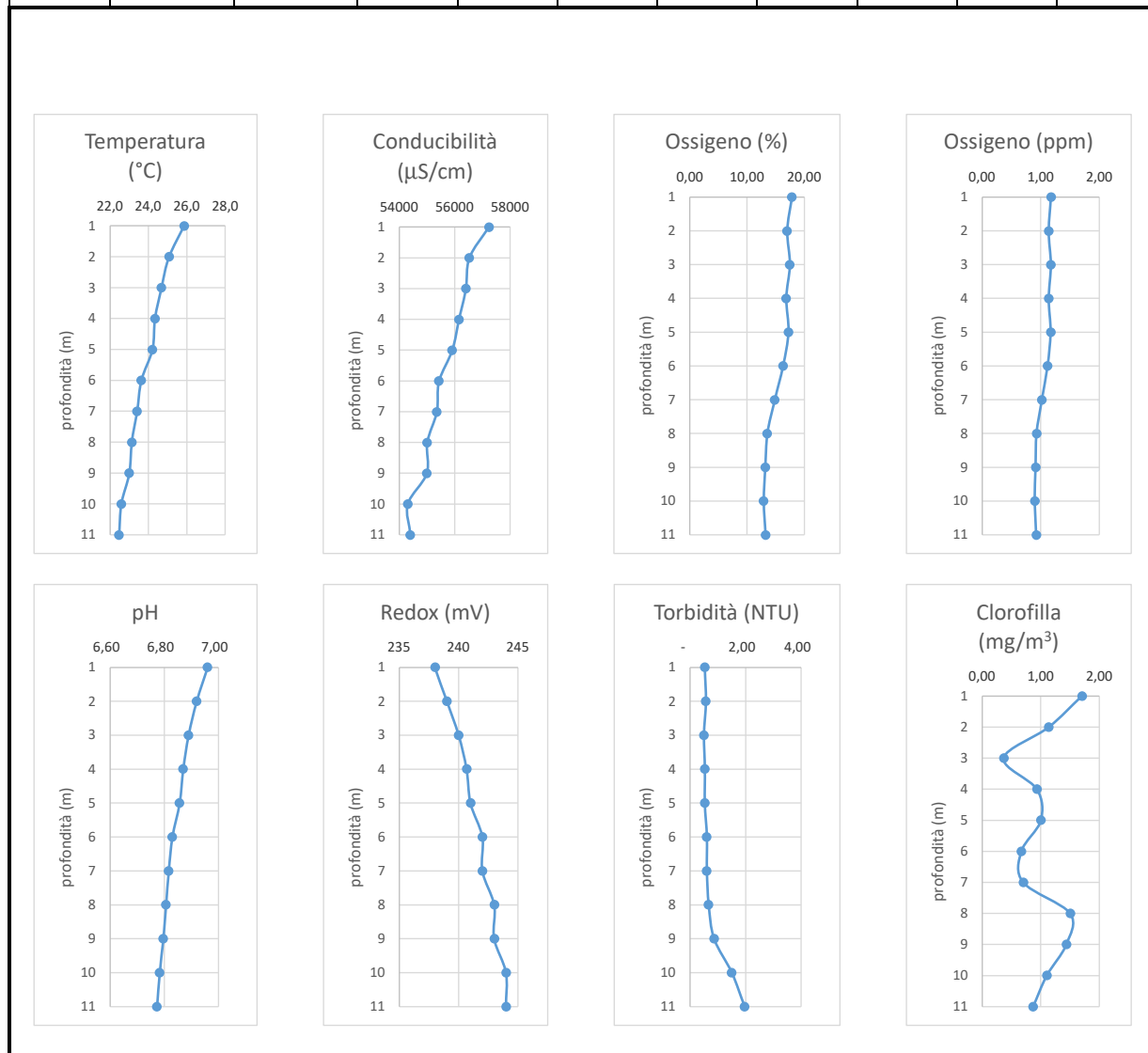


**ST06 - 17/06/2020 10:30**

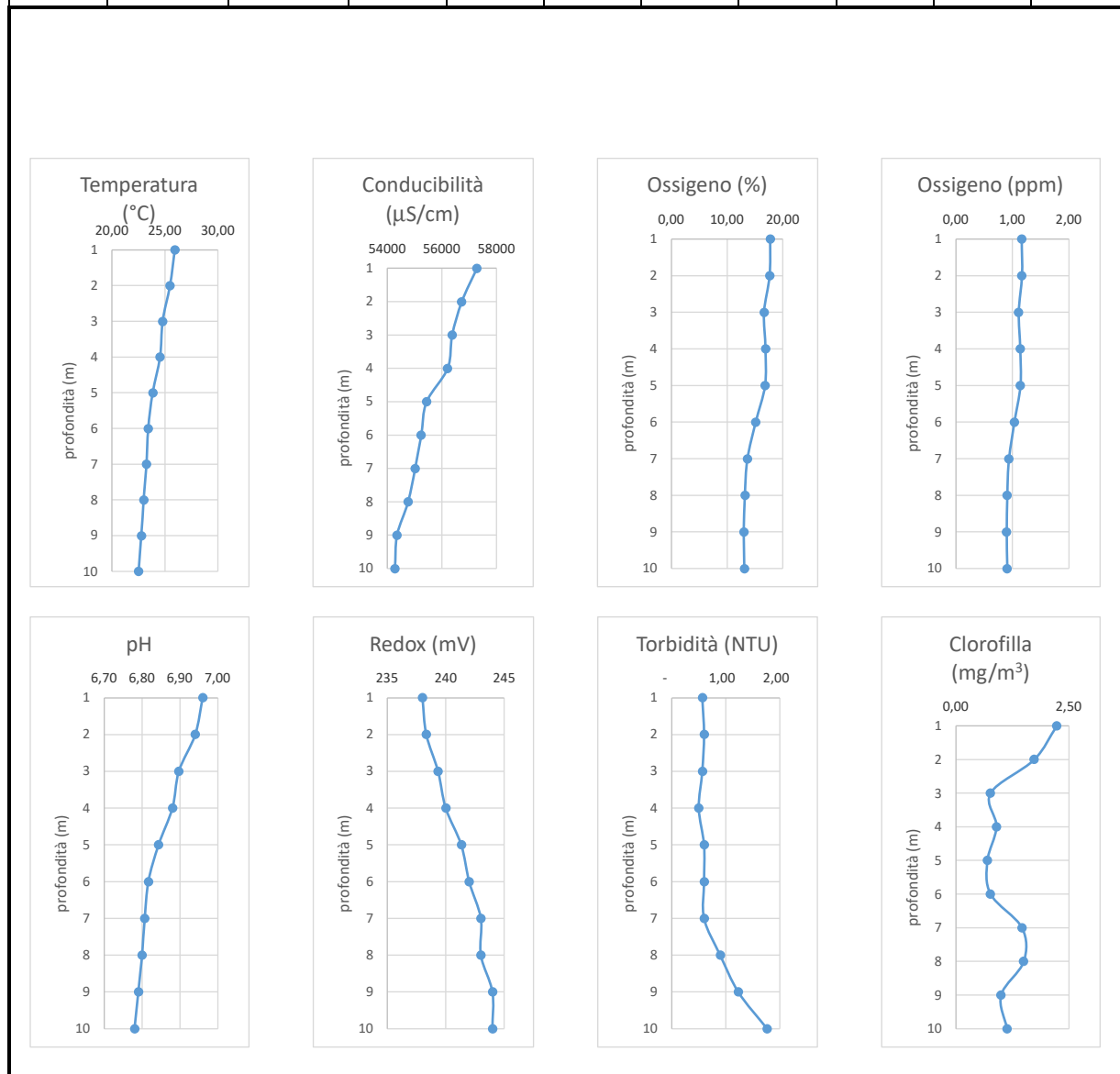
| Profondità | Temperatura | Conducibilità | Ossigeno | Ossigeno | pH   | Potenziale Red-ox | Torbidità | Clorofilla 'a'    | direzione corrente | velocità corrente |
|------------|-------------|---------------|----------|----------|------|-------------------|-----------|-------------------|--------------------|-------------------|
| m          | °C          | μS/cm         | %        | ppm      | -    | mV                | NTU       | mg/m <sup>3</sup> | -                  | m/s               |
| 1          | 26,09       | 59202,5       | 17,03    | 1,11     | 7,41 | 235,3             | 0,60      | 2,85              | NW                 | 0,1               |
| 2          | 25,11       | 58102,5       | 15,70    | 1,04     | 7,36 | 237,3             | 0,60      | 2,05              |                    |                   |
| 3          | 24,67       | 57790,0       | 15,05    | 1,01     | 7,34 | 238,3             | 0,60      | 0,75              |                    |                   |
| 4          | 24,44       | 57532,5       | 14,78    | 0,99     | 7,32 | 239,0             | 0,53      | 0,65              |                    |                   |
| 5          | 24,24       | 57400,0       | 14,75    | 0,99     | 7,31 | 239,8             | 0,50      | 0,85              |                    |                   |
| 6          | 24,03       | 57082,5       | 14,75    | 1,00     | 7,29 | 240,3             | 0,50      | 0,48              |                    |                   |
| 7          | 23,55       | 56460,0       | 14,88    | 1,01     | 7,27 | 241,3             | 0,50      | 0,75              |                    |                   |
| 8          | 23,27       | 56147,5       | 14,90    | 1,02     | 7,25 | 242,0             | 0,53      | 1,08              |                    |                   |
| 9          | 22,91       | 55597,5       | 14,78    | 1,02     | 7,23 | 242,8             | 0,58      | 1,35              |                    |                   |
| 10         | 22,63       | 55265,0       | 14,88    | 1,03     | 7,22 | 243,0             | 0,83      | 0,68              |                    |                   |
| 11         | 22,36       | 54947,5       | 14,90    | 1,04     | 7,20 | 243,8             | 1,25      | 0,68              |                    |                   |
| 12         | 22,12       | 54720,0       | 14,93    | 1,04     | 7,19 | 244,0             | 1,28      | 0,85              |                    |                   |
| 13         | 22,02       | 54710,0       | 14,93    | 1,04     | 7,18 | 244,3             | 1,23      | 1,33              |                    |                   |



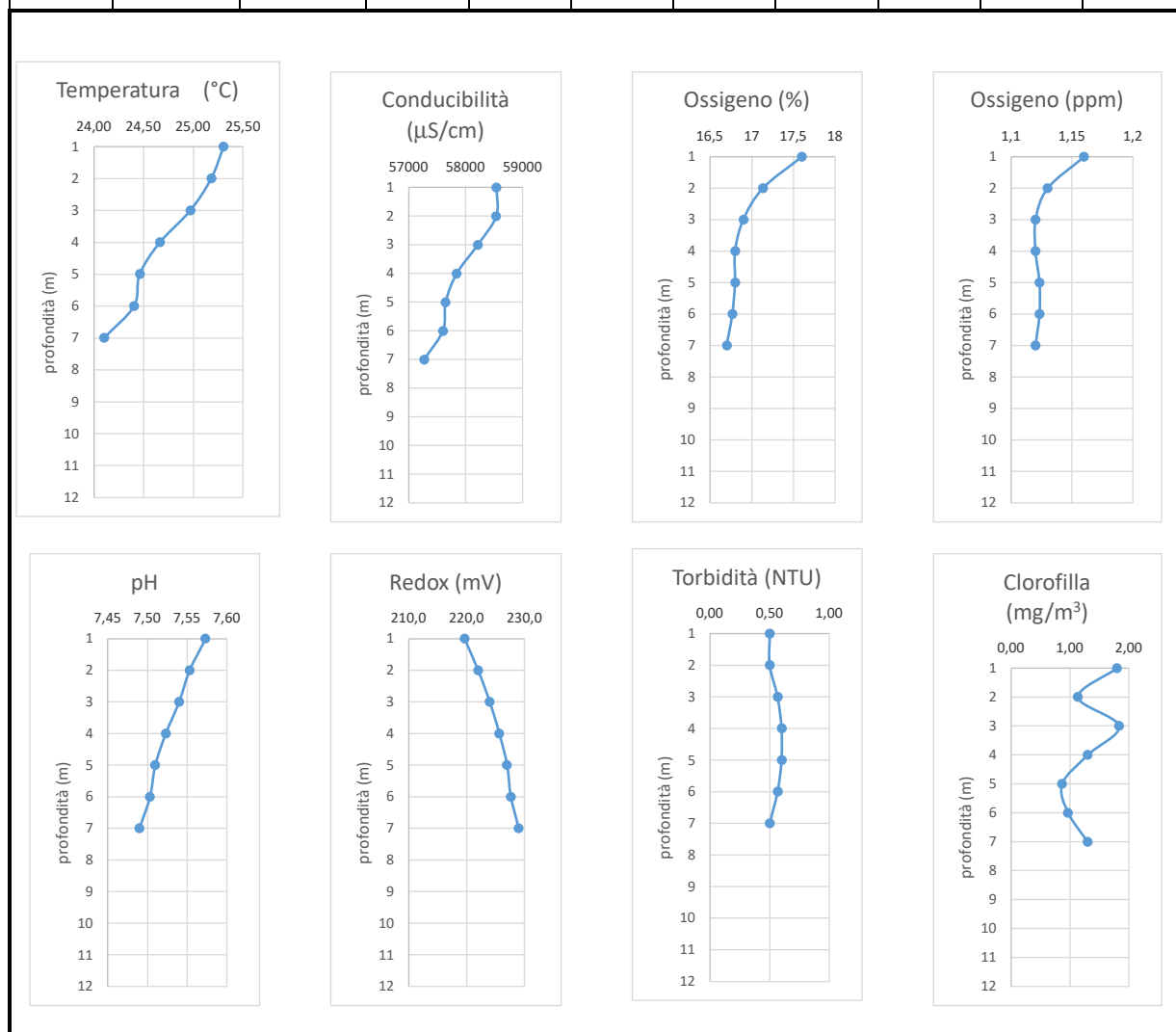
| ST07 – 17/06/2020 10:00 |             |               |          |          |      |                   |           |                   |                    |                   |
|-------------------------|-------------|---------------|----------|----------|------|-------------------|-----------|-------------------|--------------------|-------------------|
| Profondità              | Temperatura | Conducibilità | Ossigeno | Ossigeno | pH   | Potenziale Red-ox | Torbidità | Clorofilla 'a'    | direzione corrente | velocità corrente |
| m                       | °C          | μS/cm         | %        | ppm      | -    | mV                | NTU       | mg/m <sup>3</sup> | -                  | m/s               |
| 1                       | 25,86       | 57240         | 17,83    | 1,17     | 6,96 | 238,0             | 0,53      | 1,70              | NW                 | 0,1               |
| 2                       | 25,08       | 56530         | 17,00    | 1,13     | 6,92 | 239,0             | 0,57      | 1,13              |                    |                   |
| 3                       | 24,68       | 56407         | 17,47    | 1,17     | 6,89 | 240,0             | 0,50      | 0,37              |                    |                   |
| 4                       | 24,34       | 56157         | 16,83    | 1,13     | 6,87 | 240,7             | 0,53      | 0,93              |                    |                   |
| 5                       | 24,21       | 55913         | 17,23    | 1,17     | 6,86 | 241,0             | 0,53      | 1,00              |                    |                   |
| 6                       | 23,63       | 55437         | 16,30    | 1,11     | 6,83 | 242,0             | 0,60      | 0,67              |                    |                   |
| 7                       | 23,41       | 55357         | 14,83    | 1,02     | 6,82 | 242,0             | 0,60      | 0,70              |                    |                   |
| 8                       | 23,14       | 55010         | 13,53    | 0,93     | 6,81 | 243,0             | 0,67      | 1,50              |                    |                   |
| 9                       | 23,00       | 54997         | 13,20    | 0,91     | 6,80 | 243,0             | 0,87      | 1,43              |                    |                   |
| 10                      | 22,59       | 54310         | 12,90    | 0,90     | 6,78 | 244,0             | 1,50      | 1,10              |                    |                   |
| 11                      | 22,47       | 54400         | 13,23    | 0,92     | 6,77 | 244,0             | 1,97      | 0,87              |                    |                   |



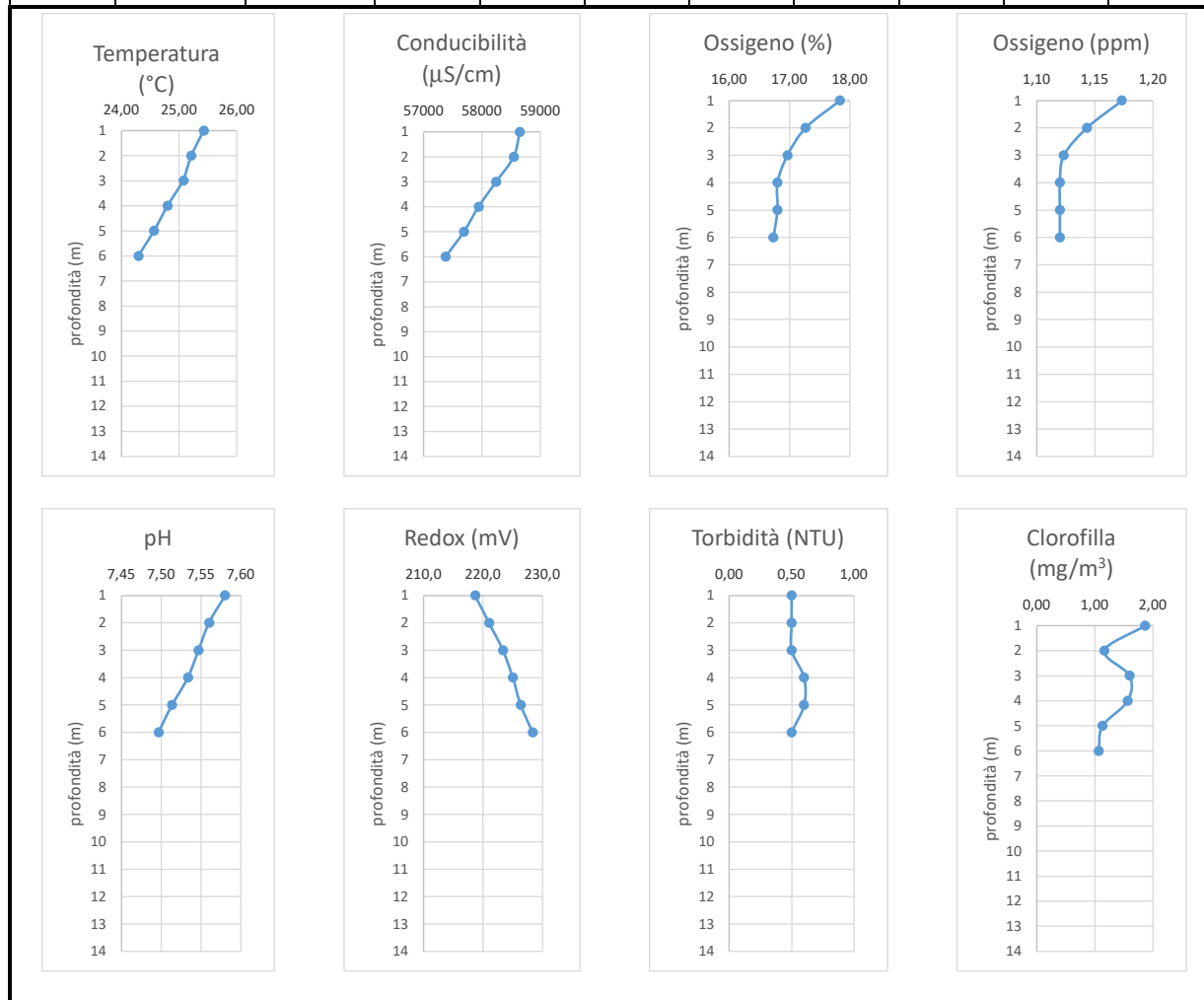
| ST08 – 17/06/2020 09:30 |             |               |          |          |      |                   |           |                   |                    |                   |
|-------------------------|-------------|---------------|----------|----------|------|-------------------|-----------|-------------------|--------------------|-------------------|
| Profondità              | Temperatura | Conducibilità | Ossigeno | Ossigeno | pH   | Potenziale Red-ox | Torbidità | Clorofilla 'a'    | direzione corrente | velocità corrente |
| m                       | °C          | μS/cm         | %        | ppm      | -    | mV                | NTU       | mg/m <sup>3</sup> | -                  | m/s               |
| 1                       | 25,92       | 57287         | 17,73    | 1,17     | 6,96 | 238               | 0,57      | 2,23              | NW                 | 0,1               |
| 2                       | 25,47       | 56727         | 17,63    | 1,17     | 6,94 | 238               | 0,60      | 1,73              |                    |                   |
| 3                       | 24,77       | 56377         | 16,63    | 1,11     | 6,90 | 239               | 0,57      | 0,77              |                    |                   |
| 4                       | 24,53       | 56213         | 16,90    | 1,14     | 6,88 | 240               | 0,50      | 0,90              |                    |                   |
| 5                       | 23,85       | 55447         | 16,80    | 1,14     | 6,84 | 241               | 0,60      | 0,70              |                    |                   |
| 6                       | 23,42       | 55243         | 15,13    | 1,04     | 6,82 | 242               | 0,60      | 0,77              |                    |                   |
| 7                       | 23,25       | 55023         | 13,63    | 0,94     | 6,81 | 243               | 0,60      | 1,47              |                    |                   |
| 8                       | 23,00       | 54767         | 13,20    | 0,91     | 6,80 | 243               | 0,90      | 1,50              |                    |                   |
| 9                       | 22,77       | 54360         | 13,00    | 0,90     | 6,79 | 244               | 1,23      | 1,00              |                    |                   |
| 10                      | 22,51       | 54287         | 13,10    | 0,91     | 6,78 | 244               | 1,77      | 1,13              |                    |                   |



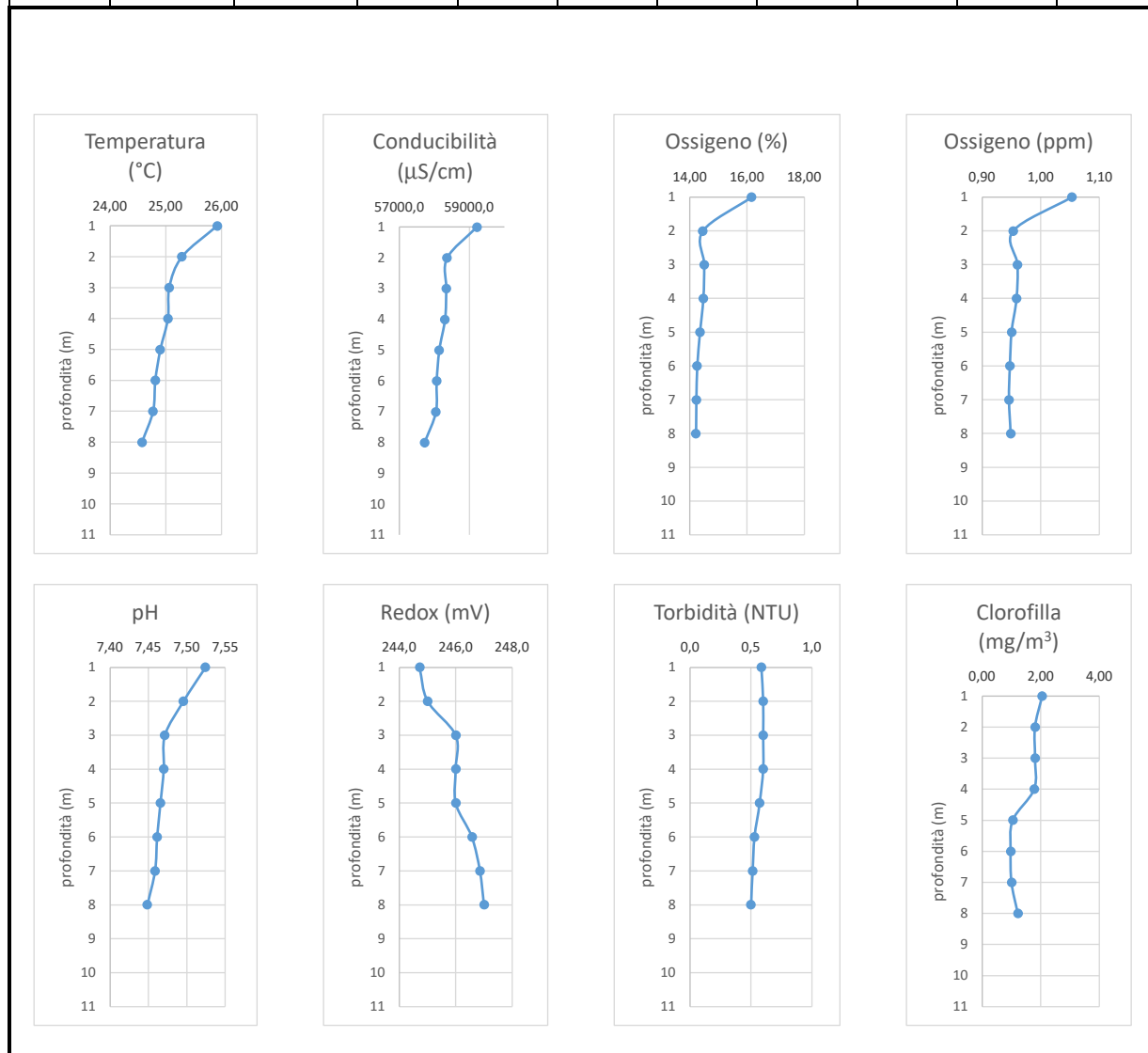
| ST01 - 22/06/2020 11:30 |             |               |          |          |      |                   |           |                   |                    |                   |
|-------------------------|-------------|---------------|----------|----------|------|-------------------|-----------|-------------------|--------------------|-------------------|
| Profondità              | Temperatura | Conducibilità | Ossigeno | Ossigeno | pH   | Potenziale Red-ox | Torbidità | Clorofilla 'a'    | direzione corrente | velocità corrente |
| m                       | °C          | µS/cm         | %        | ppm      | -    | mV                | NTU       | mg/m <sup>3</sup> | -                  | m/s               |
| 1                       | 25,30       | 58543,3       | 17,6     | 1,16     | 7,57 | 219,7             | 0,50      | 1,80              | NW                 | 0,1               |
| 2                       | 25,18       | 58540,0       | 17,1     | 1,13     | 7,55 | 222,0             | 0,50      | 1,13              |                    |                   |
| 3                       | 24,97       | 58216,7       | 16,9     | 1,12     | 7,54 | 224,0             | 0,57      | 1,83              |                    |                   |
| 4                       | 24,66       | 57846,7       | 16,8     | 1,12     | 7,52 | 225,7             | 0,60      | 1,30              |                    |                   |
| 5                       | 24,46       | 57650,0       | 16,8     | 1,12     | 7,51 | 227,0             | 0,60      | 0,87              |                    |                   |
| 6                       | 24,40       | 57603,3       | 16,8     | 1,12     | 7,50 | 227,7             | 0,57      | 0,97              |                    |                   |
| 7                       | 24,10       | 57273,3       | 16,7     | 1,12     | 7,49 | 229,0             | 0,50      | 1,30              |                    |                   |
|                         |             |               |          |          |      |                   |           |                   |                    |                   |
|                         |             |               |          |          |      |                   |           |                   |                    |                   |
|                         |             |               |          |          |      |                   |           |                   |                    |                   |
|                         |             |               |          |          |      |                   |           |                   |                    |                   |
|                         |             |               |          |          |      |                   |           |                   |                    |                   |
|                         |             |               |          |          |      |                   |           |                   |                    |                   |



| ST02 - 22/06/2020 11:00 |             |               |          |          |      |                   |           |                   |                    |                   |
|-------------------------|-------------|---------------|----------|----------|------|-------------------|-----------|-------------------|--------------------|-------------------|
| Profondità              | Temperatura | Conducibilità | Ossigeno | Ossigeno | pH   | Potenziale Red-ox | Torbidità | Clorofilla 'a'    | direzione corrente | velocità corrente |
| m                       | °C          | µS/cm         | %        | ppm      | -    | mV                | NTU       | mg/m <sup>3</sup> | -                  | m/s               |
| 1                       | 25,42       | 58646,7       | 17,83    | 1,17     | 7,58 | 218,7             | 0,50      | 1,87              | NW                 | 0,1               |
| 2                       | 25,21       | 58540,0       | 17,27    | 1,14     | 7,56 | 221,0             | 0,50      | 1,17              |                    |                   |
| 3                       | 25,08       | 58240,0       | 16,97    | 1,12     | 7,55 | 223,3             | 0,50      | 1,60              |                    |                   |
| 4                       | 24,80       | 57940,0       | 16,80    | 1,12     | 7,53 | 225,0             | 0,60      | 1,57              |                    |                   |
| 5                       | 24,56       | 57686,7       | 16,80    | 1,12     | 7,51 | 226,3             | 0,60      | 1,13              |                    |                   |
| 6                       | 24,29       | 57373,3       | 16,73    | 1,12     | 7,50 | 228,3             | 0,50      | 1,07              |                    |                   |
|                         |             |               |          |          |      |                   |           |                   |                    |                   |
|                         |             |               |          |          |      |                   |           |                   |                    |                   |
|                         |             |               |          |          |      |                   |           |                   |                    |                   |
|                         |             |               |          |          |      |                   |           |                   |                    |                   |
|                         |             |               |          |          |      |                   |           |                   |                    |                   |
|                         |             |               |          |          |      |                   |           |                   |                    |                   |
|                         |             |               |          |          |      |                   |           |                   |                    |                   |
|                         |             |               |          |          |      |                   |           |                   |                    |                   |
|                         |             |               |          |          |      |                   |           |                   |                    |                   |
|                         |             |               |          |          |      |                   |           |                   |                    |                   |
|                         |             |               |          |          |      |                   |           |                   |                    |                   |
|                         |             |               |          |          |      |                   |           |                   |                    |                   |

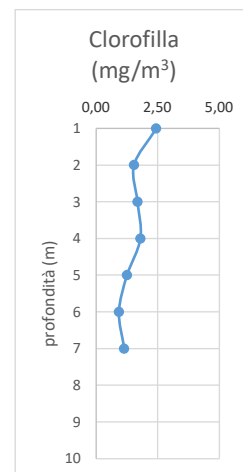
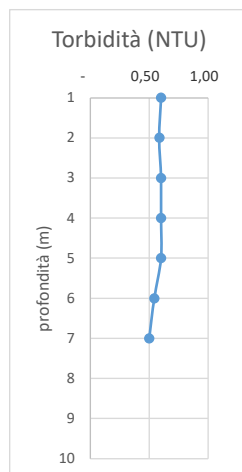
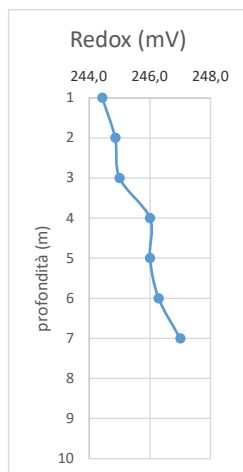
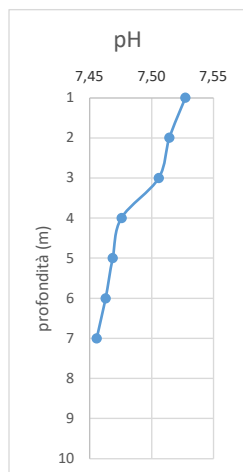
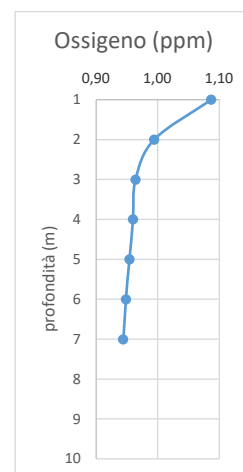
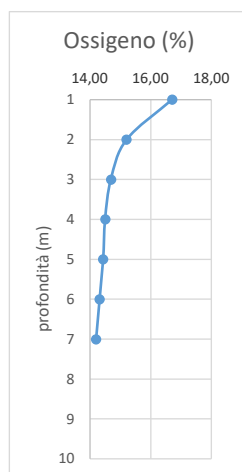
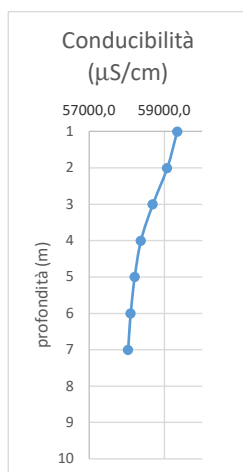
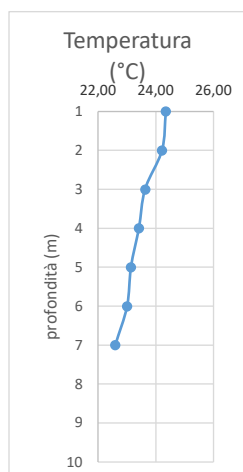


| ST03 – 22/06/2020 10:30 |             |               |          |          |      |                   |           |                   |                    |                   |
|-------------------------|-------------|---------------|----------|----------|------|-------------------|-----------|-------------------|--------------------|-------------------|
| Profondità              | Temperatura | Conducibilità | Ossigeno | Ossigeno | pH   | Potenziale Red-ox | Torbidità | Clorofilla 'a'    | direzione corrente | velocità corrente |
| m                       | °C          | µS/cm         | %        | ppm      | -    | mV                | NTU       | mg/m <sup>3</sup> | -                  | m/s               |
| 1                       | 25,93       | 59218,6       | 16,16    | 1,05     | 7,52 | 244,7             | 0,6       | 2,0               | NW                 | 0,1               |
| 2                       | 25,29       | 58365,7       | 14,46    | 0,95     | 7,50 | 245,0             | 0,6       | 1,8               |                    |                   |
| 3                       | 25,06       | 58344,3       | 14,50    | 0,96     | 7,47 | 246,0             | 0,6       | 1,8               |                    |                   |
| 4                       | 25,04       | 58307,1       | 14,47    | 0,96     | 7,47 | 246,0             | 0,6       | 1,8               |                    |                   |
| 5                       | 24,90       | 58141,4       | 14,36    | 0,95     | 7,47 | 246,0             | 0,57      | 1,0               |                    |                   |
| 6                       | 24,81       | 58070,00      | 14,26    | 0,95     | 7,46 | 246,57            | 0,53      | 0,97              |                    |                   |
| 7                       | 24,77       | 58047,14      | 14,23    | 0,95     | 7,46 | 246,86            | 0,51      | 1,00              |                    |                   |
| 8                       | 24,58       | 57727,14      | 14,21    | 0,95     | 7,45 | 247,00            | 0,50      | 1,21              |                    |                   |
|                         |             |               |          |          |      |                   |           |                   |                    |                   |
|                         |             |               |          |          |      |                   |           |                   |                    |                   |
|                         |             |               |          |          |      |                   |           |                   |                    |                   |



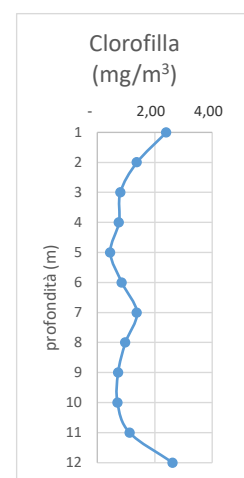
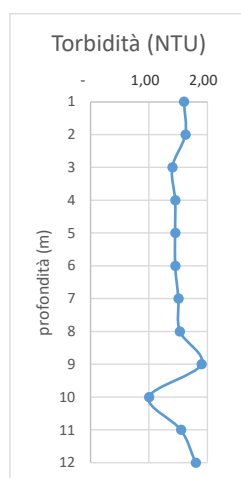
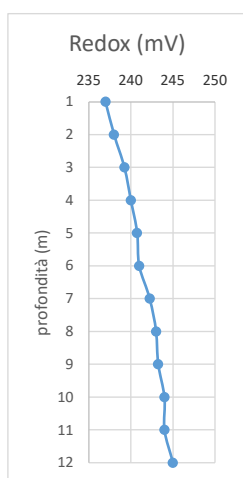
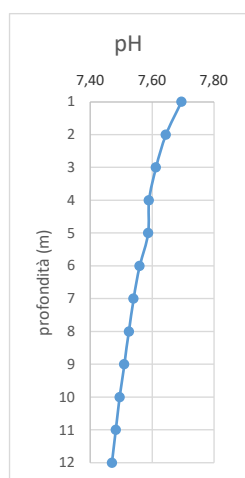
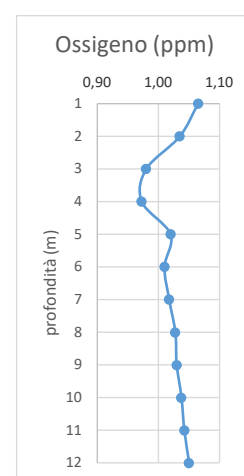
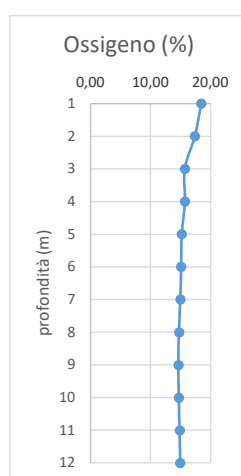
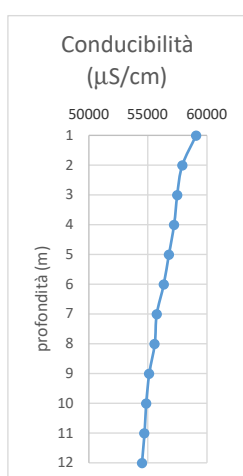
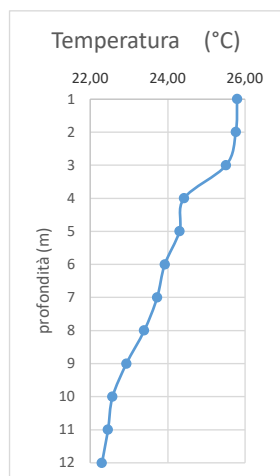


| ST04 – 22/06/2020 10:00 |             |               |          |          |      |                   |           |                   |                    |                   |
|-------------------------|-------------|---------------|----------|----------|------|-------------------|-----------|-------------------|--------------------|-------------------|
| Profondità              | Temperatura | Conducibilità | Ossigeno | Ossigeno | pH   | Potenziale Red-ox | Torbidità | Clorofilla 'a'    | direzione corrente | velocità corrente |
| m                       | °C          | µS/cm         | %        | ppm      | -    | mV                | NTU       | mg/m <sup>3</sup> | -                  | m/s               |
| 1                       | 25,99       | 59337,1       | 16,70    | 1,09     | 7,53 | 244,4             | 0,60      | 2,44              | NW                 | 0,1               |
| 2                       | 25,78       | 59071,4       | 15,20    | 0,99     | 7,51 | 244,9             | 0,59      | 1,54              |                    |                   |
| 3                       | 25,55       | 58690,0       | 14,69    | 0,96     | 7,51 | 245,0             | 0,60      | 1,69              |                    |                   |
| 4                       | 25,08       | 58372,9       | 14,50    | 0,96     | 7,48 | 246,0             | 0,60      | 1,80              |                    |                   |
| 5                       | 24,97       | 58210,0       | 14,43    | 0,95     | 7,47 | 246,0             | 0,60      | 1,26              |                    |                   |
| 6                       | 24,86       | 58104,3       | 14,31    | 0,95     | 7,46 | 246,3             | 0,54      | 0,93              |                    |                   |
| 7                       | 24,73       | 58035,7       | 14,20    | 0,94     | 7,46 | 247,0             | 0,50      | 1,14              |                    |                   |
|                         |             |               |          |          |      |                   |           |                   |                    |                   |
|                         |             |               |          |          |      |                   |           |                   |                    |                   |
|                         |             |               |          |          |      |                   |           |                   |                    |                   |



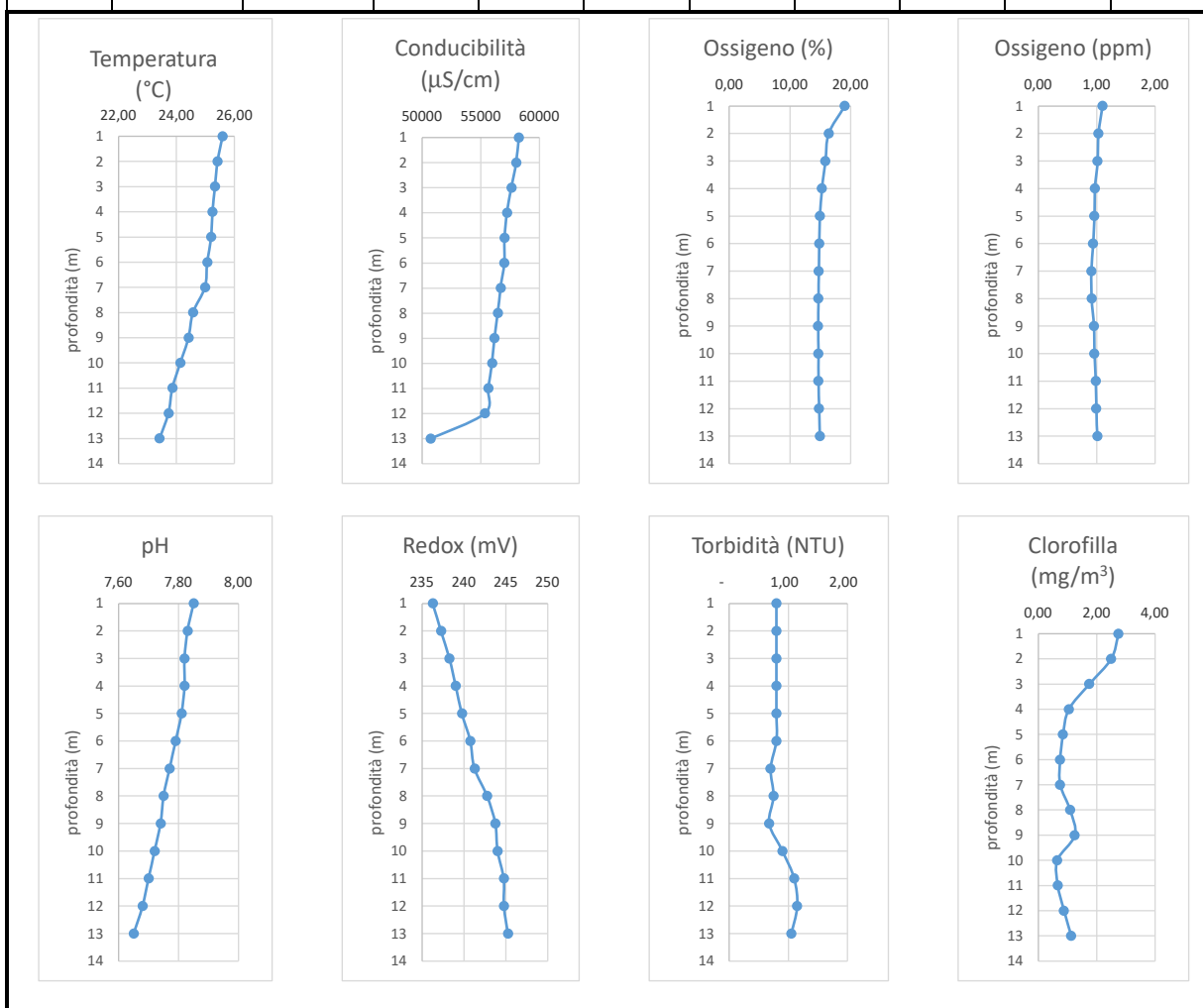
**ST05 - 29/07/2021 11:00**

| Profondità | Temperatura | Conducibilità | Ossigeno | Ossigeno | pH   | Potenziale Red-ox | Torbidità | Clorofilla 'a' | direzione corrente | velocità corrente |
|------------|-------------|---------------|----------|----------|------|-------------------|-----------|----------------|--------------------|-------------------|
| m          | °C          | µS/cm         | %        | ppm      | -    | mV                | NTU       | mg/m³          | -                  | m/s               |
| 1          | 25,80       | 59090,0       | 18,48    | 1,07     | 7,70 | 237,0             | 1,60      | 2,40           | NW                 | 0,1               |
| 2          | 25,76       | 57927,5       | 17,40    | 1,04     | 7,65 | 238,0             | 1,63      | 1,38           |                    |                   |
| 3          | 25,51       | 57490,0       | 15,70    | 0,98     | 7,61 | 239,3             | 1,40      | 0,80           |                    |                   |
| 4          | 24,42       | 57225,0       | 15,75    | 0,97     | 7,59 | 240,0             | 1,45      | 0,75           |                    |                   |
| 5          | 24,31       | 56787,5       | 15,20    | 1,02     | 7,59 | 240,8             | 1,45      | 0,45           |                    |                   |
| 6          | 23,93       | 56352,5       | 15,10    | 1,01     | 7,56 | 241,0             | 1,45      | 0,85           |                    |                   |
| 7          | 23,73       | 55757,5       | 14,98    | 1,02     | 7,54 | 242,3             | 1,51      | 1,38           |                    |                   |
| 8          | 23,39       | 55587,5       | 14,75    | 1,03     | 7,53 | 243,0             | 1,53      | 0,98           |                    |                   |
| 9          | 22,94       | 55125,0       | 14,65    | 1,03     | 7,51 | 243,3             | 1,90      | 0,73           |                    |                   |
| 10         | 22,58       | 54870,0       | 14,73    | 1,04     | 7,50 | 244,0             | 1,00      | 0,70           |                    |                   |
| 11         | 22,46       | 54712,5       | 14,85    | 1,04     | 7,48 | 244,0             | 1,55      | 1,13           |                    |                   |
| 12         | 22,30       | 54517,5       | 14,95    | 1,05     | 7,47 | 245,0             | 1,80      | 2,63           |                    |                   |

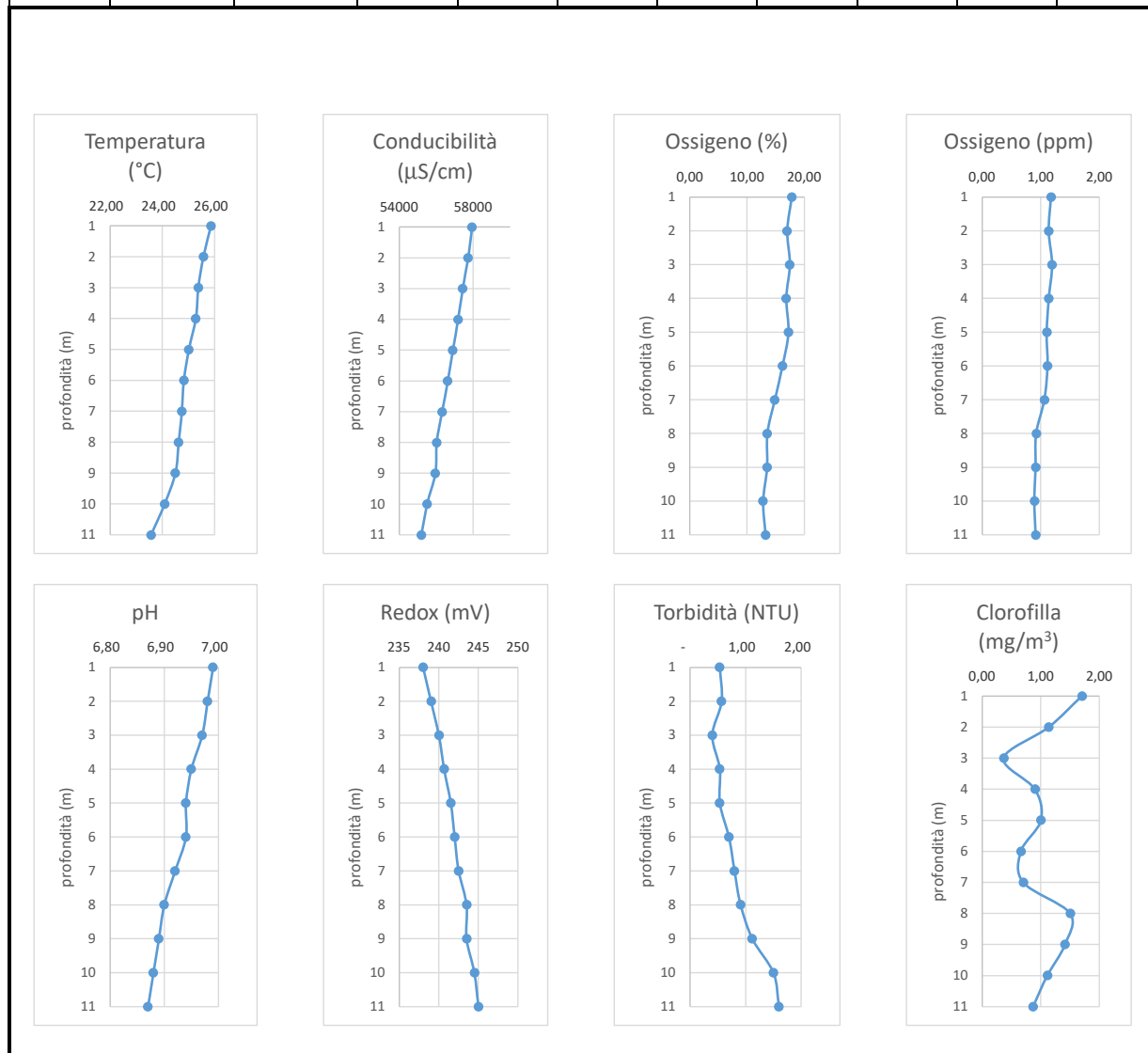


**ST06 - 29/07/2021 10:30**

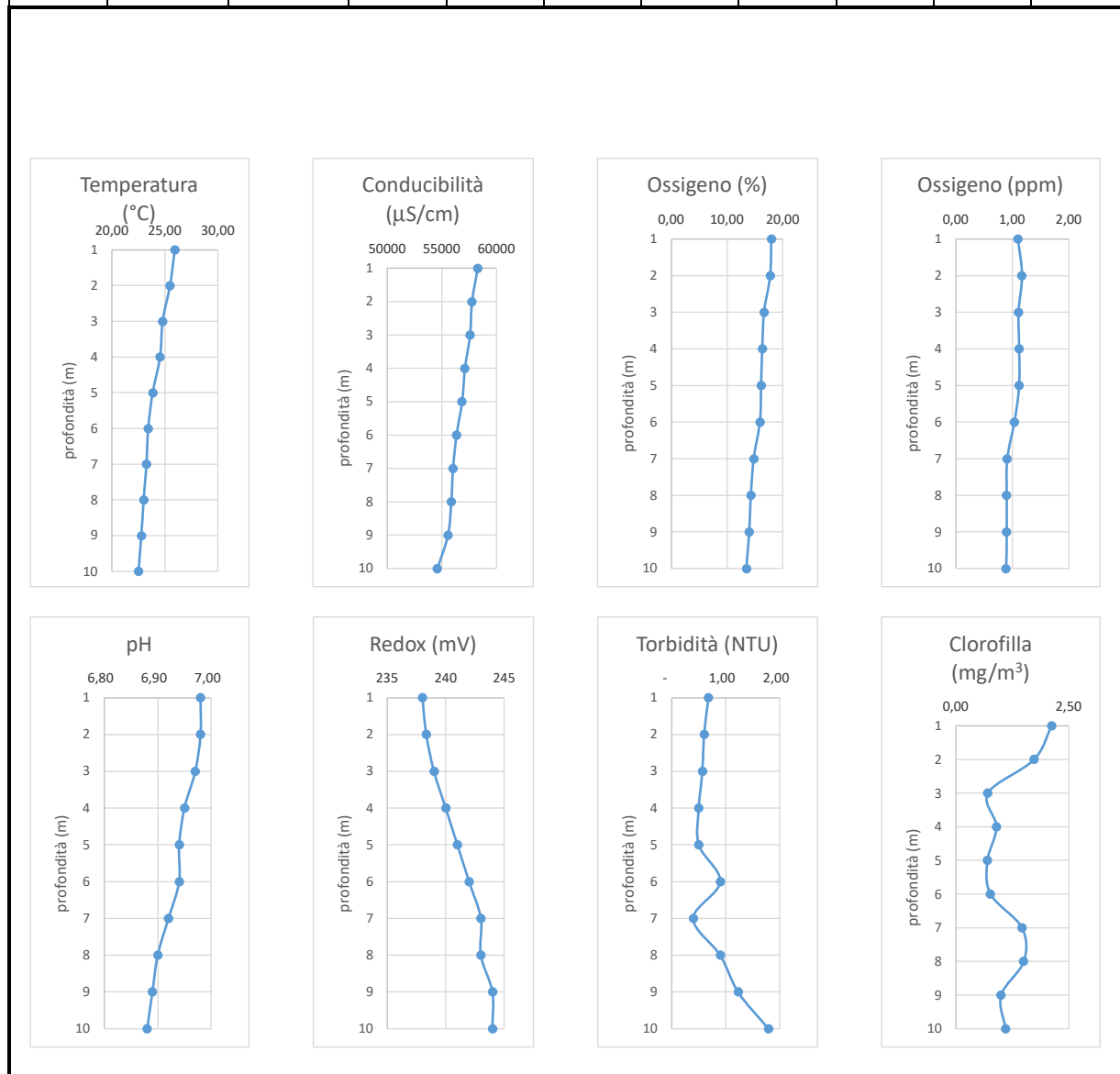
| Profondità | Temperatura | Conducibilità | Ossigeno | Ossigeno | pH   | Potenziale Red-ox | Torbidità | Clorofilla 'a' | direzione corrente | velocità corrente |
|------------|-------------|---------------|----------|----------|------|-------------------|-----------|----------------|--------------------|-------------------|
| m          | °C          | µS/cm         | %        | ppm      | -    | mV                | NTU       | mg/m³          | -                  | m/s               |
| 1          | 25,59       | 58222,5       | 19,03    | 1,10     | 7,85 | 236,3             | 0,80      | 2,75           | NW                 | 0,1               |
| 2          | 25,41       | 58002,5       | 16,40    | 1,03     | 7,83 | 237,3             | 0,80      | 2,50           |                    |                   |
| 3          | 25,32       | 57595,0       | 15,85    | 1,02     | 7,82 | 238,3             | 0,80      | 1,75           |                    |                   |
| 4          | 25,24       | 57212,5       | 15,27    | 0,97     | 7,82 | 239,0             | 0,80      | 1,05           |                    |                   |
| 5          | 25,19       | 57010,0       | 14,95    | 0,96     | 7,81 | 239,8             | 0,80      | 0,85           |                    |                   |
| 6          | 25,06       | 56982,0       | 14,85    | 0,94     | 7,79 | 240,8             | 0,80      | 0,75           |                    |                   |
| 7          | 24,98       | 56670,0       | 14,75    | 0,91     | 7,77 | 241,3             | 0,70      | 0,75           |                    |                   |
| 8          | 24,57       | 56437,5       | 14,70    | 0,92     | 7,75 | 242,8             | 0,75      | 1,10           |                    |                   |
| 9          | 24,41       | 56147,5       | 14,65    | 0,96     | 7,74 | 243,8             | 0,68      | 1,25           |                    |                   |
| 10         | 24,13       | 55945,0       | 14,70    | 0,96     | 7,72 | 244,0             | 0,90      | 0,65           |                    |                   |
| 11         | 23,86       | 55627,5       | 14,70    | 0,99     | 7,70 | 244,8             | 1,10      | 0,67           |                    |                   |
| 12         | 23,72       | 55320,0       | 14,80    | 0,99     | 7,68 | 244,8             | 1,15      | 0,88           |                    |                   |
| 13         | 23,41       | 50710,0       | 14,95    | 1,01     | 7,65 | 245,3             | 1,05      | 1,13           |                    |                   |



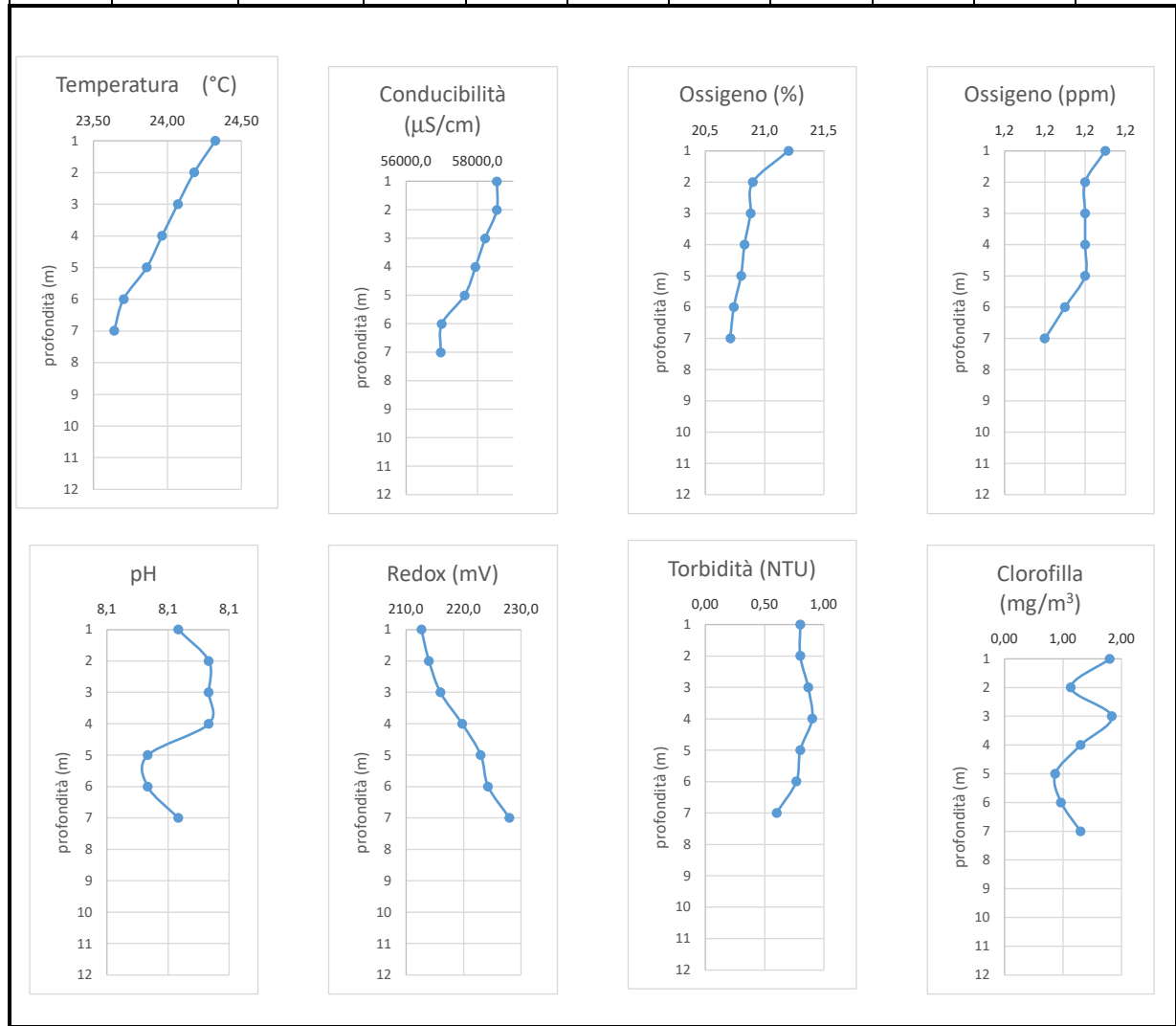
| ST07 – 29/07/2021 10:00 |             |               |          |          |      |                   |           |                   |                    |                   |
|-------------------------|-------------|---------------|----------|----------|------|-------------------|-----------|-------------------|--------------------|-------------------|
| Profondità              | Temperatura | Conducibilità | Ossigeno | Ossigeno | pH   | Potenziale Red-ox | Torbidità | Clorofilla 'a'    | direzione corrente | velocità corrente |
| m                       | °C          | µS/cm         | %        | ppm      | -    | mV                | NTU       | mg/m <sup>3</sup> | -                  | m/s               |
| 1                       | 25,86       | 57940         | 17,81    | 1,17     | 6,99 | 238,0             | 0,53      | 1,70              | NW                 | 0,1               |
| 2                       | 25,58       | 57730         | 17,00    | 1,13     | 6,98 | 239,0             | 0,57      | 1,13              |                    |                   |
| 3                       | 25,38       | 57436         | 17,47    | 1,19     | 6,97 | 240,0             | 0,40      | 0,37              |                    |                   |
| 4                       | 25,28       | 57187         | 16,83    | 1,13     | 6,95 | 240,7             | 0,53      | 0,90              |                    |                   |
| 5                       | 25,02       | 56903         | 17,23    | 1,10     | 6,94 | 241,5             | 0,53      | 1,00              |                    |                   |
| 6                       | 24,83       | 56627         | 16,20    | 1,11     | 6,94 | 242,0             | 0,70      | 0,66              |                    |                   |
| 7                       | 24,75       | 56327         | 14,83    | 1,06     | 6,92 | 242,5             | 0,80      | 0,70              |                    |                   |
| 8                       | 24,63       | 56030         | 13,53    | 0,92     | 6,90 | 243,5             | 0,91      | 1,50              |                    |                   |
| 9                       | 24,50       | 55957         | 13,50    | 0,91     | 6,89 | 243,5             | 1,12      | 1,41              |                    |                   |
| 10                      | 24,09       | 55510         | 12,80    | 0,89     | 6,88 | 244,5             | 1,50      | 1,11              |                    |                   |
| 11                      | 23,57       | 55200         | 13,23    | 0,91     | 6,87 | 245,0             | 1,60      | 0,87              |                    |                   |



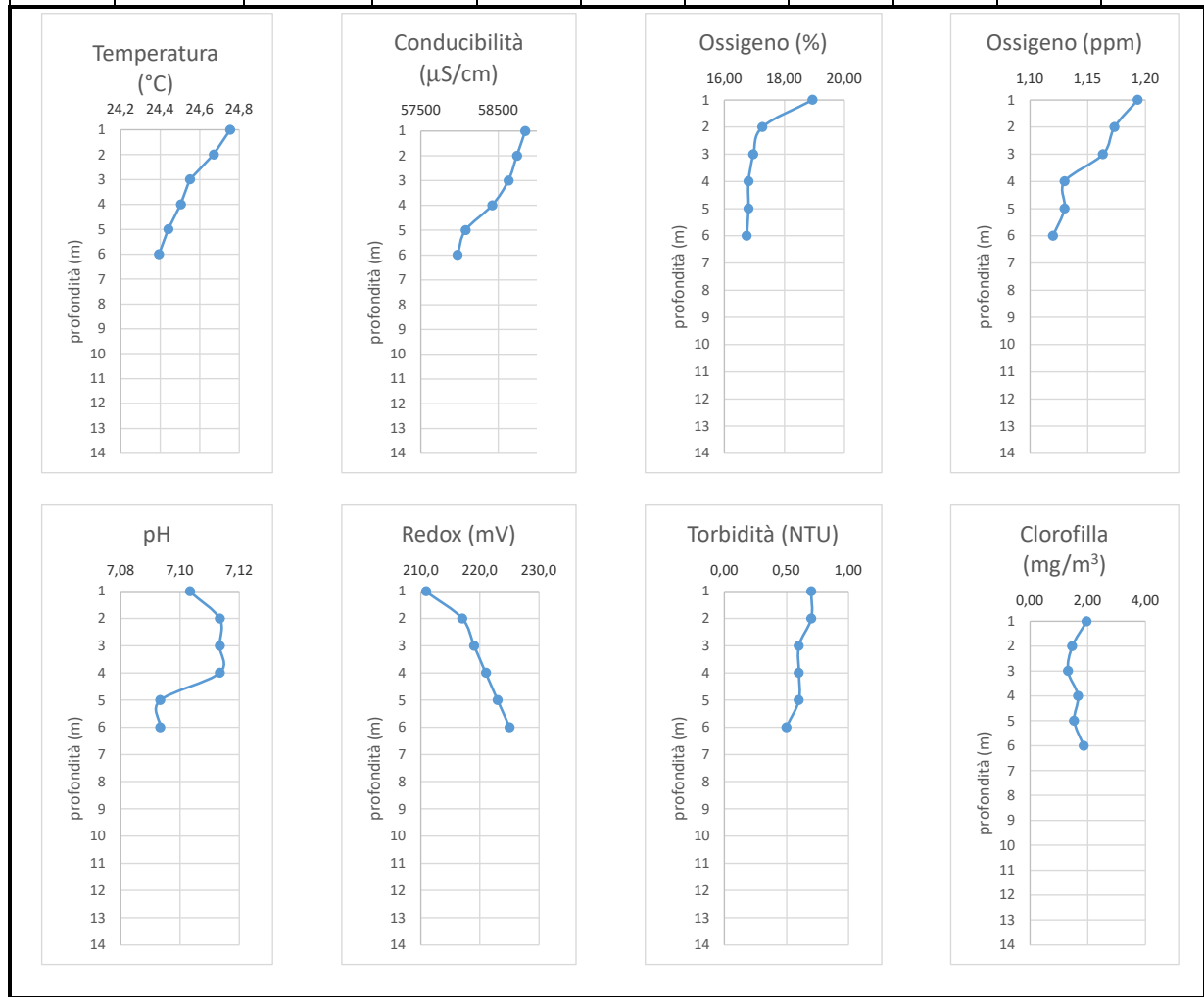
| ST08 – 29/07/2021 09:30 |             |               |          |          |      |                   |           |                   |                    |                   |
|-------------------------|-------------|---------------|----------|----------|------|-------------------|-----------|-------------------|--------------------|-------------------|
| Profondità              | Temperatura | Conducibilità | Ossigeno | Ossigeno | pH   | Potenziale Red-ox | Torbidità | Clorofilla 'a'    | direzione corrente | velocità corrente |
| m                       | °C          | μS/cm         | %        | ppm      | -    | mV                | NTU       | mg/m <sup>3</sup> | -                  | m/s               |
| 1                       | 25,92       | 58286         | 17,93    | 1,10     | 6,98 | 238               | 0,68      | 2,12              | NW                 | 0,1               |
| 2                       | 25,47       | 57757         | 17,73    | 1,17     | 6,98 | 238               | 0,60      | 1,73              |                    |                   |
| 3                       | 24,77       | 57577         | 16,63    | 1,11     | 6,97 | 239               | 0,57      | 0,71              |                    |                   |
| 4                       | 24,53       | 57113         | 16,30    | 1,12     | 6,95 | 240               | 0,50      | 0,90              |                    |                   |
| 5                       | 23,85       | 56847         | 16,10    | 1,12     | 6,94 | 241               | 0,50      | 0,70              |                    |                   |
| 6                       | 23,42       | 56342         | 15,90    | 1,04     | 6,94 | 242               | 0,90      | 0,77              |                    |                   |
| 7                       | 23,25       | 56024         | 14,78    | 0,91     | 6,92 | 243               | 0,40      | 1,47              |                    |                   |
| 8                       | 23,00       | 55868         | 14,25    | 0,90     | 6,90 | 243               | 0,90      | 1,50              |                    |                   |
| 9                       | 22,77       | 55563         | 13,95    | 0,90     | 6,89 | 244               | 1,23      | 1,00              |                    |                   |
| 10                      | 22,51       | 54593         | 13,45    | 0,89     | 6,88 | 244               | 1,79      | 1,10              |                    |                   |



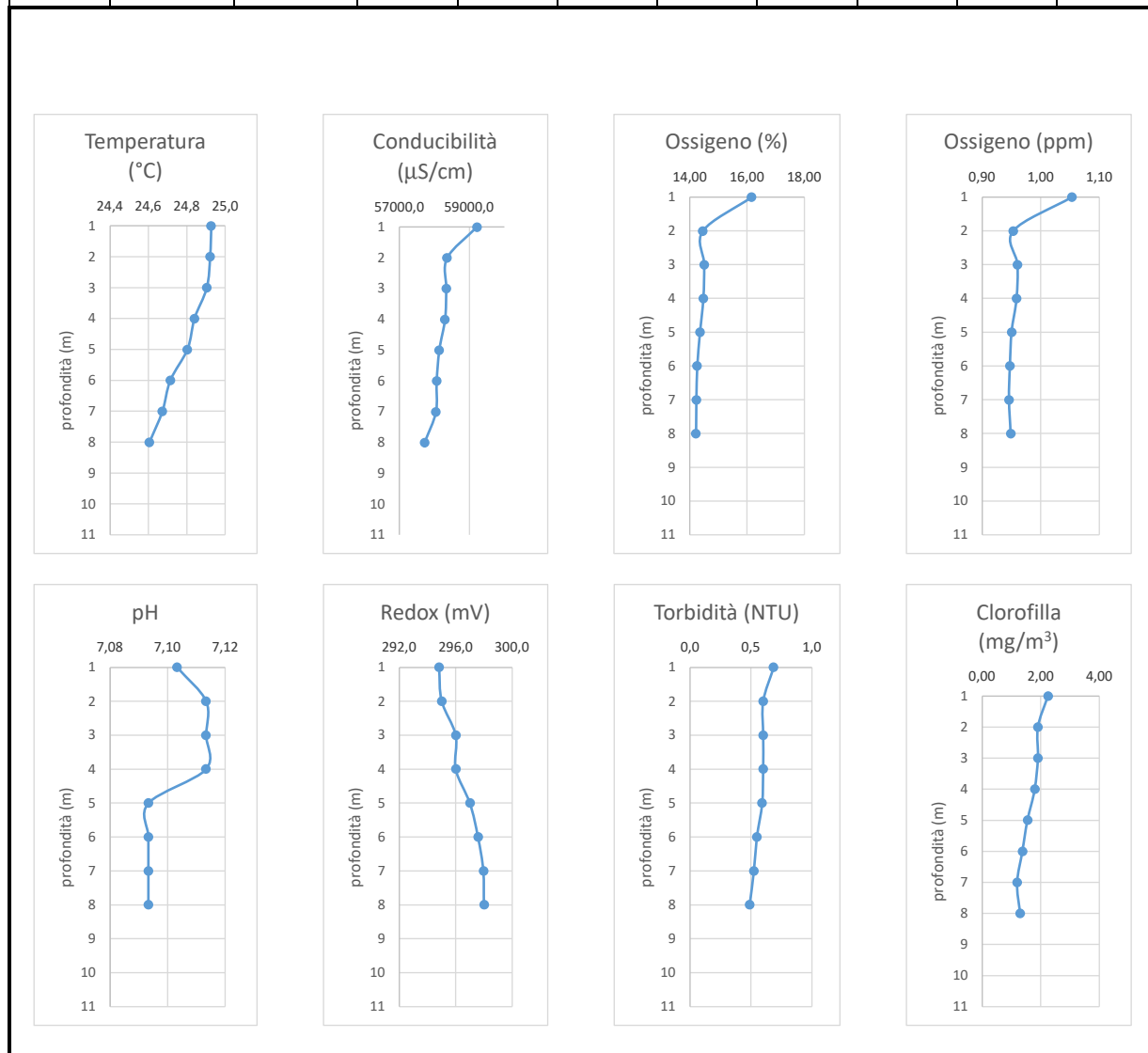
| ST01 - 27/07/2021 11:30 |             |               |          |          |     |                   |           |                   |                    |                   |
|-------------------------|-------------|---------------|----------|----------|-----|-------------------|-----------|-------------------|--------------------|-------------------|
| Profondità              | Temperatura | Conducibilità | Ossigeno | Ossigeno | pH  | Potenziale Red-ox | Torbidità | Clorofilla 'a'    | direzione corrente | velocità corrente |
| m                       | °C          | µS/cm         | %        | ppm      | -   | mV                | NTU       | mg/m <sup>3</sup> | -                  | m/s               |
| 1                       | 24,32       | 58543,3       | 21,2     | 1,2      | 8,1 | 212,7             | 0,80      | 1,80              | NW                 | 0,1               |
| 2                       | 24,18       | 58540,0       | 20,9     | 1,2      | 8,1 | 214,0             | 0,80      | 1,13              |                    |                   |
| 3                       | 24,07       | 58216,7       | 20,9     | 1,2      | 8,1 | 216,0             | 0,87      | 1,83              |                    |                   |
| 4                       | 23,96       | 57946,7       | 20,8     | 1,2      | 8,1 | 219,8             | 0,90      | 1,30              |                    |                   |
| 5                       | 23,86       | 57640,0       | 20,8     | 1,2      | 8,1 | 223,0             | 0,80      | 0,87              |                    |                   |
| 6                       | 23,70       | 57003,3       | 20,7     | 1,2      | 8,1 | 224,3             | 0,77      | 0,97              |                    |                   |
| 7                       | 23,64       | 56973,3       | 20,7     | 1,2      | 8,1 | 228,0             | 0,60      | 1,30              |                    |                   |
|                         |             |               |          |          |     |                   |           |                   |                    |                   |
|                         |             |               |          |          |     |                   |           |                   |                    |                   |
|                         |             |               |          |          |     |                   |           |                   |                    |                   |
|                         |             |               |          |          |     |                   |           |                   |                    |                   |
|                         |             |               |          |          |     |                   |           |                   |                    |                   |
|                         |             |               |          |          |     |                   |           |                   |                    |                   |



| ST02 - 27/07/2021 11:00 |             |               |          |          |      |                   |           |                   |                    |                   |
|-------------------------|-------------|---------------|----------|----------|------|-------------------|-----------|-------------------|--------------------|-------------------|
| Profondità              | Temperatura | Conducibilità | Ossigeno | Ossigeno | pH   | Potenziale Red-ox | Torbidità | Clorofilla 'a'    | direzione corrente | velocità corrente |
| m                       | °C          | μS/cm         | %        | ppm      | -    | mV                | NTU       | mg/m <sup>3</sup> | -                  | m/s               |
| 1                       | 24,75       | 58846,7       | 18,93    | 1,19     | 7,10 | 210,9             | 0,70      | 1,97              | NW                 | 0,1               |
| 2                       | 24,67       | 58740,0       | 17,27    | 1,17     | 7,11 | 217,0             | 0,70      | 1,47              |                    |                   |
| 3                       | 24,55       | 58630,0       | 16,97    | 1,16     | 7,11 | 219,0             | 0,60      | 1,32              |                    |                   |
| 4                       | 24,50       | 58420,0       | 16,80    | 1,13     | 7,11 | 221,0             | 0,60      | 1,67              |                    |                   |
| 5                       | 24,44       | 58076,7       | 16,80    | 1,13     | 7,09 | 223,0             | 0,60      | 1,53              |                    |                   |
| 6                       | 24,39       | 57973,3       | 16,74    | 1,12     | 7,09 | 225,0             | 0,50      | 1,87              |                    |                   |
|                         |             |               |          |          |      |                   |           |                   |                    |                   |
|                         |             |               |          |          |      |                   |           |                   |                    |                   |
|                         |             |               |          |          |      |                   |           |                   |                    |                   |
|                         |             |               |          |          |      |                   |           |                   |                    |                   |
|                         |             |               |          |          |      |                   |           |                   |                    |                   |
|                         |             |               |          |          |      |                   |           |                   |                    |                   |
|                         |             |               |          |          |      |                   |           |                   |                    |                   |
|                         |             |               |          |          |      |                   |           |                   |                    |                   |
|                         |             |               |          |          |      |                   |           |                   |                    |                   |
|                         |             |               |          |          |      |                   |           |                   |                    |                   |
|                         |             |               |          |          |      |                   |           |                   |                    |                   |
|                         |             |               |          |          |      |                   |           |                   |                    |                   |
|                         |             |               |          |          |      |                   |           |                   |                    |                   |

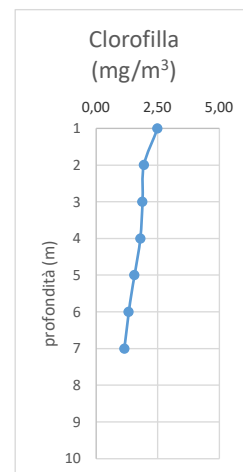
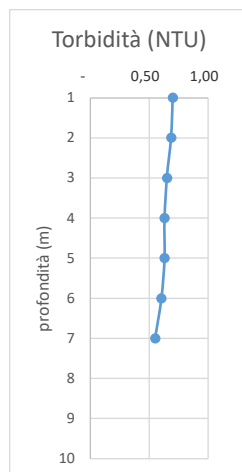
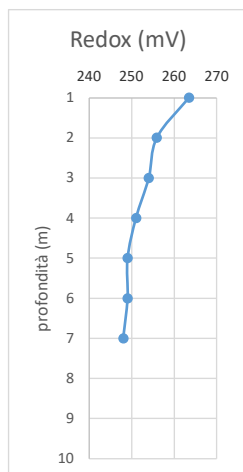
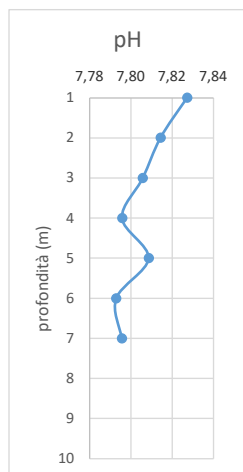
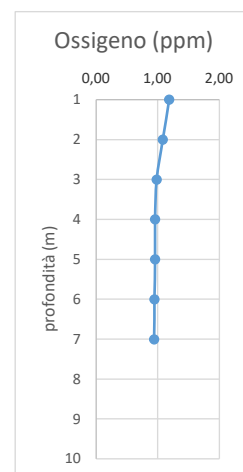
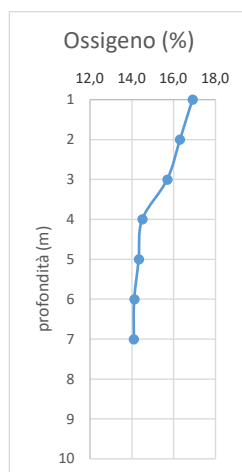
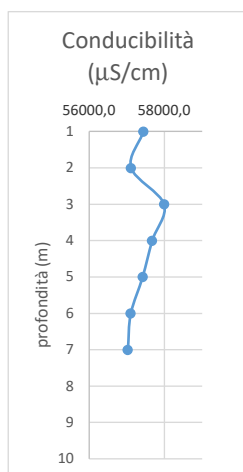
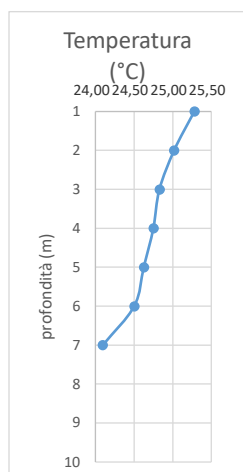


| ST03 – 27/07/2021 10:30 |             |               |          |          |      |                   |           |                   |                    |                   |
|-------------------------|-------------|---------------|----------|----------|------|-------------------|-----------|-------------------|--------------------|-------------------|
| Profondità              | Temperatura | Conducibilità | Ossigeno | Ossigeno | pH   | Potenziale Red-ox | Torbidità | Clorofilla 'a'    | direzione corrente | velocità corrente |
| m                       | °C          | µS/cm         | %        | ppm      | -    | mV                | NTU       | mg/m <sup>3</sup> | -                  | m/s               |
| 1                       | 24,93       | 59218,6       | 16,16    | 1,05     | 7,10 | 294,8             | 0,7       | 2,2               | NW                 | 0,1               |
| 2                       | 24,92       | 58365,7       | 14,46    | 0,95     | 7,11 | 295,0             | 0,6       | 1,9               |                    |                   |
| 3                       | 24,90       | 58344,3       | 14,50    | 0,96     | 7,11 | 296,0             | 0,6       | 1,9               |                    |                   |
| 4                       | 24,84       | 58307,1       | 14,47    | 0,96     | 7,11 | 296,0             | 0,6       | 1,8               |                    |                   |
| 5                       | 24,80       | 58141,4       | 14,36    | 0,95     | 7,09 | 297,0             | 0,59      | 1,5               |                    |                   |
| 6                       | 24,71       | 58070,0       | 14,26    | 0,95     | 7,09 | 297,57            | 0,55      | 1,37              |                    |                   |
| 7                       | 24,67       | 58047,1       | 14,23    | 0,95     | 7,09 | 297,96            | 0,52      | 1,19              |                    |                   |
| 8                       | 24,61       | 57727,1       | 14,21    | 0,95     | 7,09 | 298,00            | 0,49      | 1,29              |                    |                   |
|                         |             |               |          |          |      |                   |           |                   |                    |                   |
|                         |             |               |          |          |      |                   |           |                   |                    |                   |
|                         |             |               |          |          |      |                   |           |                   |                    |                   |



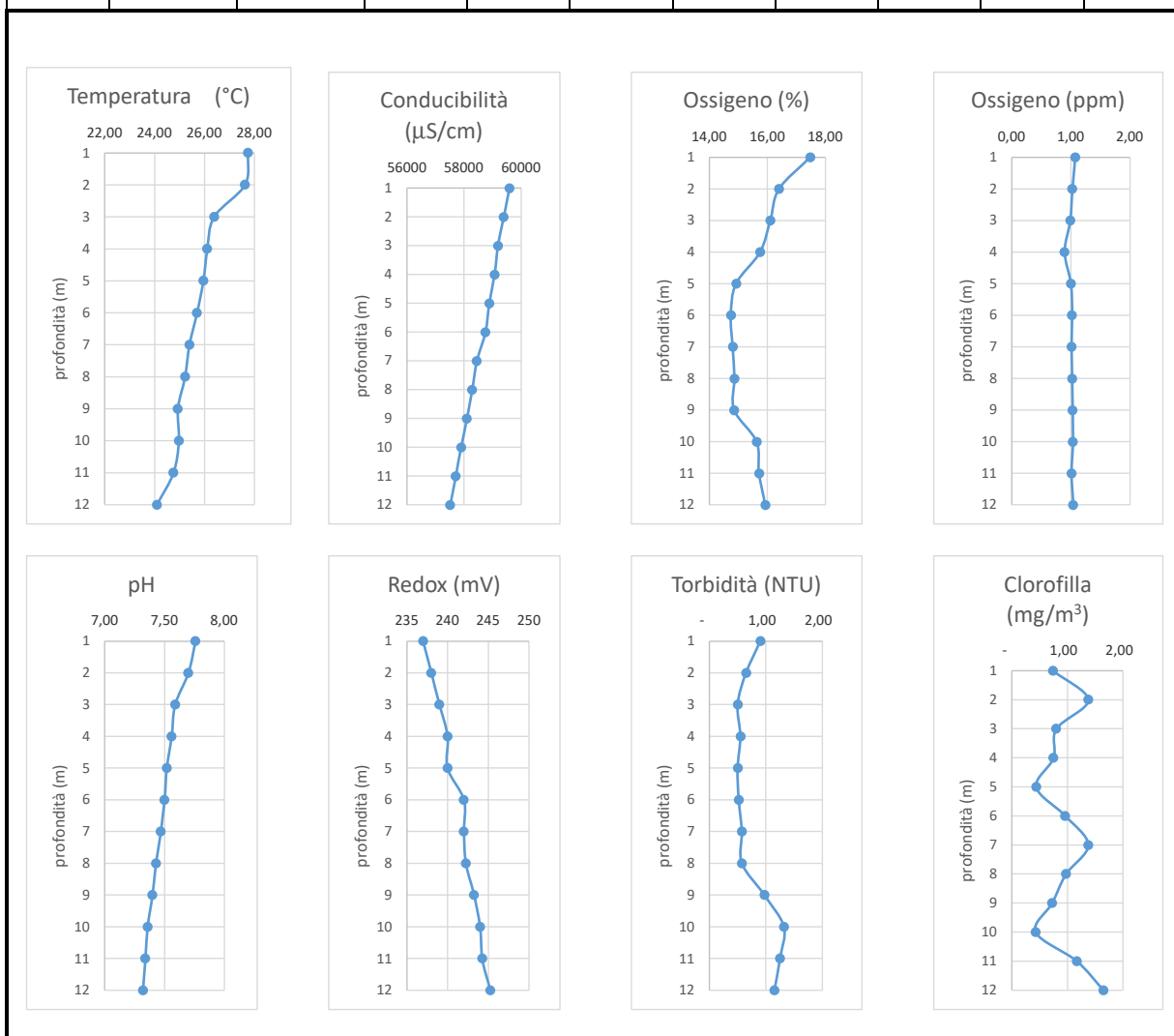


| ST04 – 27/07/2021 10:00 |             |               |          |          |      |                   |           |                   |                    |                   |
|-------------------------|-------------|---------------|----------|----------|------|-------------------|-----------|-------------------|--------------------|-------------------|
| Profondità              | Temperatura | Conducibilità | Ossigeno | Ossigeno | pH   | Potenziale Red-ox | Torbidità | Clorofilla 'a'    | direzione corrente | velocità corrente |
| m                       | °C          | μS/cm         | %        | ppm      | -    | mV                | NTU       | mg/m <sup>3</sup> | -                  | m/s               |
| 1                       | 25,09       | 57442,2       | 16,90    | 1,19     | 7,83 | 263,4             | 0,70      | 2,50              | NW                 | 0,1               |
| 2                       | 25,01       | 57112,7       | 16,30    | 1,08     | 7,81 | 255,9             | 0,69      | 1,94              |                    |                   |
| 3                       | 24,92       | 57991,0       | 15,70    | 0,99     | 7,81 | 254,0             | 0,65      | 1,89              |                    |                   |
| 4                       | 24,88       | 57672,9       | 14,50    | 0,96     | 7,80 | 251,0             | 0,63      | 1,80              |                    |                   |
| 5                       | 24,87       | 57420,0       | 14,33    | 0,96     | 7,81 | 249,0             | 0,63      | 1,56              |                    |                   |
| 6                       | 24,84       | 57104,3       | 14,11    | 0,95     | 7,79 | 249,0             | 0,60      | 1,33              |                    |                   |
| 7                       | 24,79       | 57026,7       | 14,09    | 0,94     | 7,80 | 248,0             | 0,55      | 1,15              |                    |                   |
|                         |             |               |          |          |      |                   |           |                   |                    |                   |
|                         |             |               |          |          |      |                   |           |                   |                    |                   |
|                         |             |               |          |          |      |                   |           |                   |                    |                   |



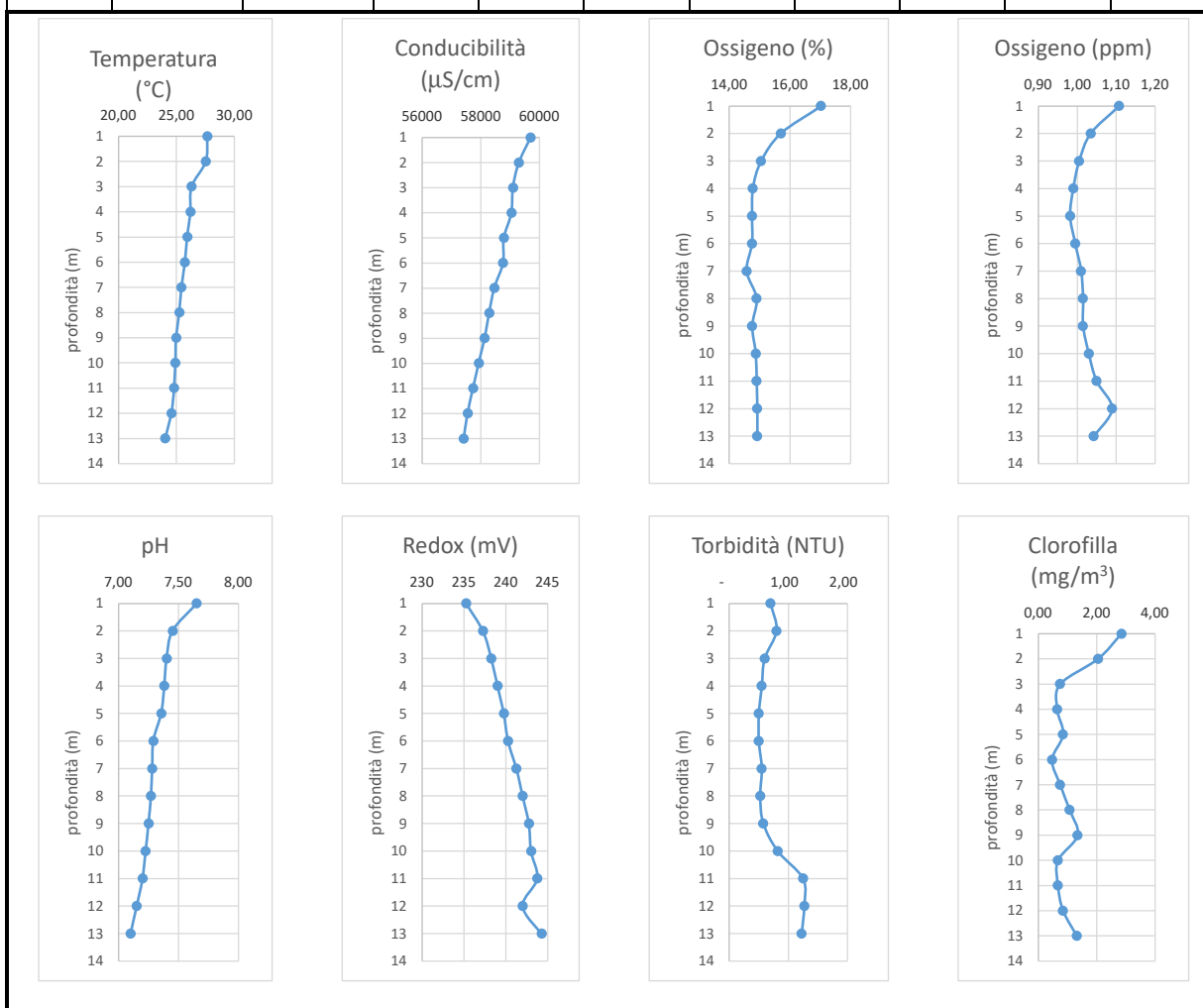
**ST05 - 23/08/2021 11:00**

| Profondità | Temperatura | Conducibilità | Ossigeno | Ossigeno | pH   | Potenziale Red-ox | Torbidità | Clorofilla 'a' | direzione corrente | velocità corrente |
|------------|-------------|---------------|----------|----------|------|-------------------|-----------|----------------|--------------------|-------------------|
| m          | °C          | µS/cm         | %        | ppm      | -    | mV                | NTU       | mg/m³          | -                  | m/s               |
| 1          | 27,75       | 59590,0       | 17,48    | 1,08     | 7,76 | 237,0             | 0,90      | 0,74           | NW                 | 0,1               |
| 2          | 27,63       | 59390,0       | 16,40    | 1,03     | 7,70 | 238,0             | 0,65      | 1,38           |                    |                   |
| 3          | 26,39       | 59190,0       | 16,10    | 0,99     | 7,59 | 239,0             | 0,50      | 0,80           |                    |                   |
| 4          | 26,11       | 59070,0       | 15,75    | 0,89     | 7,56 | 240,0             | 0,55      | 0,75           |                    |                   |
| 5          | 25,96       | 58890,0       | 14,92    | 1,00     | 7,52 | 240,0             | 0,50      | 0,44           |                    |                   |
| 6          | 25,70       | 58751,5       | 14,74    | 1,02     | 7,50 | 242,0             | 0,52      | 0,96           |                    |                   |
| 7          | 25,40       | 58450,5       | 14,81    | 1,01     | 7,47 | 242,0             | 0,58      | 1,38           |                    |                   |
| 8          | 25,22       | 58287,5       | 14,86    | 1,02     | 7,43 | 242,3             | 0,58      | 0,98           |                    |                   |
| 9          | 24,94       | 58105,0       | 14,85    | 1,03     | 7,40 | 243,3             | 0,98      | 0,73           |                    |                   |
| 10         | 24,98       | 57900,0       | 15,63    | 1,03     | 7,36 | 244,0             | 1,32      | 0,43           |                    |                   |
| 11         | 24,76       | 57711,5       | 15,71    | 1,01     | 7,34 | 244,3             | 1,25      | 1,17           |                    |                   |
| 12         | 24,10       | 57518,5       | 15,93    | 1,04     | 7,32 | 245,3             | 1,15      | 1,65           |                    |                   |

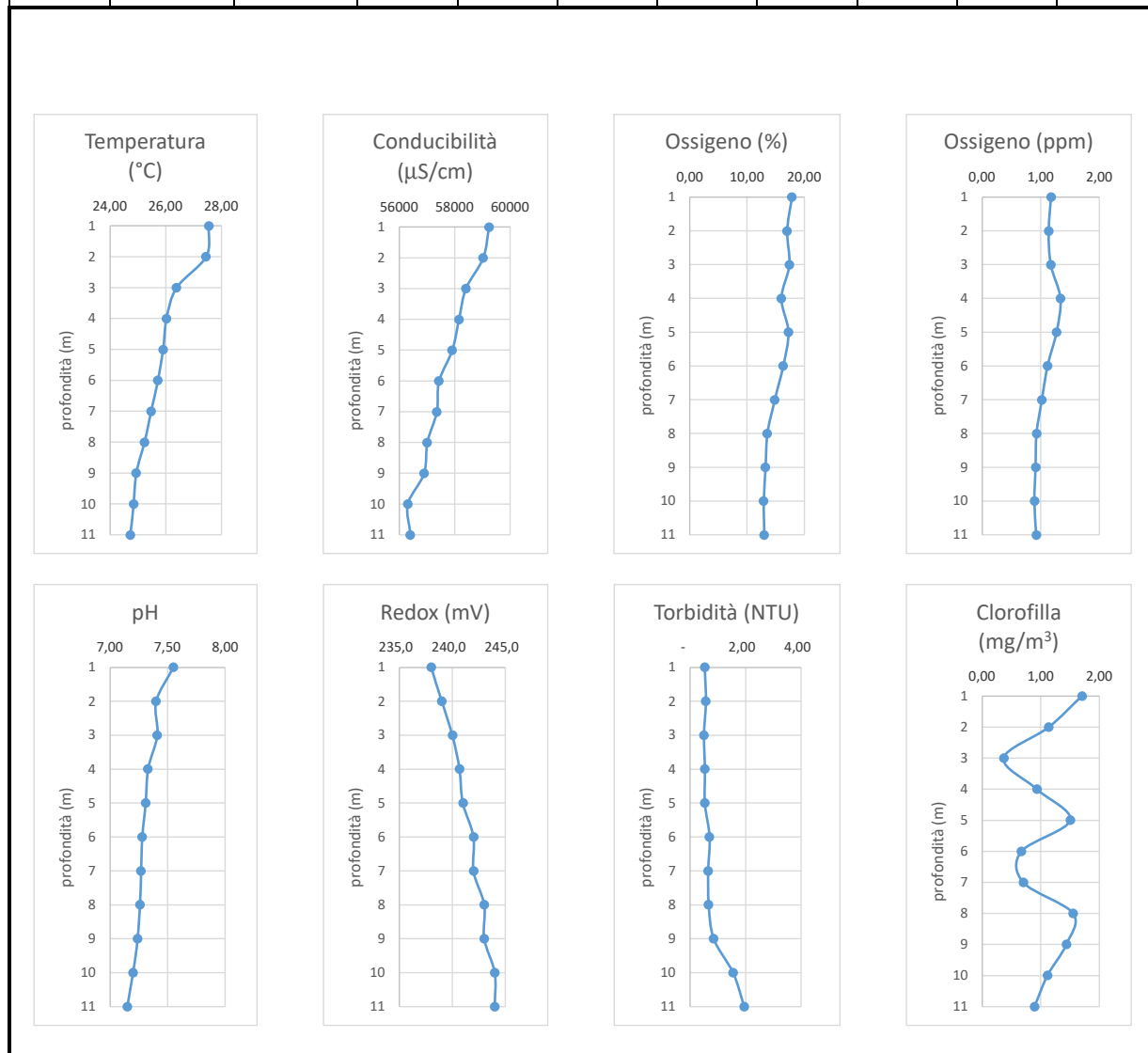


**ST06 - 23/08/2021 10:30**

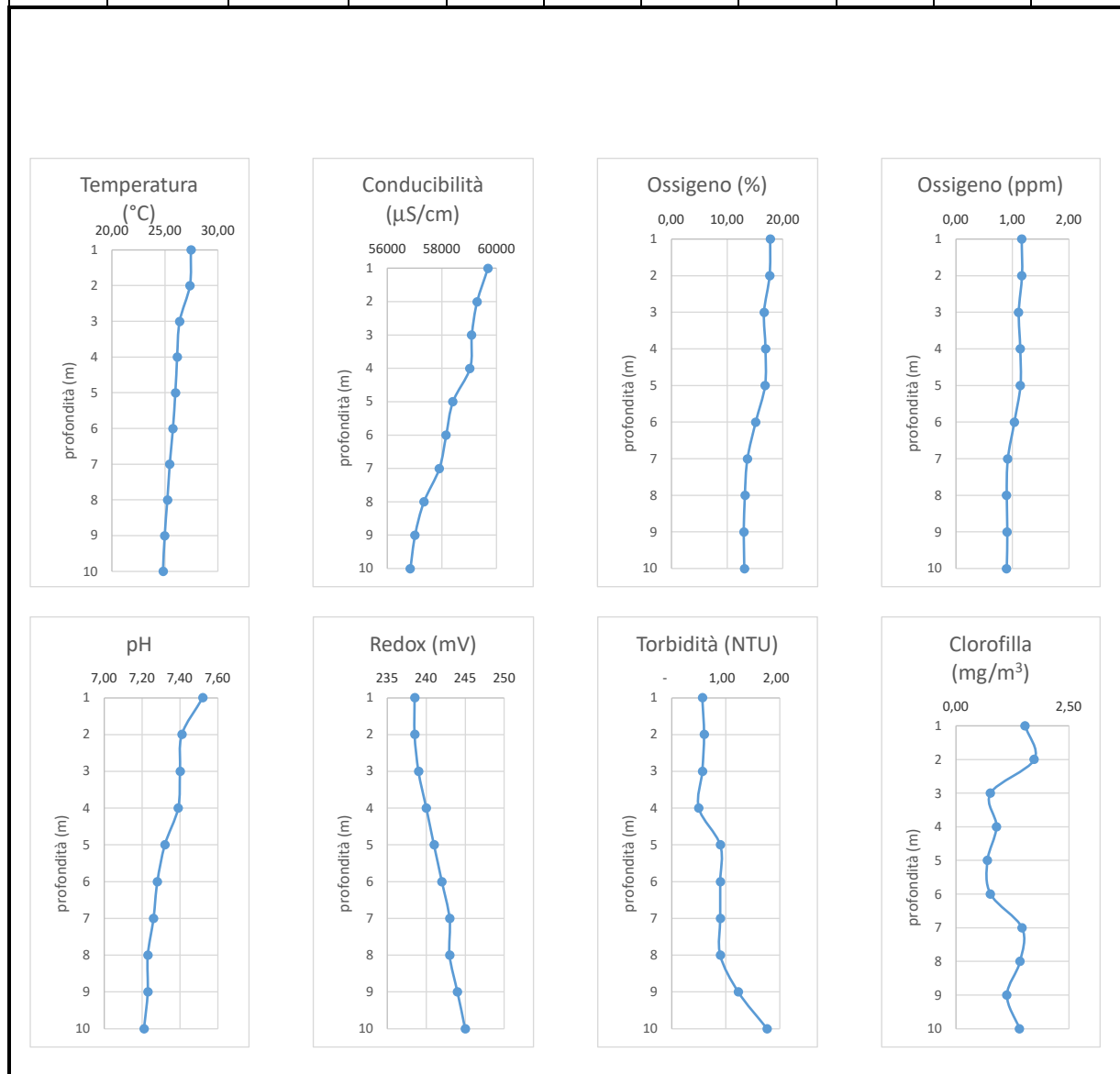
| Profondità | Temperatura | Conducibilità | Ossigeno | Ossigeno | pH   | Potenziale Red-ox | Torbidità | Clorofilla 'a' | direzione corrente | velocità corrente |
|------------|-------------|---------------|----------|----------|------|-------------------|-----------|----------------|--------------------|-------------------|
| m          | °C          | µS/cm         | %        | ppm      | -    | mV                | NTU       | mg/m³          | -                  | m/s               |
| 1          | 27,65       | 59690,0       | 17,03    | 1,11     | 7,65 | 235,25            | 0,70      | 2,85           | NW                 | 0,1               |
| 2          | 27,53       | 59290,0       | 15,70    | 1,04     | 7,45 | 237,25            | 0,80      | 2,05           |                    |                   |
| 3          | 26,29       | 59090,0       | 15,05    | 1,01     | 7,40 | 238,25            | 0,60      | 0,75           |                    |                   |
| 4          | 26,19       | 59040,0       | 14,78    | 0,99     | 7,38 | 239,00            | 0,55      | 0,65           |                    |                   |
| 5          | 25,92       | 58780,0       | 14,75    | 0,98     | 7,36 | 239,75            | 0,50      | 0,85           |                    |                   |
| 6          | 25,71       | 58752,5       | 14,75    | 1,00     | 7,29 | 240,25            | 0,50      | 0,48           |                    |                   |
| 7          | 25,42       | 58451,5       | 14,58    | 1,01     | 7,28 | 241,25            | 0,55      | 0,75           |                    |                   |
| 8          | 25,23       | 58281,5       | 14,90    | 1,02     | 7,27 | 242,00            | 0,53      | 1,08           |                    |                   |
| 9          | 24,97       | 58125,0       | 14,76    | 1,02     | 7,25 | 242,75            | 0,58      | 1,35           |                    |                   |
| 10         | 24,89       | 57926,0       | 14,88    | 1,03     | 7,23 | 243,00            | 0,82      | 0,68           |                    |                   |
| 11         | 24,79       | 57729,5       | 14,90    | 1,05     | 7,20 | 243,75            | 1,25      | 0,68           |                    |                   |
| 12         | 24,55       | 57546,5       | 14,93    | 1,09     | 7,15 | 242,00            | 1,27      | 0,85           |                    |                   |
| 13         | 24,02       | 57410,0       | 14,93    | 1,04     | 7,10 | 244,25            | 1,23      | 1,33           |                    |                   |



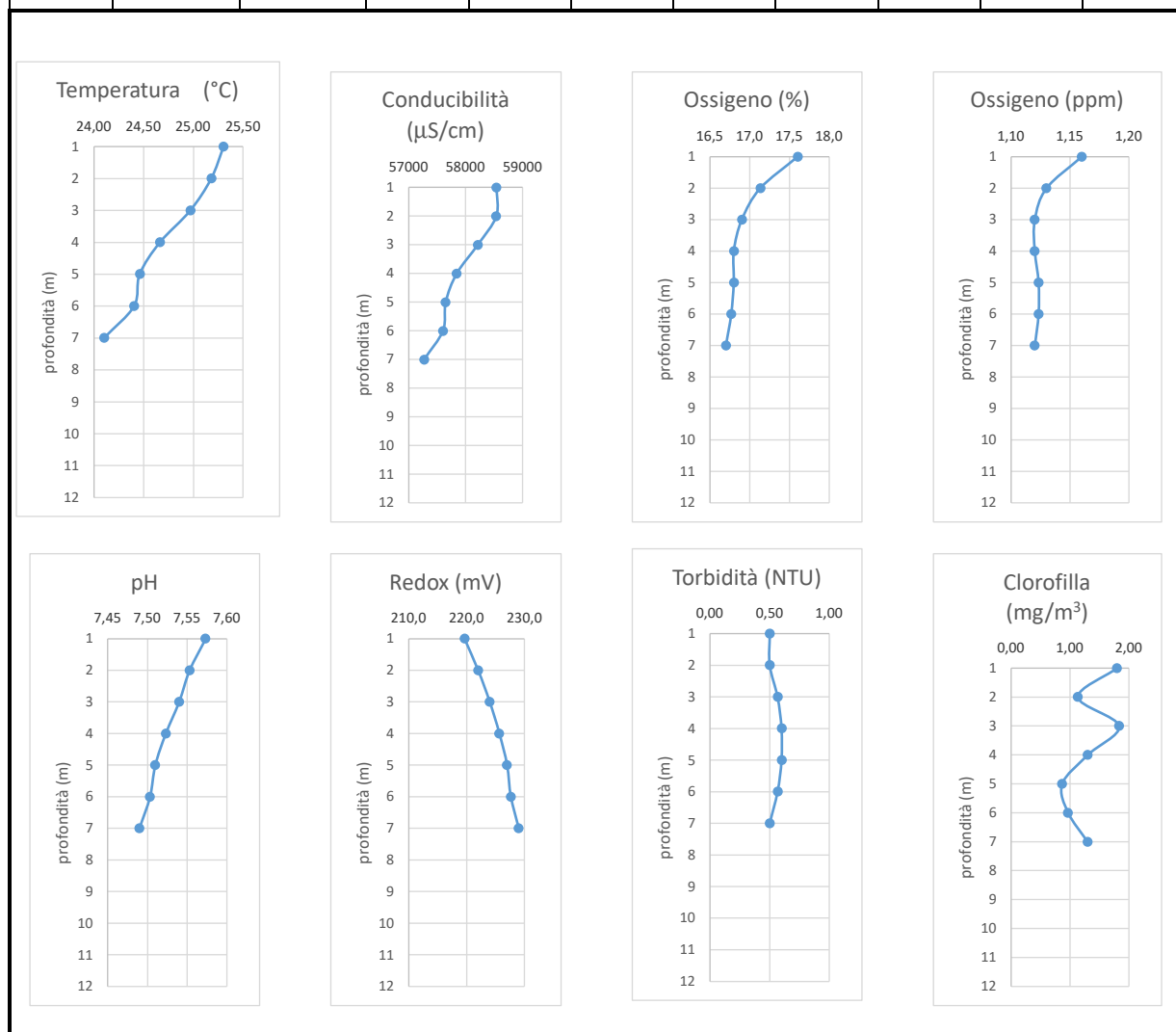
| ST07 – 23/08/2021 10:00 |             |               |          |          |      |                   |           |                   |                    |                   |
|-------------------------|-------------|---------------|----------|----------|------|-------------------|-----------|-------------------|--------------------|-------------------|
| Profondità              | Temperatura | Conducibilità | Ossigeno | Ossigeno | pH   | Potenziale Red-ox | Torbidità | Clorofilla 'a'    | direzione corrente | velocità corrente |
| m                       | °C          | μS/cm         | %        | ppm      | -    | mV                | NTU       | mg/m <sup>3</sup> | -                  | m/s               |
| 1                       | 27,55       | 59240         | 17,83    | 1,17     | 7,55 | 238,0             | 0,53      | 1,70              | NW                 | 0,1               |
| 2                       | 27,45       | 59030         | 17,00    | 1,13     | 7,40 | 239,0             | 0,57      | 1,13              |                    |                   |
| 3                       | 26,39       | 58407         | 17,40    | 1,17     | 7,41 | 240,0             | 0,50      | 0,37              |                    |                   |
| 4                       | 26,03       | 58157         | 16,00    | 1,33     | 7,33 | 240,7             | 0,53      | 0,93              |                    |                   |
| 5                       | 25,91       | 57913         | 17,24    | 1,27     | 7,31 | 241,0             | 0,53      | 1,50              |                    |                   |
| 6                       | 25,72       | 57437         | 16,32    | 1,11     | 7,28 | 242,0             | 0,70      | 0,67              |                    |                   |
| 7                       | 25,48       | 57357         | 14,83    | 1,02     | 7,27 | 242,0             | 0,65      | 0,70              |                    |                   |
| 8                       | 25,24       | 57010         | 13,53    | 0,93     | 7,26 | 243,0             | 0,67      | 1,55              |                    |                   |
| 9                       | 24,94       | 56897         | 13,22    | 0,91     | 7,24 | 243,0             | 0,85      | 1,43              |                    |                   |
| 10                      | 24,85       | 56310         | 12,91    | 0,89     | 7,20 | 244,0             | 1,55      | 1,11              |                    |                   |
| 11                      | 24,73       | 56400         | 13,00    | 0,92     | 7,15 | 244,0             | 1,95      | 0,89              |                    |                   |



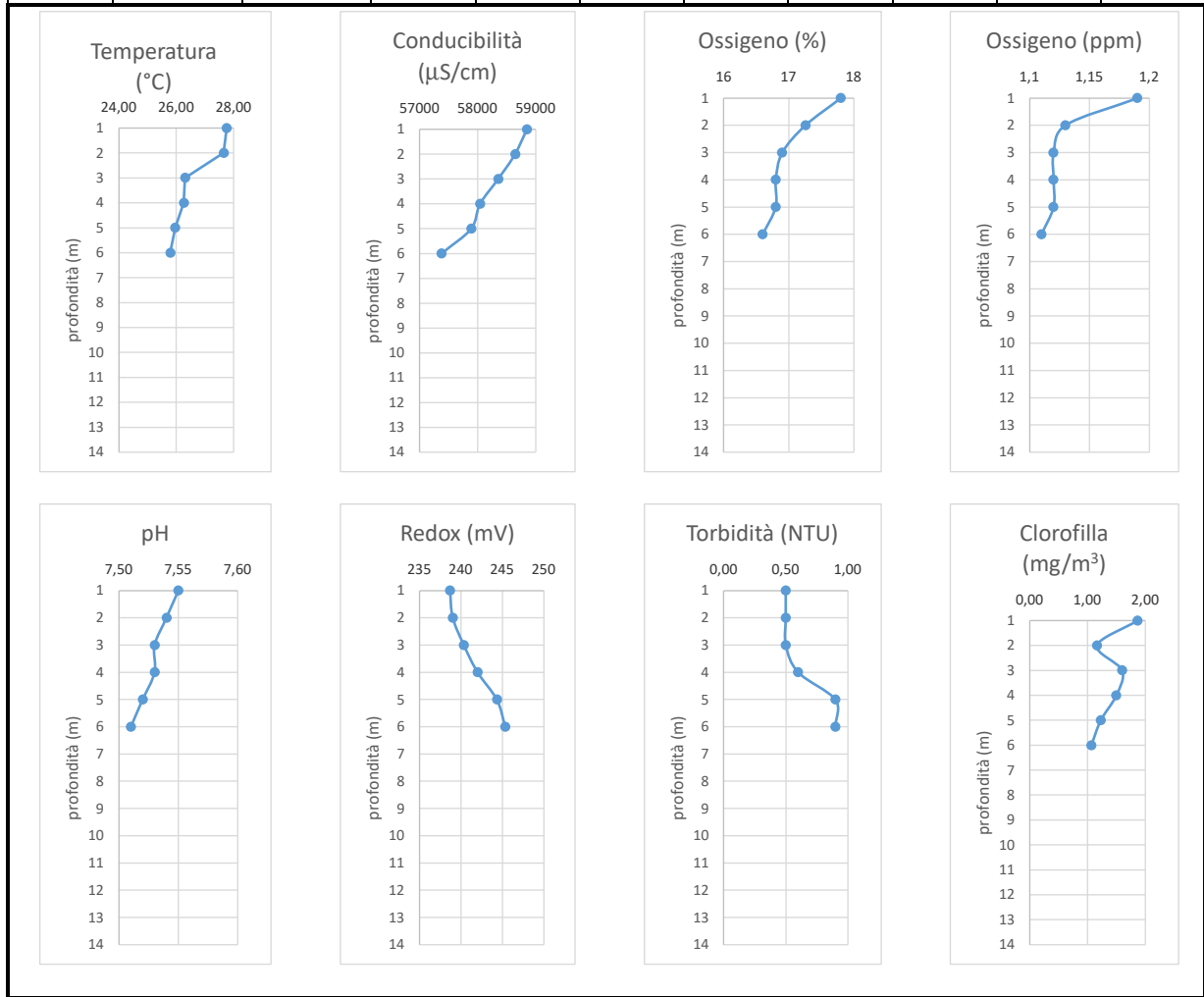
| ST08 – 23/08/2021 09:30 |             |               |          |          |      |                   |           |                   |                    |                   |
|-------------------------|-------------|---------------|----------|----------|------|-------------------|-----------|-------------------|--------------------|-------------------|
| Profondità              | Temperatura | Conducibilità | Ossigeno | Ossigeno | pH   | Potenziale Red-ox | Torbidità | Clorofilla 'a'    | direzione corrente | velocità corrente |
| m                       | °C          | μS/cm         | %        | ppm      | -    | mV                | NTU       | mg/m <sup>3</sup> | -                  | m/s               |
| 1                       | 27,45       | 59690         | 17,73    | 1,17     | 7,52 | 238,5             | 0,57      | 1,53              | NW                 | 0,1               |
| 2                       | 27,35       | 59290         | 17,63    | 1,17     | 7,41 | 238,5             | 0,60      | 1,73              |                    |                   |
| 3                       | 26,38       | 59090         | 16,63    | 1,11     | 7,40 | 239               | 0,57      | 0,77              |                    |                   |
| 4                       | 26,15       | 59030         | 16,90    | 1,14     | 7,39 | 240               | 0,50      | 0,90              |                    |                   |
| 5                       | 25,98       | 58407         | 16,80    | 1,14     | 7,32 | 241               | 0,90      | 0,70              |                    |                   |
| 6                       | 25,75       | 58156         | 15,13    | 1,04     | 7,28 | 242               | 0,90      | 0,77              |                    |                   |
| 7                       | 25,44       | 57911         | 13,63    | 0,92     | 7,26 | 243               | 0,90      | 1,47              |                    |                   |
| 8                       | 25,23       | 57347         | 13,20    | 0,90     | 7,23 | 243               | 0,90      | 1,42              |                    |                   |
| 9                       | 24,97       | 57020         | 13,00    | 0,91     | 7,23 | 244               | 1,23      | 1,13              |                    |                   |
| 10                      | 24,82       | 56847         | 13,10    | 0,90     | 7,21 | 245               | 1,77      | 1,41              |                    |                   |



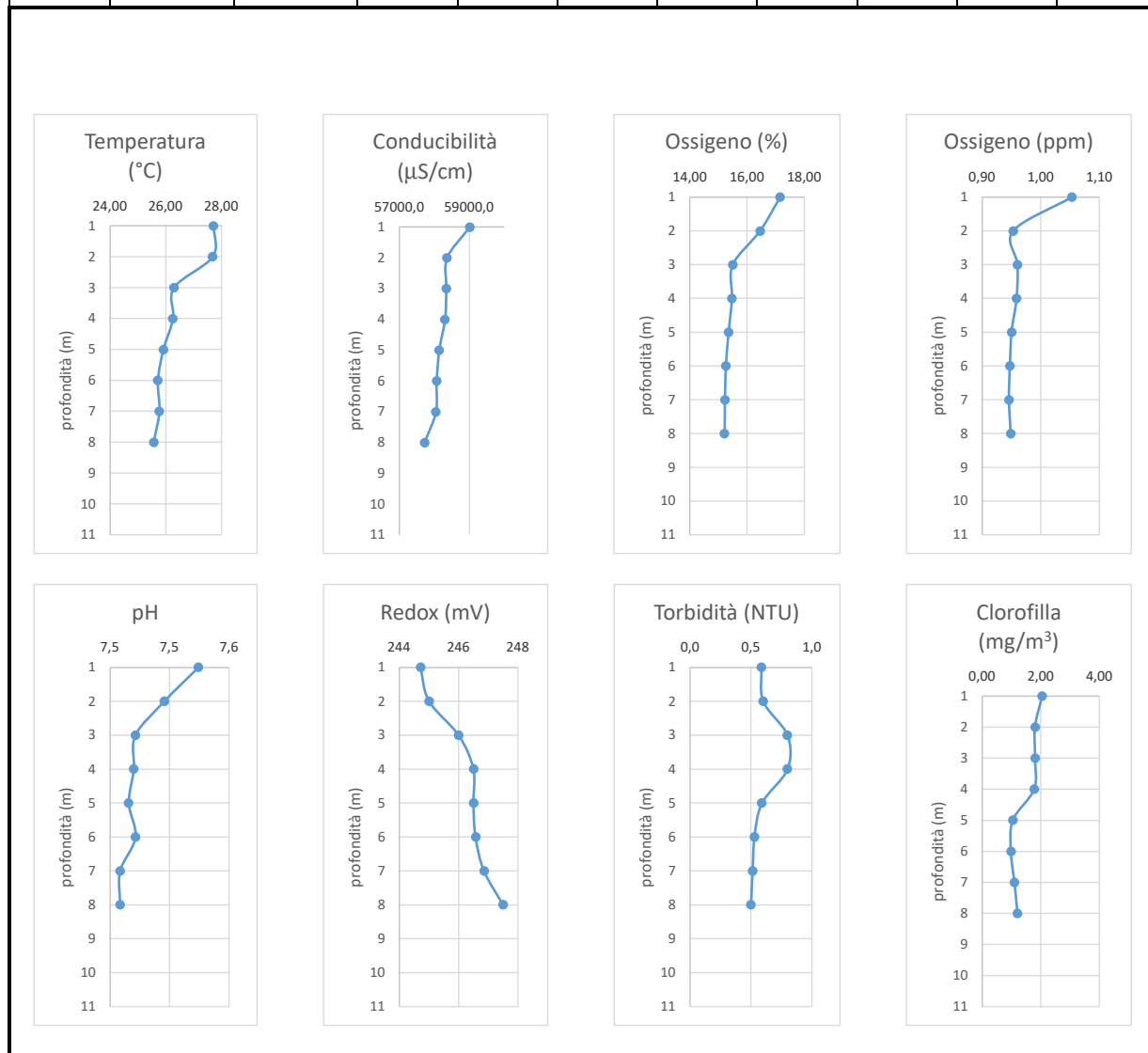
| ST01 - 24/08/2021 11:30 |             |               |          |          |      |                   |           |                   |                    |                   |
|-------------------------|-------------|---------------|----------|----------|------|-------------------|-----------|-------------------|--------------------|-------------------|
| Profondità              | Temperatura | Conducibilità | Ossigeno | Ossigeno | pH   | Potenziale Red-ox | Torbidità | Clorofilla 'a'    | direzione corrente | velocità corrente |
| m                       | °C          | µS/cm         | %        | ppm      | -    | mV                | NTU       | mg/m <sup>3</sup> | -                  | m/s               |
| 1                       | 25,30       | 58543,3       | 17,60    | 1,16     | 7,57 | 219,7             | 0,50      | 1,80              | NW                 | 0,1               |
| 2                       | 25,18       | 58540,0       | 17,13    | 1,13     | 7,55 | 222,0             | 0,50      | 1,13              |                    |                   |
| 3                       | 24,97       | 58216,7       | 16,90    | 1,12     | 7,54 | 224,0             | 0,57      | 1,83              |                    |                   |
| 4                       | 24,66       | 57846,7       | 16,80    | 1,12     | 7,52 | 225,7             | 0,60      | 1,30              |                    |                   |
| 5                       | 24,46       | 57650,0       | 16,80    | 1,12     | 7,51 | 227,0             | 0,60      | 0,87              |                    |                   |
| 6                       | 24,40       | 57603,3       | 16,77    | 1,12     | 7,50 | 227,7             | 0,57      | 0,97              |                    |                   |
| 7                       | 24,10       | 57273,3       | 16,70    | 1,12     | 7,49 | 229,0             | 0,50      | 1,30              |                    |                   |
|                         |             |               |          |          |      |                   |           |                   |                    |                   |
|                         |             |               |          |          |      |                   |           |                   |                    |                   |
|                         |             |               |          |          |      |                   |           |                   |                    |                   |
|                         |             |               |          |          |      |                   |           |                   |                    |                   |
|                         |             |               |          |          |      |                   |           |                   |                    |                   |
|                         |             |               |          |          |      |                   |           |                   |                    |                   |



| ST02 - 24/08/2021 11:00 |             |               |          |          |      |                   |           |                |                    |                   |
|-------------------------|-------------|---------------|----------|----------|------|-------------------|-----------|----------------|--------------------|-------------------|
| Profondità              | Temperatura | Conducibilità | Ossigeno | Ossigeno | pH   | Potenziale Red-ox | Torbidità | Clorofilla 'a' | direzione corrente | velocità corrente |
| m                       | °C          | µS/cm         | %        | ppm      | -    | mV                | NTU       | mg/m³          | -                  | m/s               |
| 1                       | 27,75       | 58846,7       | 17,8     | 1,19     | 7,55 | 238,7             | 0,50      | 1,87           | NW                 | 0,1               |
| 2                       | 27,65       | 58642,0       | 17,26    | 1,13     | 7,54 | 239,0             | 0,50      | 1,17           |                    |                   |
| 3                       | 26,30       | 58351,0       | 16,9     | 1,12     | 7,53 | 240,3             | 0,50      | 1,60           |                    |                   |
| 4                       | 26,26       | 58040,0       | 16,8     | 1,12     | 7,53 | 242,0             | 0,60      | 1,50           |                    |                   |
| 5                       | 25,96       | 57886,0       | 16,8     | 1,12     | 7,52 | 244,3             | 0,90      | 1,23           |                    |                   |
| 6                       | 25,79       | 57376,3       | 16,6     | 1,11     | 7,51 | 245,3             | 0,90      | 1,07           |                    |                   |
|                         |             |               |          |          |      |                   |           |                |                    |                   |
|                         |             |               |          |          |      |                   |           |                |                    |                   |
|                         |             |               |          |          |      |                   |           |                |                    |                   |
|                         |             |               |          |          |      |                   |           |                |                    |                   |
|                         |             |               |          |          |      |                   |           |                |                    |                   |
|                         |             |               |          |          |      |                   |           |                |                    |                   |
|                         |             |               |          |          |      |                   |           |                |                    |                   |
|                         |             |               |          |          |      |                   |           |                |                    |                   |
|                         |             |               |          |          |      |                   |           |                |                    |                   |
|                         |             |               |          |          |      |                   |           |                |                    |                   |
|                         |             |               |          |          |      |                   |           |                |                    |                   |
|                         |             |               |          |          |      |                   |           |                |                    |                   |

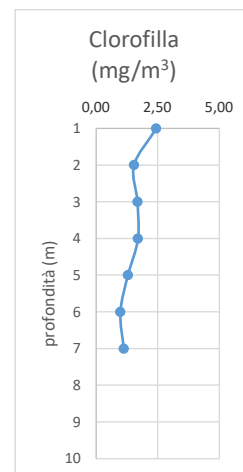
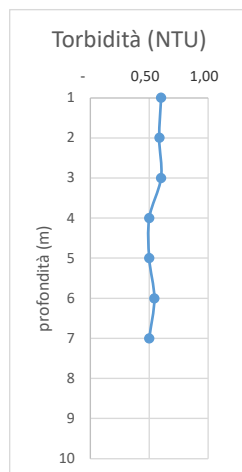
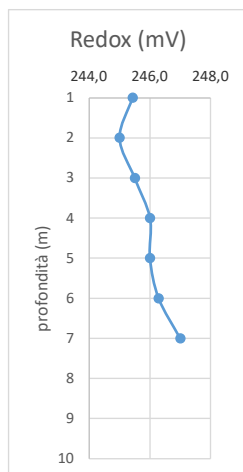
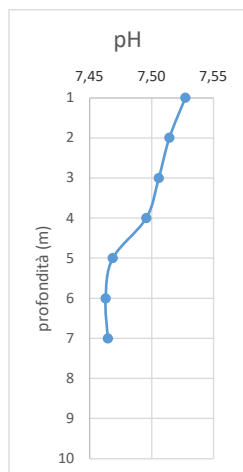
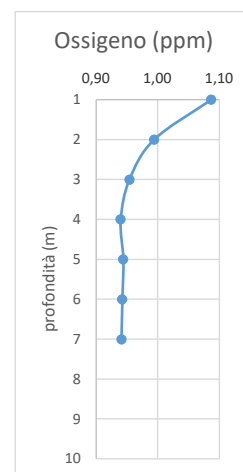
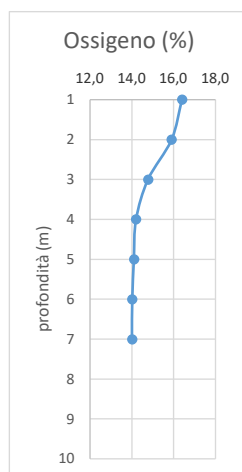
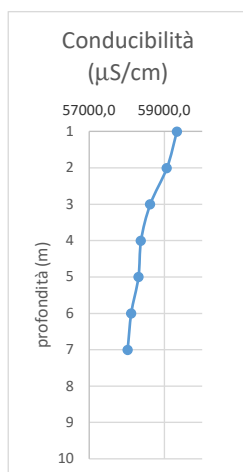
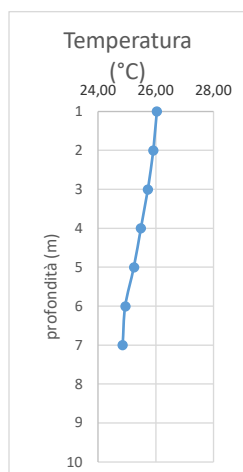


| ST03 – 24/08/2021 10:30 |             |               |          |          |      |                   |           |                   |                    |                   |
|-------------------------|-------------|---------------|----------|----------|------|-------------------|-----------|-------------------|--------------------|-------------------|
| Profondità              | Temperatura | Conducibilità | Ossigeno | Ossigeno | pH   | Potenziale Red-ox | Torbidità | Clorofilla 'a'    | direzione corrente | velocità corrente |
| m                       | °C          | μS/cm         | %        | ppm      | -    | mV                | NTU       | mg/m <sup>3</sup> | -                  | m/s               |
| 1                       | 27,72       | 59018,6       | 17,16    | 1,05     | 7,5  | 245               | 0,6       | 2,0               | NW                 | 0,1               |
| 2                       | 27,69       | 58365,7       | 16,46    | 0,95     | 7,5  | 245               | 0,6       | 1,8               |                    |                   |
| 3                       | 26,30       | 58344,3       | 15,50    | 0,96     | 7,5  | 246               | 0,8       | 1,8               |                    |                   |
| 4                       | 26,26       | 58307,1       | 15,47    | 0,96     | 7,5  | 247               | 0,8       | 1,8               |                    |                   |
| 5                       | 25,92       | 58141,4       | 15,36    | 0,95     | 7,5  | 247               | 0,59      | 1,0               |                    |                   |
| 6                       | 25,72       | 58070,0       | 15,26    | 0,95     | 7,47 | 247               | 0,53      | 0,98              |                    |                   |
| 7                       | 25,77       | 58047,1       | 15,23    | 0,95     | 7,46 | 247               | 0,51      | 1,10              |                    |                   |
| 8                       | 25,58       | 57727,1       | 15,21    | 0,95     | 7,46 | 248               | 0,50      | 1,20              |                    |                   |
|                         |             |               |          |          |      |                   |           |                   |                    |                   |
|                         |             |               |          |          |      |                   |           |                   |                    |                   |
|                         |             |               |          |          |      |                   |           |                   |                    |                   |



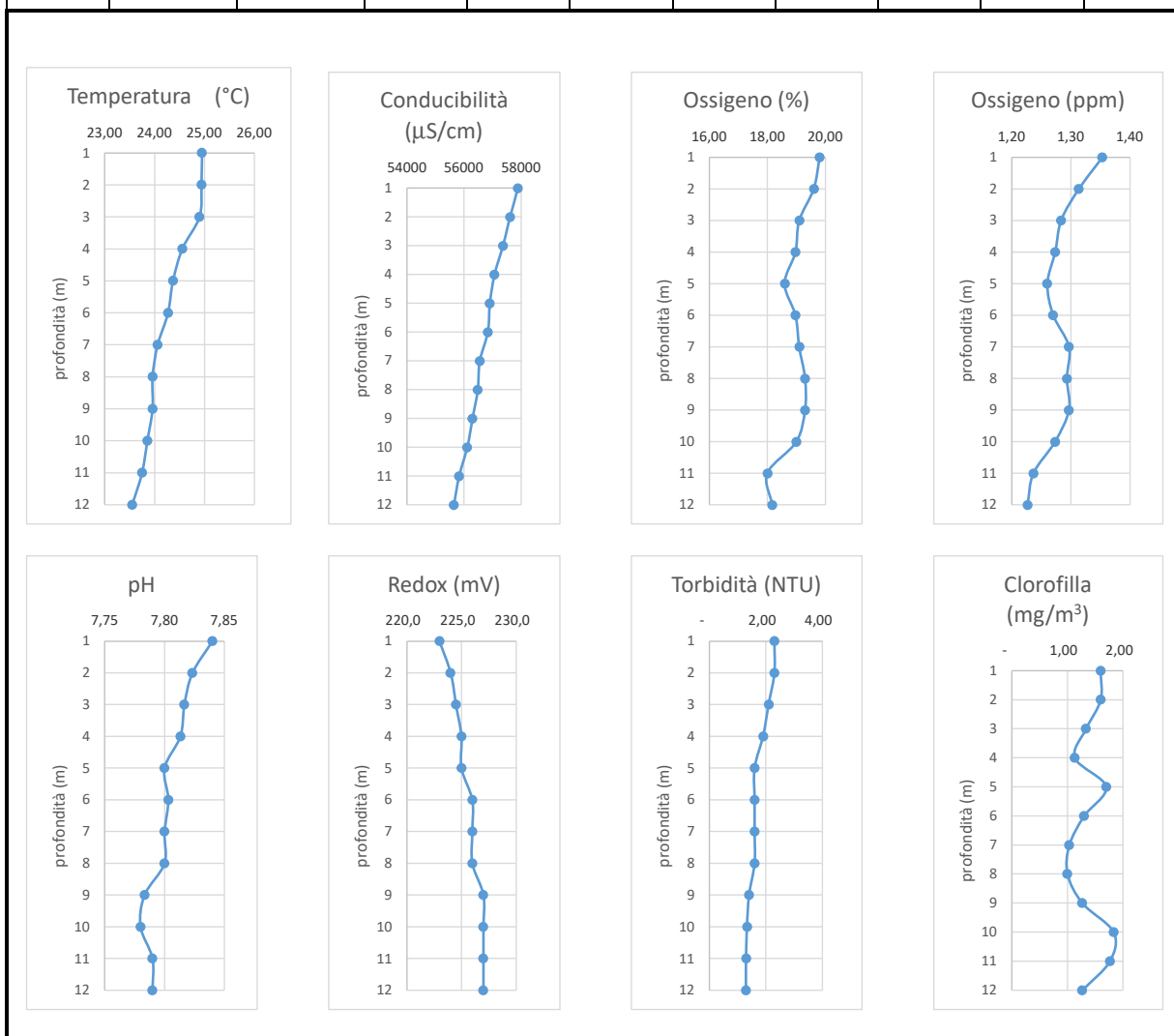


| ST04 – 24/08/2021 10:00 |             |               |          |          |      |                   |           |                   |                    |                   |
|-------------------------|-------------|---------------|----------|----------|------|-------------------|-----------|-------------------|--------------------|-------------------|
| Profondità              | Temperatura | Conducibilità | Ossigeno | Ossigeno | pH   | Potenziale Red-ox | Torbidità | Clorofilla 'a'    | direzione corrente | velocità corrente |
| m                       | °C          | µS/cm         | %        | ppm      | -    | mV                | NTU       | mg/m <sup>3</sup> | -                  | m/s               |
| 1                       | 27,71       | 59327,1       | 16,40    | 1,09     | 7,53 | 245,4             | 0,60      | 2,44              | NW                 | 0,1               |
| 2                       | 27,68       | 59061,4       | 15,90    | 0,99     | 7,51 | 245,0             | 0,59      | 1,54              |                    |                   |
| 3                       | 26,31       | 58620,0       | 14,78    | 0,95     | 7,51 | 245,5             | 0,60      | 1,69              |                    |                   |
| 4                       | 26,29       | 58374,9       | 14,20    | 0,94     | 7,50 | 246,0             | 0,50      | 1,70              |                    |                   |
| 5                       | 25,93       | 58310,0       | 14,10    | 0,94     | 7,47 | 246,0             | 0,50      | 1,30              |                    |                   |
| 6                       | 25,79       | 58115,3       | 14,01    | 0,94     | 7,46 | 246,3             | 0,54      | 0,99              |                    |                   |
| 7                       | 25,72       | 58022,7       | 14,01    | 0,94     | 7,46 | 247,0             | 0,50      | 1,12              |                    |                   |
|                         |             |               |          |          |      |                   |           |                   |                    |                   |
|                         |             |               |          |          |      |                   |           |                   |                    |                   |
|                         |             |               |          |          |      |                   |           |                   |                    |                   |



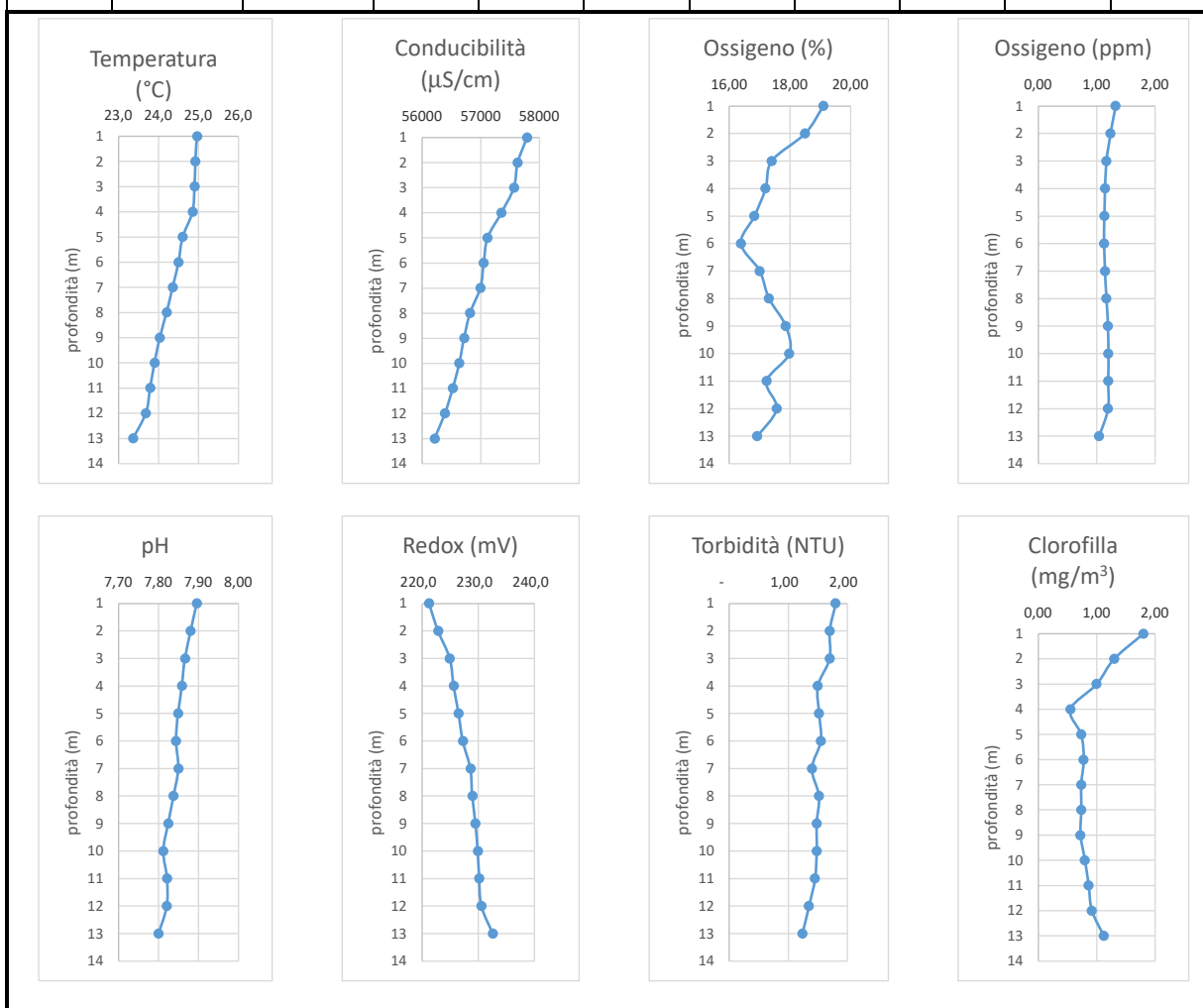
**ST05 - 14/09/2021 11:00**

| Profondità | Temperatura | Conducibilità | Ossigeno | Ossigeno | pH   | Potenziale Red-ox | Torbidità | Clorofilla 'a'    | direzione corrente | velocità corrente |
|------------|-------------|---------------|----------|----------|------|-------------------|-----------|-------------------|--------------------|-------------------|
| m          | °C          | µS/cm         | %        | ppm      | -    | mV                | NTU       | mg/m <sup>3</sup> | -                  | m/s               |
| 1          | 24,95       | 57886,7       | 19,80    | 1,35     | 7,84 | 223,0             | 2,30      | 1,60              | NW                 | 0,1               |
| 2          | 24,94       | 57616,7       | 19,60    | 1,31     | 7,82 | 224,0             | 2,30      | 1,60              |                    |                   |
| 3          | 24,90       | 57363,3       | 19,10    | 1,28     | 7,82 | 224,5             | 2,10      | 1,33              |                    |                   |
| 4          | 24,56       | 57066,7       | 18,97    | 1,27     | 7,81 | 225,0             | 1,90      | 1,13              |                    |                   |
| 5          | 24,37       | 56906,7       | 18,60    | 1,26     | 7,80 | 225,0             | 1,60      | 1,70              |                    |                   |
| 6          | 24,27       | 56836,7       | 18,97    | 1,27     | 7,80 | 226,0             | 1,60      | 1,30              |                    |                   |
| 7          | 24,06       | 56553,3       | 19,10    | 1,30     | 7,80 | 226,0             | 1,60      | 1,03              |                    |                   |
| 8          | 23,96       | 56480,0       | 19,30    | 1,29     | 7,80 | 226,0             | 1,60      | 1,00              |                    |                   |
| 9          | 23,96       | 56296,7       | 19,30    | 1,30     | 7,78 | 227,0             | 1,40      | 1,27              |                    |                   |
| 10         | 23,86       | 56113,3       | 19,00    | 1,27     | 7,78 | 227,0             | 1,33      | 1,83              |                    |                   |
| 11         | 23,75       | 55830,0       | 18,00    | 1,24     | 7,79 | 227,0             | 1,30      | 1,77              |                    |                   |
| 12         | 23,55       | 55647,0       | 18,17    | 1,23     | 7,79 | 227,0             | 1,29      | 1,27              |                    |                   |

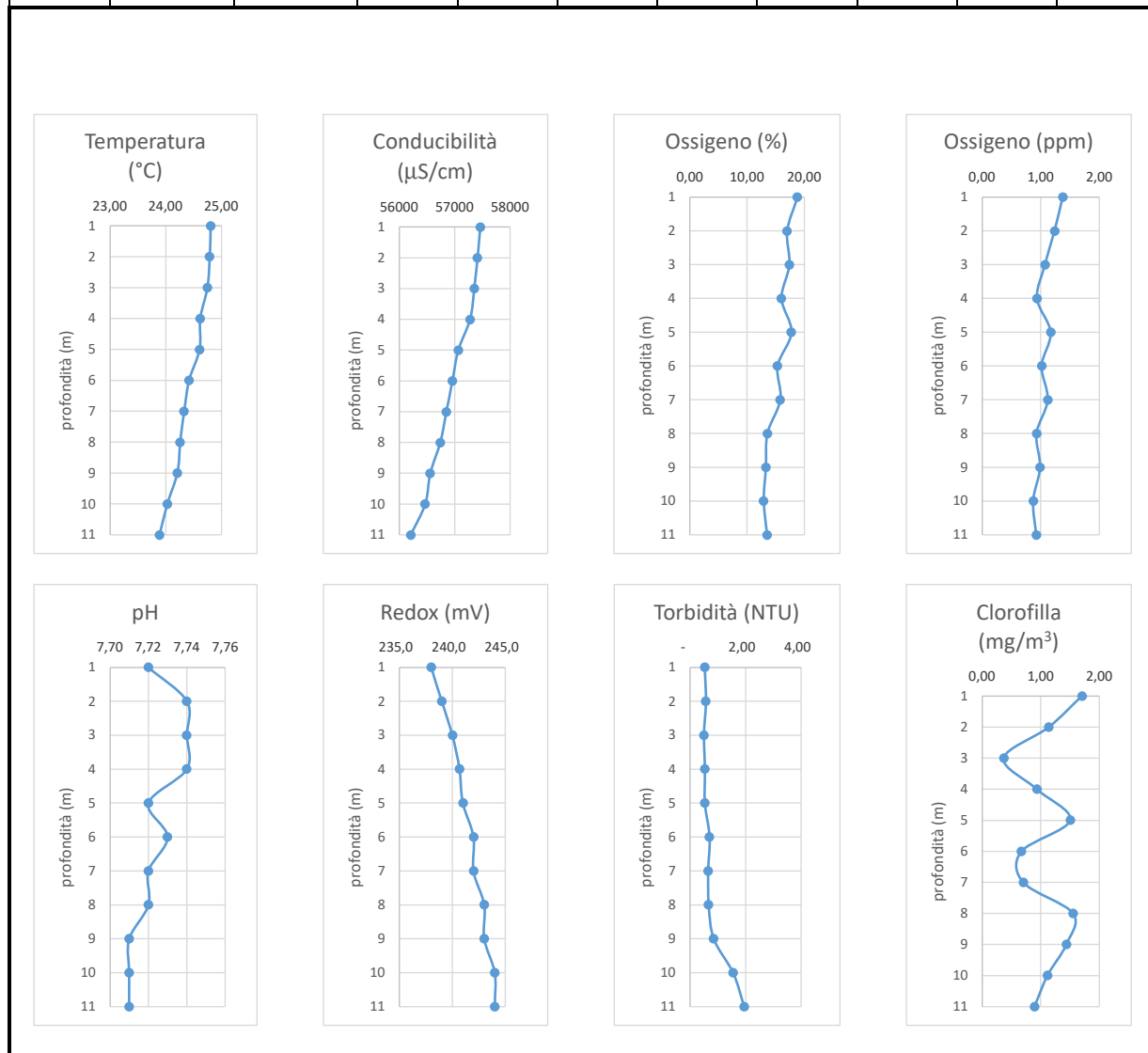


**ST06 - 14/09/2021 10:30**

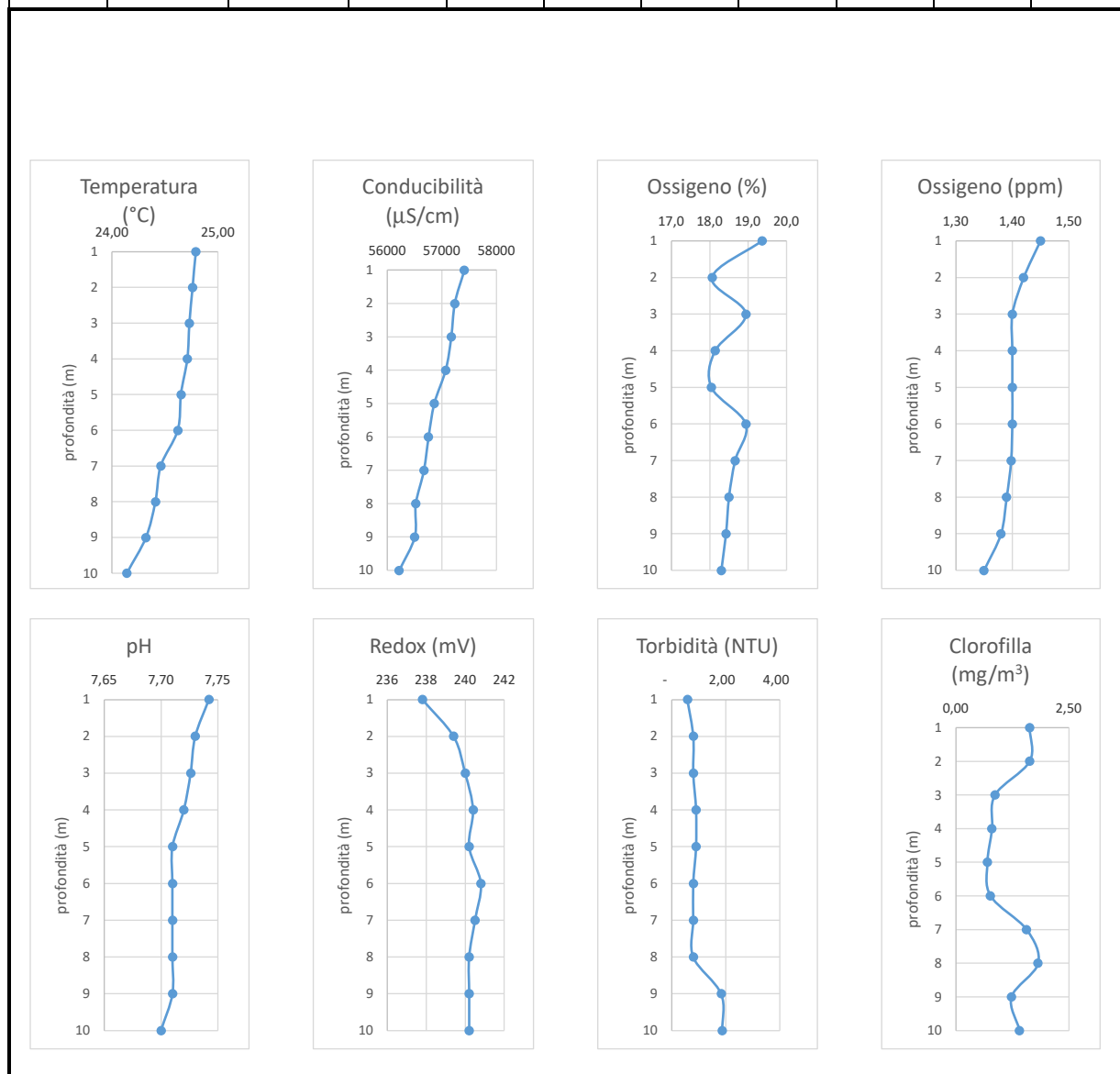
| Profondità | Temperatura | Conducibilità | Ossigeno | Ossigeno | pH   | Potenziale Red-ox | Torbidità | Clorofilla 'a'    | direzione corrente | velocità corrente |
|------------|-------------|---------------|----------|----------|------|-------------------|-----------|-------------------|--------------------|-------------------|
| m          | °C          | μS/cm         | %        | ppm      | -    | mV                | NTU       | mg/m <sup>3</sup> | -                  | m/s               |
| 1          | 24,96       | 57784,6       | 19,10    | 1,33     | 7,90 | 221,2             | 1,80      | 1,80              | NW                 | 0,1               |
| 2          | 24,92       | 57624,7       | 18,50    | 1,24     | 7,88 | 222,8             | 1,70      | 1,30              |                    |                   |
| 3          | 24,90       | 57561,8       | 17,40    | 1,17     | 7,87 | 224,9             | 1,70      | 1,00              |                    |                   |
| 4          | 24,85       | 57347,6       | 17,20    | 1,14     | 7,86 | 225,6             | 1,50      | 0,55              |                    |                   |
| 5          | 24,60       | 57111,2       | 16,83    | 1,13     | 7,85 | 226,5             | 1,52      | 0,74              |                    |                   |
| 6          | 24,50       | 57046,5       | 16,38    | 1,13     | 7,84 | 227,2             | 1,55      | 0,78              |                    |                   |
| 7          | 24,35       | 56989,8       | 17,01    | 1,14     | 7,85 | 228,6             | 1,40      | 0,74              |                    |                   |
| 8          | 24,20       | 56812,9       | 17,31    | 1,17     | 7,84 | 228,9             | 1,52      | 0,74              |                    |                   |
| 9          | 24,03       | 56712,4       | 17,86    | 1,19     | 7,82 | 229,5             | 1,48      | 0,72              |                    |                   |
| 10         | 23,90       | 56629,4       | 17,98    | 1,20     | 7,81 | 229,9             | 1,48      | 0,80              |                    |                   |
| 11         | 23,79       | 56518,4       | 17,23    | 1,20     | 7,82 | 230,1             | 1,45      | 0,86              |                    |                   |
| 12         | 23,68       | 56386,5       | 17,56    | 1,19     | 7,82 | 230,6             | 1,35      | 0,92              |                    |                   |
| 13         | 23,36       | 56210,0       | 16,93    | 1,04     | 7,80 | 232,6             | 1,24      | 1,13              |                    |                   |



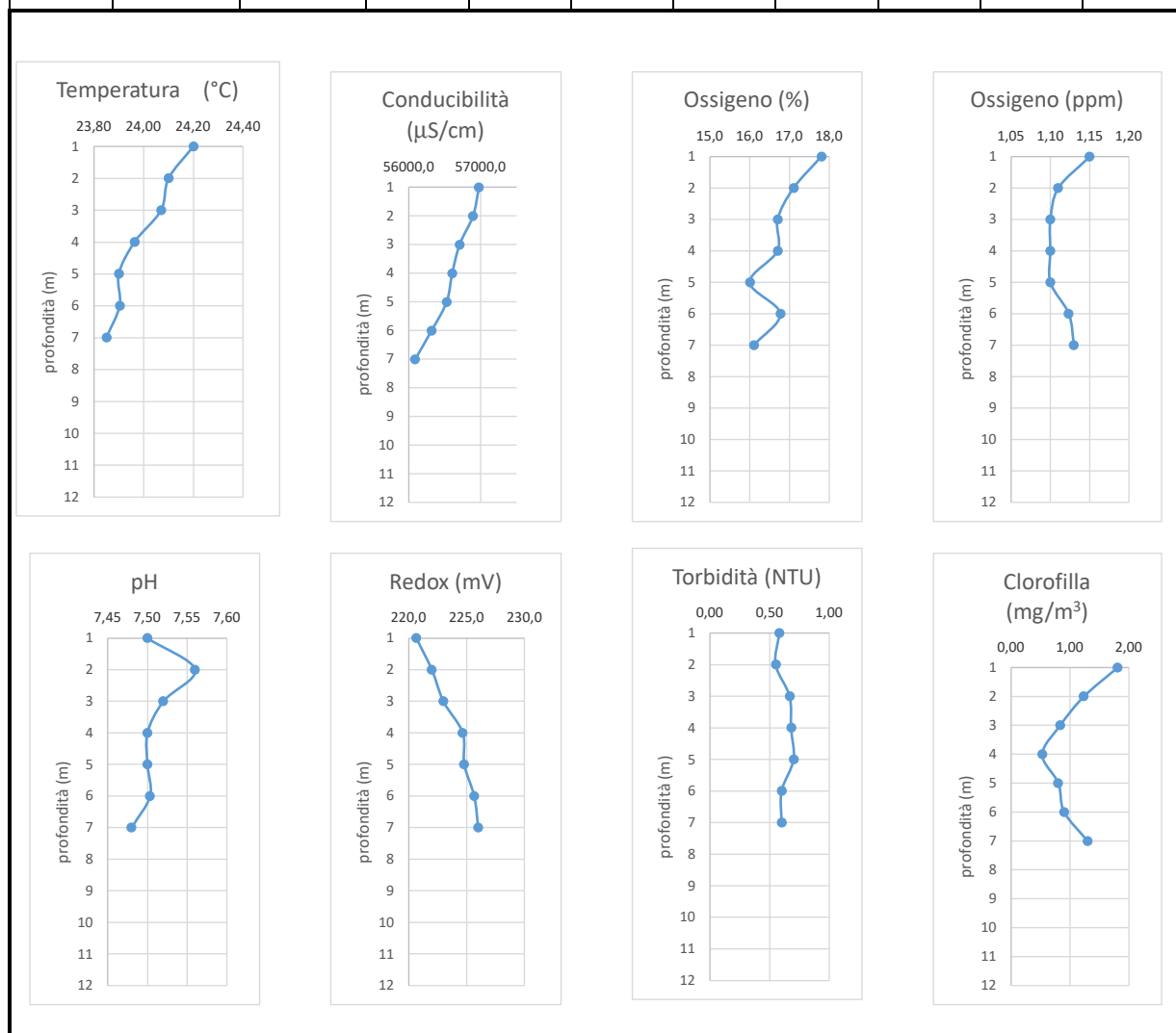
| ST07 – 14/09/2021 10:00 |             |               |          |          |      |                   |           |                   |                    |                   |
|-------------------------|-------------|---------------|----------|----------|------|-------------------|-----------|-------------------|--------------------|-------------------|
| Profondità              | Temperatura | Conducibilità | Ossigeno | Ossigeno | pH   | Potenziale Red-ox | Torbidità | Clorofilla 'a'    | direzione corrente | velocità corrente |
| m                       | °C          | µS/cm         | %        | ppm      | -    | mV                | NTU       | mg/m <sup>3</sup> | -                  | m/s               |
| 1                       | 24,81       | 57464,0       | 18,80    | 1,37     | 7,72 | 238,0             | 0,53      | 1,70              | NW                 | 0,1               |
| 2                       | 24,79       | 57412,0       | 17,00    | 1,23     | 7,74 | 239,0             | 0,57      | 1,13              |                    |                   |
| 3                       | 24,75       | 57356,0       | 17,40    | 1,07     | 7,74 | 240,0             | 0,50      | 0,37              |                    |                   |
| 4                       | 24,62       | 57278,0       | 16,00    | 0,93     | 7,74 | 240,7             | 0,53      | 0,93              |                    |                   |
| 5                       | 24,61       | 57066,0       | 17,74    | 1,17     | 7,72 | 241,0             | 0,53      | 1,50              |                    |                   |
| 6                       | 24,42       | 56959,0       | 15,32    | 1,01     | 7,73 | 242,0             | 0,70      | 0,67              |                    |                   |
| 7                       | 24,33       | 56851,0       | 15,80    | 1,12     | 7,72 | 242,0             | 0,65      | 0,70              |                    |                   |
| 8                       | 24,26       | 56742,0       | 13,55    | 0,93     | 7,72 | 243,0             | 0,67      | 1,55              |                    |                   |
| 9                       | 24,21       | 56560,0       | 13,28    | 0,99     | 7,71 | 243,0             | 0,85      | 1,43              |                    |                   |
| 10                      | 24,03       | 56468,0       | 12,91    | 0,87     | 7,71 | 244,0             | 1,55      | 1,11              |                    |                   |
| 11                      | 23,89       | 56210,0       | 13,50    | 0,92     | 7,71 | 244,0             | 1,95      | 0,89              |                    |                   |



| ST08 – 14/09/2021 09:30 |             |               |          |          |      |                   |           |                   |                    |                   |
|-------------------------|-------------|---------------|----------|----------|------|-------------------|-----------|-------------------|--------------------|-------------------|
| Profondità              | Temperatura | Conducibilità | Ossigeno | Ossigeno | pH   | Potenziale Red-ox | Torbidità | Clorofilla 'a'    | direzione corrente | velocità corrente |
| m                       | °C          | μS/cm         | %        | ppm      | -    | mV                | NTU       | mg/m <sup>3</sup> | -                  | m/s               |
| 1                       | 24,79       | 57412         | 19,36    | 1,45     | 7,74 | 237,8             | 0,58      | 1,63              | NW                 | 0,1               |
| 2                       | 24,76       | 57236         | 18,06    | 1,42     | 7,73 | 239,4             | 0,80      | 1,63              |                    |                   |
| 3                       | 24,73       | 57172         | 18,94    | 1,40     | 7,73 | 240               | 0,80      | 0,87              |                    |                   |
| 4                       | 24,71       | 57070         | 18,14    | 1,40     | 7,72 | 240,4             | 0,90      | 0,80              |                    |                   |
| 5                       | 24,65       | 56862         | 18,04    | 1,40     | 7,71 | 240,2             | 0,90      | 0,70              |                    |                   |
| 6                       | 24,62       | 56756         | 18,94    | 1,40     | 7,71 | 240,8             | 0,80      | 0,77              |                    |                   |
| 7                       | 24,46       | 56674         | 18,66    | 1,40     | 7,71 | 240,5             | 0,80      | 1,57              |                    |                   |
| 8                       | 24,41       | 56524         | 18,50    | 1,39     | 7,71 | 240,2             | 0,80      | 1,82              |                    |                   |
| 9                       | 24,32       | 56505         | 18,42    | 1,38     | 7,71 | 240,2             | 1,83      | 1,23              |                    |                   |
| 10                      | 24,14       | 56221         | 18,30    | 1,35     | 7,70 | 240,2             | 1,87      | 1,41              |                    |                   |

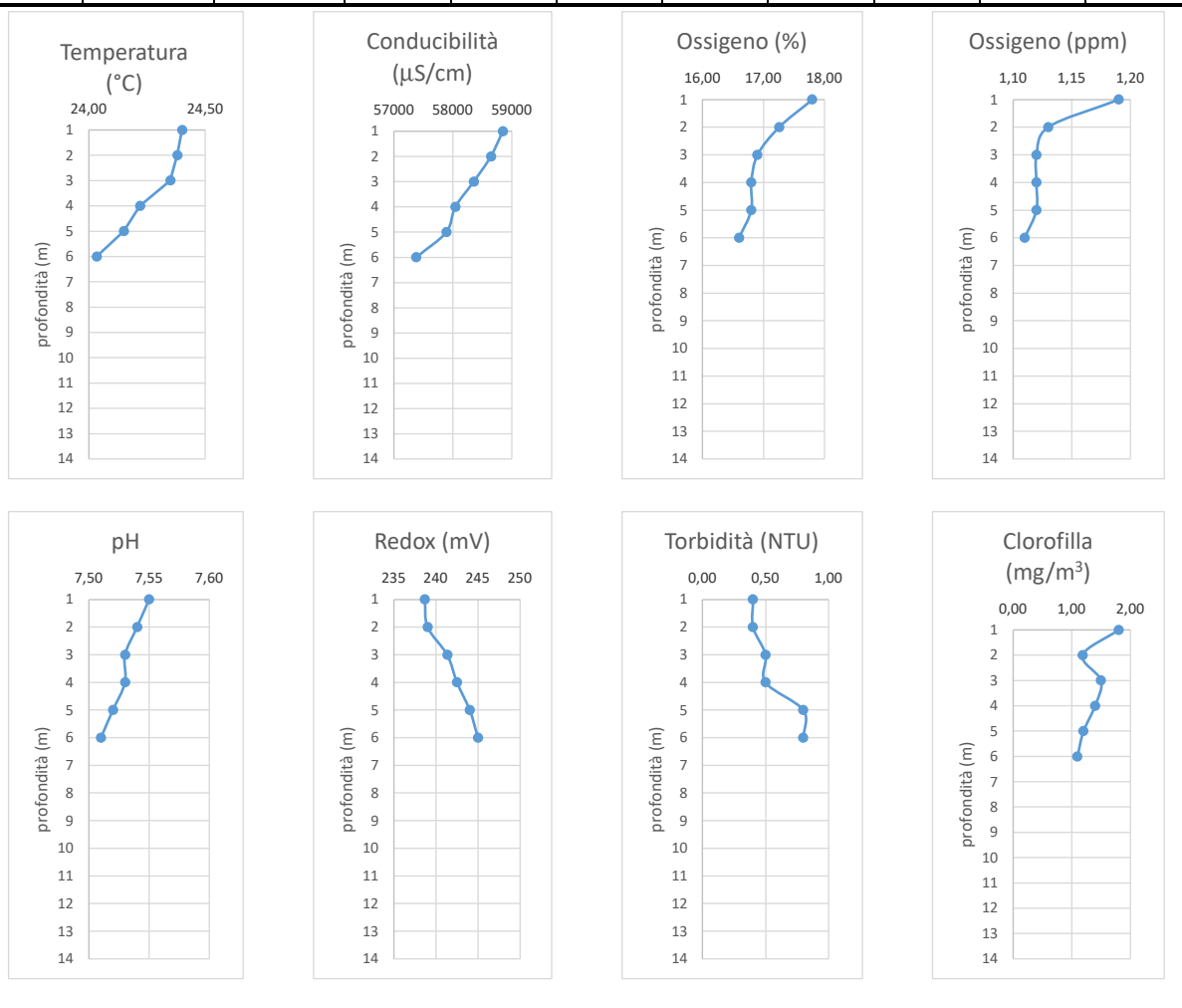


| ST01 - 16/09/2021 11:30 |             |               |          |          |      |                   |           |                   |                    |                   |
|-------------------------|-------------|---------------|----------|----------|------|-------------------|-----------|-------------------|--------------------|-------------------|
| Profondità              | Temperatura | Conducibilità | Ossigeno | Ossigeno | pH   | Potenziale Red-ox | Torbidità | Clorofilla 'a'    | direzione corrente | velocità corrente |
| m                       | °C          | µS/cm         | %        | ppm      | -    | mV                | NTU       | mg/m <sup>3</sup> | -                  | m/s               |
| 1                       | 24,20       | 56976,3       | 17,80    | 1,15     | 7,50 | 220,7             | 0,58      | 1,81              | NW                 | 0,1               |
| 2                       | 24,10       | 56895,0       | 17,10    | 1,11     | 7,56 | 222,0             | 0,55      | 1,23              |                    |                   |
| 3                       | 24,07       | 56709,5       | 16,70    | 1,10     | 7,52 | 223,0             | 0,67      | 0,83              |                    |                   |
| 4                       | 23,96       | 56607,5       | 16,70    | 1,10     | 7,50 | 224,7             | 0,68      | 0,53              |                    |                   |
| 5                       | 23,90       | 56529,3       | 16,00    | 1,10     | 7,50 | 224,8             | 0,70      | 0,80              |                    |                   |
| 6                       | 23,90       | 56320,5       | 16,77    | 1,12     | 7,50 | 225,7             | 0,60      | 0,90              |                    |                   |
| 7                       | 23,85       | 56090,6       | 16,10    | 1,13     | 7,48 | 226,0             | 0,60      | 1,30              |                    |                   |
|                         |             |               |          |          |      |                   |           |                   |                    |                   |
|                         |             |               |          |          |      |                   |           |                   |                    |                   |
|                         |             |               |          |          |      |                   |           |                   |                    |                   |
|                         |             |               |          |          |      |                   |           |                   |                    |                   |
|                         |             |               |          |          |      |                   |           |                   |                    |                   |
|                         |             |               |          |          |      |                   |           |                   |                    |                   |

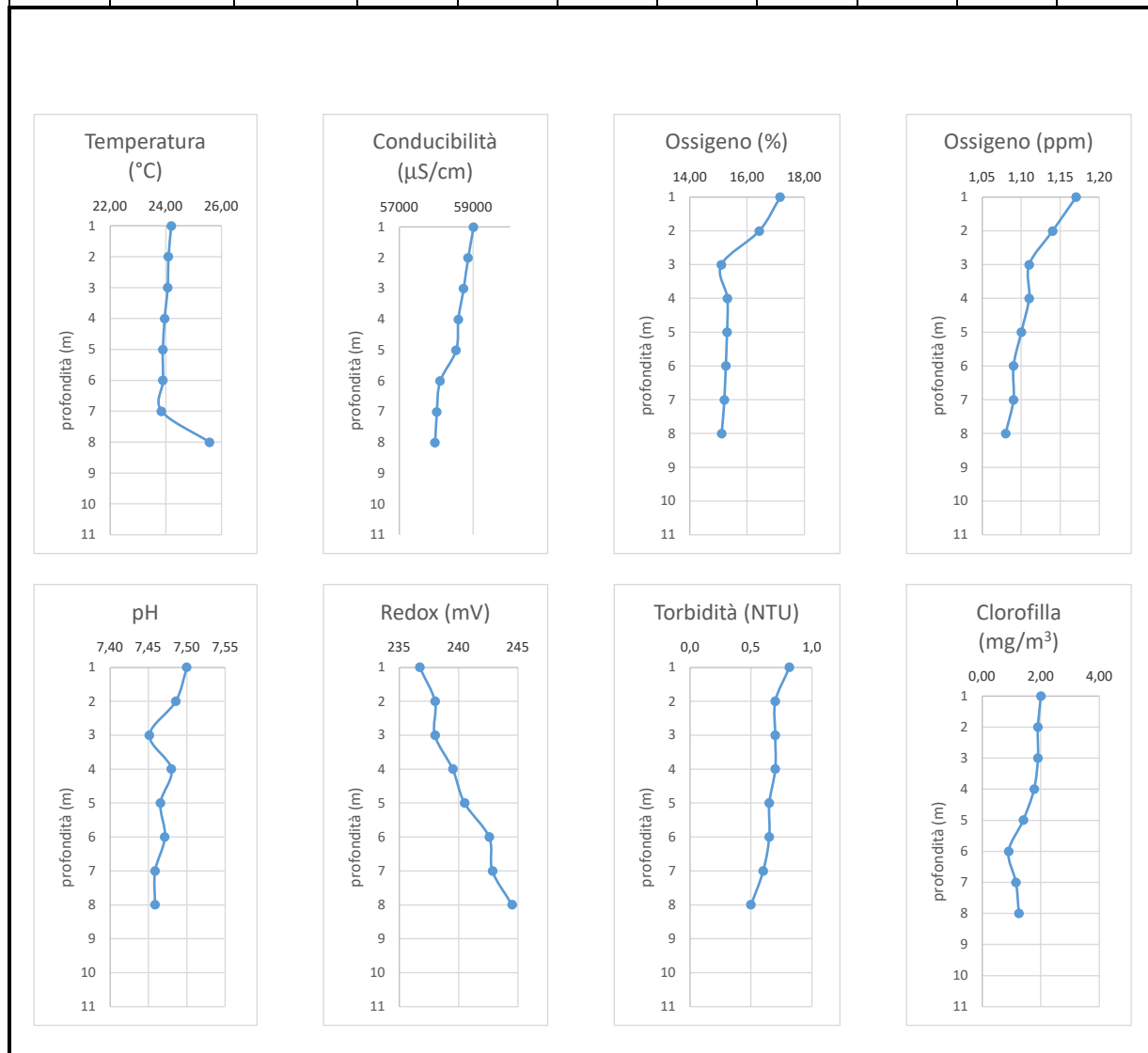


**ST02 - 16/09/2021 11:00**

| Profondità | Temperatura | Conducibilità | Ossigeno | Ossigeno | pH   | Potenziale Red-ox | Torbidità | Clorofilla 'a'    | direzione corrente | velocità corrente |
|------------|-------------|---------------|----------|----------|------|-------------------|-----------|-------------------|--------------------|-------------------|
| m          | °C          | μS/cm         | %        | ppm      | -    | mV                | NTU       | mg/m <sup>3</sup> | -                  | m/s               |
| 1          | 24,40       | 58846,7       | 17,80    | 1,19     | 7,55 | 238,7             | 0,40      | 1,80              | NW                 | 0,1               |
| 2          | 24,38       | 58642,0       | 17,26    | 1,13     | 7,54 | 239,0             | 0,40      | 1,19              |                    |                   |
| 3          | 24,35       | 58351,0       | 16,90    | 1,12     | 7,53 | 241,3             | 0,50      | 1,50              |                    |                   |
| 4          | 24,22       | 58040,0       | 16,80    | 1,12     | 7,53 | 242,5             | 0,50      | 1,40              |                    |                   |
| 5          | 24,15       | 57886,0       | 16,80    | 1,12     | 7,52 | 244,0             | 0,80      | 1,20              |                    |                   |
| 6          | 24,03       | 57376,3       | 16,60    | 1,11     | 7,51 | 245,0             | 0,80      | 1,10              |                    |                   |
|            |             |               |          |          |      |                   |           |                   |                    |                   |
|            |             |               |          |          |      |                   |           |                   |                    |                   |
|            |             |               |          |          |      |                   |           |                   |                    |                   |
|            |             |               |          |          |      |                   |           |                   |                    |                   |
|            |             |               |          |          |      |                   |           |                   |                    |                   |
|            |             |               |          |          |      |                   |           |                   |                    |                   |
|            |             |               |          |          |      |                   |           |                   |                    |                   |
|            |             |               |          |          |      |                   |           |                   |                    |                   |
|            |             |               |          |          |      |                   |           |                   |                    |                   |
|            |             |               |          |          |      |                   |           |                   |                    |                   |
|            |             |               |          |          |      |                   |           |                   |                    |                   |
|            |             |               |          |          |      |                   |           |                   |                    |                   |
|            |             |               |          |          |      |                   |           |                   |                    |                   |
|            |             |               |          |          |      |                   |           |                   |                    |                   |
|            |             |               |          |          |      |                   |           |                   |                    |                   |

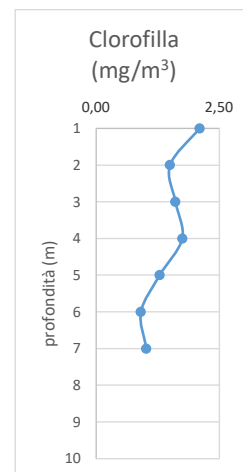
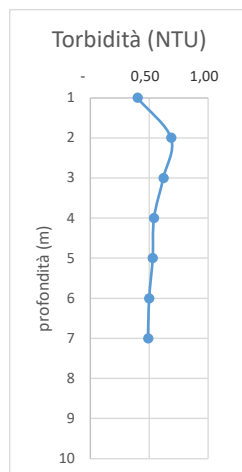
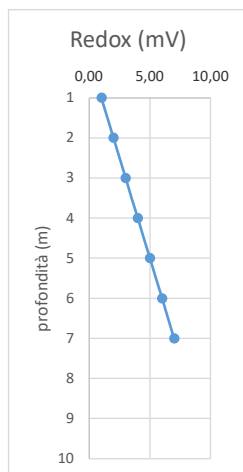
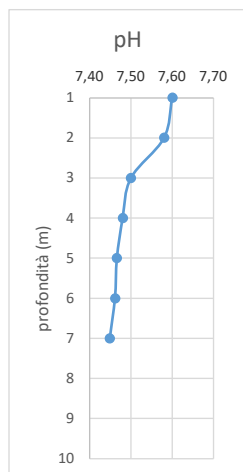
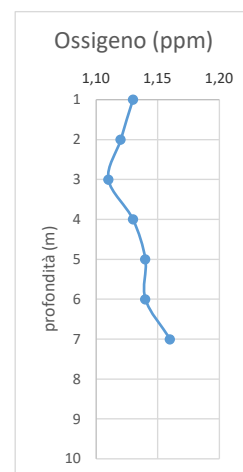
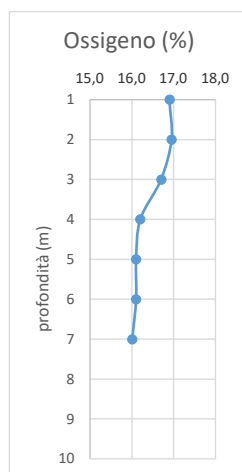
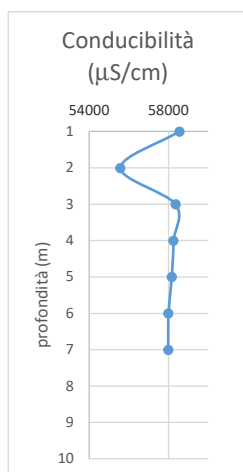
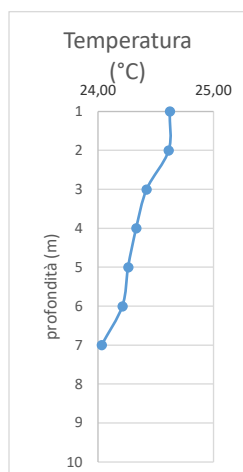


| ST03 – 16/09/2021 10:30 |             |               |          |          |      |                   |           |                   |                    |                   |
|-------------------------|-------------|---------------|----------|----------|------|-------------------|-----------|-------------------|--------------------|-------------------|
| Profondità              | Temperatura | Conducibilità | Ossigeno | Ossigeno | pH   | Potenziale Red-ox | Torbidità | Clorofilla 'a'    | direzione corrente | velocità corrente |
| m                       | °C          | μS/cm         | %        | ppm      | -    | mV                | NTU       | mg/m <sup>3</sup> | -                  | m/s               |
| 1                       | 24,20       | 59012         | 17,16    | 1,17     | 7,50 | 237               | 0,8       | 2,0               | NW                 | 0,1               |
| 2                       | 24,10       | 58866         | 16,43    | 1,14     | 7,49 | 238               | 0,7       | 1,9               |                    |                   |
| 3                       | 24,07       | 58744         | 15,10    | 1,11     | 7,45 | 238               | 0,7       | 1,9               |                    |                   |
| 4                       | 23,96       | 58601         | 15,31    | 1,11     | 7,48 | 240               | 0,7       | 1,8               |                    |                   |
| 5                       | 23,90       | 58540         | 15,30    | 1,10     | 7,47 | 241               | 0,65      | 1,4               |                    |                   |
| 6                       | 23,90       | 58110         | 15,26    | 1,09     | 7,47 | 243               | 0,65      | 0,90              |                    |                   |
| 7                       | 23,85       | 58017         | 15,21    | 1,09     | 7,46 | 243               | 0,60      | 1,15              |                    |                   |
| 8                       | 25,58       | 57971         | 15,11    | 1,08     | 7,46 | 245               | 0,50      | 1,25              |                    |                   |
|                         |             |               |          |          |      |                   |           |                   |                    |                   |
|                         |             |               |          |          |      |                   |           |                   |                    |                   |
|                         |             |               |          |          |      |                   |           |                   |                    |                   |



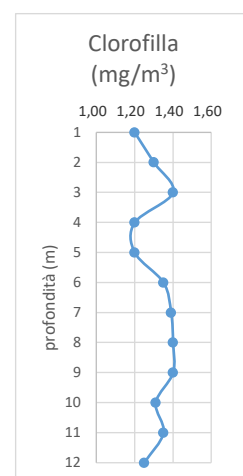
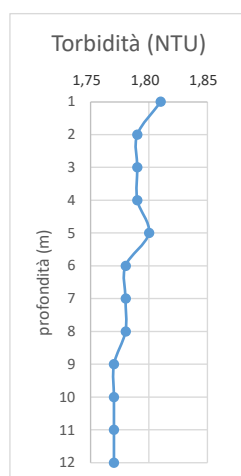
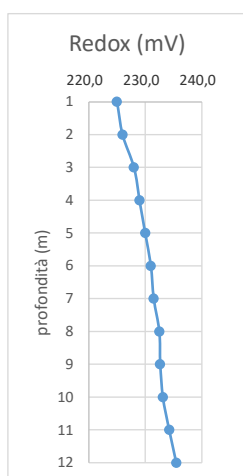
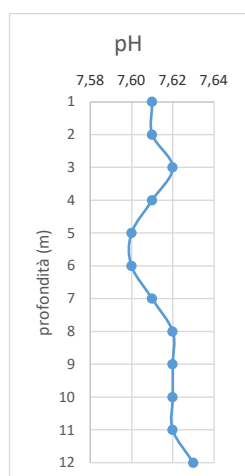
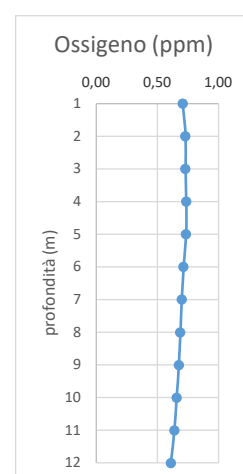
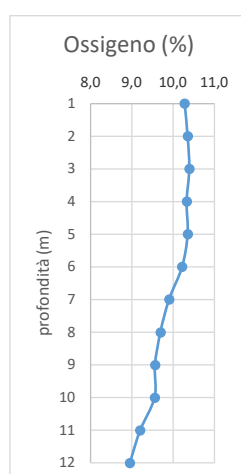
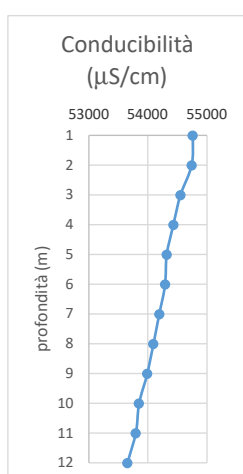
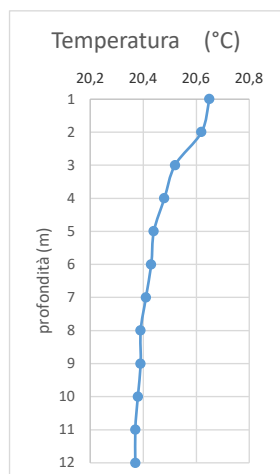


| ST04 – 16/09/2021 10:00 |             |               |          |          |      |                   |           |                   |                    |                   |
|-------------------------|-------------|---------------|----------|----------|------|-------------------|-----------|-------------------|--------------------|-------------------|
| Profondità              | Temperatura | Conducibilità | Ossigeno | Ossigeno | pH   | Potenziale Red-ox | Torbidità | Clorofilla 'a'    | direzione corrente | velocità corrente |
| m                       | °C          | μS/cm         | %        | ppm      | -    | mV                | NTU       | mg/m <sup>3</sup> | -                  | m/s               |
| 1                       | 24,60       | 58550         | 16,90    | 1,13     | 7,60 | 236,5             | 0,40      | 2,10              | NW                 | 0,1               |
| 2                       | 24,50       | 55575         | 16,95    | 1,12     | 7,58 | 238,0             | 0,69      | 1,50              |                    |                   |
| 3                       | 24,40       | 58360         | 16,70    | 1,11     | 7,50 | 239,5             | 0,62      | 1,61              |                    |                   |
| 4                       | 24,40       | 58255         | 16,20    | 1,13     | 7,48 | 240,0             | 0,54      | 1,75              |                    |                   |
| 5                       | 24,30       | 58160         | 16,10    | 1,14     | 7,47 | 242,0             | 0,53      | 1,29              |                    |                   |
| 6                       | 24,20       | 57995         | 16,10    | 1,14     | 7,46 | 242,5             | 0,50      | 0,91              |                    |                   |
| 7                       | 24,05       | 57985         | 16,01    | 1,16     | 7,45 | 244,0             | 0,49      | 1,02              |                    |                   |
|                         |             |               |          |          |      |                   |           |                   |                    |                   |
|                         |             |               |          |          |      |                   |           |                   |                    |                   |
|                         |             |               |          |          |      |                   |           |                   |                    |                   |



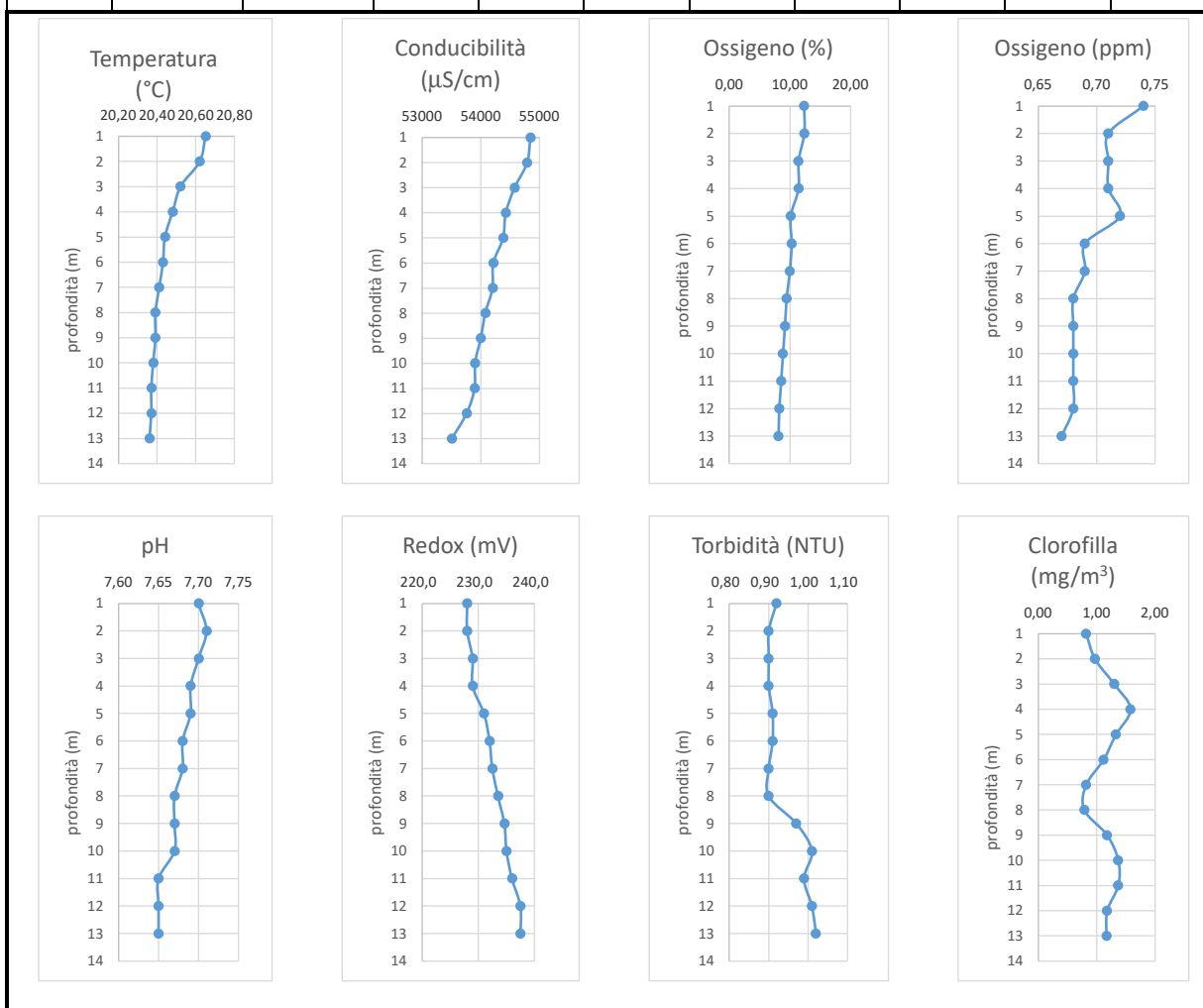
**ST05 - 19/10/2021 10:30**

| Profondità | Temperatura | Conducibilità | Ossigeno | Ossigeno | pH   | Potenziale Red-ox | Torbidità | Clorofilla 'a'    | direzione corrente | velocità corrente |
|------------|-------------|---------------|----------|----------|------|-------------------|-----------|-------------------|--------------------|-------------------|
| m          | °C          | μS/cm         | %        | ppm      | -    | mV                | NTU       | mg/m <sup>3</sup> | -                  | m/s               |
| 1          | 20,65       | 54761,0       | 10,28    | 0,71     | 7,61 | 225,0             | 1,81      | 1,20              | SE                 | 0,1               |
| 2          | 20,62       | 54742,0       | 10,35    | 0,73     | 7,61 | 226,0             | 1,79      | 1,30              |                    |                   |
| 3          | 20,52       | 54552,0       | 10,39    | 0,73     | 7,62 | 228,0             | 1,79      | 1,40              |                    |                   |
| 4          | 20,48       | 54432,0       | 10,33    | 0,74     | 7,61 | 229,0             | 1,79      | 1,20              |                    |                   |
| 5          | 20,44       | 54321,0       | 10,35    | 0,74     | 7,60 | 230,0             | 1,80      | 1,20              |                    |                   |
| 6          | 20,43       | 54294,0       | 10,21    | 0,71     | 7,60 | 231,0             | 1,78      | 1,35              |                    |                   |
| 7          | 20,41       | 54195,0       | 9,90     | 0,70     | 7,61 | 231,5             | 1,78      | 1,39              |                    |                   |
| 8          | 20,39       | 54095,0       | 9,69     | 0,69     | 7,62 | 232,5             | 1,78      | 1,40              |                    |                   |
| 9          | 20,39       | 53991,0       | 9,56     | 0,68     | 7,62 | 232,7             | 1,77      | 1,40              |                    |                   |
| 10         | 20,38       | 53852,0       | 9,55     | 0,66     | 7,62 | 233,1             | 1,77      | 1,31              |                    |                   |
| 11         | 20,37       | 53796,0       | 9,20     | 0,64     | 7,62 | 234,3             | 1,77      | 1,35              |                    |                   |
| 12         | 20,37       | 53655,0       | 8,95     | 0,61     | 7,63 | 235,5             | 1,77      | 1,25              |                    |                   |

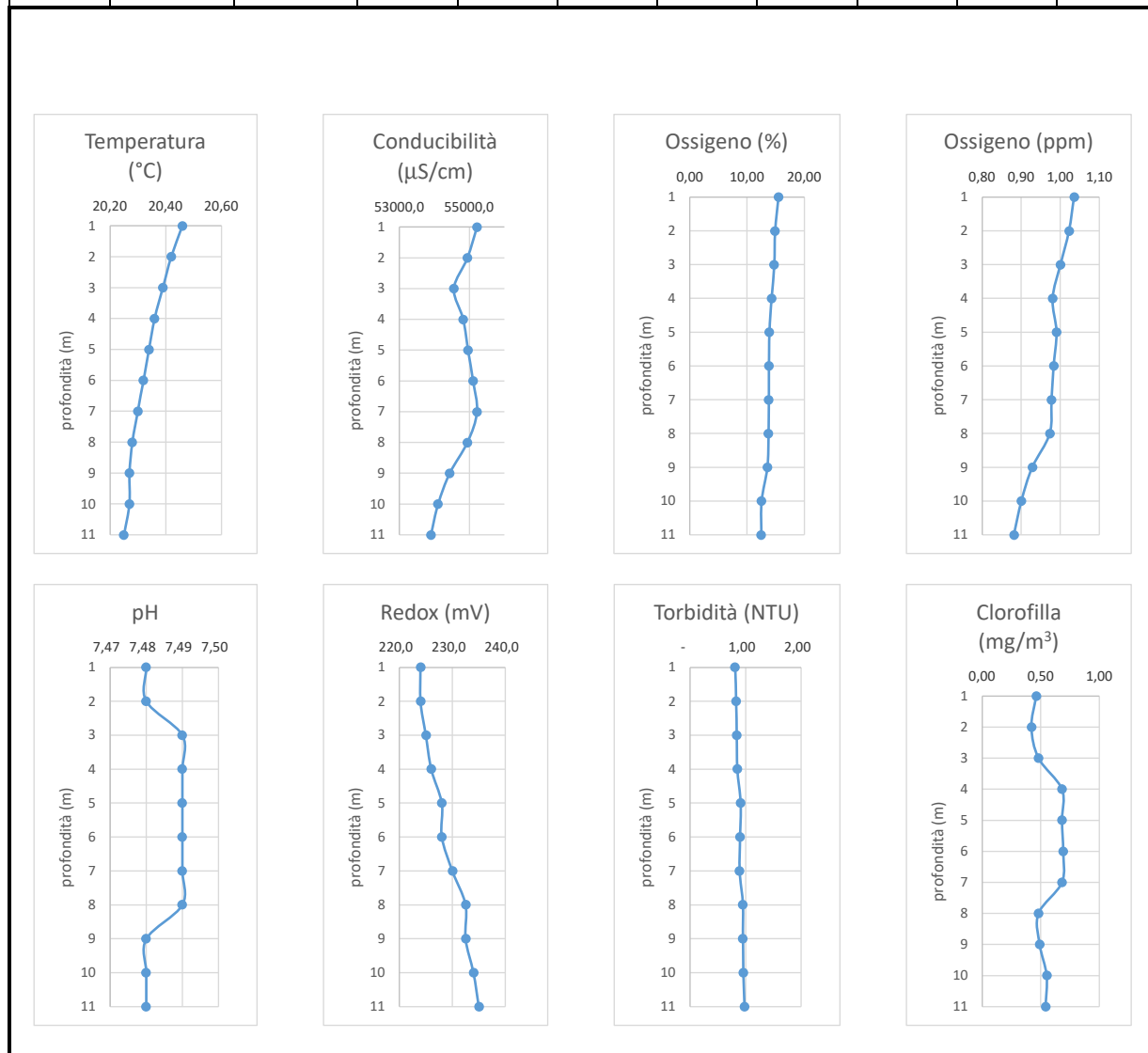


**ST06 - 19/10/2021 10:00**

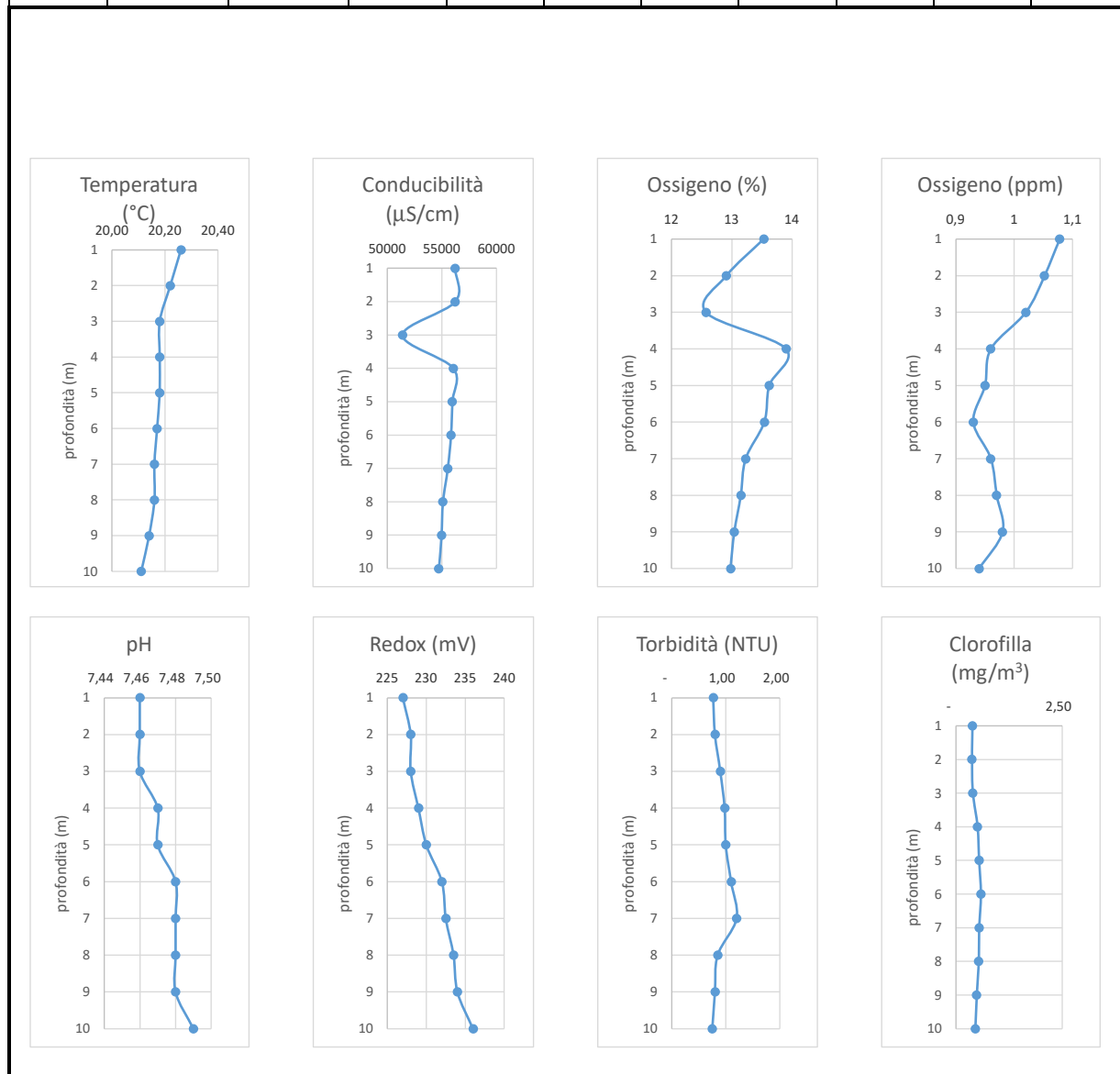
| Profondità | Temperatura | Conducibilità | Ossigeno | Ossigeno | pH   | Potenziale Red-ox | Torbidità | Clorofilla 'a'    | direzione corrente | velocità corrente |
|------------|-------------|---------------|----------|----------|------|-------------------|-----------|-------------------|--------------------|-------------------|
| m          | °C          | μS/cm         | %        | ppm      | -    | mV                | NTU       | mg/m <sup>3</sup> | -                  | m/s               |
| 1          | 20,65       | 54844,0       | 12,33    | 0,74     | 7,70 | 228,0             | 0,92      | 0,82              | SE                 | 0,1               |
| 2          | 20,62       | 54787,0       | 12,38    | 0,71     | 7,71 | 228,0             | 0,90      | 0,97              |                    |                   |
| 3          | 20,52       | 54574,0       | 11,41    | 0,71     | 7,70 | 229,0             | 0,90      | 1,30              |                    |                   |
| 4          | 20,48       | 54423,0       | 11,43    | 0,71     | 7,69 | 229,0             | 0,90      | 1,58              |                    |                   |
| 5          | 20,44       | 54378,0       | 10,13    | 0,72     | 7,69 | 231,0             | 0,91      | 1,33              |                    |                   |
| 6          | 20,43       | 54211,0       | 10,29    | 0,69     | 7,68 | 232,0             | 0,91      | 1,12              |                    |                   |
| 7          | 20,41       | 54199,0       | 9,98     | 0,69     | 7,68 | 232,5             | 0,90      | 0,82              |                    |                   |
| 8          | 20,39       | 54075,0       | 9,44     | 0,68     | 7,67 | 233,5             | 0,90      | 0,79              |                    |                   |
| 9          | 20,39       | 53998,0       | 9,19     | 0,68     | 7,67 | 234,7             | 0,97      | 1,18              |                    |                   |
| 10         | 20,38       | 53901,0       | 8,85     | 0,68     | 7,67 | 235,0             | 1,01      | 1,37              |                    |                   |
| 11         | 20,37       | 53891,0       | 8,55     | 0,68     | 7,65 | 236,0             | 0,99      | 1,37              |                    |                   |
| 12         | 20,37       | 53756,0       | 8,25     | 0,68     | 7,65 | 237,5             | 1,01      | 1,18              |                    |                   |
| 13         | 20,36       | 53503,9       | 8,13     | 0,67     | 7,65 | 237,5             | 1,02      | 1,17              |                    |                   |



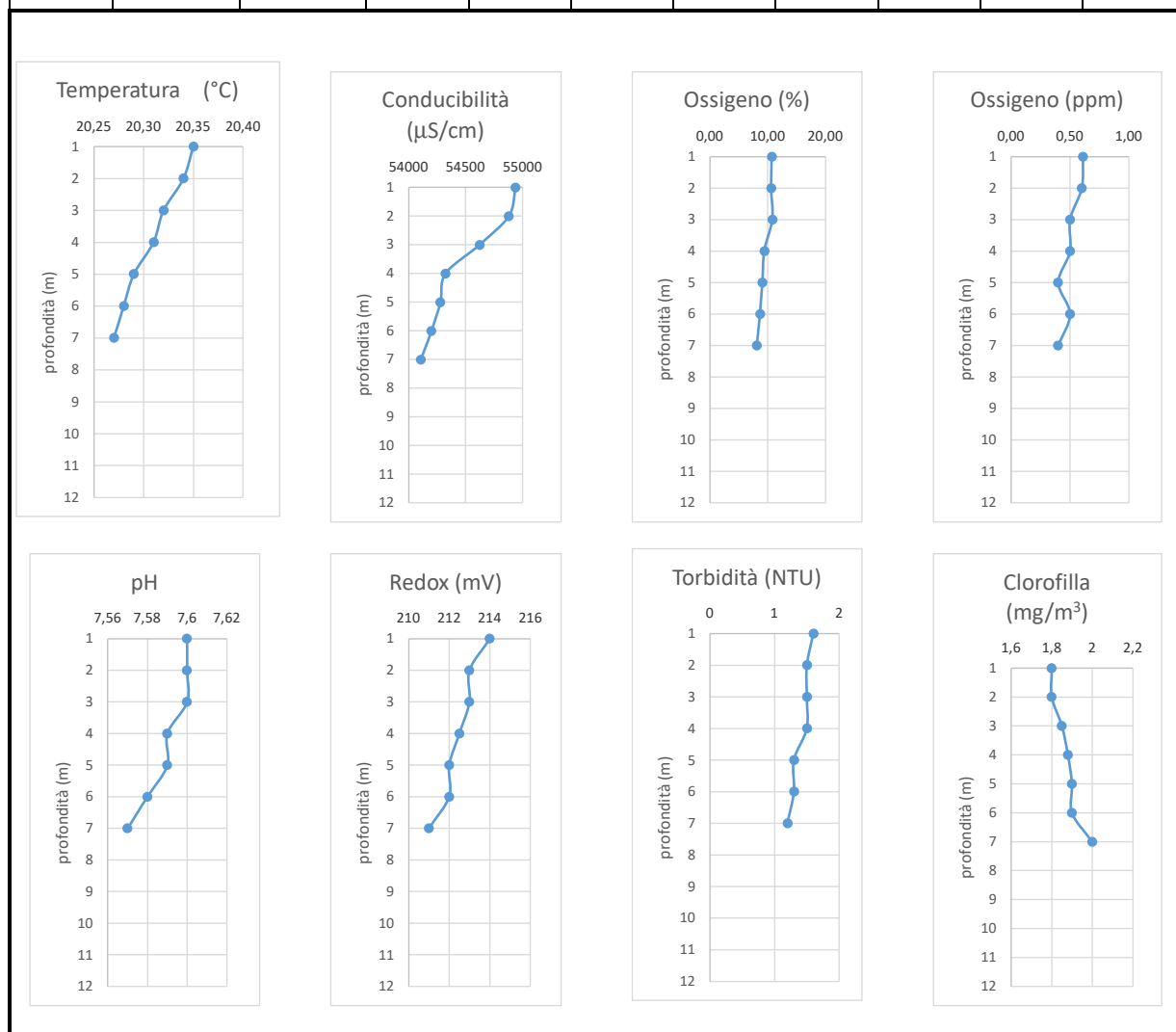
| ST07 – 19/10/2021 09:30 |             |               |          |          |      |                   |           |                   |                    |                   |
|-------------------------|-------------|---------------|----------|----------|------|-------------------|-----------|-------------------|--------------------|-------------------|
| Profondità              | Temperatura | Conducibilità | Ossigeno | Ossigeno | pH   | Potenziale Red-ox | Torbidità | Clorofilla 'a'    | direzione corrente | velocità corrente |
| m                       | °C          | µS/cm         | %        | ppm      | -    | mV                | NTU       | mg/m <sup>3</sup> | -                  | m/s               |
| 1                       | 20,46       | 55220,0       | 15,50    | 1,04     | 7,48 | 224,0             | 0,81      | 0,46              | SE                 | 0,1               |
| 2                       | 20,42       | 54947,6       | 14,90    | 1,02     | 7,48 | 224,0             | 0,83      | 0,42              |                    |                   |
| 3                       | 20,39       | 54559,4       | 14,75    | 1,00     | 7,49 | 225,0             | 0,84      | 0,48              |                    |                   |
| 4                       | 20,36       | 54826,7       | 14,28    | 0,98     | 7,49 | 226,0             | 0,85      | 0,68              |                    |                   |
| 5                       | 20,34       | 54962,7       | 13,91    | 0,99     | 7,49 | 228,0             | 0,91      | 0,68              |                    |                   |
| 6                       | 20,32       | 55109,1       | 13,82    | 0,98     | 7,49 | 228,0             | 0,90      | 0,69              |                    |                   |
| 7                       | 20,30       | 55220,0       | 13,80    | 0,98     | 7,49 | 230,0             | 0,89      | 0,68              |                    |                   |
| 8                       | 20,28       | 54947,6       | 13,73    | 0,97     | 7,49 | 232,5             | 0,95      | 0,48              |                    |                   |
| 9                       | 20,27       | 54440,6       | 13,55    | 0,93     | 7,48 | 232,5             | 0,95      | 0,49              |                    |                   |
| 10                      | 20,27       | 54107,3       | 12,52    | 0,90     | 7,48 | 234,0             | 0,96      | 0,55              |                    |                   |
| 11                      | 20,25       | 53908,5       | 12,49    | 0,88     | 7,48 | 235,0             | 0,98      | 0,54              |                    |                   |



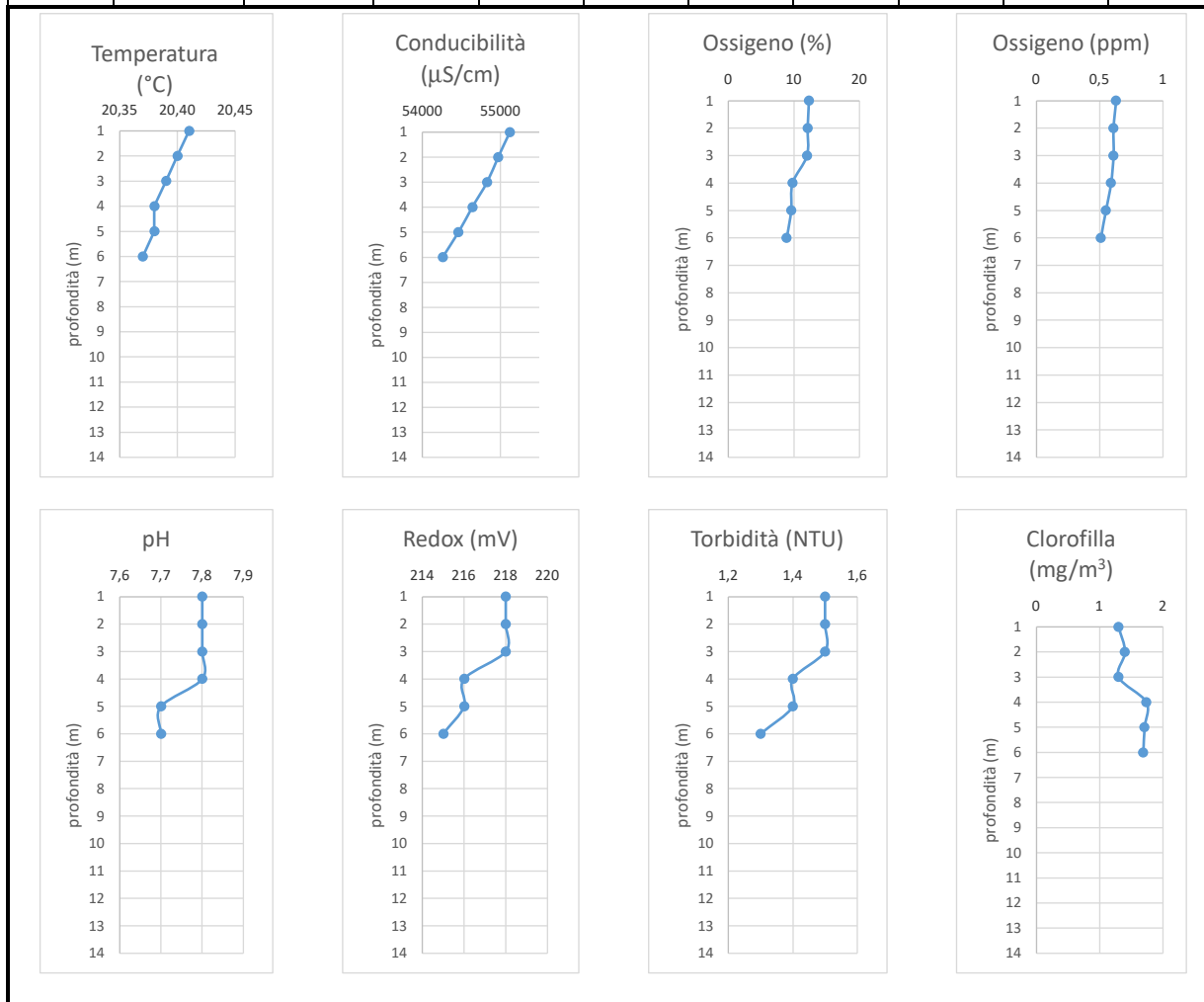
| ST08 – 19/10/2021 09:00 |             |               |          |          |      |                   |           |                   |                    |                   |
|-------------------------|-------------|---------------|----------|----------|------|-------------------|-----------|-------------------|--------------------|-------------------|
| Profondità              | Temperatura | Conducibilità | Ossigeno | Ossigeno | pH   | Potenziale Red-ox | Torbidità | Clorofilla 'a'    | direzione corrente | velocità corrente |
| m                       | °C          | µS/cm         | %        | ppm      | -    | mV                | NTU       | mg/m <sup>3</sup> | -                  | m/s               |
| 1                       | 20,26       | 56220         | 13,53    | 1,078    | 7,46 | 227,0             | 0,77      | 0,39              | SE                 | 0,1               |
| 2                       | 20,22       | 56230         | 12,91    | 1,052    | 7,46 | 228,0             | 0,80      | 0,38              |                    |                   |
| 3                       | 20,18       | 51407         | 12,57    | 1,02     | 7,46 | 228,0             | 0,90      | 0,40              |                    |                   |
| 4                       | 20,18       | 56057         | 13,9     | 0,96     | 7,47 | 229,0             | 0,98      | 0,51              |                    |                   |
| 5                       | 20,18       | 55953         | 13,62    | 0,95     | 7,47 | 230,0             | 1,00      | 0,55              |                    |                   |
| 6                       | 20,17       | 55836         | 13,54    | 0,93     | 7,48 | 232,0             | 1,10      | 0,59              |                    |                   |
| 7                       | 20,16       | 55547         | 13,23    | 0,96     | 7,48 | 232,5             | 1,20      | 0,55              |                    |                   |
| 8                       | 20,16       | 55098         | 13,15    | 0,97     | 7,48 | 233,5             | 0,85      | 0,54              |                    |                   |
| 9                       | 20,14       | 54976         | 13,04    | 0,98     | 7,48 | 234,0             | 0,80      | 0,49              |                    |                   |
| 10                      | 20,11       | 54718         | 12,98    | 0,94     | 7,49 | 236,0             | 0,75      | 0,46              |                    |                   |



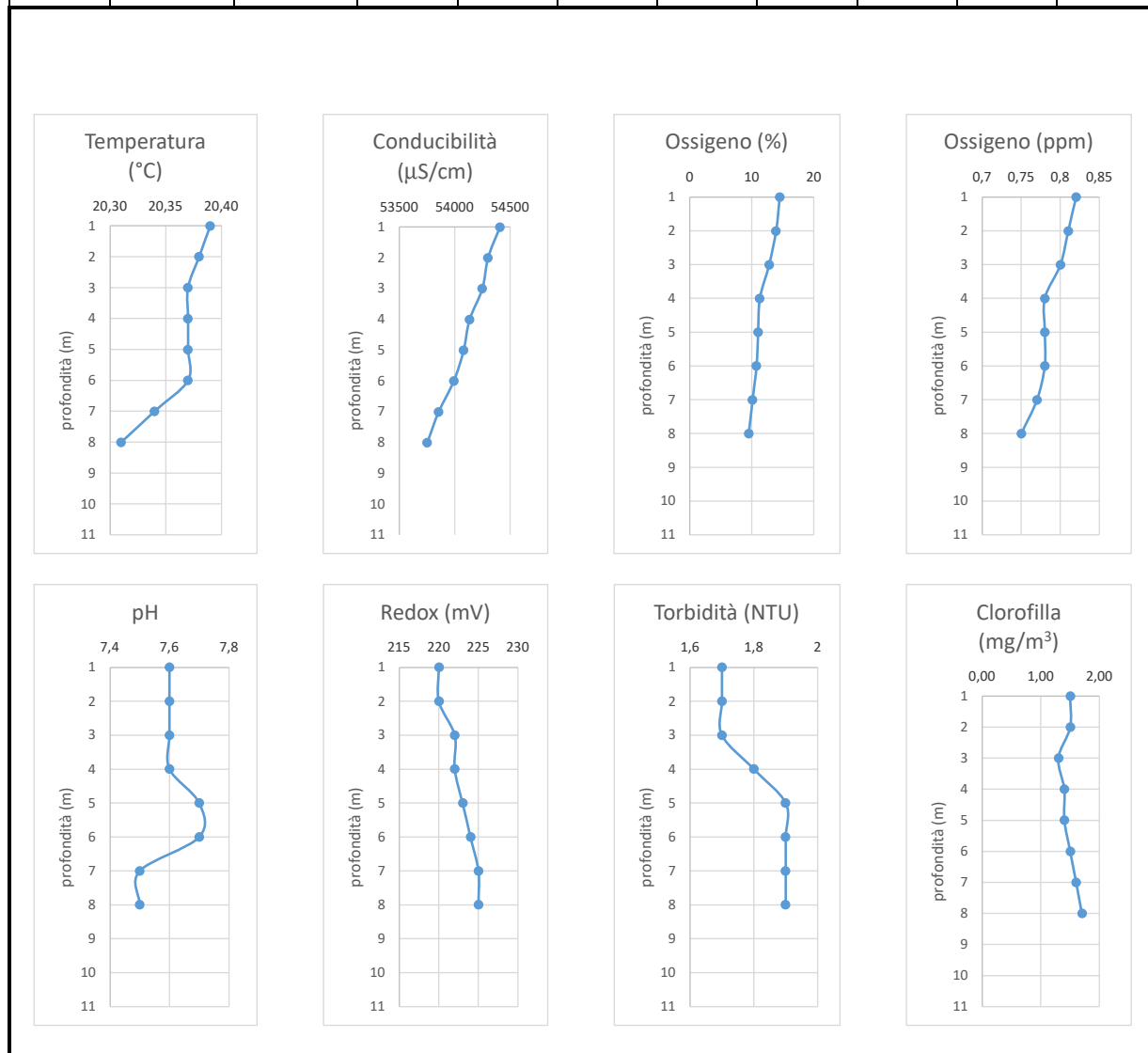
| ST01 - 21/10/2021 11:00 |             |               |          |          |      |                   |           |                   |                    |                   |
|-------------------------|-------------|---------------|----------|----------|------|-------------------|-----------|-------------------|--------------------|-------------------|
| Profondità              | Temperatura | Conducibilità | Ossigeno | Ossigeno | pH   | Potenziale Red-ox | Torbidità | Clorofilla 'a'    | direzione corrente | velocità corrente |
| m                       | °C          | µS/cm         | %        | ppm      | -    | mV                | NTU       | mg/m <sup>3</sup> | -                  | m/s               |
| 1                       | 20,35       | 54940,0       | 10,70    | 0,61     | 7,6  | 214               | 1,6       | 1,8               | NO                 | 0,1               |
| 2                       | 20,34       | 54881,0       | 10,60    | 0,60     | 7,6  | 213               | 1,5       | 1,8               |                    |                   |
| 3                       | 20,32       | 54624,0       | 10,80    | 0,50     | 7,6  | 213               | 1,5       | 1,85              |                    |                   |
| 4                       | 20,31       | 54325,0       | 9,40     | 0,50     | 7,59 | 212,5             | 1,5       | 1,88              |                    |                   |
| 5                       | 20,29       | 54279,0       | 9,07     | 0,40     | 7,59 | 212               | 1,3       | 1,9               |                    |                   |
| 6                       | 20,28       | 54201,0       | 8,67     | 0,50     | 7,58 | 212               | 1,3       | 1,9               |                    |                   |
| 7                       | 20,27       | 54107,0       | 8,10     | 0,40     | 7,57 | 211               | 1,2       | 2                 |                    |                   |
|                         |             |               |          |          |      |                   |           |                   |                    |                   |
|                         |             |               |          |          |      |                   |           |                   |                    |                   |
|                         |             |               |          |          |      |                   |           |                   |                    |                   |
|                         |             |               |          |          |      |                   |           |                   |                    |                   |
|                         |             |               |          |          |      |                   |           |                   |                    |                   |
|                         |             |               |          |          |      |                   |           |                   |                    |                   |



| ST02 - 21/10/2021 10:30 |             |               |          |          |     |                   |           |                   |                    |                   |
|-------------------------|-------------|---------------|----------|----------|-----|-------------------|-----------|-------------------|--------------------|-------------------|
| Profondità              | Temperatura | Conducibilità | Ossigeno | Ossigeno | pH  | Potenziale Red-ox | Torbidità | Clorofilla 'a'    | direzione corrente | velocità corrente |
| m                       | °C          | µS/cm         | %        | ppm      | -   | mV                | NTU       | mg/m <sup>3</sup> | -                  | m/s               |
| 1                       | 20,41       | 55120,0       | 12,3     | 0,63     | 7,8 | 218               | 1,5       | 1,3               | NO                 | 0,1               |
| 2                       | 20,40       | 54970,0       | 12,1     | 0,61     | 7,8 | 218               | 1,5       | 1,4               |                    |                   |
| 3                       | 20,39       | 54829,0       | 12       | 0,61     | 7,8 | 218               | 1,5       | 1,3               |                    |                   |
| 4                       | 20,38       | 54641,0       | 9,8      | 0,59     | 7,8 | 216               | 1,4       | 1,74              |                    |                   |
| 5                       | 20,38       | 54461,0       | 9,6      | 0,55     | 7,7 | 216               | 1,4       | 1,71              |                    |                   |
| 6                       | 20,37       | 54260,0       | 8,9      | 0,51     | 7,7 | 215               | 1,3       | 1,69              |                    |                   |
|                         |             |               |          |          |     |                   |           |                   |                    |                   |
|                         |             |               |          |          |     |                   |           |                   |                    |                   |
|                         |             |               |          |          |     |                   |           |                   |                    |                   |
|                         |             |               |          |          |     |                   |           |                   |                    |                   |
|                         |             |               |          |          |     |                   |           |                   |                    |                   |
|                         |             |               |          |          |     |                   |           |                   |                    |                   |
|                         |             |               |          |          |     |                   |           |                   |                    |                   |
|                         |             |               |          |          |     |                   |           |                   |                    |                   |
|                         |             |               |          |          |     |                   |           |                   |                    |                   |
|                         |             |               |          |          |     |                   |           |                   |                    |                   |
|                         |             |               |          |          |     |                   |           |                   |                    |                   |
|                         |             |               |          |          |     |                   |           |                   |                    |                   |
|                         |             |               |          |          |     |                   |           |                   |                    |                   |



| ST03 – 21/10/2021 10:00 |             |               |          |          |     |                   |           |                   |                    |                   |
|-------------------------|-------------|---------------|----------|----------|-----|-------------------|-----------|-------------------|--------------------|-------------------|
| Profondità              | Temperatura | Conducibilità | Ossigeno | Ossigeno | pH  | Potenziale Red-ox | Torbidità | Clorofilla 'a'    | direzione corrente | velocità corrente |
| m                       | °C          | μS/cm         | %        | ppm      | -   | mV                | NTU       | mg/m <sup>3</sup> | -                  | m/s               |
| 1                       | 20,39       | 54410         | 14,5     | 0,82     | 7,6 | 220               | 1,7       | 1,5               | NO                 | 0,1               |
| 2                       | 20,38       | 54301         | 13,9     | 0,81     | 7,6 | 220               | 1,7       | 1,5               |                    |                   |
| 3                       | 20,37       | 54250         | 12,8     | 0,8      | 7,6 | 222               | 1,7       | 1,3               |                    |                   |
| 4                       | 20,37       | 54135         | 11,28    | 0,78     | 7,6 | 222               | 1,8       | 1,4               |                    |                   |
| 5                       | 20,37       | 54081         | 11,02    | 0,78     | 7,7 | 223               | 1,9       | 1,4               |                    |                   |
| 6                       | 20,37       | 53993         | 10,75    | 0,78     | 7,7 | 224               | 1,9       | 1,5               |                    |                   |
| 7                       | 20,34       | 53856         | 10,12    | 0,77     | 7,5 | 225               | 1,9       | 1,6               |                    |                   |
| 8                       | 20,31       | 53753         | 9,50     | 0,75     | 7,5 | 225               | 1,9       | 1,7               |                    |                   |
|                         |             |               |          |          |     |                   |           |                   |                    |                   |
|                         |             |               |          |          |     |                   |           |                   |                    |                   |
|                         |             |               |          |          |     |                   |           |                   |                    |                   |





| ST04 – 21/10/2021 09:30 |             |               |          |          |     |                   |           |                   |                    |                   |
|-------------------------|-------------|---------------|----------|----------|-----|-------------------|-----------|-------------------|--------------------|-------------------|
| Profondità              | Temperatura | Conducibilità | Ossigeno | Ossigeno | pH  | Potenziale Red-ox | Torbidità | Clorofilla 'a'    | direzione corrente | velocità corrente |
| m                       | °C          | μS/cm         | %        | ppm      | -   | mV                | NTU       | mg/m <sup>3</sup> | -                  | m/s               |
| 1                       | 20,19       | 55263         | 13,2     | 0,79     | 7,7 | 225               | 1,60      | 1,2               | NO                 | 0,1               |
| 2                       | 20,18       | 55126         | 13,1     | 0,78     | 7,7 | 226               | 1,58      | 1,2               |                    |                   |
| 3                       | 20,17       | 55016         | 12,9     | 0,78     | 7,7 | 226               | 1,55      | 1,3               |                    |                   |
| 4                       | 20,17       | 54987         | 12,59    | 0,77     | 7,7 | 227               | 1,55      | 1,3               |                    |                   |
| 5                       | 20,17       | 54934         | 12,05    | 0,77     | 7,6 | 227               | 1,41      | 1,3               |                    |                   |
| 6                       | 20,16       | 54755         | 11,15    | 0,77     | 7,6 | 228               | 1,42      | 1,3               |                    |                   |
| 7                       | 20,15       | 54530         | 10,98    | 0,76     | 7,6 | 229               | 1,45      | 1,5               |                    |                   |
|                         |             |               |          |          |     |                   |           |                   |                    |                   |
|                         |             |               |          |          |     |                   |           |                   |                    |                   |
|                         |             |               |          |          |     |                   |           |                   |                    |                   |

